



TUGAS AKHIR – RC14-1501

**PERENCANAAN TIMBUNAN PADA JALAN TOL
NGAWI – KERTOSONO PAKET 2 STA 110+250 –
STA 118+700**

FAUZAN UMAR FARUQ
NRP. 03111240000105

Dosen Pembimbing
Ir. Suwarno, M.Eng
Prof. Ir. Indrasurya B. Mochtar, MSc., PhD.

DEPARTEMEN TEKNIK SIPIL
Fakultas Teknik Sipil, Lingkungan dan Kebumian
Institut Teknologi Sepuluh Nopember
Surabaya 2018



TUGAS AKHIR - RC14-1501

**PERENCANAAN TIMBUNAN PADA JALAN TOL NGAWI -
KERTOSONO PAKET 2 STA 110+250 - STA 118+700**

**FAUZAN UMAR FARUQ
NRP 03111240000105**

Dosen Pembimbing
Ir. Suwarno, M.Eng
Prof. Ir. Indrasurya B. Mochtar, M.Sc., Ph.D

**DEPARTEMEN TEKNIK SIPIL
Fakultas Teknik Sipil, Lingkungan dan Kebumian
Institut Teknologi Sepuluh Nopember
Surabaya 2018**



FINAL PROJECT - RC14-1501

**DESIGN OF EMBANKMENT IN TOLL ROAD NGAWI -
KERTOSONO PACKAGE 2 STA 110+250 - STA 118+700**

**FAUZAN UMAR FARUQ
NRP 03111240000105**

Advisor

Ir. Suwarno, M.Eng

Prof. Ir. Indrasurya B. Mochtar, M.Sc., Ph.D

**DEPARTMENT OF CIVIL ENGINEERING
Fakulty of Civil, Environmental and Geo Engineering
Institut Teknologi Sepuluh Nopember
Surabaya 2018**

**PERENCANAAN TIMBUNAN PADA JALAN TOL NGAWI
- KERTOSONO PAKET 2 STA 110+250 - STA 118+700**

TUGAS AKHIR

Diajukan Untuk Memenuhi Salah Satu Syarat
Memperoleh Gelar Sarjana Teknik
pada

Program Studi S-1 Reguler Teknik Sipil
Fakultas Teknik Sipil, Lingkungan, dan Kebumian
Institut Teknologi Sepuluh Nopember

Oleh:

FAUZAN UMAR FARUQ
NRP. 03111240000105

Disetujui oleh Pembimbing Tugas Akhir:

1. Ir. Suwarno, M.Eng.(Pembimbing I)
2. Prof. Ir. Indrasurya B. Mochtar, MSc, PhD(Pembimbing II)



SURABAYA

Juli, 2018

PERENCANAAN TIMBUNAN PADA JALAN TOL NGAWI – KERTOSONO PAKET 2 STA 110+250 – STA 118+700

Nama Mahasiswa : Fauzan Umar Faruq

NRP : 03111240000105

Departemen : Teknik Sipil

Dosen Pembimbing : Ir. Suwarno, M.Eng

Prof. Ir. Indrasurya B.M, MSc., PhD.

ABSTRAK

Proyek Pembangunan Jalan Tol Ngawi – Kertosono yang berlokasi di Provinsi Jawa Timur, dibangun dengan total panjang 87,02 km. Dalam perencanaan ini hanya 8km. Dalam proyek ini direncanakan tinggi timbunan yang berbeda-beda, dari 1 meter hingga 7 meter. Oleh karena itu, diperlukan pembentukan timbunan agar pembangunan jalan tol tersebut memiliki elevasi yang sesuai dengan elevasi rencana. Penyesuaian yang dapat dilakukan berupa penimbunan (fill), karena bukan daerah perbukitan yang perlu adanya pemotongan (cut).

Kondisi tanah dasar pada lokasi proyek merupakan tanah lunak. Dengan mayoritas sedalam 13 m. hanya sepanjang 1 km yang tanah mampu mampatnya di atas 13 meter. Kondisi seperti itu masalah yang akan muncul adalah pemampatan tanah yang relatif besar dan lama; sekaligus daya dukung tanah yang relatif kecil, sehingga memerlukan suatu metode perbaikan tanah dasar yang dapat mengatasi permasalahan besar dan lamanya pemampatan. Metode perbaikan tanah yang akan digunakan dalam perencanaan ini

adalah metode preloading konvensional dan vacuum preloading. Dari kedua metode itu juga akan dibantu dengan Prefabricated Vertical Drain (PVD), efektif untuk mempercepat pemampatan dengan cara mengalirkan air keluar. Sedangkan untuk masalah daya dukung tanah, dapat diatasi dengan perkuatan yang diberikan pada timbunan jalan tol. Perkuatan-perkuatan yang dapat dilakukan adalah penggunaan geotextile dan cerucuk sebagai upaya menahan timbunan agar tidak longsor.

Pemilihan metode dari dua perbaikan tanah yaitu preloading konvensional dan vacuum preloading; dan dua perkuatan timbunan yaitu geotextile dan cerucuk yang tepat perlu segera dilakukan guna kelancaran pembangunan Jalan Tol Ngawi – Kertosono dapat dioperasikan. Pemilihan perencanaan tersebut dipilih yang paling murah dari segi biaya material yang dibutuhkan.

Kedalaman PVD yang diperlukan berragam, terpendek 5m dan terpanjang 9m. Dengan variasi jarak 0,75m dan 1m. Perkuatan timbunan hanya menggunakan geotextile, tidak ada yang menggunakan cerucuk.

Total pengeluaran yang dibutuhkan sebesar Rp 80.479.284.284,51 rupiah untuk sepanjang 8,5 km. sekitar 9,5M per km.

Kata kunci: jalan tol, timbunan, preloading, vacuum preloading, geotextile, cerucuk

**DESIGN OF EMBANKMENT IN TOLL ROAD
NGAWI – KERTOSONO PACKAGE 2 STA 110+250
– STA 118+700**

Student Name : Fauzan Umar Faruq
NRP : 03111240000105
Department : Civil Engineering
Advisor : Ir. Suwarno, M.Eng
Prof. Ir. Indrasurya B.M, MSc., PhD.

ABSTRAK

Ngawi – Kertosono Toll Road Project, located in East Java Province, built with total length 87,02 km. In this project, only 8km planned, with different height of embankment, from 1 meter to 7 meters. Therefore, it is necessary to establish an embankment so that the construction of the toll road will have an elevation that appropriate to the plan elevation. Adjustments that can be made is fill, because it is not a hilly area that needs cutting.

Soil conditions at the project site are soft soil. With the majority as deep as 13 m. Only 1 km long, the soil is able to compress is above 13 meters. Such a condition that will arise is a relatively large and long compression of land; as well as relatively small soil carrying capacity, so it requires a method of soil improvement that can overcome the problems and duration of compression. The soil improvement method that will be used in this planning is conventional preloading method and vacuum preloading. Of the two methods will also be assisted with Prefabricated Vertical Drain (PVD), effective to accelerate compression by flowing water out. As for the

problem of soil bearing capacity, can be overcome by the strengthening that is given to the embankment of toll roads. Reinforcement that can be done is the use of geotextile and micropile as an effort to hold the pile to avoid landslides.

There is 2 method of soil improvement, conventional preloading and vacuum preloading. Calculate the cheapest method from material cost that needed.

The required depth of PVD is varies, the shortest is 5 m and longest is 9m. with varian of distance is 0,75 and 1 m. The reinforcement for embankment only using geotextile, not using micropile.

Total cost that needed is Rp 80.479.284.284,51 rupiah, around 9,5M per km.

Keywords: Toll Road, Embankment, Preloading, Vacuum Preloading, Geotextile, Micropile

KATA PENGANTAR

Puji syukur kehadirat Tuhan Yang Maha Esa atas segala rahmat-Nya sehingga penyusunan Tugas Akhir dengan judul “Perencanaan Timbunan pada Jalan Tol Ngawi – Kertosono Paket 2 STA 110+250 – STA 118+700” dapat tersusun hingga selesai. Tidak lupa saya juga mengucapkan banyak terima kasih kepada:

1. Pak Ir. Suwarno,M.Eng dan Pak Prof. Indrasurya B. M., Ir., MSc., PhD. selaku dosen pembimbing saya, yang telah membimbing saya dalam penyusunan tugas akhir ini.
2. Teman-teman mahasiswa dan alumni jurusan Teknik Sipil angkatan 2012 yang telah mendukung saya dalam penulisan Tugas Akhir ini.

atas bantuan dari pihak yang telah berkonstribusi dengan memberikan sumbangan baik materi maupun pikirannya.

Dan harapan saya semoga makalah ini dapat menambah pengetahuan dan pengalaman bagi para pembaca. Untuk kedepannya dapat memperbaiki bentuk maupun menambah isi makalah agar menjadi lebih baik lagi.

Karena keterbatasan pengetahuan maupun pengalaman, saya yakin masih banyak kekurangan dalam makalah ini. Oleh karena itu saya sangat mengharapkan saran dan kritik yang membangun dari pembaca demi kesempurnaan makalah ini.

Surabaya, Juli 2018

Penyusun

DAFTAR ISI

HALAMAN JUDUL.....	i
LEMBAR PENGESAHAN	iii
ABSTRAK	iv
KATA PENGANTAR	viii
DAFTAR ISI.....	ix
DAFTAR GAMBAR	xii
DAFTAR TABEL.....	xiii
BAB I PENDAHULUAN	1
1.1 Latar Belakang	1
1.2 Perumusan Masalah	3
1.3 Batasan Masalah.....	4
1.4 Tujuan Penelitian	4
1.5 Manfaat Penelitian	4
BAB II TINJAUAN PUSTAKA.....	5
2.1 Permasalahan Pembangunan Konstruksi di Atas Tanah Lunak	5
2.2 Pemampatan	8
2.2.1 Vacuum Gauge.....	9
2.2.2 Pemampatan Beban Satu Tahap.....	9
2.2.3 Pemampatan Akibat Beban Bertahap.....	11
2.3 Peningkatan Kekuatan Tanah Dasar Akibat Beban Luar	14
2.4 Cara Menentukan Tinggi Timbunan Awal dan Waktu Preloading.....	15
2.4.1 Tinggi Timbunan Awal	15
2.4.2 Kecepatan Waktu Konsolidasi	15
2.5 Perhitungan Stabilitas Timbunan	16
2.5.1 Perhitungan dengan Rumus.....	16
2.5.2 Perhitungan dengan Software.....	17
2.6 Metode Percepatan Pemampatan Tanah dengan <i>Vertical Drain</i>	17
2.7 Daya Dukung Tanah	20
2.8 Metode Perkuatan Tanah dengan <i>Geotextile</i>	21

2.8.1 Perencanaan Timbunan dengan perkuatan <i>Geotextile</i>	21
2.8.2 <i>Overall Stability</i>	21
2.9 Metode Perkuatan Tanah Dengan Cerucuk.....	24
2.10 Tekanan Tanah Lateral.....	28
2.10.1 Tekanan Lateral Aktif	29
2.10.2 Tekanan Lateral Pasif.....	30
BAB III METODOLOGI.....	31
3.1 Bagan Alir	31
3.2 Studi Literatur	32
3.3 Pengumpulan Data	33
3.4 Analisa Data Tanah	33
3.5 Perhitungan Perbaikan Tanah Dasar	33
3.6 Perhitungan Perkuatan Lereng	34
3.7 Perhitungan Biaya <i>Construction Cost</i>	34
BAB IV DATA DAN ANALISA	33
4.1 Data Tanah	33
4.1.1 Data Tanah Dasar	34
4.1.2 Pembagian Zona.....	35
4.2 Data Timbunan.....	37
4.3 Data <i>Geotextile</i>	37
4.4 Data Cerucuk.....	37
4.5 Data <i>Vertical Drain</i>	37
BAB V PERENCANAAN DAN PEMILIHAN ALTERNATIF.	39
5.1 Penentuan Data Tanah yang Digunakan	39
5.2 Perhitungan Preloading Konvensional	39
5.2.1 Perencanaan Sc dan H initial Zona 3	39
5.2.2 Perhitungan Pemampatan dengan Rencana H=7,3m	43
5.2.3 Perencanaan Perbaikan Tanah dengan PVD	45
5.2.4 Alternatif Perencanaan Perkuatan <i>Geotextile</i>	52
5.2.5 Alternatif Perkuatan Micropile/cerucuk.....	58
5.3 Metode Vacuum Preloading.....	60
5.3.1 Perencanaan Sc dan H initial.....	60
5.3.2 Perhitungan pemampatan dengan rencana H=7,3m	64
5.3.3 Perencanaan Perbaikan Tanah dengan PVD	66

5.3.4 Alternatif Perencanaan Perkuatan <i>Geotextile</i>	72
5.4 Perbandingan Preloading Konvensional dengan Vacuum Preloading.....	78
5.4.1 Rekap Perencanaan dari STA 110+250 – STA 118+700....	80
BAB VI KESIMPULAN DAN SARAN	85
6.1 Kesimpulan	85
6.2 Saran.....	86
DAFTAR PUSTAKA	87
LAMPIRAN	
BIOGRAFI.....	89

DAFTAR GAMBAR

1.1 Peta Jalan Tol Trans Jawa pada Juni 2015	1
1.2 Lokasi Perencanaan Proyek Jalan Tol Ngawi- Kertosono	2
1.3 Ilustrasi <i>Vacuum Preloading</i>	3
2.1 Grafik korelasi sondir	5
2.2 Ilustrasi Penimbunan Bertahap	11
2.3 Diagram Tegangan untuk Penimbunan Bertahap	11
2.4 Contoh Grafik Settlement akibat timbunan bertahap	13
2.5 Visualisasi dan Notasi ΔP	15
2.6 Pola susunan PVD bujur sangkar	18
2.7 Pola susunan PVD segitiga	18
2.8 Equivalen diameter (dw) untuk PVD	19
2.9 Model kelongsoran untuk Overall stability	21
2.10 Gaya-gaya yang bekerja untuk Overall stability	22
2.11 Asumsi gaya yang diterima cerucuk	24
2.12 Nilai f untuk berbagai jenis tanah	25
2.13 Grafik untuk mencari nilai F_m	28
3.1 Diagram alir tugas akhir	32
4.1 Stratigrafi	36
4.2 Data jalan	37
5.1 Grafik penentuan Hawal dan SC	43
5.2 Grafik Hubungan Derajat Konsolidasi (U) dengan Waktu Tembunan dengan PVD	51
5.3 Hasil program bantu geostudio konvensional preloading	56
5.4 Grafik penentuan H awal dan SC Vacuum preloading	64
5.5 Grafik Hubungan Derajat Konsolidasi (U) dengan Waktu Tembunan dengan PVD perhitungan vacuum preloading.....	71
5.6 Hasil program bantu Geostudio vacuum preloading	76

DAFTAR TABEL

2.1 Korelasi N-SPT dan Konsistensi Tanah.....	6
2.2 Angka Keamanan untuk Menghitung T_{allow}	23
2.3 Formula untuk Peningkatan Ketahanan Lateral dari Cerucuk	27
4.1 Lokasi Titik Sample	33
4.2 Parameter Tanah Dasar Sondir 19.....	35
5.1 Hasil Perhitungan $H_{initial}$ Zona A.....	42
5.2 Rekap H inisial dan S_c tiap H final zona 3	43
5.3 Perhitungan pemampatan dengan rencana h final = 7,3m.....	44
5.4 Perbandingan Kedalaman PVD dalam <i>Rate of Settlement</i>	47
5.5 Cv gabungan sepanjang PVD.....	48
5.6 Derajat konsolidasi PVD pola segitiga jarak 1m.....	52
5.7 Perubahan Tegangan Efektif Tanah Akibat Penimbunan	53
5.8 Hasil Perhitungan Peningkatan Nilai C_u	53
5.9 Hasil Geostudio	54
5.10 Perhitungan kebutuhan geotextile	57
5.11 Rekap kebutuhan geotextile	58
5.12 Panjang geotextile yang dibutuhkan	58
5.13 Rekap kebutuhan cerucuk	59
5.14 Hasil perhitungan h zona 3 dengan vacuum.....	63
5.15 Perhitungan pemampatan metode vacuum dengan rencana h final=7,3 m.....	65
5.16 Perbandingan Kedalaman PVD dalam <i>Rate of Settlement</i> <i>vacuum preloading</i>	67
5.17 Cv gabungan sepanjang PVD vacuum preloading	68
5.18 Derajat konsolidasi PVD pola segitiga jarak 1m pada vacuum preloading.....	72
5.19 Perubahan Tegangan Efektif Tanah Akibat Penimbunan Vacuum preloading	73
5.20 Hasil Perhitungan Peningkatan Nilai C_u Vacuum Preloading.....	74
5.21 Hasil Geostudio vacuum preloading	74
5.22 Perhitungan kebutuhan geotextile vacuum preloading	78
5.23 Rekap kebutuhan geotextile vacuum preloading.....	78
5.24 Panjang geotextile yang dibutuhkan	78

5.25 Kebutuhan material vacuum preloading	79
5.26 Kebutuhan material preloading konvensional.....	79
5.27 Rekap perencanaan STA 110+250-STA 118+700.....	80

BAB 1

PENDAHULUAN

1.1 Latar Belakang

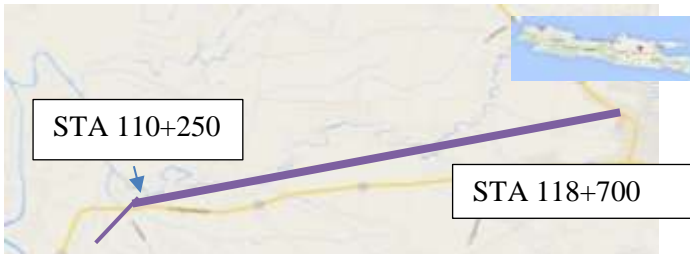
Jalan Tol Trans Jawa merupakan jaringan jalan tol yang menghubungkan dua kota terbesar di Indonesia, Jakarta dan Surabaya. Jalan Tol yang sepanjang -/+ 1.000 kilometer tersebut melanjutkan jalan-jalan tol, seperti Tol Cikampek, Cirebon, Semarang, dan Surabaya. Jalan Tol Trans Jawa dibangun dengan tujuan untuk meningkatkan aksesibilitas dan kapasitas jaringan jalan dalam melayani lalu lintas di Jawa; meningkatkan produktifitas melalui pengurangan biaya distribusi, dan menyediakan akses ke pasar regional maupun internasional; merupakan salah satu target MP3EI (Masterplan Percepatan dan Perluasan Pembangunan Ekonomi Indonesia). Jalan Tol Ngawi-Kertosono merupakan bagian dari rencana Jalan Tol Trans Jawa, yang akan menghubungkan dua jalan tol lainnya, Jalan Tol Solo-Ngawi dan Jalan Tol Kertosono-Mojokerto (**Gambar 1.1**).



Gambar 1.1 Peta Jalan Tol Trans Jawa pada Juni 2015

Jalan Tol Ngawi-Kertosono yang dibangun dengan total panjang 87,02 kilometer. Proyek ini ditargetkan dapat diselesaikan dalam jangka waktu 2 tahun dan beroperasi pada tahun 2017, hanya saja kondisi tanah dasar di lokasi merupakan tanah lunak. Dengan kondisi seperti itu masalah yang akan muncul adalah pemampatan yang besar dan daya

dukung kecil. **Gambar 1.2** adalah lokasi proyek pembangunan Jalan Tol Ngawi-Kertosono.



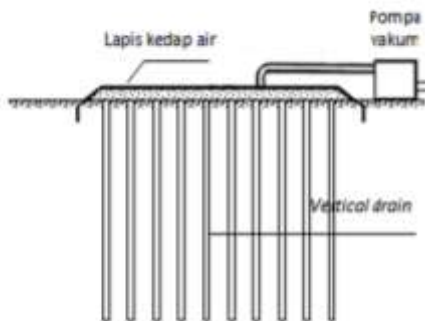
Gambar 1.2 Lokasi Perencanaan Proyek Jalan Tol Ngawi-Kertosono

Dilihat dari kondisi tanah dasar yang lunak tersebut adalah sangat tidak menguntungkan apabila didirikan suatu bangunan di atasnya, karena daya dukung relatif kecil dan bangunan dapat mengalami kerusakan akibat pemampatan tanah dasar di bawahnya. Oleh sebab itu, perencanaan jalan ini memerlukan suatu metode perbaikan tanah yang mampu untuk menghilangkan pemampatan dan meningkatkan daya dukung pada tanah dasar. Metode perbaikan tanah yang akan digunakan dalam perencanaan ini adalah preloading konvensional dengan *prefabricated vertical drain* dan *vacuum preloading*. Metode perkuatan timbunan yang akan digunakan adalah *geotextile* dan cerucuk.

Prefabricated Vertical Drain (PVD) terbuat dari bahan geosintesis yang sudah cukup dikenal di Indonesia. PVD sangat efektif untuk mempercepat konsolidasi dari tanah mampat. Cara kerjanya adalah mengalirkan air keluar dengan cepat dari dalam tanah. Namun PVD memerlukan adanya beban awal (*preloading*) berupa tanah timbunan yang relatif tinggi.

Vacuum Preloading (**Gambar 1.3**) juga dapat mempercepat konsolidasi tanah dasar. cara kerjanya dengan meletakkan lembaran material kedap air di permukaan

tanah dan menyedot air dan udara di sisi dalam lembaran kedap air ini dengan menggunakan pompa vakum. Metode ini semakin banyak digunakan dan dikembangkan di berbagai negara namun masih sedikit penggunaannya di Indonesia.



Gambar 1.3 Ilustrasi *vacuum preloading*

Perkuatan timbunan akan ada dua perencanaan, geotextile dan cerucuk. Geotextile berupa lembaran geosintesis yang ikut ditimbun, yang mempunyai kuat tarik sehingga timbunan tidak longsor. Sedangkan cerucuk ditanam di bawah timbunan sampai kedalaman tertentu sehingga menahan gaya longsor di timbunan.

Dalam tugas akhir ini direncanakan dua metode perbaikan tanah yaitu *preloading* konvensional yang dikombinasi PVD dan *vacuum preloading*. Adapun dua metode perkuatan timbunan yaitu *geotextile* dan cerucuk. Dari metode-metode tersebut dipilih biaya material termurah.

1.2 Perumusan Masalah

Adapun rumusan masalah dalam Tugas Akhir ini adalah sebagai berikut :

1. Bagaimana kondisi tanah dasar?

2. Berapa $H_{initial}$ yang diperlukan untuk mendapatkan tinggi timbunan yang direncanakan dari metode *preloading* konvensional?
3. Bagaimana perencanaan kedalaman dan penempatan PVD yang efektif?
4. Bagaimana perencanaan perbaikan tanah dengan metode *vacuum preloading*?
5. Bagaimana perencanaan penggunaan *geotextile* dan cerucuk?
6. Perkuatan timbunan dan perbaikan tanah dasar manakah yang mempunyai *construction cost* paling murah?

1.3 Batasan Masalah

Adapun batasan masalah dalam penyusunan Tugas Akhir ini adalah sebagai berikut:

1. Data yang digunakan adalah data sekunder
2. Tidak membahas perhitungan geometri dan perkerasan jalan.
3. Tidak merencanakan drainase jalan.

1.4 Tujuan Penelitian

Adapun tujuan yang ingin dicapai dalam Tugas Akhir ini adalah merencanakan metode perbaikan tanah dan perkuatan timbunan agar mampu menerima beban sehingga tidak terjadi kelongsoran dan perbedaan penurunan yang dapat menyebabkan kerusakan pada perkerasan Jalan Tol Ngawi-Kertosono.

1.5 Manfaat Penelitian

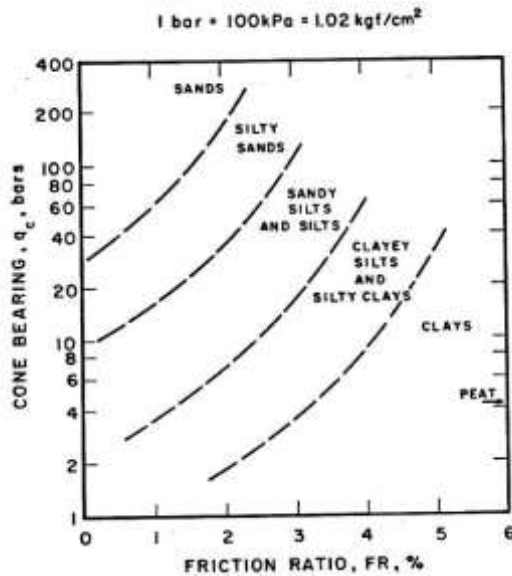
Manfaat dari Penulisan Tugas Akhir ini adalah dapat dijadikan alternatif perbaikan tanah dasar dan perkuatan timbunan. Sehingga dapat dijadikan bahan pertimbangan oleh para pengambil keputusan di Proyek Jalan Tol Ngawi-Kertosono STA 110+250 – STA 118+700.

BAB II

TINJAUAN PUSTAKA

2.1 Permasalahan Pembangunan Konstruksi di Atas Tanah Lunak

Tanah lunak memiliki pemampatan yang bisa mencapai hitungan meter sekaligus lama pemampatannya bisa mencapai tahunan dan memiliki daya dukung yang kecil. Oleh sebab itu tanah lunak merupakan jenis tanah yang tidak menguntungkan untuk digunakan sebagai tanah dasar suatu konstruksi dan patut diwaspadai saat perencanaan dan pelaksanaan konstruksi. **Tabel 2.1** adalah pembagian lapisan tanah didasarkan atas korelasi N-SPT dan qc sondir sedangkan pada gambar 2,1 dapat dilihat grafik untuk mencari jenis tanah menggunakan data sondir.



Gambar 2.1 Grafik Korelasi Sondir

Tabel 2.1 Korelasi N-SPT dan Konsistensi Tanah

Konsistensi tanah	Taksiran nilai kekuatan geser undrained, Cu		Taksiran nilai SPT, nilai N	Taksiran nilai tahanan conus, qc (dari Sondir)	
	kPa	ton/m ²		kg/cm ²	kPa
Sangat lunak (very soft)	0 – 12.5	0 – 1.25	0 – 2.5	0 – 10	0 – 1000
Lunak (soft)	12.5 – 25	1.25 – 2.5	2.5 – 5	10 – 20	1000 – 2000
Menengah (medium)	25 – 50	2.5 – 5.0	5 – 10	20 – 40	2000 – 4000
Kaku (stiff)	50 – 100	5.0 – 10	10 – 20	40 – 75	4000 – 7500
Sangat kaku (very stiff)	100 – 200	10 – 20	20 – 40	75 – 150	7500 – 15000
Keras (hard)	>200	>20	>40	>150	>15000

(Sumber : Mochtar,2006; revised,2012)

(a)

Consistency	Relative Density (%)	N-SPT (blows per ft)	Angle of Internal Friction (deg)	Unit Weight	
				Moist (psf)	Submerged (psf)
Very loose	0 - 15	0 - 4	< 28	< 100	< 60
Loose	16 - 35	5 - 10	28 - 30	95 - 125	55 - 65
Medium	36 - 65	11 - 30	31 - 36	110 - 130	60 - 70
Dense	66 - 85	31 - 50	37 - 41	110 - 140	65 - 85
Very dense	86 - 100	> 51	> 41	> 130	> 75

(Sumber: Mayerhof, 1956)

(b)

tanah dominan pasir (dari Teng, 1962)

Kondisi kepadatan	Relative Density (kepadatan relatif) R_d	Perkiraan Harga N _{SPT}	Perkiraan harga ϕ (%)	Perkiraan berat volume jenuh, γ_{sat} (ton/m ³)
very loose (sangat renggang)	0 % s/d 15 %	0 s/d 4	0 s/d 28	< 1.60
loose (renggang)	15 % s/d 35 %	4 s/d 10	28 s/d 30	1.50 – 2.0
medium (menengah)	35% s/d 65 %	10 s/d 30	30 s/d 36	1.75 – 2.10
dense (rapat)	65% s/d 85 %	30 s/d 50	36 s/d 41	1.75 – 2.25
very dense (sangat rapat)	85% s/d 100 %	> 50	41*	

* perkiraan oleh Mochtar (2009)

(c)

Lempung

Consistency	Unconfined Compression Strength, q_u (KN/m ²)	N-SPT (blows per ft)	Saturated Unit Weight (KN/M ³)
Very Soft	0 - 25	0 - 2	< 16
Soft	25 - 50	2 - 4	16 - 19
Medium	50 - 100	4 - 8	17 - 20
Stiff	100 - 200	8 - 15	18 - 20
Very Stiff	200 - 400	15 - 30	19 - 22
Hard	> 400	> 30	> 20

(Sumber: Terzaghi & Peck, 1967)

(d)

Tabel 1.2. Nilai-nilai numerik parameter tanah untuk $G_s = 2.70$ (Birez & Favre)												
Sifat tanah	γ_p			e			n			W_{sat}		
	g/cm ³	lb/cu ft	%	%	W _{sat}	g/cm ³	cm/s	ft/year	lagoon	cm ³ /s	ft ³ /year	
Silt, Clay	0.5	31.25	4.40	0.80	163.0	1.31	10^9	1.03×10^7	10^4	1×10^4	3.4	
	0.6	37.50	3.50	0.74	129.60	1.38	10^8	1.03×10^7	10^3	2×10^4	6.8	
	0.7	43.75	2.86	0.74	105.8	1.44	10^7	1.03×10^4	10^2	3×10^4	10.1	
	0.8	50.00	2.38	0.70	88.0	1.50	10^6	1.03×10^4	10^1	4×10^4	11.1	
	0.9	56.25	2.00	0.67	74.1	1.57	10^5	1.03×10^4	10^0	5×10^4	12.1	
	1.0	62.50	1.70	0.63	63.0	1.63	1×10^6	1.03	10^{-1}	5×10^4	16.9	
	1.1	68.75	1.45	0.59	53.9	1.69	2×10^6	2.06		6×10^4	20.3	
	1.2	75.00	1.25	0.56	46.3	1.76	3×10^6	3.10		7×10^4	23.6	
	1.3	81.25	1.08	0.52	39.9	1.82	4×10^6	4.13		8×10^4	27.0	
	1.4	87.50	0.93	0.48	34.4	1.88	5×10^6	5.17		9×10^4	30.4	
Gravel, Sand	1.5	93.75	0.80	0.44	29.6	1.94	6×10^6	6.20		10^3	33.8×10^3	
	1.6	100.00	0.69	0.41	25.5	2.01	7×10^6	7.24				
	1.7	106.25	0.59	0.37	21.8	2.07	8×10^6	8.26				
	1.8	112.50	0.50	0.33	18.5	2.13	9×10^6	9.30		10^2	33.8×10^2	
	1.9	118.75	0.42	0.30	15.6	2.20	10^5	10.33	1	10^3	33.8×10^1	
	2.0	125.00	0.35	0.26	13.0	2.26	10^4	1.03×10^7	10			
	2.1	131.25	0.29	0.24	10.6	2.32	10^3	1.03×10^7				
	2.2	137.50	0.23	0.19	8.4	2.39	10^2	1.03×10^7	1000			
	2.3	143.75	0.17	0.15	6.4	2.45	10^1	1.03×10^7	10000			
	2.4	150.00	0.13	0.11	4.63	2.51						
	2.5	156.25	0.080	0.074	2.96	2.57						
	2.6	162.50	0.038	0.037	1.42	2.64						
	2.7	168.75	0.000	0.000	0.00	2.70						

Catatan : 100 kPa = 100 kN/m² = 1 bar = 1.02 kg/cm²

(e)

2.2 Pemampatan

Penambahan beban di atas suatu permukaan tanah dapat menyebabkan lapisan tanah di bawahnya mengalami pemampatan. Pemampatan tersebut disebabkan oleh adanya deformasi partikel tanah, relokasi partikel, keluarnya air atau udara dari dalam pori, dan sebab-sebab lain. Beberapa atau semua faktor tersebut mempunyai hubungan dengan keadaan tanah yang bersangkutan. (Das dalam Mochtar, 1998) Secara umum, pemampatan (*settlement*) pada tanah disebabkan oleh pembebahan yang dapat dibagi dalam dua kelompok besar, yaitu:

- Pemampatan konsolidasi (*consolidation settlement*), yang merupakan hasil dari perubahan volume tanah jenuh air sebagai akibat dari keluarnya air yang menempati pori-pori tanah. Pemampatan konsolidasi dibagi menjadi dua bagian, yaitu konsolidasi primer dan konsolidasi sekunder. Namun pada perhitungan pemampatan tanah akibat reklamasi, pemampatan sekunder umumnya diabaikan karena besar pemampatan sangat kecil (Wahyudi, 1997)

- b. Pemampatan segera (*immediate settlement*), yang merupakan akibat dari deformasi elastis tanah kering, basah, dan jenuh air tanpa adanya perubahan kadar air. Amplitudo atau besarnya pemampatan tanah total dalam Wahyudi (1997), adalah :

$$S_t = S_i + S_{cp} + S_{cs} + S_{lat} \quad [2.1]$$

keterangan :

- St = total *settlement*
- Si = *immediate settlement*
- Scp = *consolidation primer settlement*
- Scs = *consolidation secondary settlement*
- Slat = *settlement* akibat pergerakan tanah arah lateral.

2.2.1 Vacuum Gauge

Vacuum gauge digunakan untuk mengukur tekanan efektif vakum yang terjadi pada area perbaikan tanah. Pompa vakum dinyatakan berhasil apabila tekanan efektif pada pembacaan vacuum gauge sebesar 80% dari tekanan atmosfir rata-rata daerah lokasi pekerjaan. Untuk mengetahui tekanan atmosfir sekitar dapat digunakan persamaan

$$P(h) = 76 - (h/100) \text{ cmHg}, \text{ dengan } 1 \text{ atm} = 76 \text{ cmHg}$$

$$1 \text{ atm} = 101.3 \text{ kPa}$$

Di mana : h = elevasi lokasi pekerjaan (m)

2.2.2 Pemampatan Beban Satu Tahap

Terdapat dua jenis konsolidasi berdasarkan tegangan yang diakibatkan, yaitu :

1. Tanah terkonsolidasi secara normal, *Normally Consolidated Soil* (NC-Soil), di mana tegangan overburden efektif pada saat ini adalah merupakan

- tegangan maksimum yang pernah dialami tanah tersebut.
2. Tanah terkonsolidasi lebih, *Over Consolidated Soil* (OC-Soil), di mana tegangan overburden efektif saat ini adalah lebih kecil daripada tegangan yang pernah dialami oleh tanah yang bersangkutan sebelumnya.

Tanah disebut NC-Soil atau OC-soil ditentukan dari nilai *Over Consolidation Ratio* (OCR). NC-Soil mempunyai nilai $OCR \leq 1$ dan OC soil mempunyai nilai $OCR > 1$. OCR didefinisikan dengan persamaan berikut ini:

$$OCR = \frac{\sigma_c'}{\sigma_o'} \quad [2.2]$$

keterangan:

σ_c' = effective *pra consolidation pressure*

σ_o' = effective *overburden pressure*

Secara umum besar pemampatan konsolidasi pada lapisan tanah lempung setebal H dapat dihitung dengan persamaan (Das, 1985):

1. Untuk tanah *Normally Consolidated* (NC-Soil):

$$Sc = C_c \cdot \frac{H_0}{1+e_0} \cdot \log \frac{\sigma'_{vo} + \Delta\sigma}{\sigma'_{vo}}$$

2. Untuk tanah *Over Consolidated* (OC-Soil):

Bila $(\sigma'_{vo} + \Delta\sigma) \leq \sigma_c'$, maka:

$$Sc = \frac{Cs \cdot H_0}{1+e_0} \cdot \log \frac{\sigma'_{vo} + \Delta\sigma}{\sigma'_{vo}}$$

Bila $(\sigma'_{vo} + \Delta\sigma) > \sigma_c'$, maka:

$$Sc = \frac{Cs \cdot H_0}{1+e_0} \cdot \log \frac{\sigma_c'}{\sigma'_{vo}} + \frac{Cc \cdot H_0}{1+e_0} \cdot \log \frac{\sigma'_{vo} + \Delta\sigma}{\sigma_c'} \quad [2.5]$$

keterangan:

Sc = besar pemampatan yang terjadi (m)

Cc = indeks pemampatan (*compression index*)

Cs = indeks pemuaian (*swelling index*)

e_0	= angka pori
σ_o'	= tegangan overburden efektif
$\Delta\sigma$	= penambahan beban vertikal (beban luar)
σ_c	= tegangan prakonsolidasi

Sehingga besar pemampatan total adalah:

$$Sc = \sum_{i=1}^n Sc_i$$

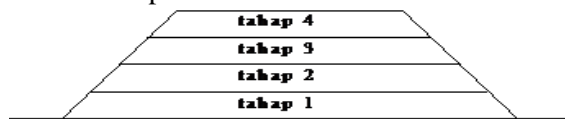
keterangan:

n = jumlah lapisan tanah yang akan dihitung besar pemampatan konsolidasi.

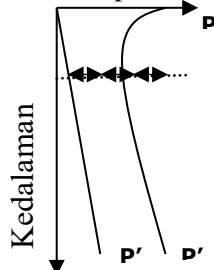
Sc_i = besar pemampatan konsolidasi untuk lapisan ke-i

2.2.3 Pemampatan akibat Beban Bertahap

Sekali penimbunan tidak bisa langsung tinggi, karena ada noda pemanjatan timbunan di tiap beberapa cm tiap satu minggu (**Gambar 2.1**). Maka dari itu, umur timbunan pada beberapa tahap akan berbeda-beda. Akibatnya efek beban dari timbunan pun akan berbeda.



Gambar 2.2 Ilustrasi penimbunan bertahap



Gambar 2.3 Diagram tegangan untuk penimbunan bertahap

Keterangan:

p'_0 = tegangan overburden

p'_c = tegangan prakonsolidasi

Δp_1 = penambahan tegangan akibat beban tahapan timbunan 1

Δp_2 = penambahan tegangan akibat beban tahapan timbunan 2

Δp_3 = penambahan tegangan akibat beban tahapan timbunan 3

Besar pemampatan konsolidasi pada lapisan tanah lempung setebal H dapat dihitung dengan persamaan berikut

1. Apabila $p'o + \Delta p1 \leq pc$:

$$Sc = \frac{C_s H}{1 + e_0} \log \left(\frac{p'_0 + \Delta p1}{p'_0} \right)$$

2. Apabila $p'o + \Delta p1 + \Delta p2 > pc$:

$$Sc = \frac{C_s H}{1 + e_0} \log \frac{p'_c}{p'_o + \Delta p1} + \frac{C_c H}{1 + e_0} \log \left(\frac{p'_0 + \Delta p1 + \Delta p2}{p'_c} \right)$$

3. Apabila $p'o + \Delta p1 + \Delta p2 + \Delta p3 > pc$:

$$Sc = \frac{C_c H}{1 + e_0} \log \left(\frac{p'_0 + \Delta p1 + \Delta p2 + \Delta p3}{p'_0 + \Delta p1 + \Delta p2} \right)$$

Keterangan:

C_c = indeks pemampatan (*compression index*)

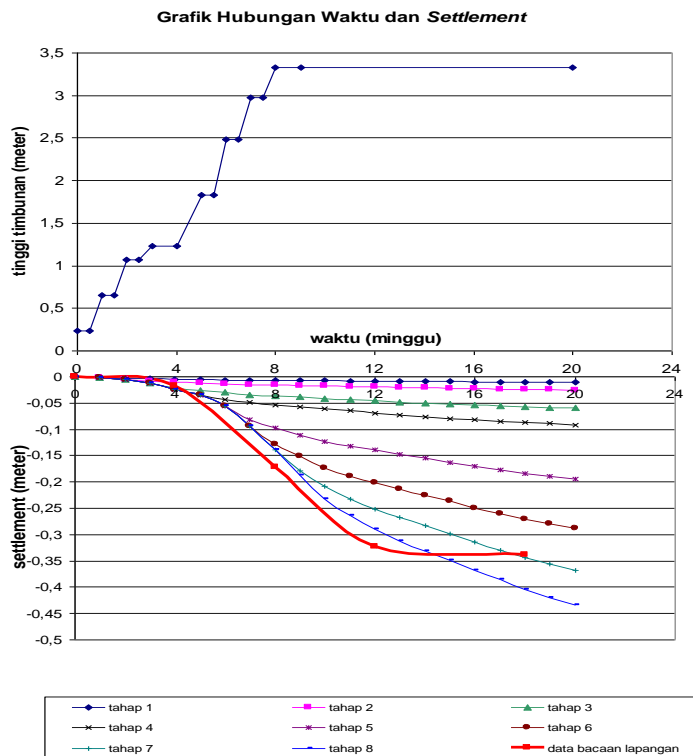
C_s = indeks mengembang (*swelling index*)

$p'o$ = Tegangan efektif *overburden*

Δp = Penambahan tegangan akibat beban tahapan timbunan

e_0 = Angka pori tanah dasar

Dari perhitungan pemampatan akibat penimbunan bertahap, dapat diketahui besar pemampatan akibat tinggi timbunan yang ditimbun tiap minggu dengan ketinggian tertentu dan dalam waktu tertentu dapat dibuat grafik (Gambar 2.3).



Gambar 2.4 Contoh grafik settlement akibat timbunan bertahap

2.3 Peningkatan Kekuatan Tanah Dasar akibat Beban Luar

Kekuatan tanah dasar meningkat akibat adanya beban di atasnya. Beban di atasnya mengakibatkan suatu distribusi tegangan. Distribusi tegangan pun bervariasi sesuai dengan bentuk beban seperti, beban terpusat, beban garis, beban lingkaran, beban segi empat, beban trapesium. $\Delta\sigma'$ merupakan tambahan tegangan akibat pengaruh beban timbunan (trapezium) yang ditinjau di tengah-tengah lapisan. Menurut Braja M. Das (1985), dalam bukunya "*Principles of Foundation Engineering, Second Edition*", diagram tegangan tanah akibat timbunan dijelaskan Gambar 2.4. Besarnya $\Delta\sigma'$ adalah:

$$\Delta\sigma' = \frac{q_0}{\pi} x \left[\left(\frac{B_1+B_2}{B_2} \right) x (\alpha_1 + \alpha_2) - \left(\frac{B_1}{B_2} x \alpha_2 \right) \right] \quad [2.7]$$

keterangan:

q_0 = beban timbunan (t/m^2) $\rightarrow q_0 = \gamma_{timb} \times h_{timb}$

$\Delta\sigma'$ = besarnya tegangan akibat pengaruh beban timbunan yang ditinjau di tengah-tengah lapisan (t/m^2)

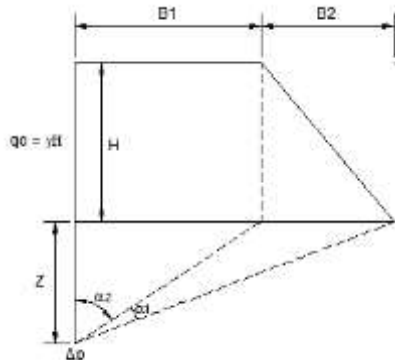
$\alpha_1 = \tan^{-1} \left(\frac{B_1+B_2}{z} \right) - \tan^{-1} x \left(\frac{B_1}{z} \right)$ (radian)

$\alpha_2 = \tan^{-1} x \left(\frac{B_1}{z} \right)$ (radian)

B_1 = $\frac{1}{2}$ lebar timbunan

B_2 = panjang proyeksi horizontal kemiringan timbunan.

Nilai $\Delta\sigma'$ yang diperoleh adalah untuk $\frac{1}{2}$ bentuk timbunan sehingga untuk bentuk timbunan yang simetris, nilai q_0 yang diperoleh harus dikali 2, dan berubah menjadi: $\Delta\sigma' = 2 \times q_0$



Gambar 2.5 Visualisasi dan Notasi ΔP

2.4 Cara Menentukan Tinggi Timbunan Awal dan Waktu Preloading

2.4.1 Tinggi Timbunan Awal

Tinggi timbunan awal pada saat pelaksanaan tidak sama dengan tinggi timbunan rencana. Penentuan dari tinggi timbunan rencana pada saat pelaksanaan fisik (dengan memperhatikan adanya pemampatan), dapat dihitung dengan (Mochtar, 2012):

$$q_{\text{final}} = q = (H_{\text{inisial}} \times \gamma_{\text{timb}}) - (S_c \times \gamma_{\text{timb}}) + (S_c \times \gamma'_{\text{timb}})$$

$$q_{\text{final}} = q = (H_{\text{inisial}} - S_c) \gamma_{\text{timb}} + (S_c \times \gamma'_{\text{timb}})$$

$$H_{\text{inisial}} = \frac{q + (S_c \times \gamma_{\text{timb}}) - (S_c \times \gamma'_{\text{timb}})}{\gamma_{\text{timb}}}$$

$$H_{\text{akhir}} = H_{\text{inisial}} - S_c$$

2.4.2 Kecepatan Waktu Konsolidasi

Pada umumnya tebal dari lapisan yang memampat dinyatakan sebagai H dan panjang terjauh dari aliran rembesan air disebut H_{dr} . Persamaan dari Terzaghi (1984), untuk menghitung waktu konsolidasi dari lapisan tanah yang memampat tersebut adalah:

$$t = \frac{Tv \cdot (H_{\text{dr}})^2}{Cv}$$

keterangan:

T_v = faktor waktu

t = waktu konsolidasi (detik)

C_v = koefisien konsolidasi (cm^2/det)

H_{dr} = panjang aliran air terpanjang

Untuk lapisan tanah yang dibatasi oleh 2 (dua) lapisan yang lolos air (*permeable*), misalnya pasir atau kerikil, panjang $H_{dr} = \frac{1}{2} \times$ tebal lapisan. Akan tetapi, bila lapisan sebelah bawah berupa lapisan kedap air, maka aliran rembesan dianggap hanya dapat menuju ke atas lapisan, sehingga $H_{dr} = H$.

Untuk konsolidasi tanah yang berlapis-lapis dengan ketebalan berbeda, waktu konsolidasi dapat dicari dengan menggunakan rumus sebagai berikut (Mochtar, 2012):

$$Cv = \frac{(H_1 + H_2 + \dots + H_n)^2}{\left(\frac{H_1}{\sqrt{Cv_1}} + \frac{H_2}{\sqrt{Cv_2}} + \dots + \frac{H_n}{\sqrt{Cv_n}}\right)^2}$$

keterangan:

H_1, H_2, \dots, H_n = tebal lapisan-lapisan tanah lempung yang mengalami pemampatan.

Cv_1, Cv_2, \dots, Cv_n = nilai Cv untuk masing-masing lapisan tanah yang bersangkutan.

2.5 Perhitungan Stabilitas Timbunan

2.5.1 Perhitungan dengan Rumus

Penentuan tinggi timbunan yang diizinkan dapat ditentukan dengan perhitungan menggunakan rumus:

$$H_{cr} = \frac{c \cdot N_c}{\gamma}$$

keterangan:

H_{cr} = tinggi timbunan kritis

C = kekuatan geser *undrained*

N_c = koefisien

γ = massa jenis tanah timbunan

Apabila tinggi rencana timbunan melebihi tinggi timbunan kritis, maka lereng tidak akan stabil atau butuh perkuatan.

2.5.2 Perhitungan dengan Software

Stabilitas timbunan dapat dihitung dengan menggunakan program *Geoslope* untuk menganalisa *overall stability*. Adapun data yang dibutuhkan meliputi, data tanah dasar, data tanah timbunan.

2.6 Metode Percepatan Pemampatan Tanah dengan Vertical Drain

Penentuan waktu konsolidasi didasarkan teori aliran pasir vertikal menurut Barron (1948), menggunakan asumsi teori Terzaghi tentang konsolidasi linier satu dimensi. Penentuan waktu konsolidasi dari teori Barron (1948) adalah :

$$t = \left(\frac{D^2}{8Ch} \right) F(n) \cdot \ln \left(\frac{1}{1 - \bar{U}_h} \right) \quad [2.14]$$

keterangan:

t = waktu untuk menyelesaikan konsolidasi primer
 D = diameter *equivalen* dari lingkaran tanah yang merupakan daerah pengaruh PVD

Nilai $D = 1,13 \times s$ untuk pola susunan bujur sangkar (**Gambar 2.5**)

Nilai $D = 1,05 \times s$ untuk pola susunan segitiga (**Gambar 2.6**)

Ch = koefisien konsolidasi tanah horizontal

$$= (kh/kv) \cdot Cv \quad [2.15]$$

Kh/kv = perbandingan antara koefisien permeabilitas tanah dasar arah horizontal dan vertikal, untuk tanah lempung yang jenuh air, nilai (kh/kv)

berkisar antarasampai 5. (sumber : Mochtar, 2000)

$F(n)$ = faktor hambatan yang disebabkan karena jarak antara PVD. Hansbo (1979) dalam Mochtar (2000) nilai $F(n)$ didefinisikan sebagai berikut :

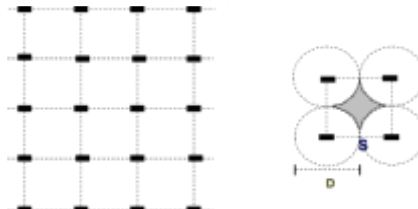
$$F(n) = \left(\frac{n^2}{n^2 - 1^2} \right) \left[\ln(n) - \left(\frac{3n^2 - 1}{4n^2} \right) \right] \quad [2.16]$$

Atau :

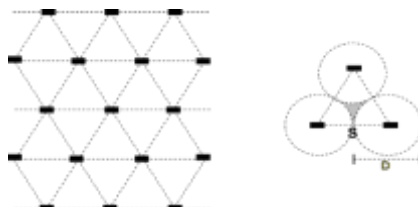
$$F(n) = \left(\frac{n^2}{n^2 - 1^2} \right) \left[\ln(n) - 3/4 - \left(\frac{1}{4n^2} \right) \right] \quad [2.17]$$

Pada umumnya $n > 20$ sehingga dapat dianggap $1/n = 0$ dan $\left(\frac{n^2}{n^2 - 1^2} \right) \approx 1$ Jadi : $F(n) = \ln(n) - 3/4$ [2.18]

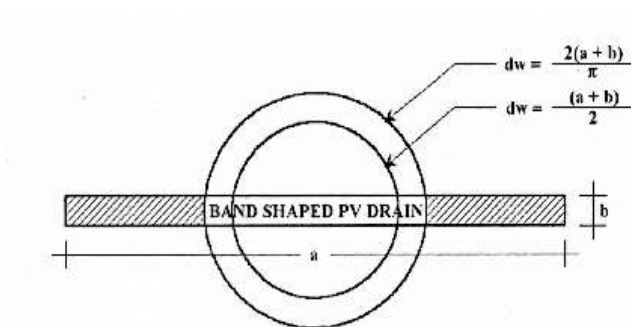
$$F(n) = \ln(D/dw) - 3/4 \quad [2.19]$$



Gambar 2.6 Pola susunan PVD bujur sangkar
(sumber : Mochtar, 2000)



Gambar 2.7 Pola susunan PVD segitiga
(sumber : Mochtar, 2000)



Gambar 2.8 Equivalen diameter (dw) untuk PVD
(sumber : Mochtar, 2000)

Hansbo (1979) menentukan waktu konsolidasi dengan menggunakan persamaan berikut :

$$t = \left(\frac{D^2}{8.C_h} \right) \cdot (2.F(n)) \cdot \ln \left(\frac{1}{1 - U_h} \right) \quad [2.20]$$

keterangan:

- t = waktu yang diperlukan untuk mencapai Uh
- D = diameter lingkaran
- F(n) = faktor hambatan disebabkan karena jarak PVD
- C_h = koefisien konsolidasi tanah horisontal
- U_h = derajat konsolidasi tanah (arah horisontal)

Dengan memasukkan nilai t tertentu, dapat dicari nilai Uh pada lapisan tanah yang dipasang PVD. Selain konsolidasi akibat aliran pori arah horisontal juga terjadi konsolidasi akibat aliran air arah vertikal U_v. Nilai U_v dicari dengan persamaan :

- Untuk U_v > 60% :

$$U_v = (100 - 10^a) \quad [2.21]$$

$$a = \frac{1.781 - Tv}{0.933} \quad [2.22]$$

- Untuk U_v antara 0 s/d 60% :

$$Uv = \left(2 \sqrt{\frac{tv}{\pi}} \right) \times 100\% \quad [2.23]$$

- Derajat konsolidasi rata-rata U dapat dicari dengan cara :

$$U = [1 - (1-Uh)(1-Uv)] \times 100\% \quad [2.24]$$

PVD tidak harus dipancang sampai lapisan tanah mampu mampat terbawah. Pengurangan penggunaan PVD dapat mengurangi biaya material, namun sisanya lapisan tanah yang mampu mampat tersebut akan terus memampat dengan lama selayaknya tanpa PVD. Adapun syarat untuk membuat konstruksi di atas tanah tidak rusak akibat sisanya pemampatan, yaitu 2.5 cm/tahun.

2.7 Kenaikan Daya Dukung Tanah

Sebagai akibat terjadinya konsolidasi pada suatu lapisan tanah, maka lapisan yang bersangkutan menjadi lebih padat yang berarti kekuatan tanah juga meningkat sebagai akibat kenaikan nilai Cu (*undrained shear strength*).

Kenaikan daya dukung akibat beban timbunan sebesar ΔP , adalah :

1. Tegangan tanah wa (tegangan *overburden*) = p'_o
2. Penambahan tegangan beban ΔP , apabila periode pemberian beban t_1 dan derajat konsolidasi = U_1 , maka :

$$\Delta P_{u1} = \left(\frac{\sigma'_{t1}}{p'_{o}} \right)^{u1} p'_{o} - p'_{o} \quad [2.25]$$

3. Jadi tegangan tanah di lapisan yang ditinjau menjadi:

$$\sigma'_{baru} = p'_{o} + \left[\left(\frac{\sigma'_{t1}}{p'_{o}} \right)^{u1} p'_{o} - p'_{o} \right] \quad [2.26]$$

4. Nilai Cu baru dari tanah pada saat $t = t_1$ adalah :
 - a. Untuk nilai *Plasticity Index* (PI) < 120%

$$Cu (\text{kg/cm}^2) = [0,0737 + (0,1899 - 0,0016 PI)] \sigma'_{baru} \quad [2.27]$$

b. Untuk nilai *Plasticity Index* (PI) $\geq 120\%$

$$Cu \text{ (kg/cm}^2\text{)} = [0,0737 + (0,0454 - 0,00004 PI)] \\ \sigma'_{\text{baru}} \quad [2.28]$$

2.8 Metode Perkuatan Tanah dengan *Geotextile*

2.8.1 Perencanaan Timbunan dengan Perkuatan *Geotextile*

Perencanaan *geotextile* tergantung pada besar peningkatan momen perlawanan (ΔM_R) yang direncanakan. Perhitungan untuk mencari (ΔM_R) dapat menggunakan persamaan berikut:

$$\Delta M_R = (M_D \times SF) - M_R \quad [2.29]$$

keterangan:

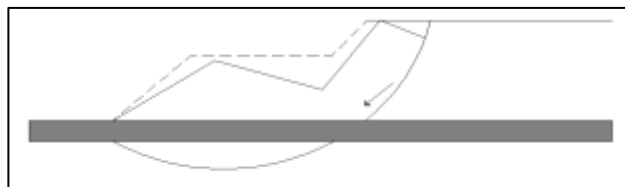
M_R = momen penahan

ΔM_R = momen penahan tambahan yang harus dipikul oleh *geotextile*

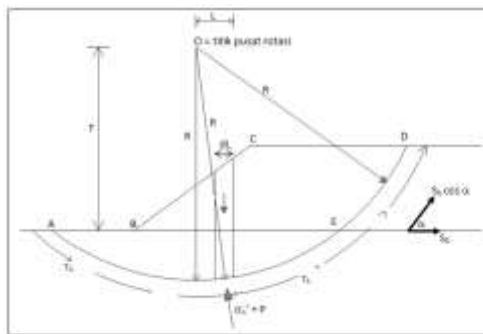
M_D = momen dorong, $\frac{MR}{SF}$

2.8.2 *Overall Stability*

Untuk menganalisa angka keamanan dari *overall stability* dapat menggunakan model irisan Bishop (1955) dengan bantuan Program *Geoslope*. Gaya-Gaya yang bekerja pada *overall stability* juga sesuai dengan yang digambarkan pada **Gambar 2.8** dan **Gambar 2.9**.



Gambar 2.9 Model Kelongsoran untuk *Overall Stability*
(Sumber: Mochtar, 2000)



Gambar 2.10 Gaya-Gaya yang Bekerja untuk *Overall Stability* (Sumber: Mochtar, 2000)

$$\begin{aligned} T &= \text{jarak vertikal titik pusat rotasi dengan geotextile yang ditinjau} \\ &= yo - yc \end{aligned} \quad [2.30]$$

keterangan:

yo = ordinat titik pusat rotasi

yc = ordinat titik yang ditinjau

τ = tegangan geser geotextile dengan tanah asli

$$= Cu + \sigma v \cdot \tan \theta \quad [2.31]$$

Cu = tegangan geser tanah asli

σv = tegangan vertikal timbunan

θ = tegangan geser tanah

Adapun syarat dari *overall stability* yang harus dipenuhi adalah sebagai berikut:

$$M_R = (M_D \times SF) + \Delta M_R$$

$$SF = \frac{M_R - \Delta M_R}{M_D}$$

keterangan:

M_D = Momen penggerak = (berat segmen busur

ABCDEA) x jarak pusat berat ABCDEA terhadap O.

M_R = Momen penahan

ΔM_R = Momen penahan tambahan yang ditahan oleh *geotextile*

$SF_{min} \geq 1,5$ (beban tetap) ; $SF_{min} \geq 1,2$ (beban sementara)

Syarat kekuatan bahan S_1

$$T_{allow} = \frac{T_{ultimate}}{SF} \quad [2.32]$$

T_{allow} = Kekuatan tarik *geotextile* (kN/m^2)

$T_{ultimate}$ = Kekuatan tarik bahan *geotextile* (kN/m^2)

SF = $SF_{ID} \times SF_{CR} \times SF_{CD} \times SF_{BD}$ (**Tabel 2.2**)

SF_{ID} = angka keamanan intuk kesalahan pemasangan (*installation damage*)

SF_{CR} = angka keamanan untuk *creep*

SF_{CD} = angka keamanan untuk *chemical degradation*

SF_{BD} = angka keamanan untuk *biological degradation*.

Tabel 2.2 Angka Keamanan untuk Menghitung T_{allow}

Penggunaan Geotextile	Faktor Pemasangan, FS_{id}	Faktor Rangkak, FS_{cr}	Faktor Kimia, FS_{cd}	Faktor Biolog FS_{id}
Separation	1,1 – 2,5	1,1 – 1,2	1,0 – 1,5	1,0 – 1,2
Cushioning	1,1 – 2,0	1,2 – 1,5	1,0 – 2,0	1,0 – 1,2
Unpaved Roads	1,1 – 2,0	1,5 – 2,5	1,0 – 1,5	1,0 – 1,2
Walls	1,1 – 2,0	2,0 – 4,0	1,0 – 1,5	1,0 – 1,3
Embankments	1,1 – 2,0	2,0 – 3,0	1,0 – 1,5	1,0 – 1,3
Bearing Capacity	1,1 – 2,0	2,0 – 4,0	1,0 – 1,5	1,0 – 1,3
Slope Stabilization	1,1 – 1,5	1,5 – 2,0	1,0 – 1,5	1,0 – 1,3
Pavement Overlays	1,1 – 1,5	1,0 – 1,2	1,0 – 1,5	1,0 – 1,1
Railroads	1,5 – 3,0	1,0 – 1,5	1,5 – 2,0	1,0 – 1,2
Flexible Form	1,1 – 1,5	1,5 – 3,0	1,0 – 1,5	1,0 – 1,1
Silt Fences	1,1 – 1,5	1,5 – 2,5	1,0 – 1,5	1,0 – 1,1

Panjang *Geotextile* di belakang bidang lonsor (Le) dihitung menggunakan persamaan berikut:

$$Le = (Tall \times SF)/[(\tau_1 + \tau_2) \times E] \quad [2.33]$$

E = efisiensi, diambil E = 0,8

Besar Momen penahan *geotextile* dapat dihitung menggunakan persamaan berikut:

$$M_{geotextile} = T_{allow} \times T_i \quad [2.34]$$

keterangan:

T_{allow} = Kekuatan tarik *geotextile* (kN/m^2)

T_i = Jarak vertikal antara *geotextile* dengan pusat bidang longsor (m)

Panjang Geotextile yang ditanam (L) :

$$L = L_e + L_R \quad [2.35]$$

L_e = panjang geotextile yang berada dalam *anchorage Zone* (minimum = 3 ft /1.0m)

L_R = panjang geotextile yang berada di depan bidang longsor

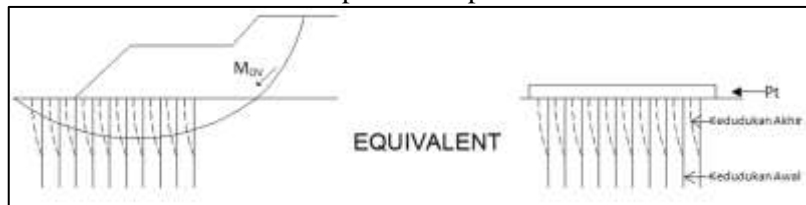
$$L_R = (H - Z)x \left[\tan\left(45^\circ - \frac{\phi}{2}\right) \right] \quad [2.36]$$

$$L_e = \frac{S_v \cdot \sigma_h \cdot SF}{2[c + \sigma_v(\tan\delta)]} \quad [2.37]$$

$$L_o = \frac{S_v \cdot \sigma_h \cdot SF}{4[c + \sigma_v(\tan\delta)]} \quad [2.38]$$

2.9 Metode Perkuatan Tanah dengan Cerucuk

Asumsi yang dipakai untuk perhitungan *micropile* ini adalah asumsi cerucuk oleh Mochtar (2012). Penggunaan cerucuk dimaksudkan untuk menaikkan tahanan geser tanah. Bila tahanan tanah terhadap geser meningkat, maka daya dukung tanah pun meningkat. Asumsi yang digunakan dalam konstruksi cerucuk dapat dilihat pada **Gambar 2.10**.



Gambar 2.11 Asumsi Gaya yang Diterima Cerucuk
(Sumber: Mochtar, 2012)

Adapun prosedur dari perhitungan kebutuhan cerucuk berdasarkan NAVFAC DM-7 (1971) adalah sebagai berikut:

- Menghitung kekuatan 1 (satu) buah cerucuk terhadap gaya horizontal.
- Menghitung faktor kekuatan relatif (T)

$$T = \left(\frac{EI}{f} \right)^{\frac{1}{5}}$$

keterangan:

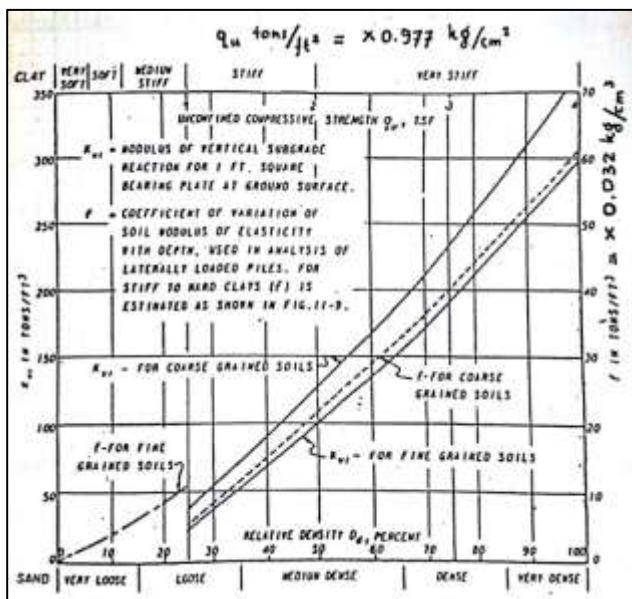
E = Modulus elastisitas tiang (cerucuk), Kg/cm²

I = Momen inersia tiang (cerucuk), cm⁴

f = koefisien dari variasi modulus tanah, kg/cm³

T = faktor kekakuan relatif, cm

Nilai f dengan bantuan **Gambar 2.11** yang merupakan garfik antara f dengan *unconfined compression strength*, yaitu $q_u = 2.C_u$



Gambar 2.12 Nilai f untuk Berbagai Jenis Tanah
(Sumber: *Design Manual*, NAVFAC DM-7, 1971)

Menghitung gaya horizontal yang mampu ditahan 1 tiang.

$$M_p = F_M \times (P \times T)$$

keterangan:

M_p = momen lentur yang mampu ditahan oleh cerucuk akibat beban horizontal P, Kg.com.

F_M = koefisien momen akibat gaya lateral P.

P = gaya horizontal maksimum yang mampu diterima oleh

satu cerucuk, Kg.

T = faktor kekakuan relatif, cm.

Dengan merencanakan panjang cerucuk yang tertahan di bawah/atas bidang gelincir (L) didapat nilai L/T dengan grafik **Gambar 2.12** dan nilai L/T pada kedalaman z didapat nilai F_M . Jadi, gaya horizontal yang mampu dipikul oleh 1 (satu) cerucuk adalah:

$$P = \frac{M_p}{F_M \times T}$$

Gaya maksimal P_{max} yang dapat ditahan oleh 1 cerucuk terjadi bila M_p = momen maksimal lentur bahan cerucuk. Bila kekuatan bahan dan dimensi bahan diketahui, maka:

$$M_p \text{ max 1 cerucuk} = \frac{\sigma_{\text{max bahan}} \times I_n}{C}$$

$$\text{atau } M_p \text{ max 1 cerucuk} = \sigma_{\text{max}} \times W$$

keterangan:

σ_{max} = tegangan tarik/tekan maks. bahan cerucuk

L = momen inersia penampang cerucuk terhadap garis yang melewati titik pusat penampang

C = $\frac{1}{2} \times D$, D = diamater cerucuk

W = I_n/C

sehingga:

$$P_{\text{max 1 cerucuk}} = \frac{M_p \text{ max 1 cerucuk}}{F_M \times T} \times F_k$$

dengan F_k menurut Rusdiansyah & Mochtar (2015):

$$F_k = 2,30 \times Y_t \times Y_s \times Y_n \times Y_D$$

b. Untuk menghitung banyaknya tiang atau cerucuk per meter, maka ditentukan gaya horizontal total yang terjadi pada bidang gelincir (P_t).

$$SF_{yang \ diinginkan} = \frac{Momen \ Penahanan \ (M_R)}{Momen \ Penggerak \ (M_D)}$$

keterangan:

SF_{yang diinginkan} = Safety Factor yang hendak dicapai

M_R = $\sum Cu_i \times L_i \times R_i = M_R$ dari tanah + ΔM_R dari cerucuk

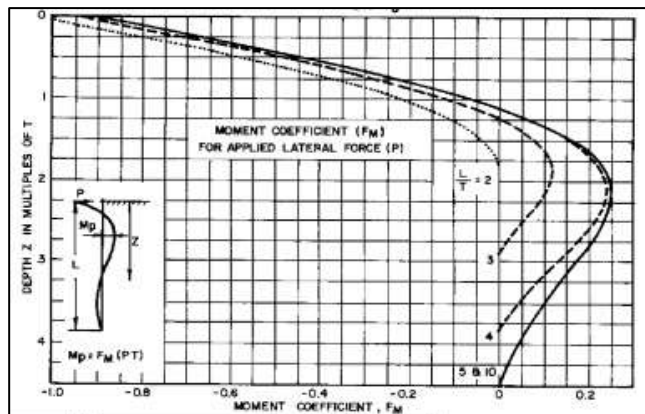
Cu = Tegangan geser *undrained* tanah dasar

L = Panjang bidang gelincir

R = Jari-jari putar bidang gelincir

Tabel 2.3 Formula untuk Peningkatan Ketahanan Lateral dari Cerucuk

Variable of model pile-soil interaction	obtained average of P_{plat} / $P_{analytical}$	Regression Formula obtained from Section 4
Ratio of Pile Insertion, $X_t = L/D$	1.965	$Y_t = 0.1(X_t) - 0.35;$ $(Y_t = 1.0 \text{ when } L/D = 15)$ $(\text{For } 0 < L/D < 5, Y_t = 0.02 X_t)$ $(Y_{t \max} = 1.45)$
	2.467	
	1.756	
Ratio of Pile Spacing, $X_s = S/D$	0.422	$Y_s = -0.057(X_s)^2 + 0.614(X_s) - 0.658;$ $(Y_s = 1.0 \text{ when } S/D = 5)$
	2.216	
	2.467	
	4.336	
Number of Piles in Row = X_n	2.590	$Y_n = -0.047x_n + 1.051;$ $(Y_n = 1.0 \text{ when } X_n = 1)$
Ratio of Pile Diameter, $X_D = D/T$	2.467	$Y_D = 46.616(X_D) - 3.582;$ $(Y_D = 1.0 \text{ when } D/T = 0.1)$ $(Y_{D \ min} = 1.0 ; Y_{D \ max} = 1.70)$
Average	2.30	



Gambar 2.13 Grafik untuk Mencari Nilai F_M
(Sumber: Design Manual, NAVFAC DM-7, 1971)

$M_R = M_R$ dari tanah + ΔM_R dari cerucuk
keterangan:

$$\begin{aligned} M_R &= SF_{\text{yang diinginkan}} \times M_D \\ M_R \text{ dari tanah} &= SF_{\text{yang ada}} \times M_D \end{aligned}$$

Maka:

$$\begin{aligned} (SF_{\text{yang diinginkan}} \times M_D) &= (SF_{\text{yang ada}} \times M_D) + \Delta M_R \text{ dari cerucuk} \\ \Delta M_R \text{ dari cerucuk} &= (SF_{\text{yang diinginkan}} - SF_{\text{yang ada}}) \times M_D \end{aligned}$$

Tambahan ΔM_R tersebut merupakan tambahan momen penahan yang ditimbulkan oleh adanya cerucuk, sehingga jumlah cerucuk yang dibutuhkan (n), adalah:

$$\begin{aligned} n \times P_{\max 1 \text{ cerucuk}} \times R &= (SF_{\text{yang diinginkan}} - SF_{\text{yang ada}}) \times M_D \\ n = \frac{(SF_{\text{yang diinginkan}} - SF_{\text{yang ada}}) \times M_D}{P_{\max 1 \text{ cerucuk}} \times R} \end{aligned}$$

2.10 Tekanan Tanah Lateral

Dinding penahan tanah, turap, galian yang diperkokoh maupun tidak, semuanya memerlukan perkiraan tekanan tanah lateral secara kuantitatif pada pekerjaan konstruksi, baik untuk analisa perencanaan maupun untuk analisa

stabilitas. Tekanan tanah lateral merupakan salah satu bagian perencanaan penting, khususnya dalam hal teknik pondasi maupun bangunan penahan tanah.

Dalam memperkirakan dan menghitung kestabilan dinding penahan, diperlukan menghitung tekanan ke arah samping (lateral). Tekanan lateral terjadi karena massa tanah menerima beban akibat tegangan normal maupun berat kolom tanah. Hal ini menyebabkan terjadinya tekanan kearah tegak lurus atau kearah samping. Besarnya tekanan tanah lateral sendiri sangat dipengaruhi oleh fisik tanah, sudut geser, dan kemiringan tanah terhadap bentuk struktur dinding penahan.

Tekanan tanah lateral dibagi menjadi tekanan tanah dalam keadaan diam, tekanan tanah aktif, dan tekanan tanah pasif. Tekanan tanah dalam kondisi diam terjadi akibat massa tanah pada dinding penahan berada dalam kondisi seimbang. Tekanan tanah aktif merupakan tekanan yang berusaha untuk mendorong dinding penahan tersebut kedepan. Sementara tekanan tanah pasif merupakan tekanan yang berusaha mengimbangi tekanan tanah aktif.

2.10.1 Tekanan Lateral Aktif

Tekanan aktif merupakan tekanan yang mendorong dinding penahan tanah ke arah horizontal. Sementara dinding penahan tanah harus dalam keadaan seimbang dalam menahan tekanan arah horizontal. Tekanan ini dapat dievaluasi dengan menggunakan koefisien tanah K_a . Rumusan tekanan horizontal dapat dituliskan sebagai berikut:

$$\sigma_a = K_a \times \gamma \times H \quad [2.47]$$

keterangan nilai K_a :

- Untuk tanah datar:

$$K_a = \frac{1-\sin\phi}{1+\sin\phi} = \tan^2\left(45 - \frac{\phi}{2}\right) \quad [2.48]$$

- Untuk tanah miring:

$$K_a = \left(\frac{\cos Q}{1 + \sqrt{\frac{\sin Q \sin(Q-\delta)}{\cos \delta}}} \right)^2 \quad [2.49]$$

keterangan:

Q = sudut geser tanah

δ = kemiringan tanah

Selain itu, kohesi sebagai lekatan antara butiran tanah juga memiliki pengaruh mengurangi tekanan aktif tanah yaitu sebesar $2c\sqrt{K_a}$, sehingga perumusan menjadi:

$$\sigma_a = K_a \times \gamma \times H - 2 \times c \times \sqrt{K_a} \quad [2.50]$$

2.10.2 Tekanan Lateral Pasif

Rumusan tekanan horizontal pasif dapat dituliskan sebagai berikut:

$$\sigma_p = K_p \times \gamma \times H \quad [2.51]$$

Dimana nilai K_p

-Untuk tanah datar adalah:

$$K_p = \frac{1+\sin Q}{1-\sin Q} = \tan^2 \left(45 + \frac{Q}{2} \right) = \frac{1}{K_a} \quad [2.52]$$

-Untuk tanah miring adalah:

$$K_a = \left(\frac{\cos Q}{1 + \sqrt{\frac{\sin Q \sin(Q+\delta)}{\cos \delta}}} \right)^2$$

keterangan:

Q = sudut geser tanah

δ = kemiringan tanah

Dalam kasus tekanan lateral pasif, kohesi (lekatan antar butiran tanah) mempunyai pengaruh memperbesar tekanan pasif tanah sebesar $2c\sqrt{K_a}$, sehingga perumusan menjadi:

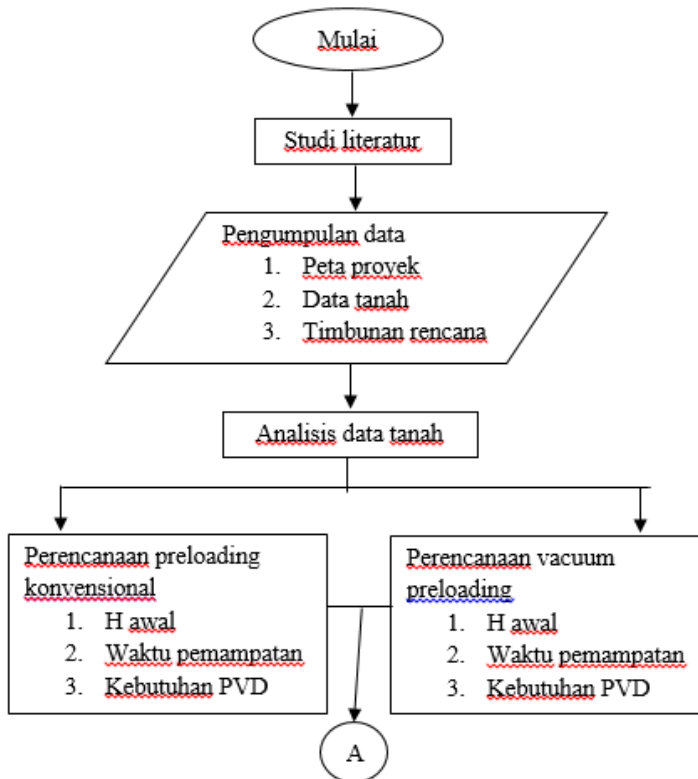
$$\sigma_p = K_p \times \gamma \times H + 2 \times c \times \sqrt{K_p} \quad [2.53]$$

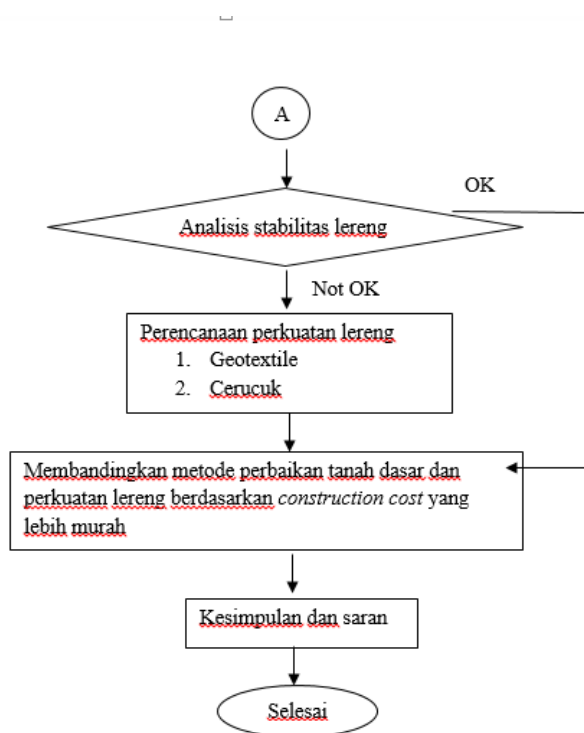
BAB III

METODOLOGI

3.1 Bagan Alir

Bagan alir untuk proses pengerjaan tugas akhir dalam perencanaan perbaikan tanah dasar dan kestabilan lereng pada jalan Tol Ngawi-Kertosono, Jawa Timur ditunjukkan pada **Gambar 3.1**





Gambar 3.1 Diagram Alir Tugas Akhir

3.2 Studi Literatur

Studi literatur berupa pengumpulan materi-materi yang akan digunakan sebagai acuan perencanaan perkuatan lereng. Adapun bahan studi yang akan digunakan dalam perencanaan adalah sebagai berikut:

1. Perencanaan *vacuum preloading* sebagai perbaikan tanah dasar
2. Perencanaan *preloading* konvensional sebagai perbaikan tanah dasar
3. Perhitungan kedalaman dan jarak PVD
4. Referensi mengenai perhitungan stabilitas lereng
5. Referensi tentang software Geoslope

6. Perhitungan perencanaan *geotextile* sebagai konstruksi perbaikan lereng
7. Perhitungan perencanaan cerucuk sebagai konstruksi perbaikan lereng

3.3 Pengumpulan Data

Data yang digunakan adalah data sekunder.

1. Layout proyek dan peta topografi
2. Data Tanah lokasi
3. Timbunan rencana
4. Data Spesifikasi geotextile
5. Data Spesifikasi Cerucuk (*Micropile*)
6. Data Spesifikasi PVD

3.4 Analisa Data Tanah

Data tanah yang ada di analisa untuk mengetahui jenis tanah dan kedalaman tanah mudah mampat (*compressible*).

3.5 Perhitungan Perbaikan Tanah Dasar

Perencanaan perbaikan tanah dasar dengan metode berikut:

- a. Perbaikan Tanah Dasar dengan sistem *vacuum preloading*
 - Menghitung angka peningkatan daya dukung jika menggunakan sistem vacuum preloading
 - Menghitung kebutuhan dan jarak PVD
 - Menghitung tinggi timbunan yang dibutuhkan
- b. Perbaikan Tanah dasar dengan system preloading konvensional
 - Menghitung angka peningkatan daya dukung jika menggunakan sistem preloading konvensional
 - Menghitung kebutuhan dan jarak PVD
 - Menghitung tinggi timbunan yang dibutuhkan

3.6 Perhitungan Perkuatan Lereng

Perencanaan perkuatan dengan alternatif berikut:

- a. Perkuatan lereng dengan geotextile
 - Menentukan tipe geotextile
 - Merencanakan jarak antar geotextile
 - Menghitung panjang dan banyak geotextile yang dibutuhkan
- b. Perkuatan lereng dengan cerucuk
 - Merencanakan jumlah cerucuk yang dibutuhkan
 - Menghitung panjang cerucuk yang dibutuhkan
 - Menentukan jarak pemasangan cerucuk

3.7 Perhitungan biaya *construction cost*

Perhitungan biaya yang dibandingkan berupa biaya material, *equipment*

BAB IV

DATA DAN ANALISA

4.1 Data Tanah

Data tanah yang tersedia pada lokasi proyek merupakan penyelidikan yang dilakukan oleh Laboratorium Uji Material Program Studi Diploma Teknik Sipil FTSP ITS pada tahun 2015. Data yang tersedia adalah 3 data SPT (Standard Penetration Test) dengan kedalaman 30 m. Pengambilan undisturbed sample diambil dengan pada setiap kedalaman -1m, -3m, -5m, -10m, -15m, -20m, -25m, dan -30m. SPT diambil setiap interval 2.5 meter. Sondir ringan kapasitas 2.5 ton sebanyak 27 titik, dan hand boring maksimal kedalaman 5 m sebanyak 7 titik. Pengambilan sample *hand boring* tiap kedalaman -1m, -3m, -5m. Tes laboratorium terhadap sample undisturbed. Titik bor, sondir, dan hand boring letaknya sesuai pada Tabel 4.1. Data-data tersebut terlampir pada Lampiran 1. Dalam data tanah SPT yang terlampir dapat dilihat bahwa sebagian besar tanah lokasi merupakan tanah lempung sampai kedalaman 20 meter dan muka air tanah tidak terdeteksi.

Tabel 4.1 Lokasi Titik Sample

NO	TITIK	STA	NO	TITIK	STA
1	S3	110+500	11	S20	111+950A
2	BH2	110+500A	12	S21	111+950B
3	BH3	110+500C	13	S22	111+950C
4	S24	111+120A	14	BD2	111+950
5	S23	111+120B	15	S18	112+300
6	S25	111+120C	16	S4	112+610A
7	BD1	111+120	17	S5	112+610B
8	S19	111+480	18	S6	112+610C
9	S26	111+500A	19	BD3	112+610
10	S27	111+500B	20	S7	113+000

NO	TITIK	STA
21	S8	113+320
22	S9	113+800
23	BH1	113+800
24	S10	114+600
25	BD4	114+600
26	S11	115+200A
27	S12	115+200B
28	S13	115+200C
29	BD5	115+200
30	S14	117+420A

Data tanah dianalisa dengan membandingkan jenis tanah, analisa SPT, dan nilai tahanan conus dari sondir untuk mendapatkan konsistensi tanah, sehingga dapat diketahui tanah yang mampu mampat dan adanya pasir dalam tanah tersebut.

Jumlah data sondir jauh lebih banyak dan merata dari pada data yang lain. Maka dari itu hanya data sondir yang akan diperhitungkan mewakili jenis tanah dan konsistensi tanah sepanjang jalan. Tentunya akan dilakukan beberapa pendekatan dan korelasi untuk mendapatkan data yang diperlukan di dalam perhitungan.

4.1.1 Data Tanah Dasar

Data parameter tanah yang digunakan dalam Tugas Akhir ini diperoleh dari hasil penyelidikan tanah di lokasi (22 Sondir). Contoh nilai parameter sondir dapat dilihat pada Tabel 4.2 dan lengkap nya terdapat pada Lampiran 1.

Tabel 4.2 Parameter Tanah Dasar Sondir 19

Kedalaman m	jenis tanah	konsistensi	nilai konus kg/cm2	N spt	Nspt	Cu	gamma sat	ϕ	LL %	cc %	PI %	Cv cm2/det			
						t/m2	KN/m3	(°)							
0	4.2	clays	sangat lunak	6.9	1.725	1	0.5	16	0	3.5	60	1.82	0.32	40	0.00005
4.2	6.2	clays	lunak	18.4	4.6	4	2	19	0	2	60	0.75	0.15	40	0.0003
6.2	14.6	clays	menengah	32.7	8.175	8	4	20	0	1.3	60	0.45	0.10	40	0.00065
14.6	19	clays	kaku	51.4	12.85	12	6	19	0	1.15	60	0.40	0.10	40	0.0075

4.1.2 Pembagian zona

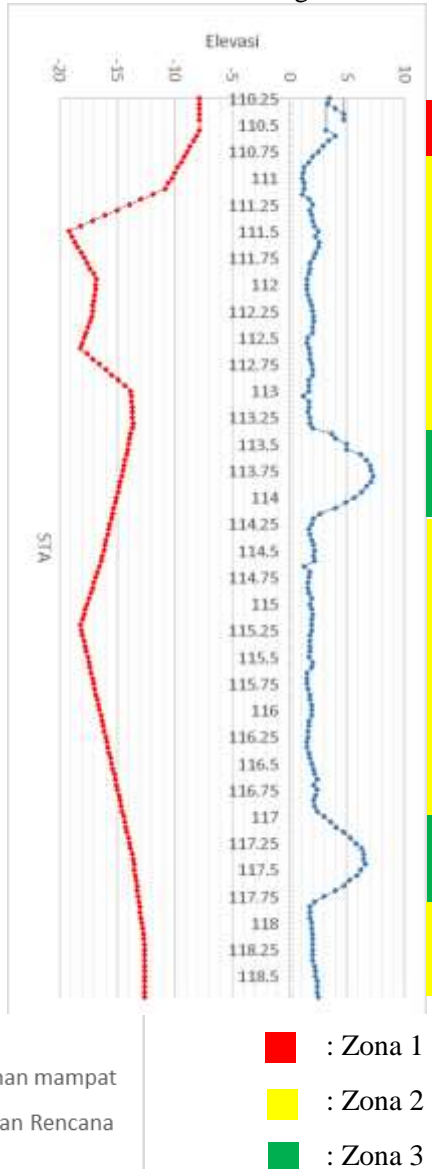
Stratigrafi adalah gambar grafik yang menunjukkan kedalaman tanah dasar yang mampu mampat dan tinggi timbunan yang direncanakan sepanjang jalan yang ditinjau. Kedalaman tanah yang mampu mampat merupakan ketika konsistensi tanah berupa sangat lunak, lunak, dan menengah. Apabila konsistensi tanah sudah mencapai kaku, maka sudah tidak dapat ditembus PVD.

Dalam Tugas Akhir ini jalan yang ditinjau sepanjang 8km. STA yang direncanakan adalah setiap 50 meter. Hasil dari parameter tanah dasar, menjadi dasar dalam pembuatan stratigrafi, dapat dilihat pada Gambar 4.1.

Jalan sepanjang 8km ini dibagi dengan 3 zona. Zona pertama merupakan STA 110+250 hingga STA 110+750. Zone kedua ada pada tiga tempat, yaitu STA 110+750 hingga STA 113+350; STA 114+150 hingga STA 116+950, dan STA 117+750 hingga STA 118+700. Zona ketiga terdapat pada dua tempat yaitu STA 113+400 hingga STA 114+100 dan STA 117+000 hingga STA 117+700. Pembagian zona juga terlihat pada Gambar 4.1.

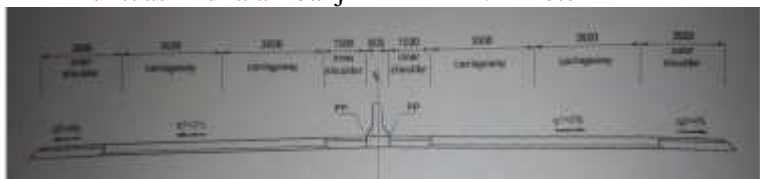
Zona 1 dibuat karena tanah dasar mampu mampatnya lebih pendek dari 10 meter. Zona dua karena tanah dasar mampu mampatnya mencapai kedalaman 19 meter dan ketinggian timbunan rencananya rendah. Zona tiga karena ketinggian timbunan rencananya tertinggi yaitu mencapai 7,3 meter. Pembagian zona, kedalaman tanah mampu mampat, dan ketinggian rencana ditunjukkan pada Gambar 4.1.

Gambar 4.1 Stratigrafi



4.2 Data Timbunan

Kemiringan (<i>slope</i>)	: 1: 2
Lebar badan jalan rencana	: 24.2 m
\emptyset	: 30°
γ sat timbunan	: $1,80 \text{ t/m}^3$
Fluktuasi muka air banjir	: 2 meter



Gambar 4.2 Data jalan

4.3 Data Geotextile

Geotextile digunakan pada alternatif timbunan. *Geotextile* direncanakan menggunakan spesifikasi Unggul-Tex UW 250 dengan *tensile strength* 52 KN/m produksi PT. Teknindo Geosistem Unggul. Spesifikasi selengkapnya dapat dilihat pada Lampiran 2.

4.4 Data Cerucuk

Cerucuk direncanakan menggunakan cerucuk WIKA BETON. Spesifikasi cerucuk yang digunakan adalah cerucuk lingkaran dengan diameter 30 cm kelas C. Spesifikasi selengkapnya dapat dilihat pada Lampiran 2.

4.5 Data Vertical Drain

Vertical drain yang digunakan adalah *Prefabricated Vertical Drain* merk CeTeau Drain CT-D812 produksi PT. Teknindo Geosistem Unggul dengan spesifikasi sebagai berikut:

- Weight = 70 g/m
- Thickness (a) = 100 mm
- Width (b) = 3 mm

Spesifikasi selengkapnya dapat dilihat pada Lampiran 2.

“Halaman ini sengaja dikosongkan”

BAB V

PERENCANAAN DAN PEMILIHAN ALTERNATIF

5.1 Penentuan Data Tanah yang Digunakan

Pada tiap zonanya ada data tanah yang mewakili, untuk zona 1 hanya ada 1 data tanah pada zona itu, yaitu S3. Zona 2 dipilih data tanah yang memiliki tanah mampu mampatnya yang terdalam, yaitu S19. Zona 3 dipilih data tanah S9 karena tepat pada timbunan tertinggi.

5.2 Perhitungan Preloading Konvensional

Preloading merupakan proses pemberian tekanan pada tanah sesuai dengan beban yang akan diterima tanah saat nantinya akan beroperasi. Metode konvensional melakukan preloading dengan cara memberi beban berupa tanah timbunan.

5.2.1 Perencanaan Sc dan H initial Zona 3

Tinggi timbunan yang direncanakan pada Zona 3 paling tinggi adalah 7.3 meter, dengan tanah mampu mampat 14 meter. Perhitungan Zona 3 ini berdasarkan data S9, dengan kedalaman selanjutnya berupa lempung. Maka jalan keluarnya air dalam tanah hanya atas. Untuk mendapatkan nilai H_{inisial} dilakukan perhitungan pemampatan konsolidasi akibat variasi pemberian beban timbunan (q). Variasi beban timbunan yang diberikan yaitu:

$$H \text{ timbunan} = 1 \text{ m}, q = H * \gamma_{\text{timb}} = 1.8 \text{ t/m}^2$$

$$H \text{ timbunan} = 2 \text{ m}, q = H * \gamma_{\text{timb}} = 3.6 \text{ t/m}^2$$

$$H \text{ timbunan} = 3 \text{ m}, q = H * \gamma_{\text{timb}} = 5.4 \text{ t/m}^2$$

$$H \text{ timbunan} = 4 \text{ m}, q = H * \gamma_{\text{timb}} = 7.2 \text{ t/m}^2$$

$$H \text{ timbunan} = 5 \text{ m}, q = H * \gamma_{\text{timb}} = 9 \text{ t/m}^2$$

$$H \text{ timbunan} = 6 \text{ m}, q = H * \gamma_{\text{timb}} = 10.8 \text{ t/m}^2$$

$$H \text{ timbunan} = 7 \text{ m}, q = H * \gamma_{\text{timb}} = 12.6 \text{ t/m}^2$$

$$H \text{ timbunan} = 8 \text{ m}, q = H * \gamma_{\text{timb}} = 14.4 \text{ t/m}^2$$

$$H \text{ timbunan} = 9 \text{ m}, q = H * \gamma_{\text{timb}} = 16.2 \text{ t/m}^2$$

Beban tersebut didistribusikan ke kedalaman tanah yang ditinjau (z) sebagai beban merata trapesium. Lalu dihitung tegangan tanah asli efektif (σ'_o) dan distribusi tegangan akibat q total ($\Delta\sigma'$). Berikut adalah contoh perhitungan tegangan tanah asli efektif (σ'_o) akibat timbunan:

Pada lapisan 1:

$$H = 1 \text{ m}$$

$$Z = 0.5 \text{ m}$$

$$\begin{aligned} (\sigma'_o) &= \gamma' \times Z \\ &= (0,6 \text{ t/m}^3) \times 0,5 \text{ m} \\ &= 0,3 \text{ t/m}^2 \end{aligned}$$

Besar tegangan akibat beban timbunan ($\Delta\sigma'$) ditentukan dengan Persamaan 2.7. Berikut adalah contoh perhitungan tegangan akibat beban timbunan ($\Delta\sigma'$) dengan $q = 1.8 \text{ t/m}^2$:

Pada lapisan 1:

$$\begin{aligned} Z &= 0,5 \text{ m} \\ B1 &= \frac{\text{lebar jalan rencana}}{2} \\ &= \frac{24.2 \text{ m}}{2} \\ &= 12.1 \text{ m} \end{aligned}$$

$$\begin{aligned} B2 &= 2 \times H \text{ total} \\ &= 2 \times 1 \text{ m} \\ &= 2 \text{ m} \end{aligned}$$

$$\begin{aligned} \alpha 1 &= \tan^{-1}\left(\frac{B1+B2}{z}\right) - \tan^{-1}x\left(\frac{B1}{z}\right) \text{ (radian)} \\ &= \tan^{-1}\left(\frac{12.1+2}{0,5}\right) - \tan^{-1}x\left(\frac{12.1}{0,5}\right) \text{ (radian)} \\ &= 0.335^\circ \end{aligned}$$

$$\begin{aligned} \alpha 2 &= \tan^{-1}x\left(\frac{B1}{z}\right) \text{ (radian)} \\ &= \tan^{-1}x\left(\frac{12.1}{0,5}\right) \text{ (radian)} \\ &= 87,634^\circ \end{aligned}$$

$$q_0 = 1.8 \text{ t/m}^2$$

$$\begin{aligned}\Delta\sigma' &= \frac{q_o}{\pi} x \left[\left(\frac{B_1+B_2}{B_2} \right) x (\alpha_1 + \alpha_2) - \left(\frac{B_1}{B_2} x \alpha_2 \right) \right] \\ &= \frac{1.8}{\pi} x \left[\left(\frac{12.1+2}{2} \right) x (0,335 + 87,634) - \left(\frac{12.1}{2} x 87,634 \right) \right] \\ &= 0.9 \text{ t/m}^2 \\ 2\Delta\sigma' &= 2 \times 0.9 \text{ t/m}^2 \\ &= 1.8 \text{ t/m}^2\end{aligned}$$

Hasil perhitungan $\Delta\sigma'$ untuk seluruh lapisan ditampilkan pada Lampiran 3.

Kemudian dilakukan perhitungan *settlement* yang terjadi akibat setiap q yang ditentukan. Berikut adalah contoh perhitungan *settlement* tanah dasar akibat beban timbunan sebesar $q = 1.8 \text{ t/m}^2$:

Pada lapisan 1:

$$\begin{aligned}H_i &= 1 \text{ m} \\ C_c &= 0,97 \\ C_s &= 0,18 \\ e_0 &= 2,38 \\ \sigma'_o &= 0,3 \text{ t/m}^2 \\ 2\Delta\sigma' &= 1.8 \text{ t/m}^2 \\ \sigma'_o + 2\Delta\sigma' &= 0,3 \text{ t/m}^2 + 1.8 \text{ t/m}^2 \\ &= 2.1 \text{ t/m}^2 \\ P_{\text{fluktuasi}} &= 2 \text{ t/m}^2 \\ \sigma'_c &= \sigma'_o + P_{\text{fluktuasi}} \\ &= 0,3 \text{ t/m}^2 + 2 \text{ t/m}^2 \\ &= 2,3 \text{ t/m}^2 \\ \text{OCR} &= \frac{\sigma'_c}{\sigma'_o} \\ &= \frac{2,3 \text{ t/m}^2}{0,3 \text{ t/m}^2} \\ &= 7,67 > 1 \rightarrow \text{OC}\end{aligned}$$

$\sigma'_o + \Delta\sigma' \leq \sigma'_c$. Sehingga:

$$\begin{aligned}Sc &= \frac{C_s \cdot H_0}{1 + e_0} \cdot \log \frac{\sigma'_{vo} + \Delta\sigma}{\sigma'_{vo}} \\ Sc &= \frac{0,32}{1+3,5} \cdot \log \frac{2,1}{0,3}\end{aligned}$$

$$Sc = 0,045 \text{ m}$$

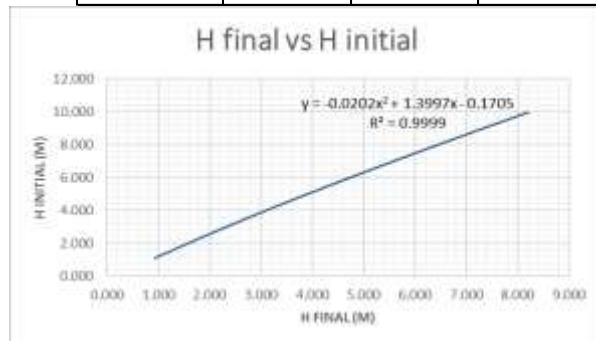
Total pemampatan yang terjadi dari seluruh layer tanah beban timbunan sebesar $q = 1.8 \text{ t/m}^2$ adalah sebesar 0.151 m. Maka $H_{\text{initial}} = 1.8 \text{ t/m}^2 + (0.151 \text{ m} * 1 \text{ t/m}^3) = 1.951 \text{ t/m}^2 / 1.8 \text{ t/m}^3 = 0,933 \text{ m}$.

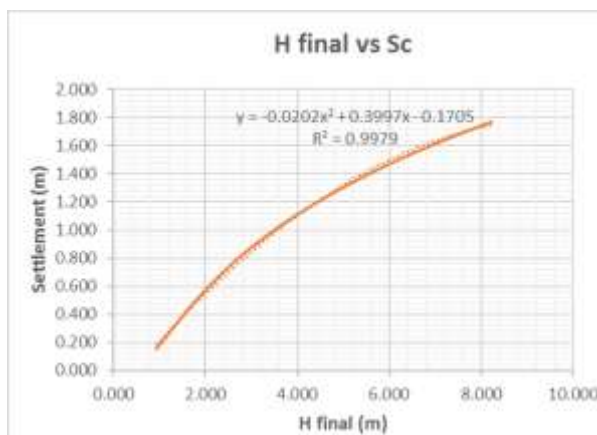
Dari perhitungan

Tabel 5 Error! No text of specified style in document..1

Hasil Perhitungan H_{initial} Zona A

q timb t/m ²	Sc akibat q timb (m)	H_{initial} (m)	H_{final} (m)
Direncanakan	Perhitungan	$(A+B*\gamma_w)/\gamma_t$	$(A-B*\gamma')/\gamma_t$
A	B	C	G
1.8	0.151	1.084	0.933
3.6	0.493	2.274	1.781
5.4	0.782	3.434	2.653
7.2	1.013	4.563	3.550
9	1.206	5.670	4.464
10.8	1.374	6.763	5.389
12.6	1.522	7.845	6.324
14.4	1.654	8.919	7.265
16.2	1.774	9.985	8.212





Gambar 5.1 Grafik penentuan H awal dan SC

Tabel 5.2 Rekap H inisial dan Sc tiap H final zona 3

H final (m)	H initial (m)	Sc (m)
4	5.1	1.1
5	6.3	1.3
6	7.5	1.5
7.3	9.0	1.7

5.2.2 Perhitungan pemampatan dengan rencana $H = 7.3$ m

Direncanakan timbunan dengan rencana $h_{final} = 7.3\text{ m}$, maka butuh menimbun awalnya setinggi 9 m. γ sat timbunan = 1,8 t/m³. Maka direncanakan $q = 16,2 \text{ t/m}^2$. Tabel perhitungan mencari SC dapat dilihat pada Tabel 5.3.

Tabel 5.3

Perhitungan pemampatan dengan rencana h final = 7.3 m

Kedalaman H (m)	Tebal lapisan (m)	z	e	Cc	Cs	α_1	α_2	$\Delta\sigma$	$2\Delta\sigma$	γ'_{sat}	γ'	$\gamma' * H$	$\gamma' * H$ kum	σ_0	σ'_c	OCR	NC/OC soil	$\Delta\sigma_0$	Sc	Σ Sc	akibat timbunan		
0 - 1	1	0.5	2.380	0.970	0.180	1.415	87.634	8.100	16.200	1.600	0.600	0.600	0.600	0.300	2.300	7.67	OC Soil	16.500	0.293	0.293			
1 - 2	1	1.5	2.380	0.970	0.180	4.214	82.933	8.098	16.196	1.600	0.600	0.600	1.200	0.900	2.900	3.22	OC Soil	17.096	0.248	0.541			
2 - 3	1	2.5	2.380	0.970	0.180	6.926	78.326	8.092	16.183	1.600	0.600	0.600	1.800	1.500	3.500	2.33	OC Soil	17.683	0.221	0.762			
3 - 4	1	3.5	2.380	0.970	0.180	9.500	73.867	8.078	16.156	1.600	0.600	0.600	2.400	2.100	4.100	1.95	OC Soil	18.256	0.202	0.964			
4 - 5	1	4.5	1.250	0.430	0.100	11.897	69.600	8.055	16.109	1.900	0.900	0.900	3.300	2.850	4.850	1.7	OC Soil	18.959	0.123	1.887			
5 - 6	1	5.5	1.250	0.430	0.100	14.089	65.556	8.020	16.041	1.900	0.900	0.900	4.200	3.750	5.750	1.53	OC Soil	19.791	0.111	1.198			
6 - 7	1	6.5	0.950	0.350	0.090	16.059	61.756	7.975	15.950	2.000	1.000	1.000	5.200	4.700	6.700	1.43	OC Soil	20.650	0.095	1.293			
7 - 8	1	7.5	0.950	0.350	0.090	17.801	58.208	7.918	15.835	2.000	1.000	1.000	6.200	5.700	7.700	1.35	OC Soil	21.535	0.089	1.379			
8 - 9	1	8.5	0.950	0.350	0.090	19.318	54.913	7.850	15.659	2.000	1.000	1.000	7.200	6.700	8.700	1.3	OC Soil	22.399	0.079	1.458			
9 - 10	1	9.5	0.950	0.350	0.090	20.620	51.864	7.771	15.542	2.000	1.000	1.000	8.200	7.700	9.700	1.26	OC Soil	23.242	0.073	1.531			
10 - 11	1	10.5	0.950	0.350	0.090	21.720	49.050	7.683	15.367	2.000	1.000	1.000	9.200	8.700	10.700	1.23	OC Soil	24.067	0.067	1.598			
11 - 12	1	11.5	0.950	0.350	0.090	22.634	46.456	7.587	15.175	2.000	1.000	1.000	10.200	9.700	11.700	1.21	OC Soil	24.875	0.063	1.661			
12 - 13	1	12.5	0.950	0.350	0.090	23.379	44.068	7.485	14.969	2.000	1.000	1.000	11.200	10.700	12.700	1.19	OC Soil	25.669	0.058	1.719			
13 - 14	1	13.5	0.950	0.350	0.090	23.974	41.870	7.376	14.753	2.000	1.000	1.000	12.200	11.700	13.700	1.17	OC Soil	26.453	0.054	1.774			

5.2.3 Perencanaan Perbaikan Tanah dengan PVD

5.2.3.1 Perhitungan waktu konsolidasi (t)

Perhitungan waktu konsolidasi (t) sebagai berikut adalah contoh perhitungan untuk tanah dasar pada perhitungan $h = 7,3$ m atau $q = 16,2$ t/m² pada Zona 3:

$$t = \frac{Tv \cdot (H_{dr})^2}{Cv}$$

dengan:

$$T_{v90} = 0,848$$

$$H_{dr} = 14 \text{ meter}$$

$$Cv = \frac{(H_1 + H_2 + \dots + H_n)^2}{\left(\frac{H_1}{\sqrt{Cv_1}} + \frac{H_2}{\sqrt{Cv_2}} + \dots + \frac{H_n}{\sqrt{Cv_n}} \right)^2} \quad (\text{Persamaan 2.20})$$

$$= \frac{(4+2+8)^2}{\left(\frac{4}{\sqrt{0,0002}} + \frac{2}{\sqrt{0,0007}} + \frac{8}{\sqrt{0,0009}} \right)^2}$$

$$= 0,0005016 \text{ cm}^2/\text{detik}$$

$$= 0,00000005016 \text{ m}^2/\text{detik}$$

$$= 0,15818 \text{ m}^2/\text{tahun}$$

$$t = \frac{0,848 \cdot (14m)^2}{0,15818m^2/tahun}$$

$$= 140 \text{ tahun}$$

Karena waktu yang dibutuhkan untuk konsolidasi sebesar 90% sangat lama, maka diperlukan bantuan *vertical drain* untuk mempercepat waktu konsolidasi tersebut. Jenis *vertical drain* yang dipakai adalah *Prefabricated Vertical Drain* (PVD).

5.2.3.2 Perencanaan Kedalaman PVD

Kedalaman tanah mampu mampat pada S9 yaitu sampai kedalaman 14 meter, apabila mampu memasang PVD kurang dari 14 meter dan tetap dalam kondisi aman dengan asumsi penurunan 2cm/tahun, maka biaya yang digunakan dapat berkurang atau lebih menguntungkan dibandingkan apabila memasang PVD sampai 14 meter.

Penurunan dibagi menjadi 2 bagian yaitu, penurunan jangka pendek, yang merupakan penurunan akibat PVD.

Penurunan jangka panjang, yang merupakan penurunan akibat pemampatan lapisan tanah di bawah kedalaman ujung PVD. Penurunan dapat diterima bila kecepatan penurunan jangka panjang rata-rata per tahun ≤ 2 cm/tahun. Diasumsikan jika berjalan 3 tahun melakukan overlay. Hasil penentuan kedalaman PVD dapat dilihat pada Tabel 5.4

$$\begin{aligned} \text{Tv 3 tahun} &= \left(\frac{3 \times C_v \cdot g \cdot a \cdot b}{H \cdot d \cdot r^2} \right) \\ \text{Tv} &= \left(\frac{3 \times 15818}{1400^2} \right) = 0.0242 \\ \text{Uv} &= \frac{4 \times T \cdot v}{\pi^{0.5}} \\ \text{Uv} &= 18\% \end{aligned}$$

Contoh perhitungan apabila PVD sampai kedalaman 1 meter:

Sc pada kedalaman 0m - 1m = 0,293 = Sc akibat PVD

Sc pada kedalaman 1m - 14m = 1,48m = Sc sisa

Sc 3 tahun kemudian = $1,48 * 18\% = 0,26$ m = 26cm dalam 3 tahun

Sc cm/tahun = $8,67 \geq 2$ cm (PWD masih kurang dalam)

Apabila PVD sampai kedalaman 2 meter:

Sc pada kedalaman 0m - 2m = 0,541 = Sc akibat PVD

Sc pada kedalaman 2m - 14m = 1,233m = Sc sisa

Sc 3 tahun kemudian $1,233 * 18\% = 0,216$ m = 21,6 cm dalam 3 tahun

Sc cm/tahun = $7,21 \geq 2$ cm (PWD masih kurang dalam)

Perhitungan dilakukan sampai sc cm/tahun nya dibawah 2 cm/tahun. Kedalaman PVD yang digunakan dapat dilihat pada Tabel 5.4

Tabel 5.4 Perbandingan Kedalaman PVD dalam *Rate of Settlement*

Kedalaman PVD yang ditanam(m)	Sc akibat PVD (m)	sc n tahun kemudian (sc yang tidak dicapai PVD) (m)	rate of settlement (cm per tahun)
0	0	0.311	10.38
1	0.293	0.260	8.67
2	0.541	0.216	7.21
3	0.762	0.178	5.92
4	0.964	0.142	4.74
5	1.087	0.120	4.02
6	1.198	0.101	3.37
7	1.293	0.084	2.81
8	1.379	0.069	2.31
9	1.458	0.055	1.85
10	1.531	0.043	1.42
11	1.598	0.031	1.03
12	1.661	0.020	0.66
13	1.719	0.010	0.32
14	1.774	0.000	0.00

Maka Cv gabungan yang dipakai hanya sampai kedalaman 9 m

Tabel 5.5 Cv gabungan sepanjang PVD

Kedalam an (m)	Tebal Lapisan	Cv (cm ² /det)	\sqrt{Cv}	H/V Cv	Cv gab (cm ² /det)	Cv gab (cm ² /tahun)
1	1	0.00020	0.014142	70.71	0.00038541	12154.4
2	1	0.00020	0.014142	70.71		
3	1	0.00020	0.014142	70.71		
4	1	0.00020	0.014142	70.71		
5	1	0.00070	0.026458	37.80		
6	1	0.00070	0.026458	37.80		
7	1	0.00090	0.03	33.33		
8	1	0.00090	0.03	33.33		
9	1	0.00090	0.03	33.33		

5.2.3.3 Perencanaan *Prefabricated Vertical Drain (PVD)*

Tujuan dari pemasangan PVD pada perencanaan ini adalah untuk membantu mempercepat proses pemampatan konsolidasi, sehingga dapat berlangsung dengan waktu yang relatif singkat. Perencanaan PVD dalam Tugas Akhir ini menggunakan pola persegi dan pola segitiga, dengan jarak antar PVD (S) yang dihitung adalah 0,5; 0,75; 1; 1,25; 1,5 meter. Dengan pola pemasangan segitiga dan segiempat.

D = diameter ekivalen dari lingkaran tanah yang merupakan daerah pengaruh dari *vertical drain*.

$$= 1,05 \times S \text{ untuk segitiga}$$

$$= 1,13 \times s \text{ untuk segiempat}$$

5.2.3.3.1 Perencanaan PVD dengan pola segitiga

Berikut adalah contoh perhitungan perencanaan PVD pola segitiga untuk sisi sebelum sungai dengan jarak S= 0,75 m:

- Menghitung Fungsi Hambatan PVD ($F(n)$).

D = diameter ekivalen dari lingkaran tanah

yang merupakan daerah pengaruh dari *vertical drain*.

$$\begin{aligned}
 &= 1,05 \times S \\
 &= 1,05 \times 0,75 \\
 &= 0,7875 \text{ m} \\
 dw &= 2(a+b)/\pi \\
 &= 2(100+3)/\pi \\
 &= 51,5 \text{ mm} \\
 n &= D/dw \\
 &= 0,7875 \text{ m} / 0,0515 \text{ m} \\
 &= 15,3 \\
 F(n) &= \left(\frac{n^2}{n^2 - 1^2} \right) \left[\ln(n) - \frac{3}{4} - \left(\frac{1}{4n^2} \right) \right] \\
 F(n) &= \left(\frac{15,3^2}{15,3^2 - 1^2} \right) \left[\ln(15,3) - \frac{3}{4} - \left(\frac{1}{4 * 15,3^2} \right) \right] \\
 F(n) &= 1,99
 \end{aligned}$$

- Menghitung Derajat Konsolidasi Tanah Akibat Aliran Air Arah Vertikal (U_v) dengan PVD

Dalam hal ini besarnya U_v diasumsikan kurang dari 60% sehingga untuk memperoleh nilai U_v maka terlebih dahulu perlu mengetahui nilai T_v .

$$\begin{aligned}
 C_v &= 0,00004 \text{ cm}^2/\text{dtk} \\
 t &= 1 \text{ minggu} = 604800 \text{ detik} \\
 H_{dr} &= 14 \text{ m} = 1400 \text{ cm} \\
 T_v &= \text{faktor waktu} = \frac{t \times C_v}{(H_{dr})^2} \\
 &= \frac{1 \text{ minggu} \times (604800 \text{ detik}) \times 0,00000004 \text{ m}^2/\text{detik}}{(14 \text{ m})^2} \\
 &= 0,0003 \\
 U_v &= \left(2 \sqrt{\frac{T_v}{\pi}} \right) \times 100\% \\
 &= \left(2 \sqrt{\frac{0,0003}{\pi}} \right) \times 100\% \\
 &= 0,0191
 \end{aligned}$$

- Menghitung Derajat Konsolidasi Tanah Akibat Aliran Air Arah Horizontal (Uh)

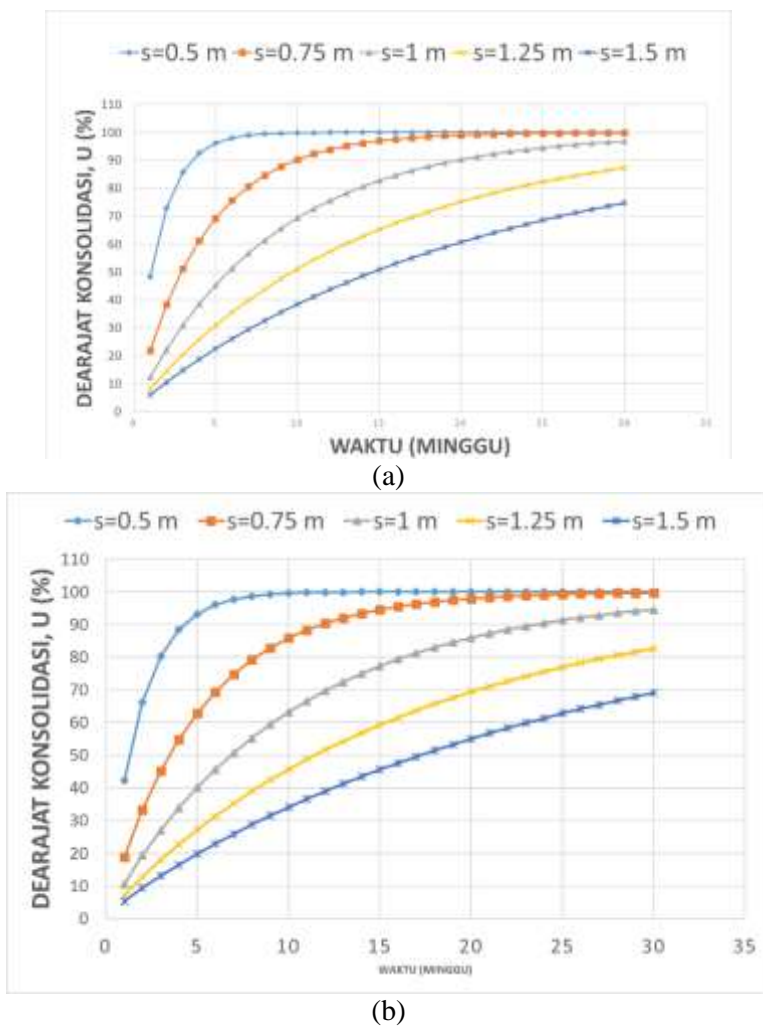
$$\begin{aligned}
 C_{vgab} &= 0,00004 \text{ cm}^2/\text{dtk} \\
 K_h/K_v &= 3 \\
 \text{Lebar PVD (a)} &= 100 \text{ mm} \\
 \text{Tebal PVD (b)} &= 3 \text{ mm} \\
 d_w &= 51,5 \text{ mm} \\
 Ch &= 3 \times C_v \\
 &= 3 \times 0,000000004 \text{ m}^2/\text{detik} \\
 &= 0,00000012 \text{ m}^2/\text{dtk}
 \end{aligned}$$

$$\begin{aligned}
 Uh &= \left[1 - \left(\frac{1}{e^{\left(\frac{tx8xCh}{D^2x2xF(n)} \right)}} \right) \right] \\
 &= \left[1 - \left(\frac{1}{e^{\left(\frac{(1 \times 604800)x8x0,00000012}{1,05^2x2x1.985} \right)}} \right) \right] \\
 &= 0,203
 \end{aligned}$$

- Menghitung Derajat Konsolidasi rata-rata (Urata-rata)

$$\begin{aligned}
 U \text{ rata-rata} &= (1-(1-Uh) \times (1-Uv)) \times 100\% \\
 &= (1-(1-0,0203) \times (1-0,0191)) \times 100\% = 21.85 \%
 \end{aligned}$$

Perhitungan diatas dilakukan untuk seluruh jarak PVD (S). Pada 5.2 ditampilkan grafik hubungan waktu dengan derajat konsolidasi dengan menggunakan PVD pola segitiga.



Gambar 5.2 Grafik Hubungan Derajat Konsolidasi (U) dengan Waktu Timbunan dengan PVD (a) Pola Segitiga dan (b) pola segiempat

Dari Gambar 5.2 dipilih jarak antar PVD pola segitiga yang dipakai adalah 1 m. Pada Tabel 5.6 dapat dilihat derajat konsolidasi per minggu nya apabila menggunakan PVD pola segitiga dengan jarak 1 meter.

Tabel 5.6 Derajat konsolidasi PVD pola segitiga jarak 1m

segitiga 1					
t	Ugab (%)			16	84.617
1	12.308	8	61.395	17	86.282
2	22.235	9	65.606	18	87.767
3	30.910	10	69.352	19	89.089
4	38.560	11	72.686	20	90.269
5	45.328	12	75.654	21	91.320
6	51.331	13	78.297	22	92.257
7	56.660	14	80.651	23	93.093
		15	82.749	24	93.839

5.2.4 Alternatif Perencanaan Perkuatan *Geotextile* Perhitungan peningkatan kohesi *undrained* (Cu)

Perhitungan peningkatan nilai Cu perlu dilakukan untuk menentukan apakah tanah dasar cukup mampu memikul beban timbunan dengan peningkatan nilai C_u akibat adanya penimbunan dan bantuan PVD. Perhitungan tersebut dilakukan untuk menentukan apakah dibutuhkan perkuatan nantinya. Perkuatan berupa geotextile perlu dihitung apakah dapat menahan beban timbunan nantinya apabila sudah beroperasi.

Peningkatan nilai Cu menggunakan peningkatan saat final atau 100%.

1. Menghitung tegangan di tiap lapisan tanah untuk derajat konsolidasi (U) 100%

Perhitungan perubahan tegangan didapat dari:

$$\sigma' = P_o + \Delta\sigma'$$

(ΔP_i) dengan distribusi tegangan sesuai dengan kedalaman yang ditinjau.

Hasil perhitungan $\Delta\sigma'$ dan \DeltaP' ditampilkan pada 5.Error! Reference source not found.8

Tabel 5Error! No text of specified style in document..7
Perubahan Tegangan Efektif Tanah Akibat Penimbunan

Tegangan efektif untuk U 100%				Derajat Konsolidasi U<100%				
Depth (m)		z	Po' t/m2	σ' t/m2	Perubahan Tegangan	Po' KN/m2	ΔP'1' KN/m2	Σσp'
		(m)	0	9.00	Tinggi Timbunan	0	9	
0	-	1	0.5	0.300	Kedalaman/ U (%)	1	100.000	t/m2
1	-	2	1.5	0.900	Kedalaman/ U	1	1.000	t/m2
2	-	3	2.5	1.500	0	-	0.300	16.200
3	-	4	3.5	2.100	1	-	0.900	17.096
4	-	5	4.5	2.850	2	-	1.500	16.183
5	-	6	5.5	3.750	3	-	2.100	16.156
6	-	7	6.5	4.700	4	-	2.850	16.109
7	-	8	7.5	5.700	5	-	3.750	16.041
8	-	9	8.5	6.700	6	-	4.700	15.950
					7	-	5.700	20.650
					8	-	6.700	21.535
								22.399

(Sumber : Hasil Analisa)

2. Menghitung kenaikan harga Cu. Hasil perhitungan peningkatan nilai Cu ditampilkan pada Tabel 5.8.

Tabel 5.8 Hasil Perhitungan Peningkatan Nilai Cu

Σσp'	Kedalaman			PI	Cu lama	Tek tanah asli (rumus) (Ardana & Mochtar)		Cu baru (Ardana & Mochtar)
	kg/cm2	(m)	%			kg/cm2	kg/cm2	
1.650	0	-	1	40	0.050	0.077	0.077	0.281
1.710	1	-	2	40	0.050	0.085	0.085	0.288
1.768	2	-	3	40	0.050	0.093	0.093	0.296
1.826	3	-	4	40	0.050	0.100	0.100	0.303
1.896	4	-	5	40	0.200	0.109	0.200	0.312
1.979	5	-	6	40	0.200	0.121	0.200	0.322
2.065	6	-	7	40	0.400	0.133	0.400	0.333
2.154	7	-	8	40	0.400	0.145	0.400	0.344
2.240	8	-	9	40	0.400	0.158	0.400	0.355

(Sumber: Hasil Analisis)

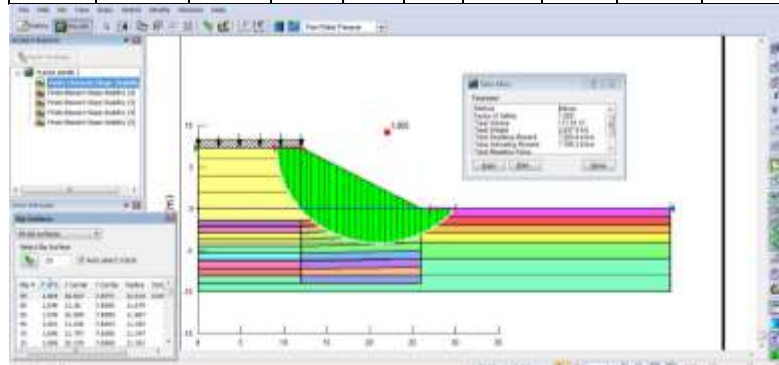
Perencanaan Perkuatan dengan Geotextile

Perhitungan geotextile sebagai perkuatan tanah lereng. Penentuan jarak antar geotextile yaitu 0,3 m. Perhitungan geotextile membutuhkan hasil dari program bantu, yaitu SF dan Momen Penahan. Tinggi timbunan yang digunakan pada

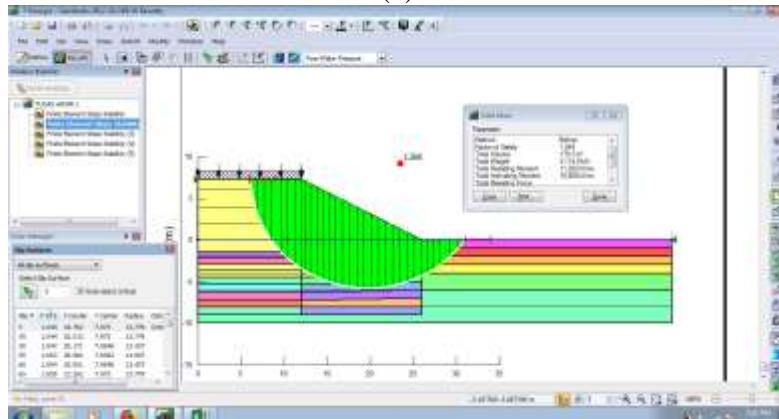
program bantu adalah h final yaitu 7.3 meter. Hasil dari program bantu Geostudio dapat dilihat pada tabel 5.9

Tabel 5.9 Hasil Geostudio

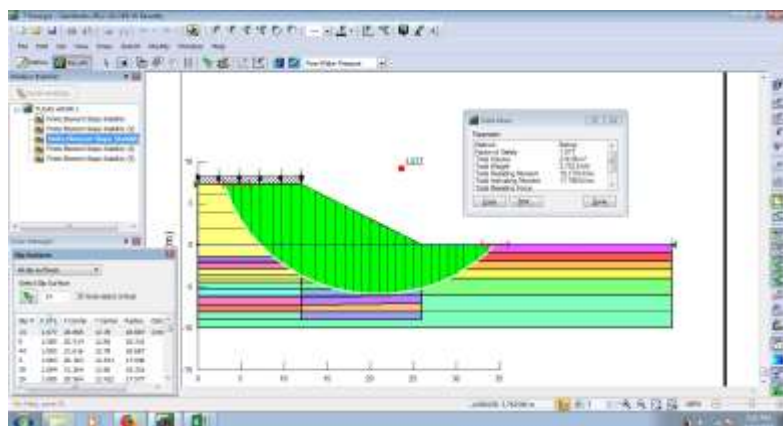
No	SF geostudio	Hasil geostudio				Perhitungan		
		MR (kN.m)	MD (kN.m)	titik pusat	R m	SF rencana	MR rencana (kN.m)	Δ MR
1	1.01	7200.4	7166.2	20.9	7.9	12	1.25	8957.75
2	1.04	11282	10808	19.8	8	13.8	1.25	13510
3	1.08	19170	17798	20.9	12.8	18.7	1.25	22247.5
4	1.2	23081	19284	21.6	13	19.4	1.25	24105
5	1.03	7511.5	7325.4	20.8	7.9	12.1	1.25	9156.75



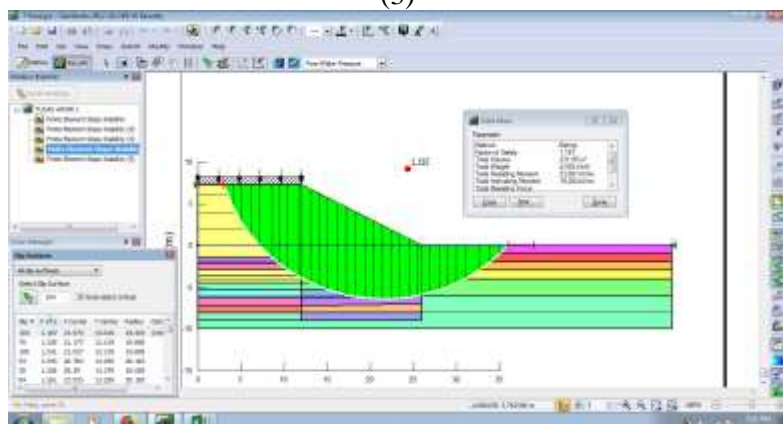
(1)



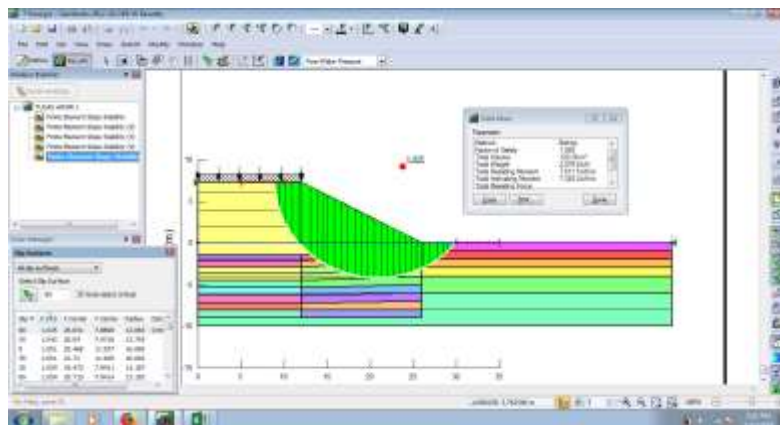
(2)



(3)



(4)



(5)

Gambar 5.3 hasil program bantu Geostudio

Berikut contoh perhitungan perencanaan *geotextile* saat H final dengan SF 1,01:

1. Perhitungan kuat tarik ijin

$$\text{Geotextile : } T_{ult} = 52 \text{ kN/m}$$

$$T_{allow} = \frac{52}{1.2 \times 2.5 \times 1.01} \\ T_{allow} = 17.333 \text{ kN/m}$$

2. Perhitungan Momen penahan rencana

$$SF \text{ rencana} = 1.25$$

$$MR \text{ rencana} = SF \text{ rencana} * MD = 8957.75 \text{ kNm}$$

$$\Delta MR = 8957.75 - 7166.2 = 1757.35 \text{ kNm}$$

3. Perhitungan panjang *geotextile* di belakang bidang longsor (Le). Perhitungan Le dilakukan tiap lapisan. Berikut contoh perhitungan Le:

Pada z = 0 m dan Sv = 0.3 m dengan SF rencana = 1,25

$$\text{diperoleh: } Le = \frac{0.3 \times 17.333 \times 1.25}{2(93.53 + (22.1) \times 0.8)}$$

$$Le = 0.223$$

Dipakai Le min = 1 meter

4. Perhitungan panjang *geotextile* di depan bidang longsor (LR) menggunakan rumus

$$L_R = (9 - 0)x \operatorname{tg} (45 - \frac{30}{2})$$

$$L_R = 5,2 \text{ m}$$

5. Perhitungan panjang lipatan *geotextile* (Lo) adalah setengah dari Le, karena Le lebih kecil dari 1 maka Lo = 1 m.

6. Panjang total *geotextile* per lapis

$$L_{\text{total}} = Le + L_R + Lo + Sv$$

$$L_{\text{total}} = 1 + 5,2 + 1 + 0,3 = 7,5 \text{ m} = 8 \text{ m}$$

7. Menghitung tambahan Momen penahan akibat *geotextile*

$$MR = Tallow \times Ti \quad Ti : \text{jarak geotextile}$$

$$MR = 17,333 \times 9,36 \quad \text{dengan pusat bidang longsor}$$

$$MR = 136,93 \text{ kNm}$$

Hasil perhitungan Panjang total *geotextile* disajikan pada Tabel 5.10.

Tabel 5.10 Perhitungan kebutuhan *geotextile*

H (m)	Ti (m)	Jumlah rangkap	ΔMR (kNm)	ΔMR kum (kNm)	M tahan (kNm)	SF	jumlah
							lapis
0.00	9.36	1	162.24	162.24	7362.64	1.027	1
0.30	9.06	1	157.04	319.28	7519.68	1.049	2
0.60	8.76	1	151.84	471.12	7671.52	1.071	3
0.90	8.46	1	146.64	617.76	7818.16	1.091	4
1.20	8.16	1	141.44	759.2	7959.60	1.111	5
1.50	7.86	1	136.24	895.44	8095.84	1.130	6
1.80	7.56	1	131.04	1026.48	8226.88	1.148	7
2.10	7.26	1	125.84	1152.32	8352.72	1.166	8
2.40	6.96	1	120.64	1272.96	8473.36	1.182	9
2.70	6.66	1	115.44	1388.4	8588.80	1.199	10
3.00	6.36	1	110.24	1498.64	8699.04	1.214	11
3.30	6.06	1	105.04	1603.68	8804.08	1.229	12
3.60	5.76	1	99.84	1703.52	8903.92	1.242	13
3.90	5.46	1	94.64	1798.16	8998.56	1.256	14

Tabel 5.11 Rekap kebutuhan geotextile

SF	lapis geotextile
1.01	14
1.04	19
1.08	14
1.2	4
1.03	13

Tabel 5.12 Panjang geotextile yang dibutuhkan

No	Hi = (H-Z)	Ti	σv	τ1	τ2	Le	Lo	o (paka)	Lr	L total	L total x rangkap
	m	m	kN/m ²	kN/m ²	kN/m ²	m	m	m	m	m	m
1	9.00	9.36	162	93.531	28.077	1.000	0.111	1	5.2	28.00	28
2	8.70	9.06	156.6	90.413	90.413	1.000	0.075	1	5.0	27.70	27.7
3	8.40	8.76	151.2	87.295	87.295	1.000	0.078	1	4.8	8.00	8
4	8.10	8.46	145.8	84.178	84.178	1.000	0.080	1	4.7	7.00	7
5	7.80	8.16	140.4	81.060	81.060	1.000	0.084	1	4.5	7.00	7
6	7.50	7.86	135	77.942	77.942	1.000	0.087	1	4.3	7.00	7
7	7.20	7.56	129.6	74.825	74.825	1.000	0.090	1	4.2	7.00	7
8	6.90	7.26	124.2	71.707	71.707	1.000	0.094	1	4.0	7.00	7
9	6.60	6.96	118.8	68.589	68.589	1.000	0.099	1	3.8	7.00	7
10	6.30	6.66	113.4	65.472	65.472	1.000	0.103	1	3.6	6.00	6
11	6.00	6.36	108	62.354	62.354	1.000	0.109	1	3.5	6.00	6
12	5.70	6.06	102.6	59.236	59.236	1.000	0.114	1	3.3	6.00	6
13	5.40	5.76	97.2	56.118	56.118	1.000	0.121	1	3.1	6.00	6
14	5.10	5.46	91.8	53.001	53.001	1.000	0.128	1	2.9	6.00	6

5.2.5 Alternatif Perkuatan *micropile*/cerucuk

Pada alternatif perkuatan menggunakan *micropile* untuk aman terhadap *overall stability*. Analisa kestabilan dilakukan menggunakan program bantu *Geoslope* untuk mendapatkan SF, momen *resisting*, jari-jari kelongsoran, serta koordinat kelongsoran dengan kondisi terkritis.

Contoh perhitungan cerucuk dengan SF = 1,01. Direncanakan cerucuk yang digunakan

$$D = 30\text{cm}$$

$$\text{Class} = \text{C}$$

$$M_{\text{crack}} = 4\text{t/m}$$

$$\begin{array}{ll} E & = 315285,6 \text{ kg/cm}^2 \\ I & = 34607,8 \text{ cm}^4 \end{array}$$

- Menghitung Gaya Penahan (*Resisting*)

Faktor modulus tanah (f)

C_u = Tahanan geser tanah asli

C_u (pada garis longsor) = 0,3 kg/cm²

$$q_u = 2 \times C_u$$

$$= 2 \times 0,3 \text{ Kg/cm}^2$$

$$= 0,6 \text{ Kg/cm}^2$$

dengan Grafik NAVFAC, DM-7, 1971 seperti yang ditampilkan pada BAB2, maka didapat:

$$f = 0,128 \text{ kg/cm}^3$$

direncanakan L = 2m di bawah garis longsor

$$T = (EI/f)^{0.2}$$

T = 153,4 cm T : faktor kekakuan relative

$$L/T = 1.3$$

FM = 1 (grafik)

P = M crack/ FM.T

$$P = 2606 \text{ kg} = 26,06 \text{ kN}$$

$$n = (SF_{\text{Frencana}} - SF) * MD / (PxR)$$

$$n = (1.25 - 1.01) * 7166,2 / (26,06 \times 12)$$

n = 6 cerucuk

Tabel 5.13 rekap kebutuhan cerucuk

SF	jumlah cerucuk
1.01	6
1.04	7
1.08	6
1.2	6
1.03	6

(Sumber: Hasil Analisis)

5.3 Metode Vacuum Preloading

Preloading, proses pemberian tekanan pada tanah sesuai dengan beban yang akan diterima tanah saat nantinya akan beroperasi. Metode vacuum melakukan preloading dengan cara memberi beban berupa tekanan vacuum.

5.3.1 Perencanaan Sc dan H initial

Tinggi timbunan yang direncanakan setinggi 7,3 meter. Berdasarkan data S9, kedalaman tanah mampu mampat adalah 14 meter, dan kedalaman selanjutnya berupa pasir. Maka jalan keluarnya air dalam tanah ke atas dan ke bawah.

Untuk mendapatkan nilai H_{inisial} dilakukan perhitungan pemampatan konsolidasi akibat variasi pemberian beban timbunan (q). Variasi beban timbunan yang diberikan yaitu:

$$\text{H timbunan} = 0 \text{ m}, q = H^* \gamma_{\text{timb}} = 0 \text{ t/m}^2$$

$$\text{H timbunan} = 1 \text{ m}, q = H^* \gamma_{\text{timb}} = 1.8 \text{ t/m}^2$$

$$\text{H timbunan} = 2 \text{ m}, q = H^* \gamma_{\text{timb}} = 3.6 \text{ t/m}^2$$

$$\text{H timbunan} = 3 \text{ m}, q = H^* \gamma_{\text{timb}} = 5.4 \text{ t/m}^2$$

$$\text{H timbunan} = 4 \text{ m}, q = H^* \gamma_{\text{timb}} = 7.2 \text{ t/m}^2$$

$$\text{H timbunan} = 5 \text{ m}, q = H^* \gamma_{\text{timb}} = 9 \text{ t/m}^2$$

Beban tersebut didistribusikan ke kedalaman tanah yang ditinjau (z) sebagai beban merata trapesium. Lalu dihitung tegangan tanah asli efektif (σ_o) dan distribusi tegangan akibat q total ($\Delta\sigma'$). Berikut adalah contoh perhitungan tegangan tanah asli efektif (σ_o) akibat timbunan:

Pada lapisan 1:

$$H = 0 \text{ m}$$

$$Z = 0.5 \text{ m}$$

$$\begin{aligned} (\sigma'o) &= \gamma' \times Z \\ &= (0.6 \text{ t/m}^3) \times 0.5 \text{ m} \\ &= 0.3 \text{ t/m}^2 \end{aligned}$$

Besar tegangan akibat beban timbunan ($\Delta\sigma'$) ditentukan Berikut adalah contoh perhitungan tegangan akibat beban timbunan ($\Delta\sigma'$) dengan $q = 0 \text{ t/m}^2$:

Pada lapisan 1:

$$Z = 0,5 \text{ m}$$

$$\begin{aligned} B1 &= \frac{\text{lebar timbunan atas}}{2} \\ &= \frac{0 \text{ m}}{2} \\ &= 0 \text{ m} \end{aligned}$$

$$B2 = 2 \times \text{H total}$$

$$= 2 \times 0 \text{ m}$$

$$= 0 \text{ m}$$

$$\begin{aligned} \alpha 1 &= \tan^{-1}\left(\frac{B1+B2}{z}\right) - \tan^{-1}x\left(\frac{B1}{z}\right) \text{ (radian)} \\ &= \tan^{-1}\left(\frac{0+0}{0,5}\right) - \tan^{-1}x\left(\frac{0}{0,5}\right) \text{ (radian)} \\ &= 0^\circ \end{aligned}$$

$$\begin{aligned} \alpha 2 &= \tan^{-1}x\left(\frac{B1}{z}\right) \text{ (radian)} \\ &= \tan^{-1}x\left(\frac{0}{0,5}\right) \text{ (radian)} \\ &= 0^\circ \end{aligned}$$

$$q_0 = 1.8 \text{ t/m}^2$$

$$\begin{aligned} \Delta\sigma' &= \frac{q_0}{\pi} x \left[\left(\frac{B1+B2}{B2} \right) x (\alpha 1 + \alpha 2) - \left(\frac{B1}{B2} x \alpha 2 \right) \right] \\ &= \frac{1.8}{\pi} x \left[\left(\frac{0}{2} \right) x(0) - \left(\frac{0}{2} x 0 \right) \right] \\ &= 0 \text{ t/m}^2 \end{aligned}$$

$$2\Delta\sigma' = 0 \text{ t/m}^2$$

$$= 0 \text{ t/m}^2$$

Kemudian dilakukan perhitungan *settlement* yang terjadi akibat setiap q yang ditentukan. Berikut adalah contoh perhitungan *settlement* tanah dasar akibat beban timbunan sebesar $q = 0 \text{ t/m}^2$:

Pada lapisan 1:

$$H_i = 0 \text{ m}$$

$$C_c = 1,82$$

$$\begin{aligned}
 Cs &= 0,32 \\
 e_0 &= 3,5 \\
 \sigma' o &= 0,3 \text{ t/m}^2 \\
 2\Delta\sigma' &= 0 \text{ t/m}^2
 \end{aligned}$$

Cara mendapatkan σ'_{vac} dengan cara mengetahui lokasi proyek, maka lokasi proyek bertempat di madiun dengan ketinggian 60 m dari permukaan laut. Sehingga didapat tekanan $P(60) = 75.4 \text{ cmHg} = 100.5 \text{ kPa}$
Dengan efektifitas kerja vacuum 80% maka beban akibat vacuum 80 kPa = 8 t/m²

$$\begin{aligned}
 \sigma' o + 2\Delta\sigma' + \sigma'_{vac} &= 0,3 \text{ t/m}^2 + 0 + 8 \text{ t/m}^2 \\
 &= 8,3 \text{ t/m}^2 \\
 P_{fluktuasi} &= 2 \text{ t/m}^2 \\
 \sigma c' &= \sigma' o + P_{fluktuasi} \\
 &= 0,3 \text{ t/m}^2 + 2 \text{ t/m}^2 \\
 &= 2,3 \text{ t/m}^2 \\
 OCR &= \frac{\sigma' c}{\sigma' o} \\
 &= \frac{2,3 \text{ t/m}^2}{0,3 \text{ t/m}^2} \\
 &= 7,67 > 1 \rightarrow OC
 \end{aligned}$$

$\sigma' o + \Delta\sigma' + \sigma'_{vac} > \sigma c'$ → menggunakan Persamaan BAB2.
Sehingga:

$$\begin{aligned}
 Sc &= \frac{Cs \cdot H_0}{1 + e_0} \cdot \log \frac{\sigma_c'}{\sigma_{vo}} + \frac{Cc \cdot H_0}{1 + e_0} \cdot \log \frac{\sigma'_{vo} + \Delta\sigma + \sigma'_{vac}}{\sigma_c'} \\
 Sc &= \frac{0,32 \times 1}{1 + 3,5} \cdot \log \frac{2,3 \text{ t/m}^2}{0,3 \text{ t/m}^2} + \frac{1,82 \times 1}{1 + 3,5} \cdot \log \frac{8,3 \text{ t/m}^2}{2,3 \text{ t/m}^2} \\
 Sc &= 0,323 \text{ m}
 \end{aligned}$$

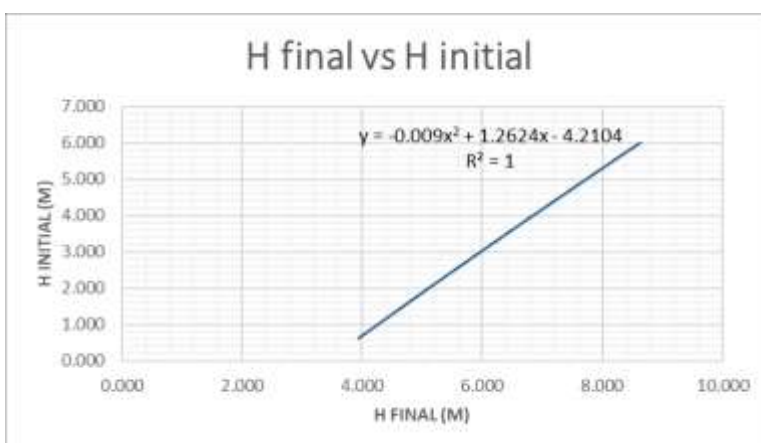
Total pemampatan yang terjadi dari seluruh layer tanah beban timbunan sebesar $q = 0 \text{ t/m}^2$ adalah sebesar 1.45 m.
Maka $H_{initial} = 0 \text{ t/m}^2 + (1,45 \text{ m} * 1 \text{ t/m}^3) = 1,45 \text{ t/m}^2 / 1,8 \text{ t/m}^3 = 0,805 \text{ m}$.

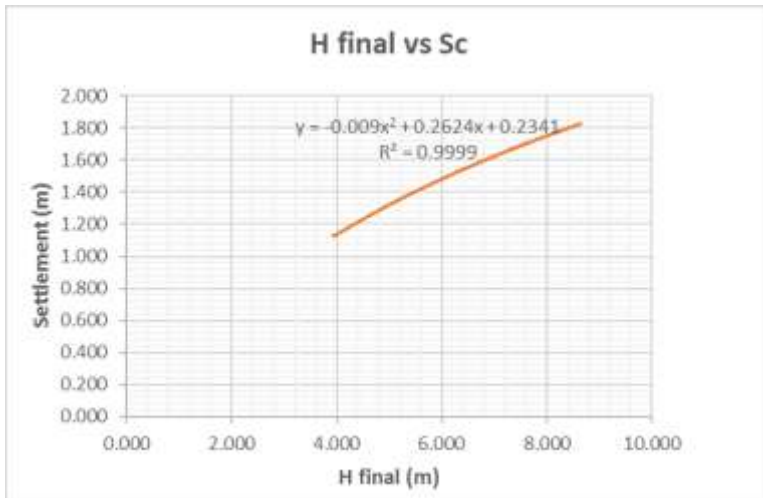
$$H_{final} = (q - sc^* \gamma') / \gamma t + 8/\gamma t = 3,8 \text{ m}$$

Dari perhitungan selanjutnya didapat q timbunan yang bervariasi.

Tabel 5.14 Hasil perhitungan h zona 3 dengan vacuum

q timb t/m ²	Sc akibat q timb (m)	H initial (m)	H final (m)
Direncanakan	Perhitungan	(A+B*γw)/γt	(A-B*γ')/γt
A	B	C	G
0	1.127	0.626	3.944
1.8	1.300	1.722	4.867
3.6	1.453	2.807	5.799
5.4	1.591	3.884	6.738
7.2	1.715	4.953	7.682
9	1.828	6.016	8.632





Gambar 5.4 Grafik penentuan H awal dan SC vacuum preloading
(Sumber : Hasil Analisa)

5.3.2 Perhitungan pemampatan dengan rencana $H = 7.3$ m

Direncanakan timbunan dengan rencana $h_{final} = 7.3$ m, maka butuh menimbun awalnya setinggi 4,5 m. γ sat timbunan = 1,8 t/m³. Maka direncanakan $q = 8,1$ t/m² dari timbunan. Tabel perhitungan mencari SC dapat dilihat pada Tabel 5.15.

Tabel 5.15

Perhitungan pemampatan metode vacuum dengan
rencana h final = 7,3 m

Kedalaman H (m)	Tebal lapisan (m)	z	Cc	Cs	akibat timbunan dan vacuum														
					α_1	α_2	$\Delta\sigma$	$2\Delta\sigma$	γ_{sat}	γ'	$\gamma' * H$	$\gamma' * H_{kum}$	σ^0	σ^c	OCSR	NC/OC soil	$\Delta\sigma + \sigma^0$	Sc	ΣSc
					(m)	(m)	(m)	(m)	(m)	t/m ²	t/m ³	t/m ³	t/m ²	(m)	(m)				
0	0	0	0	0	0	0	0	0	0	0	0	0	0	0	0	0	0	0	
0 - 1	0.5	0.970	0.180	1.009	87.634	4.050	8.100	1.600	0.600	0.600	0.300	2.300	7.67	OCSoil	16.400	0.292	0.292		
1 - 2	1.5	2.380	0.970	0.180	3.000	82.933	4.049	8.097	1.600	0.600	0.600	1.200	0.900	2.900	3.22	OCSoil	16.997	0.247	0.539
2 - 3	2.5	2.380	0.970	0.180	4.917	78.326	4.043	8.087	1.600	0.600	0.600	1.800	1.500	3.500	2.33	OCSoil	17.587	0.221	0.760
3 - 4	3.5	2.380	0.970	0.180	6.715	73.867	4.032	8.065	1.600	0.600	0.600	2.400	2.100	4.100	1.95	OCSoil	18.165	0.201	0.961
4 - 5	4.5	1.250	0.430	0.100	8.361	69.600	4.014	8.028	1.900	0.900	0.900	3.300	2.850	4.850	1.7	OCSoil	18.878	0.123	1.084
5 - 6	5.5	1.250	0.430	0.100	9.834	65.556	3.988	7.975	1.900	0.900	0.900	4.200	3.750	5.750	1.53	OCSoil	19.725	0.111	1.195
6 - 7	6.5	1.250	0.430	0.100	11.122	61.756	3.952	7.905	2.000	1.000	1.000	5.200	4.700	6.700	1.43	OCSoil	20.605	0.095	1.289
7 - 8	7.5	0.950	0.350	0.090	12.224	58.208	3.909	7.818	2.000	1.000	1.000	6.200	5.700	7.700	1.35	OCSoil	21.518	0.086	1.376
8 - 9	8.5	0.950	0.350	0.090	13.146	54.913	3.858	7.716	2.000	1.000	1.000	7.200	6.700	8.700	1.3	OCSoil	22.416	0.079	1.455
9 - 10	9.5	0.950	0.350	0.090	13.897	51.864	3.800	7.600	2.000	1.000	1.000	8.200	7.700	9.700	1.26	OCSoil	23.300	0.073	1.528
10 - 11	10.5	0.950	0.350	0.090	14.494	49.050	3.736	7.473	2.000	1.000	1.000	9.200	8.700	10.700	1.23	OCSoil	24.173	0.068	1.595
11 - 12	11.5	0.950	0.350	0.090	14.952	46.456	3.668	7.336	2.000	1.000	1.000	10.200	9.700	11.700	1.21	OCSoil	25.036	0.063	1.658
12 - 13	12.5	0.950	0.350	0.090	15.288	44.068	3.596	7.192	2.000	1.000	1.000	11.200	10.700	12.700	1.19	OCSoil	25.892	0.059	1.717
13 - 14	13.5	0.950	0.350	0.090	15.519	41.870	3.521	7.043	2.000	1.000	1.000	12.200	11.700	13.700	1.17	OCSoil	26.743	0.055	1.773

5.3.3 Perencanaan Perbaikan Tanah dengan PVD

5.3.3.1 Perhitungan waktu konsolidasi (t)

Waktu konsolidasi (t) perhitungan untuk tanah dasar pada perhitungan $q = 9 \text{ t/m}^2$ pada Zona 3:

$$t = \frac{Tv \cdot (H_{dr})^2}{Cv}$$

dengan:

$$Tv = 0,848$$

$$H_{dr} = 14 \text{ meter}$$

$$Cv = \frac{(H_1 + H_2 + \dots + H_n)^2}{\left(\frac{H_1}{\sqrt{Cv_1}} + \frac{H_2}{\sqrt{Cv_2}} + \dots + \frac{H_n}{\sqrt{Cv_n}} \right)^2} \text{ (Persamaan 2.20)}$$

$$= \frac{(4+2+8)^2}{\left(\frac{4}{\sqrt{0,0002}} + \frac{2}{\sqrt{0,0007}} + \frac{8}{\sqrt{0,0009}} \right)^2}$$

$$= 0,000502 \text{ cm}^2/\text{detik}$$

$$= 0,000000502 \text{ m}^2/\text{detik}$$

$$= 0,15818 \text{ m}^2/\text{tahun}$$

$$t = \frac{0,848 \cdot (14m)^2}{0,6244 \text{ m}^2/\text{tahun}}$$

$$= 140 \text{ tahun}$$

Karena waktu yang dibutuhkan untuk konsolidasi sebesar 90% sangat lama, maka diperlukan bantuan *vertical drain* untuk mempercepat waktu konsolidasi tersebut. Jenis *vertical drain* yang dipakai adalah *Prefabricated Vertical Drain* (PVD).

5.3.3.2 Perencanaan Kedalaman PVD

Kondisi tanah pada tugas akhir ini yaitu sampai kedalaman 14 meter adalah tanah mampu mampat, apabila mampu memasang PVD kurang dari 14 meter dan tetap dalam kondisi aman, maka biaya yang digunakan dapat berkurang atau lebih menguntungkan. Penurunan dibagi menjadi 2 bagian yaitu, penurunan jangka pendek, yang merupakan penurunan akibat PVD. Penurunan jangka panjang, yang merupakan penurunan akibat pemampatan lapisan tanah di bawah kedalaman ujung PVD. Penurunan

dapat diterima bila kecepatan penurunan jangka panjang rata-rata per tahun $\leq 2 \text{ cm/tahun}$.

$$\begin{aligned} \text{Tv 3 tahun} &= \left(\frac{3x Cv gab}{Hd r^2} \right) \\ \text{Tv} &= \left(\frac{10 \times 15818}{1400^2} \right) = 0.024 \\ \text{Uv} &= \frac{4xTv}{\pi^{0.5}} \\ \text{Uv} &= 18\% \end{aligned}$$

Contoh perhitungan apabila PVD sampai kedalaman 1 meter:

Sc pada kedalaman 0m - 1m = 0,292m = Sc akibat PVD

Sc pada kedalaman 1m – 14m = 1,48 m = Sc sisa

Sc 3 tahun kemudian = $1,48 * 18\% = 0,26 \text{ m} = 8,67\text{cm}$
dalam 3 tahun

$Sc \text{ cm/tahun} = 8,67 \geq 2\text{cm}$ (PWD masih kurang dalam)

Tabel 5.16 Perbandingan Kedalaman PVD dalam *Rate of Settlement vacuum preloading*

Kedalaman (m)	Sc akibat PVD (m)	sc n tahun kemudian (m)	rate of settlement (cm per tahun)
0	0	0.311	10.37
1	0.292	0.260	8.67
2	0.539	0.217	7.22
3	0.760	0.178	5.92
4	0.961	0.142	4.75
5	1.084	0.121	4.03
6	1.195	0.101	3.38
7	1.289	0.085	2.83
8	1.376	0.070	2.32
9	1.455	0.056	1.86
10	1.528	0.043	1.43
11	1.595	0.031	1.04
12	1.658	0.020	0.67
13	1.717	0.010	0.32
14	1.773	0.000	0.00

Maka Cv gabungan yang dipakai hanya sampai kedalaman 9 m

Tabel 5.17 Cv gabungan sepanjang PVD vacuum preloading

Kedalam an (m)	Tebal Lapisan	Cv (cm ² /det)	vCv	H/vCv	Cv gab (cm ² /det)	Cv gab (cm ² /tahun)
1	1	0.000200	0.014142	70.71068	0.00038541	12154.4
2	1	0.000200	0.014142	70.71068		
3	1	0.000200	0.014142	70.71068		
4	1	0.000200	0.014142	70.71068		
5	1	0.000700	0.026458	37.79645		
6	1	0.000700	0.026458	37.79645		
7	1	0.000900	0.03	33.33333		
8	1	0.000900	0.03	33.33333		
9	1	0.000900	0.03	33.33333		

5.3.3.3 Perencanaan *Prefabricated Vertical Drain (PVD)*

Tujuan dari pemasangan PVD pada perencanaan ini adalah untuk membantu mempercepat proses pemampatan konsolidasi, sehingga dapat berlangsung dengan waktu yang relatif singkat. Perencanaan PVD dalam Tugas Akhir ini menggunakan pola persegi dan pola segitiga, dengan jarak antar PVD (S) yang dihitung adalah 0,5; 0,75; 1; 1,25; dan 1,5 meter. Dengan pola pemasangan segitiga atau segiempat. Untuk segitiga 1,05 ; untuk segiempat 1,13.

Perencanaan PVD dengan pola segitiga

Berikut adalah contoh perhitungan perencanaan PVD pola segitiga untuk sisi sebelum sungai dengan jarak S= 0.75 m:

- Menghitung Fungsi Hambatan PVD (F(n)).

D = diameter ekivalen dari lingkaran tanah
 yang merupakan daerah pengaruh dari *vertical drain*.

$$= 1,05 \times S$$

$$= 1,05 \times 0.75$$

$$= 0.7875 \text{ m}$$

$$\begin{aligned}
 dw &= 2(a+b)/\pi \\
 &= 2(100+3)/\pi \\
 &= 51,5 \text{ mm} \\
 n &= D/dw \\
 &= 0,7875 \text{ m} / 0,0515 \text{ m} \\
 &= 15,3 \\
 F(n) &= \left(\frac{n^2}{n^2 - 1^2} \right) \left[\ln(n) - \frac{3}{4} - \left(\frac{1}{4n^2} \right) \right] \\
 F(n) &= \left(\frac{15,3^2}{15,3^2 - 1^2} \right) \left[\ln(15,3) - \frac{3}{4} - \left(\frac{1}{4 * 15,3^2} \right) \right] \\
 F(n) &= 1,99
 \end{aligned}$$

- Menghitung Derajat Konsolidasi Tanah Akibat Aliran Air Arah Vertikal (U_v) dengan PVD

Dalam hal ini besarnya U_v diasumsikan kurang dari 60% sehingga untuk memperoleh nilai U_v maka terlebih dahulu perlu mengetahui nilai T_v .

$$\begin{aligned}
 C_v &= 0,00004 \text{ cm}^2/\text{dtk} \\
 T &= 1 \text{ minggu} = 604800 \text{ detik} \\
 H_{dr} &= 14 \text{ m} = 1400 \text{ cm} \\
 T_v &= \text{faktor waktu} = \frac{t \times C_v}{(H_{dr})^2} \\
 &= \frac{1 \text{ minggu} \times (604800 \text{ detik}) \times 0,000000004 \text{ m}^2/\text{detik}}{(14 \text{ m})^2} \\
 &= 0,0003 \\
 U_v &= \left(2 \sqrt{\frac{T_v}{\pi}} \right) \times 100\% \\
 &= \left(2 \sqrt{\frac{0,0003}{\pi}} \right) \times 100\% \\
 &= 0,0191
 \end{aligned}$$

- Menghitung Derajat Konsolidasi Tanah Akibat Aliran Air Arah Horizontal (U_h)

$$\begin{aligned}
 C_{vgab} &= 0,00004 \text{ cm}^2/\text{dtk} \\
 K_h/K_v &= 3 \\
 \text{Lebar PVD (a)} &= 100 \text{ mm}
 \end{aligned}$$

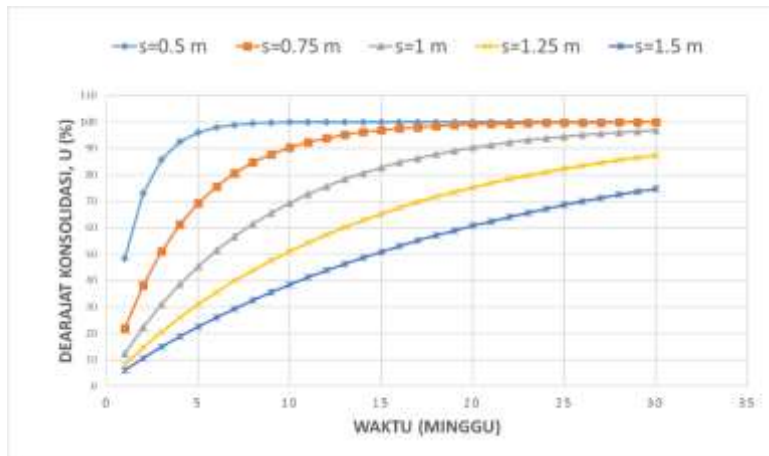
$$\begin{aligned}
 \text{Tebal PVD (b)} &= 3 \text{ mm} \\
 d_w &= 51,5 \text{ mm} \\
 \text{Ch} &= 3 \times C_v \\
 &= 3 \times 0,000000004 \text{ m}^2/\text{detik} \\
 &= 0,000000012 \text{ m}^2/\text{dtk}
 \end{aligned}$$

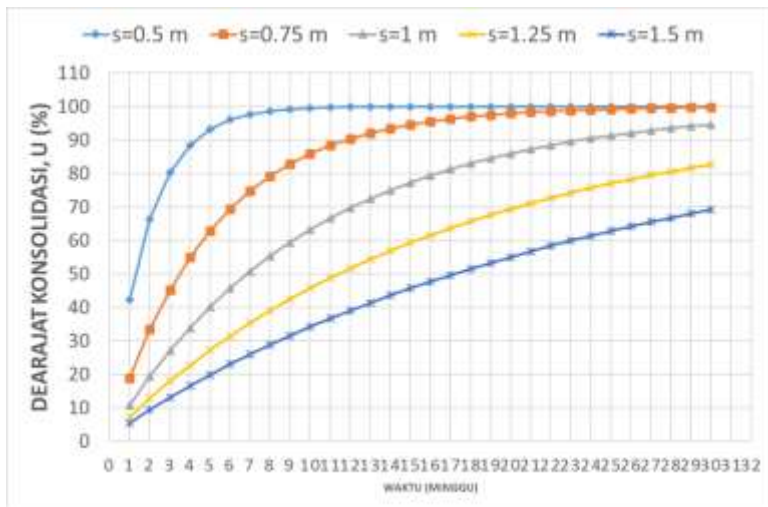
$$\begin{aligned}
 U_h &= \left[1 - \left(\frac{1}{e^{\left(\frac{tx8xCh}{D^2x2xF(n)} \right)}} \right) \right] \\
 &= \left[1 - \left(\frac{1}{e^{\left(\frac{(1 \times 604800)x8x0,00000012}{1,05^2x2x1.985} \right)}} \right) \right] \\
 &= 0,203
 \end{aligned}$$

- Menghitung Derajat Konsolidasi rata-rata (Urata-rata)

$$\begin{aligned}
 U_{\text{rata-rata}} &= (1 - (1 - U_h) \times (1 - U_v)) \times 100\% \\
 &= (1 - (1 - 0,0203) \times (1 - 0,0191)) \times 100\% = 21.85\%
 \end{aligned}$$

Perhitungan diatas dilakukan untuk seluruh jarak PVD (S). ditampilkan grafik hubungan waktu dengan derajat konsolidasi dengan menggunakan PVD pola segitiga dan segiempat.





(b)

Gambar 5.5 Grafik Hubungan Derajat Konsolidasi (U) dengan Waktu Timbunan dengan PVD perhitungan vacuum preloading Pola (a) Segitiga dan (b) segiempat

Dari Gambar 5.5 didapat jarak antar PVD pola segitiga yang dipakai adalah 1 m. Pada Tabel 5.18 dapat dilihat derajat konsolidasi per minggu nya apabila menggunakan PVD pola segitiga dengan jarak 1 meter.

Tabel 5.18 Derajat konsolidasi PVD pola segitiga jarak 1m pada vacuum preloading

segitiga	1
t (minggu)	Ugab (%)
1	12.308
2	22.235
3	30.910
4	38.560
5	45.328
6	51.331
7	56.660
8	61.395
9	65.606
10	69.352
11	72.686
12	75.654
13	78.297
14	80.651
15	82.749
16	84.617
17	86.282
18	87.767
19	89.089
20	90.269
21	91.320
22	92.257
23	93.093
24	93.839

5.3.4 Alternatif Perencanaan Perkuatan Geotextile Perhitungan peningkatan kohesi *undrained* (Cu)

Perhitungan peningkatan nilai Cu perlu dilakukan untuk menentukan apakah tanah dasar cukup mampu memikul beban timbunan dengan peningkatan nilai C_u akibat adanya penimbunan bertahap. Perhitungan tersebut dilakukan untuk menentukan apakah dibutuhkan perkuatan nantinya. Perkuatan berupa geotextile perlu dihitung apakah dapat menahan beban timbunan nantinya apabila sudah beroperasi.

Peningkatan nilai Cu menggunakan peningkatan saat final atau 100%.

3. Menghitung tegangan di tiap lapisan tanah untuk derajat konsolidasi (U) 100%

Perhitungan perubahan tegangan didapat dari:

$$\sigma' = P_o + \Delta\sigma'$$

(ΔP_i) dengan distribusi tegangan sesuai dengan kedalaman yang ditinjau.

Hasil perhitungan $\Delta\sigma'$ ditampilkan pada Tabel 5.19

Tabel 5.19 Perubahan Tegangan Efektif Tanah Akibat Penimbunan Vacuum preloading

Tegangan efektif untuk U 100%					Derasajat Konsolidasi U<100%				
Depth (m)	z	Po'		σ'	Perubahan Tegangan	Po' KN/m ²	$\Delta P'$ KN/m ²	$\Sigma\sigma'$	
		t/m ²	t/m ²						
		(m)	0	9.00					
0	-	1	0.5	0.300	16.500	0	9		
1	-	2	1.5	0.900	17.096				
2	-	3	2.5	1.500	17.683				
3	-	4	3.5	2.100	18.256				
4	-	5	4.5	2.850	18.959				
5	-	6	5.5	3.750	19.791				
6	-	7	6.5	4.700	20.650				
7	-	8	7.5	5.700	21.535				
8	-	9	8.5	6.700	22.399				

(Sumber : Hasil Analisa)

Hasil perhitungan perubahan tegangan di tiap lapisan tanah

Menghitung kenaikan daya dukung tanah (akibat kenaikan harga Cu). Hasil perhitungan peningkatan nilai Cu ditampilkan pada Tabel 5.20

Tabel 5.20 Hasil Perhitungan Peningkatan Nilai Cu Vacuum Preloading

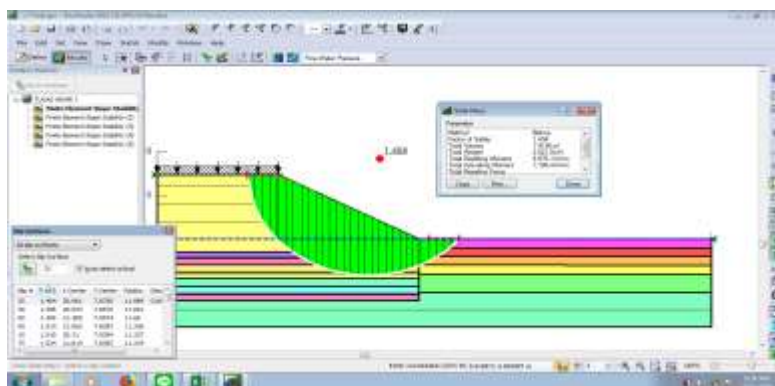
$\Sigma \sigma_p'$ kg/cm ²	Kedalaman (m)	PI	Cu lama kg/cm ²	Cek tanah asli (rumus) (Ardana & Mochtar)	Cu tanah asli pakai kg/cm ²	Cu baru kg/cm ²
1.640	0 - 1	40	0.050	0.077	0.077	0.280
1.700	1 - 2	40	0.050	0.085	0.085	0.287
1.759	2 - 3	40	0.050	0.093	0.093	0.294
1.816	3 - 4	40	0.050	0.100	0.100	0.302
1.888	4 - 5	40	0.200	0.109	0.200	0.311
1.973	5 - 6	40	0.200	0.121	0.200	0.321
2.150	6 - 7	40	0.400	0.133	0.400	0.343
2.152	7 - 8	40	0.400	0.145	0.400	0.344
2.242	8 - 9	40	0.400	0.158	0.400	0.355

5.3.4.1 Perencanaan Perkuatan dengan Geotextile

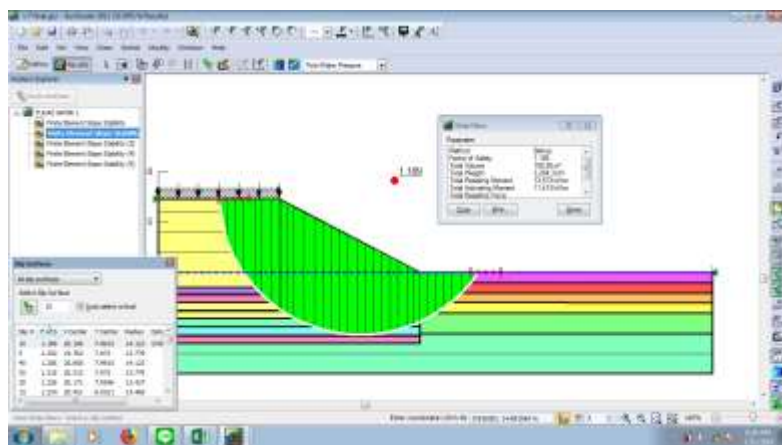
Perhitungan geotextile sebagai perkuatan tanah lereng. Penentuan jarak antar geotextile yaitu 0,3 m. Perhitungan geotextile membutuhkan hasil dari program bantu, yaitu SF dan Momen Penahan. Tinggi timbunan yang digunakan adalah H final. Hasil dari program bantu Geostudio dapat dilihat pada tabel 5.21

Tabel 5.21 Hasil Geostudio vacuum preloading

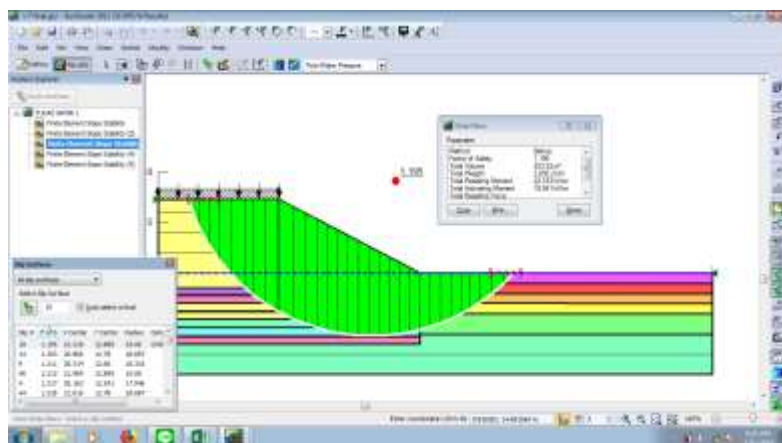
No	SF geostudio	Hasil geostudio				Perhitungan		
		MR (kN.m)	MD (kN.m)	titik pusat	R m	SF rencana	MR rencana	Δ MR (kN.m)
1	1.4	9976.1	7106.4	21	7.9	12	1.25	8883 -1093.1
2	1.19	13573	11413	20.1	8	14.1	1.25	14266.25 693.25
3	1.2	22163	18541	21.2	12.9	19.1	1.25	23176.25 1013.25
4	1.24	23832	19285	21.6	13	19.4	1.25	24106.25 274.25
5	1.2	12943	10736	20	8	13.8	1.25	13420 477



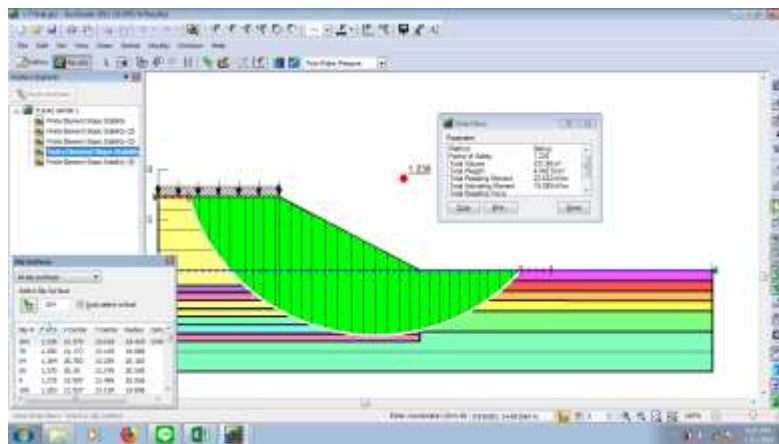
(1)



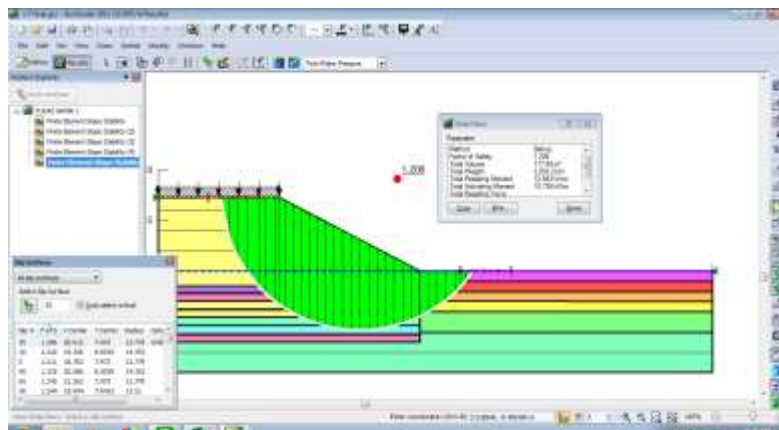
(2)



(3)



(4)



(5)

Gambar 5.6 hasil program bantu Geostudio vacuum preloading

Berikut contoh perhitungan perencanaan *geotextile* saat H final dengan SF 1,19:

1. Perhitungan kuat tarik ijin

Geotextile : $T_{ult} = 52 \text{ kN/m}$

$$T_{allow} = \frac{52}{1.2 \times 2.5 \times 1 \times 1}$$

$$T_{allow} = 17.333 \text{ kN/m}$$

2. Perhitungan Momen penahan rencana

SF rencana = 1,25

MR rencana = SF rencana * MD = 14266,25 kNm

$$\Delta MR = 14266,25 - 11413 = 693,25 \text{ kNm}$$

3. Perhitungan panjang *geotextile* di belakang bidang longsor (Le). Perhitungan Le dilakukan tiap lapisan. Berikut contoh perhitungan Le:

Pada z = 0 m dan Sv = 0,3 m dengan SF rencana = 1,25

$$\text{diperoleh: } Le = \frac{0,3 \times 17,333 \times 1,25}{2(46,8 + (28) \times 0,8)}$$

$$Le = 0,362$$

Dipakai Le min = 1 meter

4. Perhitungan panjang *geotextile* di depan bidang longsor (LR) menggunakan rumus

$$L_R = (7,3 - 0) \times \operatorname{tg} (45 - \frac{30}{2})$$

$$L_R = 4,8 \text{ m}$$

.

5. Perhitungan panjang lipatan *geotextile* (Lo) adalah setengah dari Le, karena Le lebih kecil dari 1 maka Lo = 1 m.

6. Panjang total *geotextile* per lapis

$$L_{total} = Le + L_R + Lo + Sv$$

$$L_{total} = 1 + 4,8 + 1 + 0,3 = 7,1 \text{ m} = 8 \text{ m}$$

7. Menghitung tambahan Momen penahan akibat geotextile

$$MR = T_{allow} \times Ti \quad Ti : \text{jarak geotextile}$$

$$MR = 17,333 \times 9,46 \quad \text{dengan pusat bidang longsor}$$

$$MR = 164 \text{ kNm}$$

Hasil perhitungan Panjang total *geotextile* disajikan pada Tabel 5.22.

Tabel 5.22 Perhitungan kebutuhan geotextile vacuum preloading

H (m)	Ti (m)	Jumlah rangkap	ΔMR	ΔMR kum	M tahan	SF	jumlah lapis
			(kNm)	(kNm)	(kNm)		
0.00	9.46	1	163.9733	163.9733	13736.97	1.204	1
0.30	9.16	1	158.7733	322.7467	13895.75	1.218	2
0.60	8.86	1	153.5733	476.32	14049.32	1.231	3
0.90	8.56	1	148.3733	624.6933	14197.69	1.244	4
1.20	8.26	1	143.1733	767.8667	14340.87	1.257	5

Tabel 5.23 Rekap kebutuhan geotextile vacuum preloading

SF	lapis geotextile	
1.4	2	
1.19	5	
1.2	5	
1.24	2	
1.2	3	

Tabel 5.24 Panjang geotextile yang dibutuhkan

No	Hi = (H-Z)	Ti	σv	t1	t2	Le	Lo	Lo (pakai)	Lr	L total	L total x rangkap
	m	m	kN/m ²	kN/m ²	kN/m ²	m	m	m	m	m	m
1	4.50	9.46	81	46.765	27.952	1.000	0.181	1	2.6	28.00	28
2	4.20	9.16	75.6	43.648	43.648	1.000	0.155	1	2.4	27.70	27.7
3	3.90	8.86	70.2	40.530	40.530	1.000	0.167	1	2.3	5.00	5
4	3.60	8.56	64.8	37.412	37.412	1.000	0.181	1	2.1	5.00	5
5	3.30	8.26	59.4	34.295	34.295	1.000	0.197	1	1.9	4.00	4

5.4 Perbandingan Preloading konvensional dengan vacuum preloading

Perbandingan harga material preloading konvensional dengan vacuum preloading. Hanya dilihat dari kebutuhan perkuatan saja, seperti geotextile, geomembran, pompa, genset. Tanah dan PVD tidak dibandingkan karena,

memiliki jumlah kebutuhan yang sama besarnya. Perencanaan timbunan dengan H final = 7,3 meter dengan metode konvensional menghasilkan kebutuhan geotextile sebanyak 19 lapis. Sedangkan dengan metode vacuum preloading membutuhkan geotextile 5 lapis, 4 pompa, dan geomembran 1 mm. Kapasitas pompa sebesar 750m², karena luas yang dicover sebesar 2670m², maka dibutuhkan 4 pompa.

Tabel 5.25 kebutuhan material vacuum preloading

material	Luas	kebutuhan	harga satuan	harga total
geotextile	6560	5	Rp 17,000.00	Rp 111,520,000.00
pompa	2670	4	Rp 13,000,000.00	Rp 52,000,000.00
geomembran	3280	1	Rp 45,000.00	Rp 147,600,000.00
				Rp 311,120,000.00

Tabel 5.26 kebutuhan material preloading konvensional

material	Luas	kebutuhan	harga satuan	harga total
geotextile	15500	19	Rp 17,000.00	Rp 263,500,000.00

Menurut perhitungan kebutuhan material, kebutuhan vacuum preloading jauh lebih mahal. Bahkan perhitungan belum mencantumkan harga genset dan bensin yang diperlukan. Genset pun harus menyala selama proses konsolidasi.

5.4.1 Rekap perencanaan dari STA 110+250 - STA 118+700

Tabel 5.27 Rekap perencanaan STA 110+250-STA 118+700

zona	STA	tinggi rencana (m)	h initial (m)	sc (m)	Kedalaman PVD (meter)	pola PVD	geotex (lapis)	cerucuk (batang)
1	110+250	3.5	4.2	0.7	7	segitiga 1 m	2	0
	110+300	3.3	4.0	0.7	7	segitiga 1 m	2	0
	110+350	4	4.8	0.8	7	segitiga 1 m	2	0
	110+400	4.7	5.5	0.8	7	segitiga 1 m	2	0
	110+450	4.7	5.5	0.8	7	segitiga 1 m	2	0
	110+500	0						
	110+550	3.2	3.8	0.6	7	segitiga 1 m	2	0
	110+600	4	4.8	0.8	7	segitiga 1 m	2	0
	110+650	3.4	4.1	0.7	7	segitiga 1 m	2	0
	110+700	2.9	3.5	0.6	6	segitiga 1 m	2	0
	110+750	2.5	3.0	0.5	6	segitiga 1 m	2	0
	110+800	2	2.0	0.0	0		4	1
	110+850	1.7	1.7	0.0	0		2	1
	110+900	1.3	1.3	0.0	0		2	1
	110+950	1.2	1.2	0.0	0		2	1
111	111+000	1.1	1.1	0.0	0		2	1
	111+050	1.3	1.3	0.0	0		2	1
	111+100	1.3	1.3	0.0	0		2	1
	111+150	1.1	1.1	0.0	0		2	1
	111+200	1.7	1.7	0.0	0		2	1
	111+250	2	2.0	0.0	0		4	1
	111+300	1.8	1.8	0.0	0		4	1
	111+350	1.9	1.9	0.0	0		4	1
	111+400	2	2.0	0.0	0		4	1
	111+450	2.2	2.9	0.7	5	segitiga 0.75 m	2	1
	111+500	2.5	3.3	0.8	5	segitiga 0.75 m	2	1
	111+550	2.3	3.0	0.7	5	segitiga 0.75 m	2	1
	111+600	2.6	3.4	0.8	5	segitiga 0.75 m	2	1
	111+650	2.5	3.3	0.8	5	segitiga 0.75 m	2	1
	111+700	2.3	3.0	0.7	5	segitiga 0.75 m	2	1
	111+750	2.1	2.7	0.6	5	segitiga 0.75 m	2	1
	111+800	1.8	2.5	0.7	0		4	1
	111+850	1.8	2.5	0.7	0		4	1
	111+900	1.7	1.7	0.0	0		2	1
	111+950	1.5	1.5	0.0	0		2	1
	112+000	1.5	1.5	0.0	0		2	1

	112+050	1.5	1.5	0.0	0		2	1
2	112+100	1.6	1.6	0.0	0		2	1
	112+150	1.8	1.8	0.0	0		4	1
	112+200	1.9	1.9	0.0	0		4	1
	112+250	2	2.0	0.0	0		4	1
	112+300	2.1	2.7	0.6	5 segitiga 0.75 m		2	1
	112+350	2.1	2.7	0.6	5 segitiga 0.75 m		2	1
	112+400	2	2.0	0.0	0		4	1
	112+450	2	2.0	0.0	0		4	1
	112+500	1.6	1.6	0.0	0		2	1
	112+550	1.5	1.5	0.0	0		2	1
	112+600	1.7	1.7	0.0	0		2	1
	112+650	1.8	1.8	0.0	0		4	1
	112+700	1.8	1.8	0.0	0		4	1
	112+750	1.9	1.9	0.0	0		4	1
	112+800	2	2.0	0.0	0		4	1
	112+850	2	2.0	0.0	0		4	1
	112+900	1.7	1.7	0.0	0		2	1
	112+950	1.7	1.7	0.0	0		2	1
	113+000	1.7	1.7	0.0	0		2	1
	113+050	1.2	1.2	0.0	0		2	1
	113+100	1.7	1.7	0.0	0		2	1
	113+150	1.7	1.7	0.0	0		2	1
	113+200	1.6	1.6	0.0	0		2	1
	113+250	1.8	1.8	0.0	0		4	1
	113+300	1.8	1.8	0.0	0		4	1
	113+350	2	2.0	0.0	0		4	1
3	113+400	3.7	4.7	1.0	7 segitiga 1 m		11	3
	113+450	4	5.1	1.1	7 segitiga 1 m		11	3
	113+500	5	6.3	1.3	8 segitiga 1 m		11	4
	113+550	5	6.3	1.3	8 segitiga 1 m		11	4
	113+600	6.2	7.7	1.5	9 segitiga 1 m		19	7
	113+650	6.7	8.3	1.6	9 segitiga 1 m		19	7
	113+700	7	8.6	1.6	9 segitiga 1 m		19	7
	113+750	7.1	8.7	1.6	9 segitiga 1 m		19	7
	113+800	7.3	9.0	1.7	9 segitiga 1 m		19	7
	113+850	7.1	8.7	1.6	9 segitiga 1 m		19	7
	113+900	6.7	8.3	1.6	9 segitiga 1 m		19	7
	113+950	6.3	7.8	1.5	9 segitiga 1 m		19	7
	114+000	5.6	7.0	1.4	8 segitiga 1 m		10	3
	114+050	4.9	6.2	1.3	8 segitiga 1 m		11	4
	114+100	4	5.1	1.1	7 segitiga 1 m		11	3

	114+150	2.7	3.5	0.8	5 segitiga 0.75 m	2	1
	114+200	2.1	2.7	0.6	5 segitiga 0.75 m	2	1
	114+250	1.9	1.9	0.0	0	4	1
	114+300	1.7	1.7	0.0	0	2	1
	114+350	1.8	1.8	0.0	0	4	1
	114+400	1.9	1.9	0.0	0	4	1
	114+450	2.1	2.7	0.6	5 segitiga 0.75 m	2	1
	114+500	2.2	2.9	0.7	5 segitiga 0.75 m	2	1
	114+550	2.1	2.7	0.6	5 segitiga 0.75 m	2	1
	114+600	2.2	2.9	0.7	5 segitiga 0.75 m	2	1
	114+650	1.3	1.3	0.0	0	2	1
	114+700	1.8	1.8	0.0	0	4	1
	114+750	1.7	1.7	0.0	0	2	1
	114+800	1.6	1.6	0.0	0	2	1
	114+850	1.6	1.6	0.0	0	2	1
	114+900	1.7	1.7	0.0	0	2	1
	114+950	1.9	1.9	0.0	0	4	1
	115+000	1.8	1.8	0.0	0	4	1
	115+050	1.9	1.9	0.0	0	4	1
	115+100	2	2.0	0.0	0	4	1
	115+150	1.9	1.9	0.0	0	4	1
	115+200	1.9	1.9	0.0	0	4	1
	115+250	1.9	1.9	0.0	0	4	1
	115+300	1.8	1.8	0.0	0	4	1
	115+350	1.8	1.8	0.0	0	4	1
	115+400	1.8	1.8	0.0	0	4	1
	115+450	1.8	1.8	0.0	0	4	1
	115+500	1.7	1.7	0.0	0	2	1
2	115+550	2	2.0	0.0	0	4	1
	115+600	1.9	1.9	0.0	0	4	1
	115+650	1.5	1.5	0.0	0	2	1
	115+700	1.5	1.5	0.0	0	2	1
	115+750	1.5	1.5	0.0	0	2	1
	115+800	1.6	1.6	0.0	0	2	1
	115+850	1.8	1.8	0.0	0	4	1
	115+900	1.8	1.8	0.0	0	4	1
	115+950	1.9	1.9	0.0	0	4	1
	116+000	1.9	1.9	0.0	0	4	1
	116+050	1.9	1.9	0.0	0	4	1
	116+100	1.7	1.7	0.0	0	2	1
	116+150	1.7	1.7	0.0	0	2	1
	116+200	1.6	1.6	0.0	0	2	1
	116+250	1.6	1.6	0.0	0	2	1
	116+300	1.5	1.5	0.0	0	2	1
	116+350	1.5	1.5	0.0	0	2	1

	116+400	1.7	1.7	0.0	0	2	1
	116+450	1.8	1.8	0.0	0	4	1
	116+500	1.9	1.9	0.0	0	4	1
	116+550	2.1	2.7	0.6	5 segitiga 0.75 m	2	1
	116+600	2.2	2.9	0.7	5 segitiga 0.75 m	2	1
	116+650	2.4	3.1	0.7	5 segitiga 0.75 m	2	1
	116+700	2.1	2.7	0.6	5 segitiga 0.75 m	2	1
	116+750	2.4	3.1	0.7	5 segitiga 0.75 m	2	1
	116+800	2.3	3.0	0.7	5 segitiga 0.75 m	2	1
	116+850	2.1	2.7	0.6	5 segitiga 0.75 m	2	1
	116+900	2.2	2.9	0.7	5 segitiga 0.75 m	2	1
	116+950	2.4	3.1	0.7	5 segitiga 0.75 m	2	1
3	117+000	3	3.8	0.8	7 segitiga 1 m	11	3
	117+050	3.6	4.6	1.0	7 segitiga 1 m	11	3
	117+100	4.1	5.2	1.1	8 segitiga 1 m	11	4
	117+150	4.7	6.0	1.3	8 segitiga 1 m	11	4
	117+200	5.3	6.7	1.4	8 segitiga 1 m	10	3
	117+250	5.8	7.3	1.5	8 segitiga 1 m	10	3
	117+300	6.3	7.8	1.5	9 segitiga 1 m	19	7
	117+350	6.5	8.1	1.6	9 segitiga 1 m	19	7
	117+400	6.5	8.1	1.6	9 segitiga 1 m	19	7
	117+450	6.6	8.2	1.6	9 segitiga 1 m	19	7
	117+500	6.2	7.7	1.5	9 segitiga 1 m	19	7
	117+550	5.9	7.4	1.5	8 segitiga 1 m	10	3
	117+600	5.2	6.6	1.4	8 segitiga 1 m	10	3
	117+650	4.7	6.0	1.3	8 segitiga 1 m	11	4
	117+700	4	5.1	1.1	7 segitiga 1 m	11	3
2	117+750	3	3.9	0.9	5 segitiga 0.75 m	2	1
	117+800	2.2	2.9	0.7	5 segitiga 0.75 m	2	1
	117+850	1.8	1.8	0.0	0	4	1
	117+900	1.8	1.8	0.0	0	4	1
	117+950	1.8	1.8	0.0	0	4	1
	118+000	1.9	1.9	0.0	0	4	1
	118+050	1.9	1.9	0.0	0	4	1
	118+100	2	2.0	0.0	0	4	1
	118+150	2	2.0	0.0	0	4	1
	118+200	2	2.0	0.0	0	4	1
	118+250	2	2.0	0.0	0	4	1
	118+300	2	2.0	0.0	0	4	1
	118+350	2	2.0	0.0	0	4	1
	118+400	2.2	2.9	0.7	5 segitiga 0.75 m	2	1
	118+450	2.3	3.0	0.7	5 segitiga 0.75 m	2	1
	118+500	2.3	3.0	0.7	5 segitiga 0.75 m	2	1
	118+550	2.4	3.1	0.7	5 segitiga 0.75 m	2	1
	118+600	2.4	3.1	0.7	5 segitiga 0.75 m	2	1
	118+650	2.4	3.1	0.7	5 segitiga 0.75 m	2	1
	118+700	2.5	3.3	0.8	5 segitiga 0.75 m	2	1

Harga timbunan = 69852.94 /m³

Harga PVD = 3500/m

Harga geotextile = 17000/m²

Harga cerucuk = 2700000/batang

Total harga yang didapat = Rp 62.914.904.284,51

BAB VI

KESIMPULAN DAN SARAN

6.1 Kesimpulan

Dalam perencanaan Tugas Akhir ini didapatkan beberapa kesimpulan yaitu :

1. Kondisi tanah dasar mayoritas tanah mampu mampatnya sedalam 13m, hanya 1 km yang tanah mampu mampatnya diatas 13m.
2. Pada metode konvensional, tinggi timbunan awal yang tertinggi adalah 9m pada STA 113+800 dengan timbunan rencana 7,3m.
3. Kedalaman PVD yang diperlukan beragam, yang terpendek 5 meter dan yang terpanjang 9m. Jarak antar PVD 0.75m dan 1m.
4. Semua STA dipasangi geotextile minimal 2 agar penurunan timbunannya tidak ada differential settlement. Dan terbanyak 4 lapis. Cerucuk yang dibutuhkan paling sedikit 1, terbanyak 7 batang dengan panjang 7m.
5. Perbaikan tanah menggunakan vacuum preloading tidak diperlukan, karena dengan timbunan rencana yang tertinggi, 7,3m, dibandingkan dengan konvensional, harganya jauh lebih mahal metode vacuum preloading.
6. Perkuatan menggunakan geotextile sepanjang 4,35km, untuk cerucuk hanya digunakan sepanjang 4,25 km.
7. Total cost termurah Rp 62.914.904.284,51 sepanjang 8,5km. Sekitar 7,4M per km

6.2 Saran

Setelah dilakukan perhitungan dan analisa, penulis memberikan saran yaitu :

1. Perencanaan timbunan sebaiknya mempertimbangkan lokasi di sekitar.

2. Pada perhitungan biaya untuk perencanaan selanjutnya dapat diperhitungkan biaya pelaksanaan.

DAFTAR ACUAN

- Das, Braja M. 1998. *Mekanika Tanah: Prinsip–Prinsip Rekayasa Geoteknik*. Diterjemahkan oleh Noor Endah dan Indrasurya B.M. Surabaya : Erlangga
- Mochtar, Indrasurya B . 2000. *Teknologi Perbaikan Tanah dan Alternatif Perencanaan pada Tanah Bermasalah (Problrmatic Soils)*. Surabaya: Jurusan Teknik Sipil FTSP-ITS.
- Mochtar, Indrasurya B . 2011. *Teknologi Perbaikan Tanah dan Alternatif Perencanaan untuk Perencanaan dan Pelaksanaan Konstruksi di atas Tanah Bermasalah Jilid 2*. Surabaya: Jurusan Teknik Sipil FTSP-ITS.
- Mochtar, Noor Endah. 2012. *Modul Ajar Metode Perbaikan Tanah*. Surabaya: ITS Press

“Halaman ini sengaja dikosongkan”

BIODATA PENULIS



Penulis dilahirkan di Surabaya, 31 Juli 1994, dengan nama lengkap Fauzan Umar Faruq. Penulis merupakan anak kedua dari 3 bersaudara. Penulis telah menempuh pendidikan formal di TK Dharma Wanita Surabaya, SDN Kendang Sari I No 276 Surabaya, SMP Negeri 6 Surabaya, SMA Negeri 15 Surabaya. Setelah lulus dari SMA Negeri 15 Surabaya tahun 2012, Penulis mengikuti Seleksi Nasional Masuk Perguruan Tinggi Negeri (SNMPTN) dan diterima di Jurusan S-1 Teknik Sipil FTSP-ITS pada tahun 2012 dan terdaftar dengan NRP 3112 100 105.

Selama berkuliah di jurusan Teknik Sipil ini penulis mengambil bidang studi Geoteknik. Penulis pernah aktif dalam beberapa kegiatan yang diselenggarakan oleh kampus ITS. Selain itu penulis juga aktif dalam berbagai organisasi maupun kepanitiaan beberapa kegiatan yang ada selama menjadi mahasiswa.

Lampiran....

STA	110+250	110+300	110+350	110+400	110+450	110+500	110+550	110+600	110+650	110+700	110+750	110+800	110+850	110+900	110+950
Existing	53,5	53,9	53,4	52,9	53		54,2	53	53,1	53,1	53	53	53,1	53	53,1
menimbun	3,5	3,3	4	4,7	4,7	0	3,2	4	3,4	2,9	2,5	2	1,7	1,3	1,2
Rencana	57	57,2	57,4	57,6	57,7		57,4	57	56,5	56	55,5	55	54,8	54,3	54,3
lempung	-7,8	-7,8	-7,8	-7,8	-7,8		-7,8	-8,1	-8,3	-8,6	-8,9	-9,2	-9,4	-9,7	-10,0

STA	111+000	111+050	111+100	111+150	111+200	111+250	111+300	111+350	111+400	111+450	111+500	111+550	111+600	111+650	111+700
Existing	53,1	53,1	53,1	53,5	53,1	52,9	53,3	53,3	53,4	53,3	53,2	53,5	53,4	53,5	53,7
menimbun	1,1	1,3	1,3	1,1	1,7	2	1,8	1,9	2	2,2	2,5	2,3	2,6	2,5	2,3
Rencana	54,2	54,4	54,4	54,6	54,8	54,9	55,1	55,2	55,4	55,5	55,7	55,8	56	56	56
lempung	-10,254545	-10,5	-10,8	-11,9	-12,9	-14,0	-15,0	-16,05	-17,1	-18,2	-19,2	-18,9	-18,7	-18,4	-18,1

STA	111+750	111+800	111+850	111+900	111+950	112+000	112+050	112+100	112+150	112+200	112+250	112+300	112+350	112+400	112+450
Existing	53,7	53,9	53,8	54	54,2	54,3	54,4	54,5	54,5	54,5	54,7	54,8	54,9	55	55
menimbun	2,1	1,8	1,8	1,7	1,5	1,5	1,5	1,6	1,8	1,9	2	2,1	2,1	2	2
Rencana	55,8	55,7	55,6	55,7	55,7	55,8	55,9	56,1	56,3	56,4	56,7	56,9	57	57	57
lempung	-17,9	-17,6	-17,3	-17,1	-16,8	-16,9	-16,9143	-17,0	-17,0	-17,1	-17,1	-17,2	-17,3667	-17,5	-17,7

STA	112+500	112+550	112+600	112+650	112+700	112+750	112+800	112+850	112+900	112+950	113+000	113+050	113+100	113+150	113+200
Existing	55,2	55,4	55,3	55,4	55,4	55,4	55,2	55	55	55	55	55,7	55,3	55,5	55,7
menimbun	1,6	1,5	1,7	1,8	1,8	1,9	1,9	2	2	1,7	1,7	1,7	1,2	1,7	1,6
Rencana	56,8	56,9	57	57,2	57,2	57,1	57	57	56,7	56,7	56,7	56,9	57	57,2	57,3
lempung	-17,9	-18,0	-18,2	-17,6	-17,1	-16,6	-16,0	-15,45	-14,9	-14,4	-13,8	-13,8	-13,7	-13,7	-13,7

STA	113+250	113+300	113+350	113+400	113+450	113+500	113+550	113+600	113+650	113+700	113+750	113+800	113+850	113+900	113+950
Existing	55,7	55,9	56	55,3	56	56	56	56	56,1	56,1	56,2	56,1	56,2	56,4	56,3
menimbun	1,8	1,8	2	3,7	4	5	5	6,2	6,7	7	7,1	7,3	7,1	6,7	6,3
Rencana	57,5	57,7	58	59	60	61	61	62,2	62,8	63,1	63,3	63,4	63,3	63,1	62,6
lempung	-13,6	-13,6	-13,7	-13,8	-13,9	-14,0	-14,1	-14,2	-14,3	-14,4	-14,5	-14,6	-14,7	-14,8	-14,9

STA	114+000	114+050	114+100	114+150	114+200	114+250	114+300	114+350	114+400	114+450	114+500	114+550	114+600	114+650	114+700
Existing	56,5	56,6	56,5	56,7	56,9	56,9	57,2	57,3	57,6	57,6	57,7	58	57,8	58,7	58
menimbun	5,6	4,9	4	2,7	2,1	1,9	1,7	1,8	1,9	2,1	2,2	2,1	2,2	1,3	1,8
Rencana	62,1	61,5	60,5	59,4	59	58,8	58,9	59,1	59,5	59,7	59,9	60,1	60	60	59,8
lempung	-15,1	-15,2	-15,3	-15,4	-15,5	-15,6	125	-15,7	-15,8	-16,0	-16,1	-16,2	-16,3	-16,4	-16,6

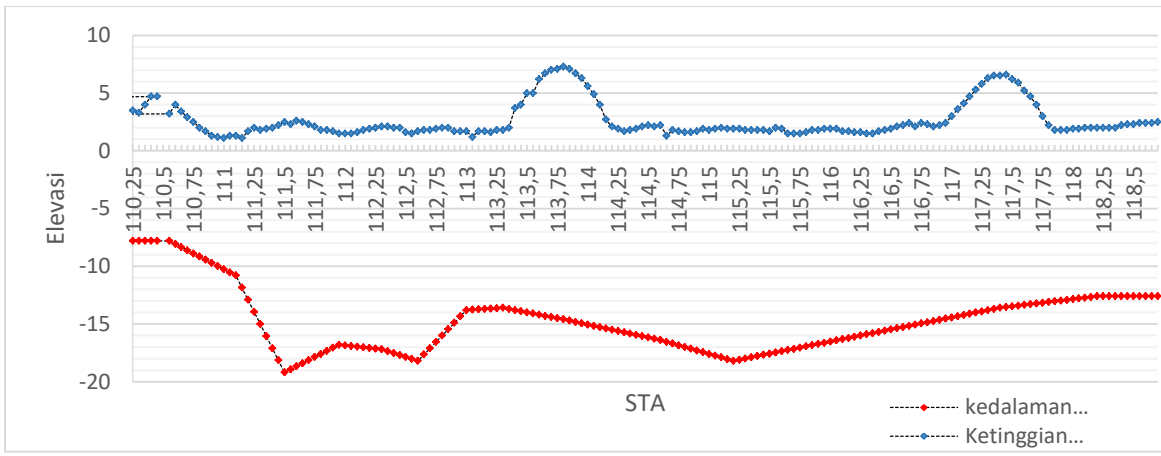
STA	114+750	114+800	114+850	114+900	114+950	115+000	115+050	115+100	115+150	115+200	115+250	115+300	115+350	115+400	115+450
Existing	58	58	58	58,2	58	58,2	58,3	58,4	58,5	58,5	58,5	58,4	58,4	58,4	58,6
menimbun	1,7	1,6	1,6	1,7	1,9	1,8	1,9	2	1,9	1,9	1,9	1,8	1,8	1,8	1,8
Rencana	59,7	59,6	59,6	59,9	59,9	60	60,2	60,4	60,4	60,4	60,4	60,2	60,2	60,2	60,4
lempung	-16,9	-17,0	-17,2	-17,3	-17,5	-17,6	-17,8	-17,9	-18,1	-18,2	-18,1	-18,0	-17,9	-17,8	-17,7

STA	115+500	115+550	115+600	115+650	115+700	115+750	115+800	115+850	115+900	115+950	116+000	116+050	116+100	116+150	116+200
Existing	58,8	58,6	58,4	58,7	58,6	58,8	58,9	59	59,2	59,3	59,6	59,7	59,8	59,6	59,7
menimbun	1,7	2	1,9	1,5	1,5	1,5	1,6	1,8	1,8	1,9	1,9	1,9	1,7	1,7	1,6
Rencana	60,5	60,6	60,3	60,2	60,1	60,3	60,5	60,8	61	61,2	61,5	61,6	61,5	61,3	61,3
lempung	-17,6	-17,5	-17,4	-17,3	-17,2	-17,1	-16,9	-16,8	-16,7	-16,6	-16,5	-16,4	-16,3	-16,2	-16,1

STA	116+250	116+300	116+350	116+400	116+450	116+500	116+550	116+600	116+650	116+700	116+750	116+800	116+850	116+900	116+950
Existing	59,7	59,9	60	60	60,1	60,3	60,4	60,5	60,6	61	60,7	60,7	60,7	60,7	60,8
menimbun	1,6	1,5	1,5	1,7	1,8	1,9	2,1	2,2	2,4	2,1	2,4	2,3	2,1	2,2	2,4
Rencana	61,3	61,4	61,5	61,7	61,9	62,2	62,5	62,7	63	63,2	63,1	63	62,8	62,9	63,2
lempung	-16,0	-15,9	-15,8	-15,7	-15,5	864	-15,5	-15,4	-15,3	-15,2	-15,1	-15,0	-14,9	-14,8	-14,6

STA	117+000	117+050	117+100	117+150	117+200	117+250	117+300	117+350	117+400	117+450	117+500	117+550	117+600	117+650	117+700
Existing	60,8	60,9	61	61	61,1	61,2	61,1	61,2	61,3	61,2	61,4	61,4	61,6	61,5	61,6
menimbun	3	3,6	4,1	4,7	5,3	5,8	6,3	6,5	6,5	6,6	6,2	5,9	5,2	4,7	4
Rencana	63,8	64,5	65,1	65,7	66,4	67	67,4	67,7	67,8	67,8	67,6	67,3	66,8	66,2	65,6
lempung	-14,4	-14,3	-14,2	-14,1	-14,0	-13,9136	-13,8091	-13,7045	-13,6	-13,5375	-13,475	-13,4125	-13,35	-13,2875	-13,225

STA	117+750	117+800	117+850	117+900	117+950	118+000	118+050	118+100	118+150	118+200
Existing	62	62,1	62,3	62,4	62,5	62,6	62,7	62,8	62,9	63,1
menimbun	3	2,2	1,8	1,8	1,8	1,9	1,9	2	2	2
Rencana	65	64,3	64,1	64,2	64,3	64,5	64,6	64,8	64,9	65
lempung	-13,1625	-13,1	-13,0375	-12,975	-12,9125	-12,85	-12,7875	-12,725	-12,6625	-12,6



Lampiran...

S3

Kedalaman m	jenis tanah	konsistensi	nilai konus kg/cm2	N spt	Nspt	Cu t/m2	gamma sat	ϕ (°)	e		LL	PI		Cv	
											%	cc	cs	%	cm2/det
0	1,6	clays	sangat lunak	8,6	2,15	2	1,08	16	0	2,86	60	1,29	0,23	40	0,0001
1,6	4,6	clays	lunak	19,1	4,775	4	2,39	19	0	2	60	0,75	0,15	40	0,0003
4,6	7,8	clays	menengah	32,8	8,2	8	4,1	20	0	1,45	60	0,50	0,11	40	0,0006
7,8	9,2	sands	kaku	51,4	13,70667	13	6,43	18	31	0,75	60	0,30	0,08	40	0,001
9,2	10,2	sands	sangat kaku	116	30,93333	30	15,5	20,7	36	0,5	60	0,3	0,1	40	0,01
10,2	10,8	sands	keras	210	56	56	28	22,3	43	0,35	60	0,2	0,1	40	0,1

S6

Kedalaman m	jenis tanah	konsistensi	nilai konus kg/cm2	N spt	Nspt	Cu t/m2	gamma sat	ϕ (°)	e		LL	PI		Cv	
											%	cc	cs	%	cm2/det
0	4,6	clays	sangat lunak	5,6	1,4	1	0,5	16	0	3,5	60	1,82	0,32	40	0,00005
4,6	7,2	clays	lunak	17,3	4,325	4	2	19	0	2	60	0,75	0,15	40	0,0003
7,2	18,2	clays	menengah	31,8	7,95	7	3,5	19	0	1,45	60	0,50	0,11	40	0,0006
18,2	20	clays	kaku	51,1	12,775	12	6	19	0	1,15	60	0,40	0,10	40	0,00075

S7

Kedalaman		jenis	konsistensi	nilai konus		Cu t/m2	gamma sat	ϕ (°)	e	LL		PI %	Cv cm2/det		
m	tanah			kg/cm2	N spt					%	cc				
0	2,8	clays	sangat lunak	7	1,75	1	0,5	16	0	3,5	60	1,82	0,32	40	0,00005
2,8	4,6	clays	lunak	17,4	4,35	4	2	19	0	2	60	0,75	0,15	40	0,0003
4,6	13,8	silts	menengah	31,9	7,975	7	3,5	19	0	1,45	60	0,50	0,11	40	0,0006
13,8	18,4	sands	kaku	52	13	13	6,5	18	31	1,1	60	0,39	0,09	40	0,00077

S8

Kedalaman		jenis	konsistensi	nilai konus		Cu t/m2	gamma sat	ϕ (°)	e	LL		PI %	Cv cm2/det		
m	tanah			kg/cm2	N spt					%	cc				
0	2,6	clays	sangat lunak	6,3	1,575	1	0,5	16	0	3,5	60	1,82	0,32	40	0,00005
2,6	6,8	clays	lunak	14,4	3,6	3	1,5	17,5	0	2,38	60	0,97	0,18	40	0,0002
6,8	13,6	clays	menengah	27,5	6,875	6	3	18,5	0	1,5	60	0,52	0,12	40	0,00057
13,6	20,2	sands	kaku	59,1	14,775	14	7	18,2	31	1,08	60	0,38	0,09	40	0,0008

S9

Kedalaman		jenis tanah	konsistensi	nilai konus		N spt	Nspt	Cu t/m2	gamma sat	ϕ (°)	e	LL %	cc	cs	PI	Cv
m				kg/cm2											%	cm2/det
0	4,2	clays	sangat lunak	6,9	1,725	1	0,5		16	0	3,5	60	1,82	0,32	40	0,00005
4,2	6,2	clays	lunak	18,4	4,6	4	2		19	0	2	60	0,75	0,15	40	0,0003
6,2	14,6	clays	menengah	32,7	8,175	8	4		20	0	1,3	60	0,45	0,10	40	0,00065
14,6	19	clays	kaku	51,4	12,85	12	6		19	0	1,15	60	0,40	0,10	40	0,0075

S10

Kedalaman		jenis tanah	konsistensi	nilai konus		N spt	Nspt	Cu t/m2	gamma sat	ϕ (°)	e	LL %	cc	cs	PI	Cv
m				kg/cm2											%	cm2/det
0	2,4	clays	sangat lunak	7,9	1,975	1	0,5		16	0	3,5	60	1,82	0,32	40	0,00005
2,4	4	clays	lunak	17,3	4,325	4	2		19	0	2	60	0,75	0,15	40	0,0003
4	7,4	clays	menengah	33,3	8,325	8	4		20	0	1,3	60	0,45	0,10	40	0,00065
7,4	8,6	clays	lunak	18,8	4,7	4	2		19	0	2	60	0,75	0,15	40	0,0003
8,6	16,4	clays	menengah	32,5	8,125	8	4		20	0	1,3	60	0,45	0,10	40	0,00065
16,4	19,4	clays	kaku	54	13,5	13	6,5		19,3	0	1,1	60	0,39	0,09	40	0,00077

S11

Kedalaman m	jenis tanah	konsistensi kg/cm2	nilai konus kg/cm2	N spt	Nspt	Cu t/m2	gamma sat	φ (°)	LL		cc	cs	PI %	Cv cm2/det	
									e	%					
0	3,2	clays	sangat lunak	6,9	1,725	1	0,5	16	0	3,5	60	1,82	0,32	40	0,00005
3,2	6,8	clays	menengah	29,1	7,275	7	3,5	19	0	1,45	60	0,50	0,11	40	0,0006
6,8	10,6	clays	lunak	19,8	4,95	4	2	19	0	2	60	0,75	0,15	40	0,0003
10,6	18,2	clays	menengah	29,1	7,275	7	3,5	19	0	1,45	60	0,50	0,11	40	0,0006
18,2	20,6	clays	kaku	53,75	13,4375	13	6,5	19,3	0	1,1	60	0,39	0,09	40	0,00077

S16

Kedalaman m	jenis tanah	konsistensi kg/cm2	nilai konus kg/cm2	N spt	Nspt	Cu t/m2	gamma sat	φ (°)	LL		cc	cs	PI %	Cv cm2/det	
									e	%					
0	3,6	clays	sangat lunak	6	1,5	1	0,5	16	0	3,5	60	1,82	0,32	40	0,00005
3,6	5,4	clays	lunak	15,7	3,925	3	1,5	17,5	0	2,38	60	0,97	0,18	40	0,0002
5,4	13,6	clays	menengah	31,2	7,8	7	3,5	19	0	1,45	60	0,50	0,11	40	0,0006
13,6	18	clays	kaku	58,9	14,725	14	7	19,7	0	1,08	60	0,38	0,09	40	0,0008

S17

Kedalaman		jenis	konsistensi	nilai konus		Cu t/m2	gamma sat	ϕ (°)	e	LL %	cc	cs %	PI	Cv cm2/det	
m	tanah			kg/cm2	N spt										
0	3,4	clays	sangat lunak	6,3	1,575	1	0,5	16	0	3,5	60	1,82	0,32	40	0,00005
3,4	6,6	clays	lunak	18,4	4,6	4	2	19	0	2	60	0,75	0,15	40	0,0003
6,6	12,6	clays	menengah	28,3	7,075	7	3,5	19	0	1,45	60	0,50	0,11	40	0,0006
12,6	19	clays	kaku	51,1	12,775	12	6	19	0	1,15	60	0,40	0,10	40	0,00077

S18

Kedalaman		jenis	konsistensi	nilai konus		Cu t/m2	gamma sat	ϕ (°)	e	LL %	cc	cs %	PI	Cv cm2/det	
m	tanah			kg/cm2	N spt										
0	3,6	clays	sangat lunak	9,3	2,325	2	1	16		2,86	60	1,3	0,2	40	0,0001
3,6	7,6	clays	lunak	16	4	4	2	19		2	60	0,8	0,2	40	0,0003
7,6	17,2	clays	menengah	30,5	7,625	7	3,5	19		1,45	60	0,5	0,1	40	0,0006
17,2	21,2	clays	kaku	51	12,75	12	6	19		1,15	60	0,4	0,1	40	0,00075

S19

Kedalaman		jenis tanah	konsistensi	nilai konus		Cu t/m2	gamma sat	ϕ (°)	e	LL %	cc	cs	PI	Cv	
m				kg/cm2	N spt								%	cm2/det	
0	4	clays	sangat lunak	7,3	1,825	1	0,5	16	0	3,5	60	1,82	0,32	40	0,00005
4	6,6	clays	lunak	16,2	4,05	4	2	19	0	2	60	0,75	0,15	40	0,0003
6,6	11,6	clays	menengah	27,6	6,9	6	3	18,5	0	1,55	60	0,54	0,12	40	0,00055
11,6	15,6	clays	lunak	19,3	4,825	4	2	19	0	2	60	0,75	0,15	40	0,0003
15,6	19,2	clays	menengah	34,4	8,6	8	4	20	0	1,3	60	0,45	0,10	40	0,00067
19,2	21,6	clays	kaku	51,7	12,925	12	6	19	0	1,15	60	0,40	0,10	40	0,00075

S21

Kedalaman		jenis tanah	konsistensi	nilai konus		Cu t/m2	gamma sat	ϕ (°)	e	LL %	cc	cs	PI	Cv	
m				kg/cm2	N spt								%	cm2/det	
0	4	clays	sangat lunak	6,7	1,675	1	0,5	16	0	3,5	60	1,82	0,32	40	0,00005
4	7,6	clays	lunak	17,3	4,325	4	2	19	0	2	60	0,75	0,15	40	0,0003
7,6	16,8	clays	menengah	21,7	5,425	5	2,5	17,7	0	1,7	60	0,61	0,13	40	0,0005
16,8	21	clays	kaku	58,8	14,7	14	7	19,7	0	1,08	60	0,38	0,09	40	0,0008

S25

Kedalaman m	jenis tanah	konsistensi	nilai konus	N spt	Nspt	Cu	gamma sat	φ	e	LL	cc	cs	PI	Cv	
			kg/cm ²			t/m ²		(°)		%			%	cm ² /det	
0	3,2	clays	sangat lunak	5,5	1,375	1	0,5	16	0	3,5	60	1,8	0,3	40	0,00005
3,2	5,2	clays	menengah	25,1	6,275	6	3	18,5	0	1,55	60	0,5	0,1	40	0,00055
5,2	6,6	clays	lunak	18,7	4,675	4	2	19	0	2	60	0,8	0,2	40	0,0003
6,6	9,6	clays	menengah	30,9	7,725	7	3,5	19	0	1,45	60	0,5	0,1	40	0,0006
9,6	11	clays	sangat lunak	9	2,25	2	1	16	0	2,86	60	1,3	0,2	40	0,0001
11	11,8	sands	kaku	85	21,25	21	10,5	19,3	34	0,59	60	0,3	0,1	40	0,007
11,8	17	clays	menengah	23,7	5,925	5	2,5	18	0	1,25	60	0,4	0,1	40	0,0007
17	18	sands	keras	202	53,86667	53	26,5	21,7	42	0,35	60	0,2	0,1	40	0,1

LAMPIRAN 2

BROSUR-BROSUR BAHAN MATERIAL YANG DIPAKAI

Spesifikasi PVD

CeTau-Drain CT-D812

Drain Body

Extrusion profile of 100% polypropylene with the following important properties:

- environmental safe
- large water flow capacity
- flexible
- high tensile strength and toughness
- inert to natural occurring acids alkalis and salt
- workable and easy to handle at low temperatures
- no wet shrinkage or growth

Filter Jacket

Nonwoven fabric of 100% polyester without any binders, with the following important properties:

- balanced strength in both directions
- high tensile strength and toughness
- no wet shrinkage or growth
- good resistance to moisture and insects
- high water permeability
- inert to natural occurring acids, alkalis and salt
- excellent filtration characteristics
- tear, burst and puncture resistant
- environmental safe

Physical properties			Unit	CT-D812
Drain Body	Configuration		m	=====
	Material			PP
Filter Jacket	Colour			white
	Material			PET
Assembled Drain	Colour			grey
	Weight	g/m ²		70
	Width	mm		100
	Thickness	mm		3
Mechanical properties		Symbol	Test	Unit
Filter Jacket				CT-D812
Grab Tensile Strength	F	ASTM D4632	N	480
Elongation	ε	ASTM D4632	%	32
Tear Strength	F	ASTM D4533	N	120
Pore Size	Ø _p	ASTM D4751	µm	< 75
Permeability	K	ASTM D4491	m/s	= 1.0 × 10 ⁻⁶
Assembled Drain				
Tensile Strength	F	ASTM D4595	kN	2.60
Elongation at break	ε	ASTM D4595	%	40
Strength at 10% elongation	F	ASTM D4595	kN	2.1
Elongation at 1 kN tensile strength	ε	ASTM D4595	%	1.0
Discharge capacity at 100 kPa	q	ASTM D4716	m ³ /s	92 × 10 ⁻⁶
Discharge capacity at 150 kPa	q	ASTM D4716	m ³ /s	89 × 10 ⁻⁶
Discharge capacity at 200 kPa	q	ASTM D4716	m ³ /s	87 × 10 ⁻⁶
Discharge capacity at 250 kPa	q	ASTM D4716	m ³ /s	86 × 10 ⁻⁶
Discharge capacity at 300 kPa	q	ASTM D4716	m ³ /s	85 × 10 ⁻⁶
Discharge capacity at 350 kPa	q	ASTM D4716	m ³ /s	84 × 10 ⁻⁶
Transport details			Unit	CT-D812
Roll length			m	300
Outside diameter roll			m	1.10
Inside diameter roll			m	0.15
Weight roll			kg	20
40H container			m	135.000

All information, illustrations and specifications are based on the latest product information available at the time of printing. The right is reserved to make changes at any time without notice.

All mechanical properties are average values. (Standard resistance to mechanical strength of 10% and to hydrostatic load pore size of 20% have to be adhered to).

Agent & Distributor in Indonesia Area :
PT. TEKINDO GEOSISTEM UNGGUL
 Wilena SEHR Building 1/F Kcor
 Jl. Rungkit Industri Raya No.12 Surabaya 60223
 Tel. 62-31-8475062 Fax. 62-31-8475583
 Email : info@tekindogeosistem.co.id Website : www.tekindogeosistem.co.id



Gambar 1. Spesifikasi PVD CeTau-Drain CT-D812

Spesifikasi Geotextile

UnggulTex

POLYPROPYLENE WOVEN GEOTEXTILES

TECHNICAL SPESIFICATIONS

PROPERTIES	UNIT	TEST METHOD	UW - 150	UW - 200	UW - 250
Physical Properties					
Mass	g/m ²	ASTM D 5261-92	150	200	250
Thickness	mm	ASTM D 5199-91	0.5	0.6	0.7
Colour	-	-	Black	Black	Black
Mechanical Properties					
Strip Tensile Strength (Web/Weft)	kN/m	ASTM D 4596-94	37/35	42/39	52/52
Elongation at Max. Load (Web/Weft)	%	ASTM D 4596-94	19/18	20/20	20/20
Grip Tensile Strength (Web/Weft)	N	ASTM D 4632-91	1210/1200	1600/1600	1750/1750
Elongation at Max. Load (Web/Weft)	%	ASTM D 4632-91	14/13	22/22	22/22
Trapezoidal Tear Strength (Web/Weft)	N	ASTM D 4533-91	615/615	700/700	800/800
Hydraulic Properties					
Pore Size O_{eq}	μm	ASTM D 4751-95	320	275	250
Water Permeability	l/m ² /sec	100 mm water head	28	16	7.5
Environmental Properties					
Effect of soil Alkalinity	-	-	nil	nil	nil
Effect of soil Acidity	-	-	nil	nil	nil
Effect of Bacteria	-	-	nil	nil	nil
Effect of U.V. Light	-	-	Stabilized	Stabilized	Stabilized
Packaging					
Roll Length	m	-	150 - 200	150 - 200	150 - 200
Roll Width	m	-	3 - 4	3 - 4	3 - 4
Roll Area	m ²	-	640 - 760	640 - 760	640 - 760
Roll Diameter (Approx)	m	-	0.4 - 0.5	0.4 - 0.5	0.4 - 0.5
Roll Weight (Approx)	kg	-	96 - 114	128 - 152	160 - 190

All information, illustration and specification are based on the latest product information available at the time of printing.
The right is reserved to make changes at any time without notice.

Distributed by :

PT. TEKNINDO GEOSISTEM UNGGUL

Werna SEER Building, T. Poco, Jl. Rangkul Industri Raya 12, Surabaya 60260
Tel. 031-8475063 Fax. 031-8475063
(Email : info@geosistem.co.id)
Website : www.geosistem.co.id



Gambar 2. Spesifikasi Geotextile UnggulTex UW-250

Spesifikasi Micropile

Specification of Material							
Name	Reference	Description	Specification				
Aggregate	ASTM C33 - 1990 WFI 3.190 - 2001 SNI 15.2049 - 2006	Standard Specification for Concrete Industrially Manufactured Coarse Aggregate	Standard product types I, Special binder - type II or V				
Cement	ASTM C150 - 2000 SNI 15.2049 - 2006	Portland Cement	Type F, water reducing admixture				
Admixture	ASTM C436 - 2000 SNI 15.2049 - 2006	Standard Specification for Chemical Admixtures for Concrete	Normal Strength or High Strength				
Concrete	SNI ISO 2047 - 2002	International Concrete Code	Normal Strength or High Strength				
PC 3049	225.15.2026 - 2006	Unreinforced General Reinforced Steel Wire and Thread for Prestressed Concrete	EN460 Z				
PC Bar	225.15.2137 - 2006	Small Size Unreinforced Steel Bars for Prestressed Concrete	EN462, L270/1430				
Special Wire	225.15.2050 - 2006	Wire Cable Tension Wire	EN12385 / DIN1430				
Steel Plate	225.15.2055 - 2006	Alloyed Steel Sheet Metal	EN10125				
Welding	AWS D.1.15.1 - 2000	Structural Welding Code - Weld	AWS A.5.1.1 & B.5.12.2 H1990-D1502.0B-26 / R3-2000, L244-26, EF requirement				

Classification							
Outside Diameter (mm)	Wall Thickness (mm)	Class	Concrete Cross Sectional (cm²)	Unit Weight (kg/m³)	Length (m)	Bending Crack (Ton-m)	Moment Limitation (Ton-m)
200	8.0	A1 A2 B C	272	2120	8 - 25	0.20 0.25 0.30 0.35 0.40	0.20 0.25 0.30 0.35 0.40
250	8.0	A1 A2 B C	583	2470	8 - 25	0.25 0.30 0.35 0.40	0.25 0.30 0.35 0.40
300	10	A1 A2 B C	1008	2660	8 - 25	0.30 0.35 0.40 0.45	0.30 0.35 0.40 0.45
400	10	A1 A2 B C	1600	3120	8 - 15	0.50 0.60 0.70 0.80 0.90	0.50 0.60 0.70 0.80 0.90
500	10	A1 A2 B C	2400	3680	8 - 15	0.70 0.80 0.90 1.00 1.10	0.70 0.80 0.90 1.00 1.10
600	10	A1 A2 B C	3300	4240	8 - 15	0.90 1.00 1.10 1.20 1.30	0.90 1.00 1.10 1.20 1.30
700	10	A1 A2 B C	4300	4800	8 - 15	1.10 1.20 1.30 1.40 1.50	1.10 1.20 1.30 1.40 1.50

Gambar 3. Spesifikasi dan Daftar Harga *Micropile* WIKA BETON

LAMPIRAN 3

Perhitungan Zona 1

$q=1,8 \text{ t/m}^2$

akibat timbunan																				
Kedalaman H (m)	Tebal lapisan (m)	z (m)	e	C_c	C_s	a_1	a_2	$\Delta\sigma$	$2\Delta\sigma$	γ'_{sat}	γ'	γ'^*H	γ'^*H_{kum}	σ_0	σ'_c	OCR	$N_C/N_C \text{ soil}$	$ \Delta\sigma+\sigma'_0 $	S_c	ΣS_c
0 - 1	0	0	0	0	0	0	0	0	0	0	0	0	0	0	0	0	0	0	0	
1 - 2	1	15	2.380	0.970	0.180	0.335	87.634	0.900	1.800	1.600	0.600	0.600	0.300	2.300	7.7	OC Soil	2.100	0.045	0.045	
2 - 3	1	2.5	1.250	0.430	0.100	1.619	78.326	0.897	1.795	1.900	0.900	0.900	2.100	1.650	3.650	2.2	OC Soil	3.445	0.014	0.085
3 - 4	1	3.5	1.250	0.430	0.100	2.192	73.867	0.893	1.786	1.900	0.900	0.900	3.000	2.550	4.550	1.8	OC Soil	4.336	0.010	0.095
4 - 5	1	4.5	1.250	0.430	0.100	2.700	69.600	0.886	1.773	1.900	0.900	0.900	3.900	3.450	5.450	1.6	OC Soil	5.223	0.008	0.103
5 - 6	1	5.5	0.930	0.340	0.090	3.135	65.556	0.877	1.753	2.000	1.000	1.000	4.900	4.400	6.400	1.5	OC Soil	6.153	0.007	0.110
6 - 7	1	6.5	0.930	0.340	0.090	3.495	61.756	0.864	1.728	2.000	1.000	1.000	5.900	5.400	7.400	1.4	OC Soil	7.128	0.006	0.115
7 - 8	1	7.5	0.930	0.340	0.090	3.783	58.208	0.849	1.698	2.000	1.000	1.000	6.900	6.400	8.400	1.3	OC Soil	8.098	0.005	0.120

$q=3,6t/m^2$

akibat titik bantuan																						
Kedalaman H lapisan (m)	Tebal lapisan (m)	γ	e	Cc	Cs	σ_1	σ_2	$\Delta\sigma$	γ_{sat}	γ'	γ^*H	γ^*H_{kum}	σ_0	σ_t	OCR	MC/OC_{Soil}	$\Delta\sigma=0$	S _c	ΣS_c			
						*	*	t/m ²	t/m ³	t/m ³	t/m ²	t/m ²	t/m ²	t/m ²	t/m ²	t/m ²	t/m ²	(m)	(m)			
0	-	1	1	0.05	2.380	0.570	0.180	0.577	87.634	1.800	3.600	1.600	0.600	0.600	0.300	2.300	7.66667	0.5Soil	3.900	0.113	0.133	
1	-	2	1	1.15	2.380	0.570	0.180	1.744	82.933	1.799	3.598	1.600	0.600	0.600	1.200	0.900	2.900	3.22222	0.5Soil	4.498	0.082	0.95
2	-	3	1	2.25	1.250	0.450	0.100	2.847	78.325	1.796	3.591	1.900	0.900	0.900	2.100	1.650	3.650	2.22221	0.5Soil	5.241	0.045	0.40
3	-	4	1	3.35	1.250	0.450	0.100	3.868	73.867	1.789	3.577	1.900	0.900	0.900	3.000	2.550	4.550	1.78334	0.5Soil	6.127	0.036	0.756
4	-	5	1	4.45	1.250	0.450	0.100	4.784	69.600	1.777	3.554	1.900	0.900	0.900	3.900	3.450	5.450	1.57971	0.5Soil	7.004	0.030	0.306
5	-	6	1	5.55	0.920	0.390	0.090	5.583	65.556	1.761	3.521	2.000	1.000	1.000	4.400	4.400	6.400	1.45545	0.5Soil	7.921	0.024	0.230
6	-	7	1	6.65	0.920	0.390	0.090	6.299	61.756	1.759	3.478	2.000	1.000	1.000	5.900	5.400	7.400	1.37337	0.5Soil	8.838	0.020	0.350
7	-	8	1	7.75	0.920	0.390	0.090	6.814	58.208	1.713	3.425	2.000	1.000	1.000	6.400	6.400	8.400	1.3225	0.5Soil	9.825	0.017	0.367

$$q=5,4 \text{ t/m}^2$$

Kedalaman H		Tebal lapisan	z	e	c _c	c _s	a ₁	a ₂	$\Delta\sigma$	2 σ	y [*] sat	y'	y [*] H	y [*] H _{Hum}	σ 0	σ C	σ R	Nc ₀ soil	Δn_{H2O}	S _c	ΣS_c	
(m)		(m)	(m)				*	*	t/m^2	t/m^3	t/m^3	t/m^3	t/m^2	t/m^2	t/m^2	t/m^2	t/m^2	(m)	(m)			
0	0	0	0	0	0	0	0	0	0	0	0	0	0	0	0	0	0	0	0	0	0	
0	-	1	1	0.5	2.380	0.970	0.380	0.784	87.654	2.700	5.400	1.600	0.600	0.600	0.600	0.300	2.300	7.66667	0.501	5.700	0.160	
1	-	2	1	1.5	2.380	0.970	0.380	2.329	82.933	2.699	5.938	1.600	0.600	0.600	0.600	1.200	3.000	3.22222	0.501	6.298	0.174	
2	-	3	1	2.5	2.380	0.970	0.380	3.800	78.325	2.695	5.389	1.900	0.900	0.900	0.900	2.100	3.650	2.21212	0.501	7.039	0.070	
3	-	4	1	3.5	1.250	0.490	0.300	5.389	73.877	2.686	5.371	1.900	0.900	0.900	0.900	3.000	2.550	4.550	1.78434	0.501	7.921	0.057
4	-	5	1	4.5	1.250	0.490	0.300	6.458	69.600	2.671	5.341	1.900	0.900	0.900	0.900	3.900	3.450	5.450	1.57971	0.501	8.791	0.049
5	-	6	1	5.5	0.930	0.340	0.300	7.542	65.355	2.649	5.298	2.000	1.000	1.000	1.000	4.900	4.400	6.400	1.45545	0.501	9.658	0.039
6	-	7	1	6.5	0.930	0.340	0.300	8.490	61.756	2.621	5.242	2.000	1.000	1.000	1.000	5.900	5.400	7.400	1.37037	0.501	10.642	0.034
7	-	8	1	7.5	0.930	0.340	0.300	9.385	58.308	2.597	5.173	2.000	1.000	1.000	1.000	6.900	6.400	8.400	1.3125	0.501	11.573	0.030

$$q=7,2 \text{ t/m}^2$$

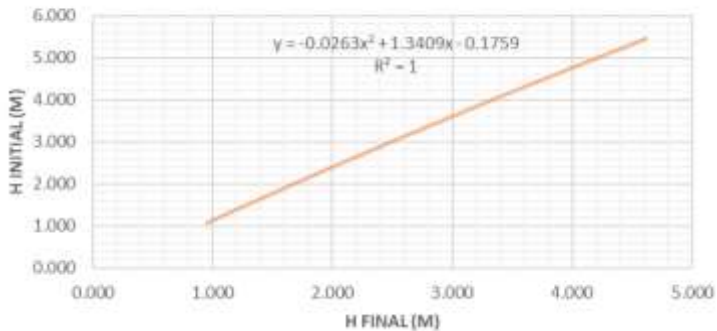
Kebijakan H		Aktivitas/timbunan																				
Total lapisan	z	e	Cc	Cs	u1	u2	Δg	2Δg	γsat	γ'	γ' * H	γ' * H umur	σ0	σt	OGR	N/GC soil	Δσ-σ0	Sc	ΣSc			
(m)	(m)	(m)			*	*	t/m2	t/m3	t/m3	t/m3	t/m2	t/m2	t/m2	t/m2	t/m2	(m)	(m)	(m)				
0	-	1	1	0.5	2.30	0.970	0.380	0.941	87.54	3.60	7.200	1.600	0.600	0.600	0.30	2.30	7.66665	0.350	7.500	0.394	0.194	
1	-	2	1	15	2.30	0.970	0.380	2.799	82.933	3.59	7.197	1.600	0.600	0.600	1.200	0.90	2.90	3.22222	0.350	8.097	0.555	0.349
2	-	3	1	25	1.250	0.940	0.300	4.554	78.256	3.594	7.187	1.900	0.900	0.900	2.100	1.650	3.500	2.21211	0.350	8.837	0.893	0.488
3	-	4	1	3.5	1.250	0.940	0.300	6.755	73.867	3.583	7.167	1.900	0.900	0.900	3.000	2.550	4.500	1.78434	0.350	9.717	0.074	0.512
4	-	5	1	4.5	1.250	0.940	0.300	7.781	69.600	3.56	7.132	1.900	0.900	0.900	3.900	3.450	5.450	1.57971	0.350	10.582	0.064	0.576
5	-	6	1	5.5	0.930	0.940	0.090	9.141	65.556	3.541	7.082	2.000	1.000	1.000	4.900	4.400	6.400	1.45545	0.350	11.482	0.052	0.629
6	-	7	1	6.5	0.930	0.940	0.090	10.324	61.756	3.508	7.016	2.000	1.000	1.000	5.900	5.400	7.400	1.30737	0.350	12.416	0.046	0.675
7	-	8	1	7.5	0.930	0.940	0.090	11.330	58.208	3.467	6.984	2.000	1.000	1.000	6.900	6.400	8.400	1.1325	0.350	13.334	0.041	0.715

$$q=9t/m^2$$

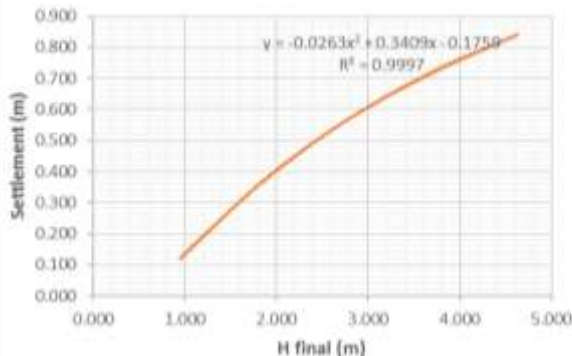
ກະດົວອາຫານ		ເຕັມ		ກະດົວອາຫານ		ເຕັມ		ກະດົວອາຫານ		ເຕັມ		ກະດົວອາຫານ		ເຕັມ		
(m)		ເລີກສຳ	I	e	c	cs	a1	a2	λ	λσ	γ*	γ*	H ₁	H ₂	κ	γ
		[m]	[m]				*	*	t/m ²	t/m ³	t/m ³	t/m ³	t/m ²	t/m ²	t/m ²	t/m ²
0	-	1	1	0.5	2.380	0.970	0.180	1.070	87.654	4.500	9.000	1.500	0.600	0.600	0.300	2.300
1	-	2	1	1.5	2.380	0.970	0.180	3.384	82.933	4.498	8.997	1.600	0.600	1.000	0.900	2.900
2	-	3	1	2.5	1.250	0.490	0.100	5.220	78.326	4.493	8.966	1.900	0.900	2.100	1.550	3.650
3	-	4	1	3.5	1.250	0.490	0.100	7.134	73.867	4.482	8.933	1.930	0.900	3.000	2.550	4.550
4	-	5	1	4.5	1.250	0.490	0.100	8.891	69.600	4.462	8.915	1.900	0.900	3.300	3.450	5.450
5	-	6	1	5.5	0.930	0.340	0.090	10.469	65.556	4.435	8.889	2.000	1.000	4.500	4.400	6.400
6	-	7	1	6.5	0.930	0.340	0.090	11.855	61.756	4.398	8.795	2.000	1.000	5.500	7.400	13.737
7	-	8	1	7.5	0.930	0.340	0.090	13.497	58.208	4.352	8.704	2.000	1.000	6.500	8.400	13.25

q timb	Sc akibat q timb	H initial	H final	Sc total
t/m ²	(m)	(m)	(m)	(m)
Direncanakan	Perhitungan	(A+B)/γt	C-B-D+E-F	B+F
A	B	C	G	H
1.8	0.120	1.067	0.947	0.120
3.6	0.367	2.204	1.837	0.367
5.4	0.563	3.313	2.750	0.563
7.2	0.715	4.397	3.682	0.715
9	0.840	5.467	4.626	0.840

H final vs H initial



H final vs Sc



Zona 1 h rencana= 3m , h initial = 3,6m

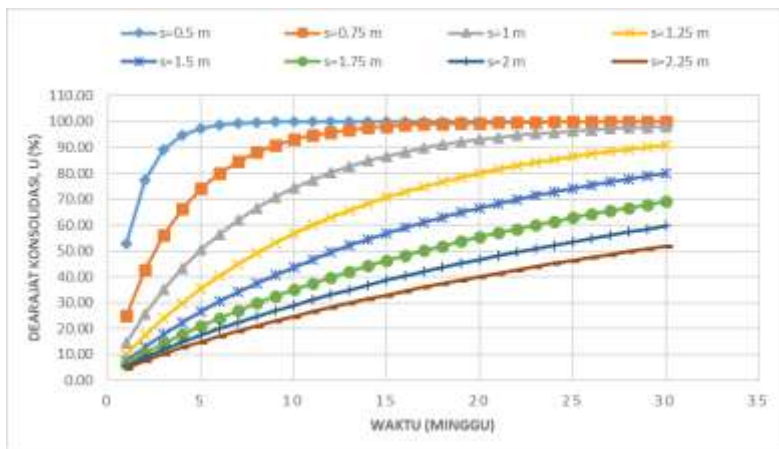
Ketinggian H [m]	akibat timbunan																				
	Tebal lopatan	z	e	c	g	a1	a2	Δσ	Δσ	γ' sat	γ'	γ' H	γ' HKum	σ0	σk	OCR	N/Cc soil	Δσd/0	S	ΣS	
[m]	[m]	[m]	[m]	[m]	[m]	[m]	[m]	[m]	[m]	[m]	[m]	[m]	[m]	[m]	[m]	[m]	[m]	[m]	[m]		
0	0	0	0	0	0	0	0	0	0	0	0	0	0	0	0	0	0	0	0		
0	-	1	0,5	2,30	0,90	0,180	0,882	87,64	3,240	6,480	1,600	0,600	0,600	0,300	2,30	7,665657	0,0 Soil	6,780	0,32	0,182	
1	-	2	1	1,5	2,30	0,90	0,180	2,623	82,93	3,239	6,477	1,600	0,600	1,200	0,90	2,90	3,222222	0,0 Soil	1,377	0,143	0,325
2	-	3	1	2,5	1,20	0,430	0,100	4,733	78,306	3,224	6,48	1,900	0,900	2,100	1,650	3,650	2,222221	0,0 Soil	8,118	0,082	0,407
3	-	4	1	3,5	1,20	0,430	0,100	5,854	73,867	3,224	6,448	1,900	0,900	3,000	2,550	4,550	1,78934	0,0 Soil	3,998	0,068	0,475
4	-	5	1	4,5	1,20	0,430	0,100	7,776	69,600	3,208	6,445	1,900	0,900	3,900	3,450	5,450	1,5971	0,0 Soil	9,385	0,058	0,533
5	-	6	1	5,5	0,90	0,340	0,090	8,538	65,556	3,184	6,38	2,000	1,000	4,900	4,400	6,400	1,45545	0,0 Soil	10,788	0,047	0,580
6	-	7	1	6,5	0,90	0,340	0,090	9,631	61,756	3,153	6,305	2,000	1,000	5,900	5,400	7,400	1,37937	0,0 Soil	11,175	0,041	0,622
7	-	8	1	7,5	0,90	0,340	0,090	10,256	58,208	3,114	6,228	2,000	1,000	6,900	6,400	8,400	1,3125	0,0 Soil	12,628	0,037	0,658

Kedalaman (m)	Tebal Lapisan	Cv (cm ² /det)	$\frac{V}{C}$ v	H/V v	Cv gab (cm ² /det)
1	1	0.0002	0	70.71	0.00050838
2	1	0.0002	0	70.71	
3	1	0.0007	0	37.8	
4	1	0.0007	0	37.8	
5	1	0.0007	0	37.8	
6	1	0.0009	0	33.33	
7	1	0.0009	0	33.33	
8	1	0.0009	0	33.33	

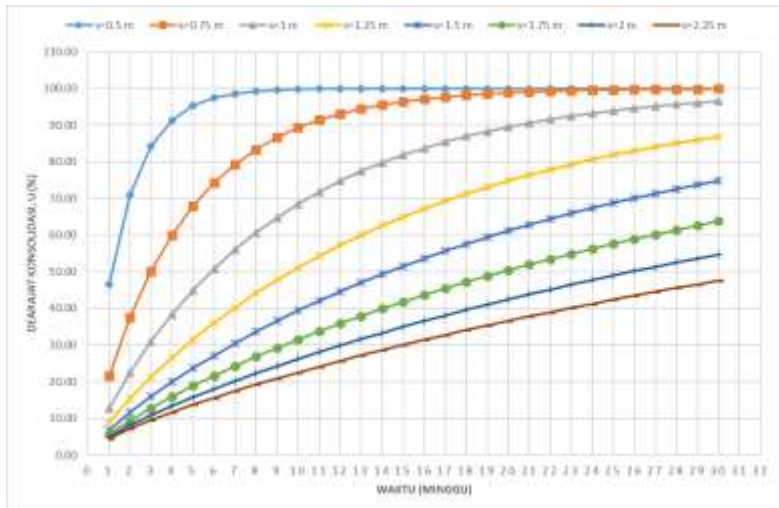
Derajat Konsolidasi U(%)	Hdr (cm)	Cv (cm ² /detik)	T	t (detik)	t tahun
0	400	0.00050838	0	0	0
5			0.002	617964.192	0.020
10			0.008	2471856.770	0.078
15			0.018	5561677.731	0.176
20			0.031	9887427.078	0.314
25			0.049	15449104.809	0.490
30			0.071	22246710.926	0.705
35			0.096	30280245.427	0.960
40			0.126	39549708.312	1.254
45			0.159	50055099.583	1.587
50			0.196	61796419.238	1.960
55			0.238	74773667.278	2.371
60			0.283	88986843.702	2.822
65			0.340	107128053.759	3.397
70			0.403	126786302.238	4.020
75			0.477	150037075.251	4.758
80			0.567	178493721.587	5.660
85			0.684	215180719.462	6.823
90			0.848	266888138.811	8.463
95			1.129	355282556.035	11.266
100					

Kedalam an (m)	Sc akibat PVD (m)	sc n tahun kemudian (m)	rate of settlement (cm per tahun)
0	0	0.407	13.58
1	0.182	0.295	9.83
2	0.325	0.206	6.87
3	0.407	0.156	5.18
4	0.475	0.114	3.79
5	0.533	0.078	2.59
6	0.580	0.048	1.61
7	0.622	0.023	0.76
8	0.658	0.000	0.00

Kedalam an (m)	Tebal Lapisan	Cv (cm ² /det)	vCv	H/vCv	Cv gab (cm ² /det)	Cv gab (cm ² /tahun)
1	1	0.000200	0.014142	70.71068		
2	1	0.000200	0.014142	70.71068		
3	1	0.000700	0.026458	37.79645		
4	1	0.000700	0.026458	37.79645	0.00043359	13673.81977
5	1	0.000700	0.026458	37.79645		
6	1	0.000900	0.03	33.33333		



Pola segitiga



Pola segiempat

$\Sigma \sigma_p'$	Kedalaman			PI	Cu lama	ek tanah asli dengan rumus	Cu tanah asli pakai	Cu baru
	kg/cm ²	(m)	%			(Ardana & Mochtar)	(Ardana & Mochtar)	Ina & Mod
0.678	0	-	1	40.000	0.108	0.077	0.108	0.159
0.738	1	-	2	40.000	0.108	0.085	0.108	0.166
0.812	2	-	3	40.000	0.239	0.094	0.239	0.176
0.900	3	-	4	40.000	0.239	0.106	0.239	0.187
0.987	4	-	5	40.000	0.239	0.117	0.239	0.198
1.077	5	-	6	40.000	0.410	0.129	0.410	0.209

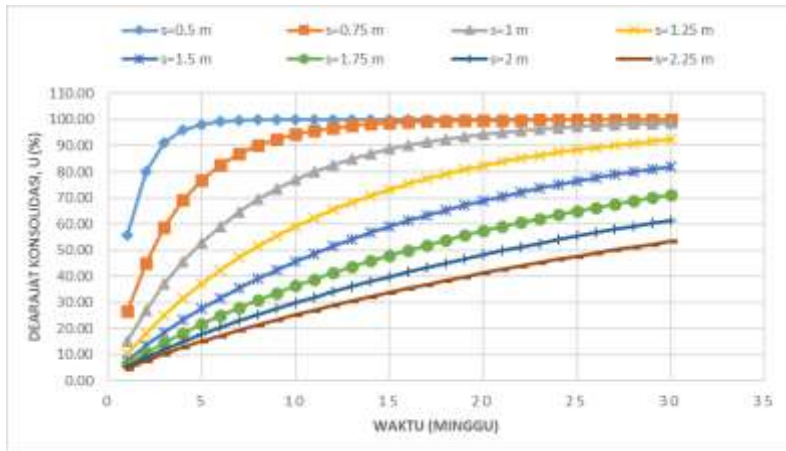
No	SF geostudi	Hasil geostudio					Perhitungan		
		MR (kN.m)	MD (kN.m)	titik pusat		R m	SF rencana	MR rencana	Δ MR (kN.m)
1	1.42	1072.7	757.7	X 14.7	Y 3.3	5.4	1.25	947.125	-125.575
2	1.58	3690.3	2342.7	X 15.5	Y 9.5	11.5	1.25	2928.375	-761.925
3	1.77	5750.1	3252	X 15	Y 6.3	11	1.25	4065	-1685.1
4	1.94	12505	6446.2	X 14.8	Y 13.6	18.2	1.25	8057.75	-4447.25
5	1.58	3734.5	2367.4	X 14.5	Y 9.5	11.5	1.25	2959.25	-775.25

Zona 1 h rencana= 4m, h initial = 4,8m

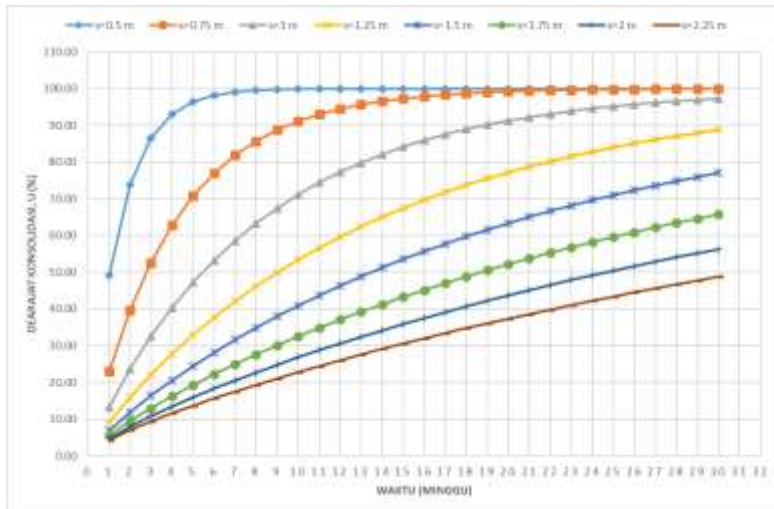
Ketebalan H [m]		akibat timbunan																				
		Tebal lapisan	z	e	Cc	Cs	0.1	0.2	Δσ	2Δσ	γ sat	γ'	γ' * H	γ' * H kum	σ0	σc	OCR	Nc/OCR soil	Δσ-σ0	Sc	Σ Sc	
[m]	[m]	[m]					*	*	/m2	/m3	/m3	/m2	/m2	/m2	/m2	/m2	/m2	[m]	[m]			
0	-	1	1	0.5	2.80	0.970	0.380	1.046	87.534	4.320	8.640	1.600	0.600	0.600	0.300	2.300	7.566657	0.3501	8.940	0.16	0.16	
1	-	2	1	1.5	2.80	0.970	0.380	3.112	82.933	4.339	8.537	1.600	0.600	0.600	1.200	0.900	2.900	3.222222	0.5011	9.537	0.175	0.392
2	-	3	1	2.5	1.29	0.490	0.100	5.102	78.336	4.333	8.525	1.900	0.900	2.100	1.650	3.650	22.2211	0.5011	10.276	0.10	0.493	
3	-	4	1	3.5	1.29	0.490	0.100	6.670	73.887	4.302	8.604	1.900	0.900	3.000	2.550	4.550	17.8434	0.5011	11.154	0.086	0.579	
4	-	5	1	4.5	1.29	0.490	0.100	8.835	69.600	4.283	8.566	1.900	0.900	3.900	3.450	5.450	15.971	0.5011	12.016	0.074	0.653	
5	-	6	1	5.5	0.930	0.360	0.090	10.221	65.556	4.255	8.511	2.000	1.000	4.900	4.400	6.000	14.5455	0.5011	12.911	0.061	0.714	
6	-	7	1	6.5	0.930	0.360	0.090	11.595	61.756	4.220	8.459	2.000	1.000	5.900	5.400	7.400	13.7037	0.5011	13.839	0.054	0.769	
7	-	8	1	7.5	0.930	0.360	0.090	12.726	58.208	4.175	8.399	2.000	1.000	6.900	6.400	8.400	13.125	0.5011	14.749	0.049	0.817	

Kedalam an (m)	Sc akibat PVD (m)	sc n tahun kemudian (m)	rate of settlement (cm per tahun)
0	0	0.506	16.85
1	0.216	0.372	12.39
2	0.392	0.263	8.77
3	0.493	0.201	6.69
4	0.579	0.148	4.92
5	0.653	0.102	3.38
6	0.714	0.064	2.12
7	0.769	0.030	1.00
8	0.817	0.000	0.00

Kedalam an (m)	Tebal Lapisan	Cv (cm ² /det)	vCv	H/vCv	Cv gab (cm ² /det)	Cv gab (cm ² /tahun)
1	1	0.000200	0.014142	70.71068		
2	1	0.000200	0.014142	70.71068		
3	1	0.000700	0.026458	37.79645		
4	1	0.000700	0.026458	37.79645	0.00047413	14952.08949
5	1	0.000700	0.026458	37.79645		
6	1	0.000900	0.03	33.33333		
7	1	0.000900	0.03	33.33333		



Pola segitiga



Pola segiempat

$\Sigma\sigma_p'$ kg/cm ²	Kedalaman (m)			PI %	Cu lama kg/cm ²	ek tanah asli dengan rumus (Ardana & Mochtar)		Cu tanah asli pakai (Ardana & Mochtar)	Cu baru kg/cm ²
	0	-	1			kg/cm ²	kg/cm ²		
0.894	0	-	1	40.000	0.108	0.077	0.108	0.186	
0.954	1	-	2	40.000	0.108	0.085	0.108	0.193	
1.028	2	-	3	40.000	0.239	0.094	0.239	0.203	
1.115	3	-	4	40.000	0.239	0.106	0.239	0.214	
1.202	4	-	5	40.000	0.239	0.117	0.239	0.225	
1.291	5	-	6	40.000	0.410	0.129	0.410	0.236	
1.384	6	-	7	40.000	0.410	0.141	0.410	0.247	

No	Hasil geostudio						Perhitungan			
	SF geostudi	MR	MD	titik pusat		R	SF	MR	Δ MR	
		(kN.m)	(kN.m)	X	Y	m	rencana	rencana	(kN.m)	
1	1.57	2647.9	1688.2	16.8	6.5	8.6	1.25	2110.25	-537.65	
2	1.75	5063.8	2892.6	16.1	7.1	10.6	1.25	3615.75	-1448.05	
3	1.77	7725.6	4371.8	15.9	7.8	12.7	1.25	5464.75	-2260.85	
4	1.98	15009	7570.8	16.4	15.5	20	1.25	9463.5	-5545.5	
5	1.66	2280.4	1375.9	17.8	6.3	8.2	1.25	1719.875	-560.525	

Zona 1 h rencana = 5m, h initial = 5,9m

Kebijakan H		akurasi timbunan																				
Tebal	L	e	Cc	Cs	a1	a2	ΔS	Δw	γsat	γ'	γ*H	γ*Hkm	σ0	σL	OCH	NoOCHsol	Δw*0	Sc	ΣSc			
[m]	[m]				*	*	/m2	/m3	/m3	/m3	/m2	/m2	/m2	/m2	/m2	/m2	/m2	[m]	[m]			
0	-	1	1	0,5	2,380	1,970	0,880	1,588	87,634	5,330	10,620	1,600	0,600	0,600	0,300	2,301	7,66667	0,350	10,920	0,241	0,241	
1	-	2	1	1,5	2,380	1,970	0,880	3,475	82,933	5,338	10,627	1,600	0,600	0,600	1,200	0,900	2,301	3,222222	0,350	11,577	0,199	0,401
2	-	3	1	2,5	1,250	1,040	0,100	5,702	78,336	5,383	10,005	1,900	0,900	1,900	2,000	1,650	3,650	22,1211	0,350	12,255	0,116	0,355
3	-	4	1	3,5	1,250	1,040	0,100	7,801	73,867	5,290	10,881	1,900	0,900	0,900	3,000	2,550	4,550	17,84314	0,350	13,131	0,099	0,355
4	-	5	1	4,5	1,250	1,040	0,100	9,737	69,600	5,270	10,594	1,900	0,900	0,900	3,900	3,450	5,450	15,5971	0,350	13,999	0,087	0,342
5	-	6	1	5,5	0,930	0,940	0,090	11,484	65,556	5,240	10,980	2,000	1,000	1,000	4,900	4,400	6,400	14,5455	0,350	14,980	0,072	0,344
6	-	7	1	6,5	0,930	0,940	0,090	13,030	61,756	5,201	10,401	2,000	1,000	1,000	5,900	5,400	7,400	13,7037	0,350	15,801	0,064	0,339
7	-	8	1	7,5	0,930	0,940	0,090	14,370	58,208	5,151	10,393	2,000	1,000	1,000	6,900	6,400	8,400	13,125	0,350	16,703	0,058	0,337

Kedalam an (m)	Sc akibat PVD (m)	sc n tahun kemudian (m)	rate of settlement (cm per tahun)
0	0	0.580	19.32
1	0.241	0.430	14.35
2	0.440	0.307	10.24
3	0.556	0.236	7.85
4	0.655	0.174	5.81
5	0.742	0.120	4.01
6	0.814	0.076	2.53
7	0.879	0.036	1.20
8	0.937	0.000	0.00

Kedalam an (m)	Tebal Lapisan	Cv (cm ² /det)	vCv	H/vCv	Cv gab (cm ² /det)	Cv gab (cm ² /tahun)
1	1	0.000200	0.014142	70.71068		
2	1	0.000200	0.014142	70.71068		
3	1	0.000700	0.026458	37.79645		
4	1	0.000700	0.026458	37.79645		
5	1	0.000700	0.026458	37.79645		
6	1	0.000900	0.03	33.33333		
7	1	0.000900	0.03	33.33333		

$\Sigma \sigma_p'$ kg/cm ²	Kedalaman (m)		PI %	Cu lama kg/cm ²	ek tanah asli dengan rumus (Ardana & Mochtar)		Cu tanah asli pakai (Ardana & Mochtar) kg/cm ²	Cu baru kg/cm ²
	0	1			kg/cm ²	kg/cm ²		
1.092	0	-	1	40.000	0.108	0.077	0.108	0.211
1.152	1	-	2	40.000	0.108	0.085	0.108	0.218
1.226	2	-	3	40.000	0.239	0.094	0.239	0.228
1.313	3	-	4	40.000	0.239	0.106	0.239	0.238
1.399	4	-	5	40.000	0.239	0.117	0.239	0.249
1.488	5	-	6	40.000	0.410	0.129	0.410	0.260
1.580	6	-	7	40.000	0.410	0.141	0.410	0.272

No	SF geostudi	Hasil geostudio					Perhitungan		
		MR (kN.m)	MD (kN.m)	titik pusat		R m	SF rencana	MR (kN.m)	Δ MR
				X	Y				
1	1.42	4278.2	3021.1	17.5	5.4	8.9	1.25	3776.375	-501.825
2	1.35	6158.2	4564	17.2	5.5	10.4	1.25	5705	-453.2
3	1.35	10267	7636.1	17.3	9.2	14.1	1.25	9545.125	-721.875
4	1.55	20056	12978	17.9	17.4	21.8	1.25	16222.5	-3833.5
5	1.33	5859.9	4400.8	1.4	5.5	10.2	1.25	5501	-358.9

Perhitungan Zona 2

$q=1,8 \text{ t/m}^2$

Kedalaman H Jaringan [m]	Tebal Jaringan [m]	z	e	Cc	Cs	d1	d2	d3	Dm	γsat	γ'	γ*H	γ*Hcum	σD	σC	OCR	Nc/Cs, n ^a	Mn-σD	Sc	ΣSc	aktivitas timbuluan								
																					[m]	[m]							
0	-	1	1	0,5	2,30	0,30	0,30	0,30	0,30	0,30	0,30	0,30	0,30	0,30	0,30	0,30	2,30	7,66667	0,50	2,00	0,045	0,045							
1	-	2	1	1,5	2,30	0,30	0,30	0,30	0,30	0,30	0,30	0,30	0,30	0,30	0,30	0,30	2,30	3,22222	0,50	2,69	0,025	0,020							
2	-	3	1	2,5	2,30	0,30	0,30	0,30	0,30	0,30	0,30	0,30	0,30	0,30	0,30	0,30	2,30	3,33333	0,50	3,25	0,018	0,009							
3	-	4	1	3,5	2,30	0,30	0,30	0,30	0,30	0,30	0,30	0,30	0,30	0,30	0,30	0,30	2,30	3,62500	0,50	3,85	0,014	0,003							
4	-	5	1	4,5	2,30	0,30	0,30	0,30	0,30	0,30	0,30	0,30	0,30	0,30	0,30	0,30	2,30	4,10	1,95238	0,50	4,023	0,009	0,012						
5	-	6	1	5,5	2,30	0,30	0,30	0,30	0,30	0,30	0,30	0,30	0,30	0,30	0,30	0,30	2,30	4,60	1,07074	0,50	4,623	0,009	0,012						
6	-	7	1	6,5	2,30	0,30	0,30	0,30	0,30	0,30	0,30	0,30	0,30	0,30	0,30	0,30	2,30	5,13333	0,50	5,53	0,007	0,010							
7	-	8	1	7,5	2,30	0,30	0,30	0,30	0,30	0,30	0,30	0,30	0,30	0,30	0,30	0,30	2,30	5,625	1,49342	0,50	6,33	0,006	0,026						
8	-	9	1	8,5	2,30	0,30	0,30	0,30	0,30	0,30	0,30	0,30	0,30	0,30	0,30	0,30	2,30	5,975	1,36529	0,50	7,13	0,005	0,031						
9	-	10	1	9,5	2,30	0,30	0,30	0,30	0,30	0,30	0,30	0,30	0,30	0,30	0,30	0,30	2,30	6,325	1,36506	0,50	7,98	0,004	0,035						
10	-	11	1	10,5	2,30	0,30	0,30	0,30	0,30	0,30	0,30	0,30	0,30	0,30	0,30	0,30	2,30	6,675	1,27846	0,50	8,80	0,004	0,039						
11	-	12	1	11,5	2,30	0,30	0,30	0,30	0,30	0,30	0,30	0,30	0,30	0,30	0,30	0,30	2,30	7,025	1,22479	0,50	10,41	0,003	0,045						
12	-	13	1	12,5	2,30	0,30	0,30	0,30	0,30	0,30	0,30	0,30	0,30	0,30	0,30	0,30	2,30	7,375	1,124082	0,50	11,28	0,003	0,048						
13	-	14	1	13,5	2,30	0,30	0,30	0,30	0,30	0,30	0,30	0,30	0,30	0,30	0,30	0,30	2,30	7,725	1,05916	0,50	12,54	0,002	0,051						
14	-	15	1	14,5	2,30	0,30	0,30	0,30	0,30	0,30	0,30	0,30	0,30	0,30	0,30	0,30	2,30	8,075	1,011	1,00	11,60	1,00	11,724	0,50	13,01	0,002	0,053		
15	-	16	1	15,5	2,30	0,30	0,30	0,30	0,30	0,30	0,30	0,30	0,30	0,30	0,30	0,30	2,30	8,425	1,000	1,00	11,50	1,00	11,92007	0,50	22,98	0,001	0,054		
16	-	17	1	16,5	2,30	0,30	0,30	0,30	0,30	0,30	0,30	0,30	0,30	0,30	0,30	0,30	2,30	8,775	1,000	1,00	10,00	1,00	10,50	0,50	10,98321	0,50	41,956	0,001	0,055
17	-	18	1	17,5	2,30	0,30	0,30	0,30	0,30	0,30	0,30	0,30	0,30	0,30	0,30	0,30	2,30	9,125	1,000	1,00	9,50	1,00	10,359	0,50	60,835	0,000	0,055		
18	-	19	1	18,5	2,30	0,30	0,30	0,30	0,30	0,30	0,30	0,30	0,30	0,30	0,30	0,30	2,30	9,475	1,000	1,00	8,50	1,00	10,25461	0,50	79,756	0,000	0,055		

$$q=3,6t/m^2$$

Kedalaman H		Analisis Inputan																				
Tetap	Ijazah	z	e	Cc	G	a1	a2	Δt	Δt5	γsat	γ'	γ*H	γ*Hikum	σ0	σt	OCR	NGC501	Δt40	Sc	Sc		
(m)	(m)	(m)				*	*	1/m²	1/m³	1/m³	1/m³	1/m²	1/m²	1/m²	1/m²	1/m²	(m)	(m)	(m)			
0	-	1	1	0.5	2.30	0.070	0.180	0.597	87.534	1.800	3.600	1.600	0.600	0.600	0.300	2.300	7.66657	0.501	3.900	0.133	0.113	
1	-	2	1	15	2.30	0.070	0.180	1.744	82.333	1.799	3.598	1.600	0.600	1.200	0.900	2.900	3.22222	0.501	4.498	0.082	0.195	
2	-	3	1	25	2.30	0.070	0.180	2.897	78.255	1.795	3.591	1.600	0.600	1.800	1.500	3.500	2.33333	0.501	5.091	0.065	0.261	
3	-	4	1	35	2.30	0.070	0.180	3.868	73.957	1.789	3.577	1.600	0.600	2.400	2.000	4.000	1.95238	0.501	5.677	0.055	0.317	
4	-	5	1	45	1.20	0.030	0.100	4.794	69.600	1.777	3.554	1.600	0.500	3.300	2.650	4.850	1.01754	0.501	6.404	0.033	0.350	
5	-	6	1	55	1.20	0.030	0.100	5.583	65.556	1.761	3.521	1.600	0.500	4.200	3.500	5.750	15.33333	0.501	7.271	0.028	0.378	
6	-	7	1	65	1.30	0.050	0.100	6.259	61.755	1.759	3.478	1.650	0.500	5.050	4.625	6.625	1.42932	0.501	8.108	0.024	0.402	
7	-	8	1	75	1.30	0.050	0.100	6.834	58.038	1.713	3.425	1.650	0.500	5.900	5.075	7.475	1.36539	0.501	8.900	0.021	0.423	
8	-	9	1	85	1.30	0.050	0.100	7.255	54.913	1.682	3.355	1.650	0.500	6.750	6.325	8.25	1.34036	0.501	9.690	0.018	0.441	
9	-	10	1	95	1.30	0.050	0.100	7.593	51.694	1.649	3.297	1.650	0.500	7.500	7.175	9.175	1.27896	0.501	10.472	0.015	0.457	
10	-	11	1	105	1.30	0.050	0.100	7.839	49.150	1.612	3.224	1.650	0.500	8.350	8.450	8.025	1.005	1.24921	0.501	11.249	0.014	0.471
11	-	12	1	115	1.20	0.030	0.050	8.006	46.955	1.574	3.147	1.600	0.500	9.350	8.900	10.900	1.12479	0.501	12.047	0.012	0.483	
12	-	13	1	125	0.40	0.100	0.100	8.106	44.086	1.54	3.038	1.600	0.500	10.250	9.000	11.800	1.04082	0.501	12.838	0.011	0.494	
13	-	14	1	135	0.40	0.100	0.100	8.150	41.800	1.493	2.987	1.600	0.500	11.150	10.700	12.700	1.04805	0.501	13.887	0.010	0.508	
14	-	15	1	145	0.40	0.100	0.100	8.149	39.944	1.453	2.96	1.600	0.500	12.050	11.600	13.600	1.07914	0.501	14.506	0.008	0.512	
15	-	16	1	155	0.90	0.040	0.050	8.111	37.977	1.412	2.935	20.000	19.000	31.050	21.550	23.500	1.08007	0.501	24.375	0.004	0.516	
16	-	17	1	165	0.90	0.040	0.050	8.083	36.254	1.373	2.745	20.000	19.000	30.550	20.550	24.500	1.04932	0.501	43.295	0.002	0.518	
17	-	18	1	175	0.90	0.040	0.050	7.953	34.651	1.333	2.567	20.000	19.000	30.050	20.050	23.500	1.03335	0.501	62.217	0.001	0.520	
18	-	19	1	185	0.90	0.040	0.050	7.895	33.887	1.295	2.591	20.000	19.000	28.550	20.550	20.550	1.02561	0.501	81.141	0.001	0.521	

q=5,4t/m²

Ketebalan H [m]																	skat/timbunan					
Tebal [m]	z	e	Cc	Cs	a1	a2	Ag	2Ag	y sat	y'	y*H	y*Hcum	d0	σc	O.R.	N/C/C soil	Mg>0	S	ΣS			
[m]	[m]	[m]	[m]	[m]	[m]	[m]	[m ²]	[m ³]	[m ³]	[m ²]	[m ³]	[m ²]	[m]	[m]								
0	-	1	1	0.5	2380	0.970	0.180	0.784	87.634	2.700	5.400	1.600	0.600	0.600	0.300	2.300	7.66667	0.50i	5.700	0.160	0.160	
1	-	2	1	1.5	2380	0.970	0.180	2.329	82.933	2.699	5.386	1.600	0.600	0.600	1.200	0.900	2.900	3.22222	0.50i	6.288	0.124	0.284
2	-	3	1	2.5	2380	0.970	0.180	3.810	78.346	2.695	5.389	1.600	0.600	0.600	1.800	1.500	3.500	2.33333	0.50i	6.688	0.104	0.388
3	-	4	1	3.5	2380	0.970	0.180	5.189	73.857	2.686	5.371	1.600	0.600	0.600	2.400	2.100	4.100	1.952381	0.50i	7.471	0.090	0.478
4	-	5	1	4.5	1250	0.930	0.100	6.438	69.600	2.571	5.341	1.900	0.900	0.900	3.300	2.591	4.850	1.70754	0.50i	8.911	0.054	0.532
5	-	6	1	5.5	1250	0.930	0.100	7.542	65.556	2.649	5.386	1.900	0.900	0.900	4.200	3.750	5.750	1.53333	0.50i	9.948	0.046	0.578
6	-	7	1	6.5	1300	0.950	0.100	8.490	61.756	2.621	5.420	1.850	0.850	0.850	5.050	4.625	6.625	1.43432	0.50i	9.367	0.041	0.638
7	-	8	1	7.5	1300	0.950	0.100	9.285	58.208	2.587	5.173	1.850	0.850	0.850	5.900	5.475	7.475	1.385297	0.50i	10.488	0.035	0.654
8	-	9	1	8.5	1300	0.950	0.100	9.932	54.933	2.546	5.092	1.850	0.850	0.850	6.750	6.325	8.325	1.36205	0.50i	11.471	0.032	0.686
9	-	10	1	9.5	1300	0.950	0.100	10.442	51.664	2.501	5.002	1.850	0.850	0.850	7.600	7.175	9.175	1.28746	0.50i	12.177	0.029	0.715
10	-	11	1	10.5	1300	0.950	0.100	10.832	49.550	2.452	4.904	1.850	0.850	0.850	8.450	8.025	10.025	1.29221	0.50i	12.299	0.026	0.741
11	-	12	1	11.5	1250	0.930	0.100	11.113	46.455	2.399	4.759	1.900	0.900	0.900	9.350	8.900	10.900	1.226719	0.50i	13.689	0.023	0.764
12	-	13	1	12.5	1250	0.930	0.100	11.302	44.068	2.345	4.680	1.900	0.900	0.900	10.250	9.800	11.800	1.204082	0.50i	14.480	0.021	0.784
13	-	14	1	13.5	1250	0.930	0.100	11.413	41.870	2.289	4.578	1.900	0.900	0.900	11.150	10.700	12.700	1.18996	0.50i	15.778	0.019	0.803
14	-	15	1	14.5	1250	0.930	0.100	11.451	39.844	2.232	4.464	1.900	0.900	0.900	12.050	11.600	13.600	1.17244	0.50i	16.664	0.017	0.820
15	-	16	1	15.5	0930	0.940	0.090	11.448	31.977	2.175	4.351	20.000	19.000	19.000	21.500	23.550	15.92807	0.50i	25.501	0.009	0.829	
16	-	17	1	16.5	0930	0.940	0.090	11.394	36.754	2.119	4.238	20.000	19.000	19.000	20.550	22.550	14.98327	0.50i	44.788	0.005	0.834	
17	-	18	1	17.5	0930	0.940	0.090	11.304	34.661	2.063	4.126	20.000	19.000	19.000	20.550	22.550	14.93395	0.50i	63.756	0.003	0.837	
18	-	19	1	18.5	0930	0.940	0.090	11.237	33.307	2.008	4.026	20.000	19.000	19.000	20.550	22.550	14.92461	0.50i	82.366	0.002	0.840	

$q=7,2 \text{ t/m}^2$

Analisis Limburan																						
Kedalaman H		Tebal Jaring	z	e	Cc	Cs	a1	a2	Δσ	2Δσ	γ sat	γ'	γ*H	γ*H kum	σ0	σt	OCR	NQCC soil	Δσ-σ0	Sc	Σ Sc	
(m)	(m)	(m)					*	*	t/m2	t/m3	t/m3	t/m2	t/m2	t/m2	t/m2	t/m2	t/m2	t/m2	(m)	(m)		
0	-	1	1	0.5	2.800	0.90	0.80	0.941	87.654	3.00	7.200	1.600	0.600	0.600	0.300	2.301	7.66567	0.501	7.500	0.194	0.194	
1	-	2	1	1.5	2.800	0.90	0.80	2.799	82.933	3.399	7.197	1.600	0.600	0.600	1.200	0.900	2.901	3.22222	0.501	8.097	0.155	0.349
2	-	3	1	2.5	2.800	0.90	0.80	4.584	78.326	3.394	7.187	1.600	0.600	1.800	1.500	3.501	2.33333	0.501	8.697	0.133	0.482	
3	-	4	1	3.5	2.800	0.90	0.80	6.255	73.867	3.383	7.157	1.600	0.600	2.400	2.000	4.000	1.95381	0.501	9.267	0.117	0.593	
4	-	5	1	4.5	1.250	0.450	0.100	7.781	68.600	3.366	7.132	1.900	0.900	0.900	3.300	2.850	4.850	1.01754	0.501	9.982	0.070	0.670
5	-	6	1	5.5	1.250	0.450	0.100	9.141	65.556	3.341	7.082	1.900	0.900	4.200	3.750	5.750	1.33333	0.501	10.822	0.061	0.730	
6	-	7	1	6.5	1.300	0.450	0.100	10.324	61.756	3.308	7.056	1.850	0.850	5.050	4.625	6.625	1.33321	0.501	11.641	0.055	0.785	
7	-	8	1	7.5	1.300	0.450	0.100	11.330	58.308	3.367	6.934	1.850	0.850	5.900	5.475	7.475	1.85597	0.501	12.499	0.049	0.834	
8	-	9	1	8.5	1.300	0.450	0.100	12.164	54.913	3.419	6.838	1.850	0.850	6.750	6.325	8.325	1.36066	0.501	13.463	0.044	0.878	
9	-	10	1	9.5	1.300	0.450	0.100	12.839	51.864	3.385	6.730	1.850	0.850	7.600	7.175	9.175	1.27876	0.501	13.935	0.040	0.938	
10	-	11	1	10.5	1.300	0.450	0.100	13.368	49.950	3.306	6.611	1.850	0.850	8.500	8.025	10.025	1.269221	0.501	14.636	0.036	0.955	
11	-	12	1	11.5	1.250	0.450	0.100	13.768	46.455	3.342	6.494	1.900	0.900	9.350	8.900	10.900	1.24793	0.501	15.384	0.033	0.987	
12	-	13	1	12.5	1.250	0.450	0.100	14.54	44.068	3.375	6.350	1.900	0.900	10.250	9.800	11.800	1.24082	0.501	16.150	0.030	1.017	
13	-	14	1	13.5	1.250	0.450	0.100	14.243	43.870	3.306	6.212	1.900	0.900	11.150	10.100	12.700	1.18925	0.501	16.912	0.027	1.044	
14	-	15	1	14.5	1.250	0.450	0.100	14.349	39.444	3.358	6.072	1.900	0.900	12.050	11.600	13.600	1.17244	0.501	17.672	0.025	1.069	
15	-	16	1	15.5	0.950	0.340	0.080	14.385	37.977	2.965	5.930	20.000	19.000	31.050	21.500	23.500	1.09207	0.501	27.480	0.014	1.082	
16	-	17	1	16.5	0.950	0.340	0.080	14.364	36.154	2.890	5.787	20.000	19.000	30.050	20.550	24.550	1.09222	0.501	46.337	0.007	1.100	
17	-	18	1	17.5	0.950	0.340	0.080	14.295	34.661	2.823	5.646	20.000	19.000	39.050	39.500	41.500	1.09335	0.501	65.156	0.005	1.105	
18	-	19	1	18.5	0.950	0.340	0.080	14.187	33.187	2.753	5.506	20.000	19.000	38.050	38.500	40.500	1.09546	0.501	84.055	0.004	1.109	

$$q=9t/m^2$$

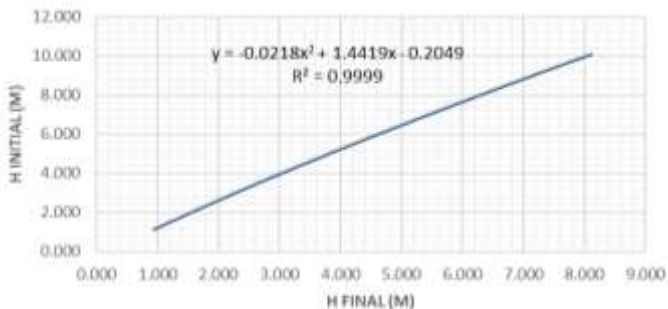
Kedalaman H (m)	Tebal lapangan (m)	L	e	Cr	ζ_5	a1	a2	$\Delta\sigma$	$2\Delta\sigma$	γ_{sat}	γ	γ^*H	γ^*H_{kum}	σ_0	σ_t	Analitikum						
																OCR	NC/OC soil	σ_{avg}	S			
																t/m2	t/m3	t/m2	ΣS			
0	0	-	1	1	0.5	2.300	0.50	0.30	1.00	87.54	4.500	9.00	1.600	0.600	0.600	0.30	2.30	7.666667	0.501	9.30	0.221	
1	-	2	1	1.5	2.300	0.50	0.30	3.184	82.333	4.500	8.97	1.600	0.600	0.600	0.30	2.30	3.222222	0.501	5.897	0.180		
2	-	3	1	2.5	2.300	0.50	0.30	5.210	78.325	4.493	8.96	1.600	0.600	0.600	0.30	1.50	3.233333	0.501	10.86	0.156		
3	-	4	1	3.5	2.300	0.50	0.30	7.134	73.867	4.482	8.95	1.600	0.600	0.600	0.30	2.40	2.100	4.00	19.5238	0.501		
4	-	5	1	4.5	1.250	0.50	0.30	8.891	69.000	4.462	8.95	1.900	0.900	0.900	0.30	2.60	4.850	1.70754	0.501	11.75	0.084	
5	-	6	1	5.5	1.250	0.50	0.30	10.469	65.556	4.453	8.69	1.900	0.900	0.900	0.30	3.70	5.70	15.93333	0.501	12.19	0.073	
6	-	7	1	6.5	1.300	0.50	0.30	11.835	61.756	4.330	8.75	1.850	0.850	0.850	0.30	5.60	4.625	6.625	14.9292	0.501	13.20	0.067
7	-	8	1	7.5	1.300	0.50	0.30	13.047	58.038	4.352	8.704	1.850	0.850	0.850	0.30	5.90	5.475	7.475	13.62597	0.501	14.79	0.060
8	-	9	1	8.5	1.300	0.50	0.30	14.050	54.913	4.298	8.56	1.850	0.850	0.850	0.30	6.70	6.325	8.325	13.6265	0.501	14.21	0.055
9	-	10	1	9.5	1.300	0.50	0.30	14.875	51.884	4.237	8.474	1.850	0.850	0.850	0.30	7.60	7.175	9.175	12.7806	0.501	15.49	0.050
10	-	11	1	10.5	1.300	0.50	0.30	15.537	49.050	4.159	8.339	1.850	0.850	0.850	0.30	8.05	10.005	12.921	0.501	16.64	0.046	
11	-	12	1	11.5	1.250	0.50	0.30	16.053	46.556	4.097	8.193	1.900	0.900	0.900	0.30	8.90	10.90	12.24719	0.501	17.93	0.041	
12	-	13	1	12.5	1.250	0.50	0.30	16.459	44.058	4.020	8.040	1.900	0.900	0.900	0.30	11.80	12.0402	0.501	17.40	0.038		
13	-	14	1	13.5	1.250	0.50	0.30	16.711	41.500	3.940	7.880	1.900	0.900	0.900	0.30	11.50	10.700	12.100	13.8916	0.501	18.80	0.035
14	-	15	1	14.5	1.250	0.50	0.30	16.886	39.944	3.858	7.716	1.900	0.900	0.900	0.30	12.05	11.600	13.800	11.7744	0.501	19.15	0.032
15	-	16	1	15.5	0.930	0.50	0.30	16.979	37.97	3.775	7.550	20.000	19.000	20.000	0.30	21.50	23.50	11.99387	0.501	20.00	0.028	
16	-	17	1	16.5	0.930	0.50	0.30	17.001	36.354	3.690	7.383	20.000	19.000	20.000	0.30	20.50	42.50	14.98932	0.501	47.33	0.020	
17	-	18	1	17.5	0.930	0.50	0.30	16.955	34.661	3.608	7.215	20.000	19.000	20.000	0.30	61.50	59.550	18.3355	0.501	61.65	0.017	
18	-	19	1	18.5	0.930	0.50	0.30	16.880	33.107	3.525	7.049	20.000	19.000	20.000	0.30	88.50	80.550	10.9561	0.501	85.39	0.005	

$$q=10,8 \text{ t/m}^2$$

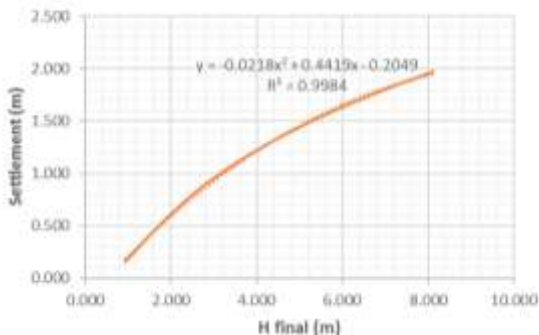
Kedalaman H		Tebal l		e		Cs		0.1	0.2	0.5	2.05	γ_{sat}	γ'	γ^{*H}	γ^{*Hum}	σ_0	δt	OCR	WC/C soil	$\Delta\sigma^{ref}$	Sc	ΣSc
(m)	(m)	(m)	(m)	(m)	(m)	(m)	(m)	(m)	(m)	(m)	(m)	(m)	(m)	(m)	(m)	(m)	(m)	(m)	(m)	(m)	(m)	(m)
0	-	1	1	0.5	2.80	0.970	0.880	1.173	65.534	5.400	10.800	1.600	0.600	0.600	0.300	2.300	7.66667	0.550l	11.100	0.245	0.243	
1	-	2	1	1.5	2.80	0.970	0.880	3.505	82.333	5.388	10.797	1.600	0.600	0.600	1.200	0.930	2.900	3.22222	0.550l	11.67	0.210	0.444
2	-	3	1	2.5	2.80	0.970	0.880	5.751	78.326	5.393	10.785	1.600	0.600	0.600	1.800	1.500	3.500	2.33333	0.550l	12.285	0.176	0.620
3	-	4	1	3.5	2.80	0.970	0.880	7.870	73.867	5.380	10.761	1.600	0.600	0.600	2.400	2.100	4.100	1.95236	0.550l	12.861	0.158	0.778
4	-	5	1	4.5	1.30	0.450	0.100	9.824	69.000	5.330	10.719	1.600	0.900	0.900	3.300	2.850	4.850	1.70754	0.550l	13.559	0.096	0.874
5	-	6	1	5.5	1.20	0.450	0.100	11.58	65.556	5.330	10.660	1.600	0.900	0.900	4.200	3.750	5.750	1.53333	0.550l	14.410	0.085	0.958
6	-	7	1	6.5	1.30	0.450	0.100	13.150	61.756	5.290	10.580	1.580	0.850	0.850	5.050	4.625	6.625	1.49242	0.550l	15.205	0.077	1.056
7	-	8	1	7.5	1.30	0.450	0.100	14.56	58.108	5.240	10.481	1.581	0.850	0.850	5.940	5.475	7.475	1.36527	0.550l	15.956	0.070	1.106
8	-	9	1	8.5	1.30	0.450	0.100	15.66	54.913	5.182	10.364	1.580	0.850	0.850	6.750	6.325	8.325	1.31606	0.550l	16.689	0.064	1.170
9	-	10	1	9.5	1.30	0.450	0.100	16.62	51.864	5.115	10.230	1.580	0.850	0.850	7.600	7.175	9.175	1.27846	0.550l	17.405	0.059	1.229
10	-	11	1	10.5	1.30	0.450	0.100	17.48	49.050	5.041	10.081	1.580	0.850	0.850	8.450	8.025	10.025	1.24921	0.550l	18.106	0.054	1.284
11	-	12	1	11.5	1.20	0.450	0.100	18.34	46.556	4.960	9.921	1.580	0.900	0.900	9.300	8.900	10.900	1.22479	0.550l	18.821	0.049	1.333
12	-	13	1	12.5	1.20	0.450	0.100	18.517	44.028	4.875	9.751	1.580	0.900	0.900	10.250	9.800	11.800	1.20462	0.550l	19.551	0.045	1.379
13	-	14	1	13.5	1.20	0.450	0.100	18.874	41.870	4.787	9.573	1.580	0.900	0.900	11.150	10.700	12.700	1.18696	0.550l	20.273	0.042	1.421
14	-	15	1	14.5	1.20	0.450	0.100	19.12	39.844	4.695	9.390	1.580	0.900	0.900	12.050	11.600	13.600	1.17744	0.550l	20.990	0.039	1.460
15	-	16	1	15.5	0.930	0.340	0.090	19.276	37.977	4.601	9.205	20.000	19.000	31.050	21.550	23.550	1.19287	0.550l	30.753	0.022	1.492	
16	-	17	1	16.5	0.930	0.340	0.090	19.349	36.554	4.507	9.014	20.000	19.000	30.500	40.550	42.550	1.10492	0.550l	49.554	0.013	1.495	
17	-	18	1	17.5	0.930	0.340	0.090	19.354	34.461	4.412	8.824	20.000	19.000	30.500	59.550	61.550	1.03595	0.550l	83.374	0.009	1.513	
18	-	19	1	18.5	0.930	0.340	0.090	19.32	33.87	4.317	8.554	20.000	19.000	30.500	78.550	80.550	1.02561	0.550l	87.384	0.007	1.510	

q timb	Sc akibat q timb	H initial	H final
t/m ²	(m)	(m)	(m)
Direncanakan	Perhitungan	$(A+B*\gamma w)/\gamma t$	$(A-B*\gamma')/\gamma t$
A	B	C	G
1.8	0.155	1.086	0.931
3.6	0.521	2.289	1.768
5.4	0.840	3.466	2.627
7.2	1.099	4.610	3.512
9	1.318	5.732	4.414
10.8	1.510	6.839	5.329
12.6	1.680	7.934	6.253
14.4	1.834	9.019	7.185
16.2	1.974	10.097	8.123

H final vs H initial



H final vs Sc



Zona 2 h rencana 1,7 m, h initial = 2,3 m

Kedalaman H lapisan (m)	Tebal lapisan (m)	z	e	c _c	c _s	0,1	0,2	λ _{or}	λ _{or}	γ _{sat}	γ'	γ ^{*H}	γ ^{*H} kum	σ ₀	σ _c	σ _r	0,CR	W _{0,CS0}	Δσ _{r,0}	S _c	ΣΣ _c	aktivitas hidrologi	
																						t/m ²	(m)
0	0	0	0	0	0	0	0	0	0	0	0	0	0	0	0	0	0	0	0	0	0	0	0
1	-	1	1	0,5	1,380	0,970	0,180	0,651	0,634	2,00	4,440	1,60	0,600	0,600	0,600	0,300	2,30	7,66667	0,501	4,440	0,129	0,129	
2	-	2	1	1,5	2,380	0,970	0,180	1,94	82,333	2,69	4,138	1,60	0,600	0,600	0,600	1,200	0,900	2,90	322222	0,501	5,038	0,035	0,025
3	-	3	1	2,5	2,380	0,970	0,180	3,160	78,35	2,65	4,131	1,60	0,600	0,600	0,600	1,800	1,500	3,90	233333	0,501	5,631	0,039	0,034
4	-	4	1	3,5	1,380	0,970	0,180	4,26	73,867	2,63	4,115	1,60	0,600	0,600	0,600	2,400	2,100	4,10	195331	0,501	6,115	0,067	0,071
5	-	5	1	4,5	1,380	0,970	0,180	5,349	64,600	2,65	4,090	1,60	0,600	0,600	0,600	3,300	2,850	4,650	170754	0,501	6,340	0,040	0,041
6	-	7	1	6,5	1,380	0,970	0,100	6,215	65,556	2,67	4,054	1,60	0,600	0,600	0,600	4,200	3,750	5,750	15,3333	0,501	7,804	0,034	0,045
7	-	8	1	7,5	1,380	0,970	0,100	6,977	61,75	2,03	4,006	1,89	0,850	0,850	0,500	5,050	4,625	6,625	149242	0,501	8,631	0,029	0,047
8	-	9	1	8,5	1,380	0,950	0,100	8,112	54,913	1,90	3,881	1,89	0,850	0,850	0,500	6,750	6,325	8,325	13,626	0,501	10,306	0,022	0,032
9	-	10	1	9,5	1,380	0,950	0,100	8,902	51,684	1,93	3,805	1,89	0,850	0,850	0,500	7,600	7,175	9,175	12,8745	0,501	10,381	0,020	0,042
10	-	11	1	10,5	1,380	0,950	0,100	8,791	49,650	1,82	3,774	1,89	0,850	0,850	0,500	8,450	8,025	10,025	12,69271	0,501	11,49	0,018	0,040
11	-	12	1	11,5	1,380	0,930	0,100	8,991	46,555	1,89	3,659	1,90	0,900	0,900	0,900	9,350	8,900	10,200	12,24719	0,501	12,339	0,016	0,035
12	-	13	1	12,5	1,380	0,930	0,100	9,117	44,683	1,75	3,550	1,90	0,900	0,900	0,900	10,250	9,800	11,800	12,00402	0,501	13,530	0,014	0,039
13	-	14	1	13,5	1,380	0,930	0,100	9,179	42,870	1,79	3,459	1,90	0,900	0,900	0,900	11,150	10,700	12,700	13,86916	0,501	14,559	0,012	0,031
14	-	15	1	14,5	1,380	0,930	0,100	9,189	39,944	1,58	3,357	1,90	0,900	0,900	0,900	12,050	11,600	13,600	13,77044	0,501	14,957	0,011	0,032
15	-	16	1	15,5	1,380	0,930	0,090	9,157	37,977	1,58	3,276	20,000	19,000	31,050	21,500	23,500	19,93807	0,501	14,326	0,016	0,038		
16	-	17	1	16,5	1,380	0,930	0,090	9,091	36,154	1,59	3,186	20,000	19,000	30,050	40,550	42,550	19,09322	0,501	42,756	0,003	0,021		
17	-	18	1	17,5	1,380	0,930	0,090	8,999	34,663	1,59	3,097	20,000	19,000	69,050	93,550	61,550	13,9355	0,501	62,947	0,002	0,023		
18	-	19	1	18,5	1,380	0,930	0,090	8,886	33,187	1,55	3,011	20,000	19,000	88,050	78,550	80,550	10,93461	0,501	81,561	0,001	0,025		

Kedalaman (m)	Tebal Lapisan	Cv (cm ² /det)	$\frac{V}{C}$ v	H/C v	Cv gab (cm ² /det)
1	1	0.00005	0.00021165	141.4	
2	1	0.00005		141.4	
3	1	0.00005		141.4	
4	1	0.00005		141.4	
5	1	0.00030		57.74	
6	1	0.00030		57.74	
7	1	0.00055		42.64	
8	1	0.00055		42.64	
9	1	0.00030		57.74	
10	1	0.00030		57.74	
11	1	0.00030		57.74	
12	1	0.00030		57.74	
13	1	0.00030		57.74	
14	1	0.00030		57.74	
15	1	0.00067		38.63	
16	1	0.00067		38.63	
17	1	0.00067		38.63	
18	1	0.00067		38.63	
19	1	0.00067		38.63	
Derajat Konsolidasi U(%)	Hdr (cm)	Cv (cm ² /detik)	T	t (detik)	t tahun
0	1900	0.000211647	0	0	0
5			0.002	33490739.947	1.062
10			0.008	133962959.790	4.248
15			0.018	301416659.527	9.558
20			0.031	535851839.159	16.992
25			0.049	837268498.686	26.550
30			0.071	1205666638.108	38.231
35			0.096	1641046257.425	52.037
40			0.126	2143407356.637	67.967
45			0.159	2712749935.744	86.021
50			0.196	3349073994.745	106.198
55			0.238	4052379533.642	128.500
60			0.283	482266552.433	152.926
65			0.340	5805834437.914	184.102
70			0.403	6871218639.387	217.885
75			0.477	8131300699.445	257.842
80			0.567	9673516500.874	306.745
85			0.684	11661778475.330	369.793
90			0.848	14464076336.817	458.653
95			1.129	19254636172.760	610.561
100					

Kedalam an (m)	Sc akibat PWD (m)	sc n tahun kemudian (m)	rate of settleme nt (cm per tahun)
0	0	0.053	1.75
1	0.129	0.042	1.39
2	0.225	0.034	1.12
3	0.304	0.027	0.90
4	0.371	0.021	0.71
5	0.411	0.018	0.60
6	0.445	0.015	0.50
7	0.474	0.013	0.42
8	0.500	0.011	0.35
9	0.522	0.009	0.29
10	0.542	0.007	0.23
11	0.560	0.005	0.18
12	0.575	0.004	0.14
13	0.589	0.003	0.10
14	0.601	0.002	0.07
15	0.612	0.001	0.03
16	0.618	0.001	0.02
17	0.621	0.000	0.01
18	0.623	0.000	0.00
19	0.625	0.000	0.00

Tidak pakai PVD

Hasil geostudio							Perhitungan			
No	SF geostudi	MR (kN.m)	MD (kN.m)	titik pusat		R m	SF rencana	MR rencana	Δ MR (kN.m)	
1	1.08	518.9	482	13.6	3.3	5.3	1.25	602.5	83.6	
2	1.12	1272	1135.5	13.4	4.1	7.8	1.25	1419.375	147.375	
3	1.23	2441	1982.4	13.6	8.8	12.2	1.25	2478	37	
4	1.54	4332.9	2807	14.7	10.2	14.5	1.25	3508.75	-824.15	
5	1.09	830.2	758.8	13.7	3.6	6.5	1.25	948.5	118.3	

SF no 1

H (m)	Ti (m)	Jumlah rangkap	ΔMR (kNm)	ΔMR kum (kNm)	M tahan (kNm)	SF	jumlah
							lapis
0.00	3.3	1	57.2	57.2	576.10	1.195	1
0.30	3	1	52	109.2	628.10	1.303	2

SF no 2

H (m)	Ti (m)	Jumlah rangkap	ΔMR (kNm)	ΔMR kum (kNm)	M tahan (kNm)	SF	jumlah
							lapis
0.00	4.1	1	71.06667	71.06667	1343.07	1.183	1
0.30	3.8	1	65.86667	136.9333	1408.93	1.241	2

SF no 3

Tidak pakai

SF no 4

Tidak pakai

SF no 5

H (m)	Ti (m)	Jumlah rangkap	ΔMR (kNm)	ΔMR kum (kNm)	M tahan (kNm)	SF	jumlah
							lapis
0.00	3.6	1	62.4	62.4	892.60	1.176	1
0.30	3.3	1	57.2	119.6	949.80	1.252	2

Zona 2 h rencana = 2m, h initial 2,6m

akibat titik bawah												Kedalaman H lapangan	Tebal lapangan	z	e	c	g	(1)	(2)	Δσ	Δσ ₅	γ _{sat}	γ	γ [*] H	γ [*] H kum	σ0	σt	OCR	Nq(Dc,σt)	Δσ _{t=0}	Sc	LSc
(m)	(m)	(m)	(m)	(m)	(m)	(m)	(m)	(m)	(m)	(m)	(m)																					
0	-	1	1	0.5	2.30	0.90	0.80	0.71	87.64	2.90	4.60	1.60	0.60	0.60	0.60	0.60	0.60	0.60	0.60	0.60	0.60	0.60	0.60	0.60	0.60	0.60						
1	-	2	1	1.5	2.30	0.90	0.80	2.11	82.93	2.39	4.57	1.60	0.60	0.60	1.00	0.90	2.90	3.22222	0.60	5.578	0.119	0.122										
2	-	3	1	2.5	2.30	0.90	0.80	3.45	76.35	2.35	4.50	1.60	0.60	1.00	1.50	1.50	3.50	2.33333	0.60	6.170	0.090	0.142										
3	-	4	1	3.5	2.30	0.90	0.80	4.96	73.87	2.27	4.53	1.60	0.60	2.00	2.00	4.00	4.00	1.95238	0.60	6.753	0.078	0.20										
4	-	5	1	4.5	1.20	0.40	0.100	5.80	66.60	2.13	4.65	1.90	0.90	0.90	3.00	2.80	4.80	4.80	1.01054	0.60	7.476	0.06	0.466									
5	-	6	1	5.5	1.20	0.40	0.100	6.88	65.56	2.39	4.57	1.90	0.90	0.90	4.00	3.70	5.70	5.70	1.53333	0.60	8.337	0.039	0.505									
6	-	7	1	6.5	1.20	0.40	0.100	7.62	61.76	2.68	4.55	1.80	0.90	0.90	5.00	4.625	6.625	1.42032	0.60	9.160	0.034	0.539										
7	-	8	1	7.5	1.20	0.40	0.100	8.54	52.28	2.35	4.72	1.80	0.90	0.90	5.00	5.05	7.475	1.36539	0.60	9.947	0.030	0.570										
8	-	9	1	8.5	1.20	0.40	0.100	8.91	54.93	2.39	4.39	1.80	0.90	0.90	6.750	6.325	8.25	1.35636	0.60	10.724	0.027	0.596										
9	-	10	1	9.5	1.20	0.40	0.100	9.54	51.84	2.38	4.37	1.80	0.90	0.90	7.500	7.175	9.175	1.278946	0.60	11.492	0.024	0.620										
10	-	11	1	10.5	1.20	0.40	0.100	9.695	49.00	2.14	4.28	1.80	0.90	0.90	8.50	8.025	10.025	1.249221	0.60	12.253	0.021	0.641										
11	-	12	1	11.5	1.20	0.40	0.100	9.90	46.55	2.07	4.14	1.90	0.90	0.90	9.350	8.90	10.90	1.207279	0.60	13.084	0.019	0.660										
12	-	13	1	12.5	1.20	0.40	0.100	10.02	44.08	2.03	4.06	1.90	0.90	10.230	9.800	11.800	1.140482	0.60	13.836	0.017	0.677											
13	-	14	1	13.5	1.20	0.40	0.100	10.54	4.870	1.98	3.96	1.90	0.90	11.150	10.700	12.700	1.18636	0.60	14.656	0.015	0.692											
14	-	15	1	14.5	1.20	0.40	0.100	10.38	39.84	1.97	3.84	1.90	0.90	10.90	12.050	11.00	13.600	1.172914	0.60	15.434	0.014	0.706										
15	-	16	1	15.5	0.90	0.30	0.090	10.54	37.97	1.87	3.73	20.00	19.00	31.050	21.50	23.50	1.192307	0.60	25.283	0.007	0.713											
16	-	17	1	16.5	0.90	0.30	0.090	10.102	36.54	1.86	3.63	20.00	19.00	30.050	40.50	42.50	1.169222	0.60	44.183	0.004	0.717											
17	-	18	1	17.5	0.90	0.30	0.090	10.00	34.61	1.87	3.54	20.00	19.00	61.050	59.50	61.50	1.103385	0.60	63.084	0.003	0.719											
18	-	19	1	18.5	0.90	0.30	0.090	9.893	33.87	1.79	3.47	20.00	19.00	88.050	78.50	80.50	1.02561	0.60	81.987	0.002	0.721											

Kedalam an (m)	Sc akibat PWD (m)	sc n tahun kemudian (m)	rate of settlement (cm per tahun)
0	0	0.061	2.02
1	0.143	0.049	1.62
2	0.252	0.039	1.31
3	0.342	0.032	1.06
4	0.420	0.025	0.84
5	0.466	0.021	0.71
6	0.505	0.018	0.60
7	0.539	0.015	0.51
8	0.570	0.013	0.42
9	0.596	0.010	0.35
10	0.620	0.008	0.28
11	0.641	0.007	0.22
12	0.660	0.005	0.17
13	0.677	0.004	0.12
14	0.692	0.002	0.08
15	0.706	0.001	0.04
16	0.713	0.001	0.02
17	0.717	0.000	0.01
18	0.719	0.000	0.01
19	0.721	0.000	0.00

No	SF geostudi	Hasil geostudio					Perhitungan			
		MR (kN.m)	MD (kN.m)	titik pusat		R m	SF rencana	MR rencana	Δ MR (kN.m)	
		X	Y							
1	1	360.7	361.7	13.5	2.2	4.2	1.25	452.125	91.425	
2	1.01	1005	994.4	14.3	4.1	7.1	1.25	1243	238	
3	1.12	2283.5	2041.4	14.2	8.9	11.8	1.25	2551.75	268.25	
4	1.24	3902	3155	14.9	10.5	14.6	1.25	3943.75	41.75	
5	1	853.3	854.2	13.8	4	6.6	1.25	1067.75	214.45	

SF no 1

H (m)	Ti (m)	Jumlah rangkap	ΔMR (kNm)	ΔMR kum (kNm)	M tahan (kNm)	SF	jumlah	
							lapis	
0.00	2.2	1	38.13333	38.13333	398.83	1.103		1
0.30	1.9	1	32.93333	71.06667	431.77	1.194		2
0.60	1.6	1	27.73333	98.8	459.50	1.270		3

SF no 2

H	Ti	Jumlah	ΔMR	ΔMR kum	M tahan	SF	jumlah
(m)	(m)	rangkap	(kNm)	(kNm)	(kNm)		lapis
0.00	4.1	1	71.06667	71.06667	1076.07	1.082	1
0.30	3.8	1	65.86667	136.9333	1141.93	1.148	2
0.60	3.5	1	60.66667	197.6	1202.60	1.209	3
0.90	3.2	1	55.46667	253.0667	1258.07	1.265	4

SF no 3

H	Ti	Jumlah	ΔMR	ΔMR kum	M tahan	SF	jumlah
(m)	(m)	rangkap	(kNm)	(kNm)	(kNm)		lapis
0.00	8.9	1	154.2667	154.2667	2437.77	1.194	1
0.30	8.6	1	149.0667	303.3333	2586.83	1.267	2

SF no 4

H	Ti	Jumlah	ΔMR	ΔMR kum	M tahan	SF	jumlah
(m)	(m)	rangkap	(kNm)	(kNm)	(kNm)		lapis
0.00	10.5	1	182	182	4084.00	1.294	1
0.30	10.2	1	176.8	358.8	4260.80	1.350	2

SF no 5

H	Ti	Jumlah	ΔMR	ΔMR kum	M tahan	SF	jumlah
(m)	(m)	rangkap	(kNm)	(kNm)	(kNm)		lapis
0.00	4	1	69.33333	69.33333	922.63	1.080	1
0.30	3.7	1	64.13333	133.4667	986.77	1.155	2
0.60	3.4	1	58.93333	192.4	1045.70	1.224	3
0.90	3.1	1	53.73333	246.1333	1099.43	1.287	4

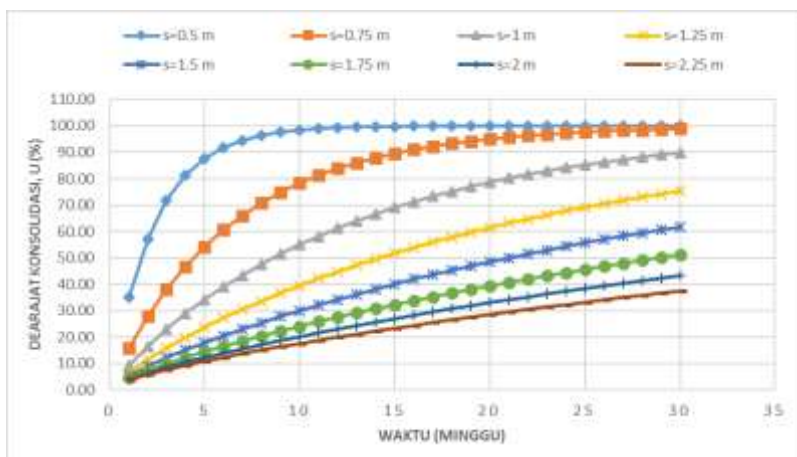
Zona 2 h rencana = 3m , h initial = 3,9m

Ketinggian H (m)	Tebal lapangan (m)	Analisis numerik																						
		Z		ε		Cc		Cs		a1	a2	Δσ	Δσ	γsat	γ'	γ*H	γ*Hcum	d0	σt	OGR	NoGCSoil	Δσn=0	Sx	ΣSx
		+	*	m2	m3	m3	m3	m3	m2	m2	m2	m2	m2	m2	m2	m2	m2	m2	m2	m2	(m)	(m)		
0	-	1	1	0.05	2.380	0.070	0.180	0.977	8.754	3.510	7.020	1.600	0.600	0.600	0.300	2.300	15.66667	0CSoil	7.320	0.191	0.191			
1	-	2	1	0.15	2.380	0.070	0.180	2.756	82.933	3.509	70.17	1.600	0.600	0.600	1.200	0.900	2.000	0.152	0.152	0.244				
2	-	3	1	0.25	2.380	0.070	0.180	4.513	78.326	3.504	70.08	1.600	0.600	0.600	1.800	1.500	3.300	13.33333	0CSoil	8.508	0.130	0.441		
3	-	4	1	0.35	2.380	0.070	0.180	6.158	73.867	3.494	69.97	1.600	0.600	0.600	2.400	2.100	4.100	15.92581	0CSoil	9.087	0.115	0.389		
4	-	5	1	0.45	1.250	0.030	0.100	7.658	68.000	3.476	69.93	1.900	0.900	0.900	3.300	2.850	4.850	17.0754	0CSoil	9.803	0.069	0.057		
5	-	6	1	0.55	1.250	0.030	0.100	8.94	65.556	3.452	69.93	1.900	0.900	0.900	4.200	3.750	5.750	15.93333	0CSoil	10.653	0.059	0.017		
6	-	7	1	0.65	1.300	0.050	0.100	10.55	61.756	3.419	68.38	1.850	0.850	0.850	5.150	4.625	6.625	14.24232	0CSoil	11.463	0.053	0.070		
7	-	8	1	0.75	1.300	0.050	0.100	11.41	58.028	3.379	67.57	1.850	0.850	0.850	5.900	5.475	7.475	13.35297	0CSoil	12.232	0.048	0.038		
8	-	9	1	0.85	1.300	0.050	0.100	11.938	54.913	3.331	66.63	1.850	0.850	0.850	6.750	6.325	8.325	13.62026	0CSoil	12.988	0.043	0.061		
9	-	10	1	0.95	1.300	0.050	0.100	12.67	51.964	3.278	65.56	1.850	0.850	0.850	7.600	7.175	9.175	12.79746	0CSoil	13.731	0.039	0.000		
10	-	11	1	1.05	1.300	0.050	0.100	13.33	49.050	3.220	64.49	1.850	0.850	0.850	8.450	8.025	10.025	12.49221	0CSoil	14.464	0.035	0.035		
11	-	12	1	1.15	1.250	0.030	0.100	13.520	46.555	3.157	63.14	1.900	0.900	0.900	9.350	8.900	10.900	12.24719	0CSoil	15.214	0.032	0.067		
12	-	13	1	1.25	1.250	0.030	0.100	13.77	44.683	3.081	61.83	1.900	0.900	0.900	10.250	9.800	11.800	12.04082	0CSoil	15.983	0.029	0.095		
13	-	14	1	1.35	1.250	0.030	0.100	13.98	41.930	3.024	60.47	1.900	0.900	0.900	11.150	10.100	12.100	11.89956	0CSoil	16.747	0.026	0.102		
14	-	15	1	1.45	1.250	0.030	0.100	14.077	39.944	2.955	59.9	1.900	0.900	0.900	12.050	11.600	13.600	11.17244	0CSoil	17.509	0.024	0.106		
15	-	16	1	1.55	0.930	0.030	0.100	14.148	31.977	2.885	57.70	20.000	19.000	19.000	31.050	21.500	23.500	19.02807	0CSoil	21.320	0.013	0.159		
16	-	17	1	1.65	0.930	0.040	0.100	14.082	36.754	2.815	56.30	20.000	19.000	19.000	30.050	40.500	42.500	19.04922	0CSoil	46.180	0.007	0.166		
17	-	18	1	1.75	0.930	0.040	0.100	14.011	34.663	2.746	54.92	20.000	19.000	19.000	30.050	59.500	61.500	19.03355	0CSoil	65.042	0.005	0.171		
18	-	19	1	1.85	0.930	0.040	0.100	13.901	33.387	2.677	53.55	20.000	19.000	19.000	30.050	78.500	80.500	10.02546	0CSoil	83.905	0.004	0.105		

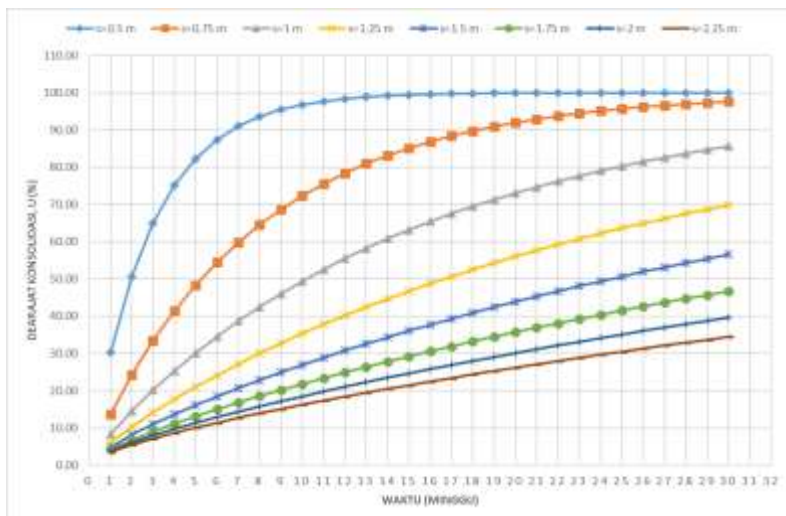
Kedalam an (m)	Sc akibat PVD (m)	sc n tahun kemudian (m)	rate of settlement (cm per tahun)
0	0	0.142	4.73
1	0.191	0.117	3.89
2	0.344	0.097	3.22
3	0.474	0.079	2.65
4	0.589	0.064	2.14
5	0.657	0.055	1.84
6	0.717	0.047	1.58
7	0.770	0.040	1.34
8	0.818	0.034	1.13
9	0.861	0.028	0.94
10	0.900	0.023	0.77
11	0.935	0.018	0.62
12	0.967	0.014	0.48
13	0.995	0.010	0.35
14	1.022	0.007	0.23
15	1.046	0.004	0.13
16	1.059	0.002	0.07
17	1.066	0.001	0.04
18	1.071	0.000	0.02
19	1.075	0.000	0.00

Kedalam an (m)	Tebal Lapisan	Cv (cm ² /det)	\sqrt{Cv}	H/ \sqrt{Cv}	Cv gab (cm ² /det)	Cv gab (cm ² /tahun)
1	1	0.000200	0.014142	70.71068		
2	1	0.000200	0.014142	70.71068		
3	1	0.000200	0.014142	70.71068		
4	1	0.000200	0.014142	70.71068		
5	1	0.000700	0.026458	37.79645		

0.00024317 7668.55421



Pola segitiga



Pola segiempat

$\Sigma \sigma_p'$ kg/cm ²	Kedalaman			PI %	Cu lama kg/cm ²	ek tanah asli dengan rumus (Ardana & Mochtar)		Cu tanah asli pakai (Ardana & Mod) kg/cm ²	Cu baru kg/cm ²				
	(m)												
	0	-	1			X	Y						
0.732	0	-	1	40.000	0.050	0.077	0.077	0.166					
0.792	1	-	2	40.000	0.050	0.085	0.085	0.173					
0.851	2	-	3	40.000	0.050	0.093	0.093	0.180					
0.909	3	-	4	40.000	0.050	0.100	0.100	0.188					
0.980	4	-	5	40.000	0.200	0.109	0.200	0.197					

No	SF geostudi	Hasil geostudio					Perhitungan		
		MR (kN.m)	MD (kN.m)	titik pusat		R m	SF rencana	MR rencana	Δ MR (kN.m)
		X	Y	m					
1	1.2	1723.5	1437	15.7	3.4	7.1	1.25	1796.25	72.75
2	1.18	3119.1	2652.7	15.5	6	10	1.25	3315.875	196.775
3	1.26	3507.2	2788	15.8	6.1	10.2	1.25	3485	-22.2
4	1.33	6797.9	5102.6	16.4	12.5	16.4	1.25	6378.25	-419.65
5	1.18	3019.8	2558.2	15.6	5.9	9.8	1.25	3197.75	177.95

SF no 1

H (m)	Ti (m)	Jumlah rangkap	Δ MR (kNm)	Δ MR kum (kNm)	M tahan (kNm)	SF	jumlah	
							lapis	
							1	
0.00	4.06	1	70.37333	70.37333	1793.87	1.248		1
0.30	3.76	1	65.17333	135.5467	1859.05	1.294		2

SF no 2

H (m)	Ti (m)	Jumlah rangkap	Δ MR (kNm)	Δ MR kum (kNm)	M tahan (kNm)	SF	jumlah	
							lapis	
							1	
0.00	6.66	1	115.44	115.44	3234.54	1.219		1
0.30	6.36	1	110.24	225.68	3344.78	1.261		2

SF no 3

H (m)	Ti (m)	Jumlah rangkap	Δ MR (kNm)	Δ MR kum (kNm)	M tahan (kNm)	SF	jumlah	
							lapis	
							1	
0.00	6.76	1	117.1733	117.1733	3624.37	1.300		1
0.30	6.46	1	111.9733	229.1467	3736.35	1.340		2

SF no 4

H	Ti	Jumlah	ΔMR	ΔMR kum	M tahan	SF	jumlah
(m)	(m)	rangkap	(kNm)	(kNm)	(kNm)		lapis
0.00	13.16	1	228.1067	228.1067	7026.01	1.377	1
0.30	12.86	1	222.9067	451.0133	7248.91	1.421	2

SF no 5

H	Ti	Jumlah	ΔMR	ΔMR kum	M tahan	SF	jumlah
(m)	(m)	rangkap	(kNm)	(kNm)	(kNm)		lapis
0.00	6.56	1	113.7067	113.7067	3133.51	1.225	1
0.30	6.26	1	108.5067	222.2133	3242.01	1.267	2

Perhitungan Zona 3

$q=1,8 \text{ t/m}^2$

Kedalaman H (m)	Tebal Berasa L (m)	ϵ	C	ζ	akibat timbulan																	
					0,1	0,2	0,5	1,0	γ_{sat}	γ'	γ^{*H}	$\gamma^{*H,\text{rum}}$	σ	σ_C	WCOCSu	$\Delta\sigma_0$	ξ	ΣS				
(m)	(m)				*	*	m ²	m ³	m ³	m ³	m ²	m ²	m ²	m ²	m ²	(m)	(m)					
0	0	0	0	0	0	0	0	0	0,90	0,90	1,00	1,00	0,80	0,80	0,80	0,80	0,00	0,00				
1	-	2	1	15	2,380	0,970	0,881	0,335	87,634	0,90	1,00	1,00	0,80	0,80	0,80	0,80	1,56667	0,501	2,00	0,045	0,045	
2	-	3	1	25	2,380	0,970	0,880	0,94	82,933	0,89	1,79	1,60	0,80	0,80	1,200	0,80	2,300	3,22222	0,501	1,69	0,025	0,070
3	-	4	1	35	2,380	0,970	0,880	2,92	73,867	0,89	1,76	1,60	0,80	0,80	1,800	1,50	3,300	2,33333	0,501	3,25	0,018	0,089
4	-	5	1	45	1,250	0,930	0,100	2,700	68,600	0,86	1,73	1,90	0,90	0,90	3,300	2,60	4,800	1,07074	0,501	4,63	0,009	0,112
5	-	6	1	55	1,250	0,930	0,100	3,15	65,556	0,87	1,73	1,90	0,90	0,90	4,200	3,750	5,750	1,53333	0,501	5,93	0,007	0,120
6	-	7	1	65	0,950	0,930	0,091	3,495	61,756	0,864	1,78	2,00	1,00	1,00	5,200	4,700	6,700	1,47552	0,501	6,28	0,006	0,126
7	-	8	1	75	0,950	0,930	0,090	3,783	58,208	0,849	1,68	2,00	1,00	1,00	6,200	5,700	7,700	1,35877	0,501	7,38	0,005	0,131
8	-	9	1	85	0,950	0,930	0,091	4,004	54,913	0,831	1,68	2,00	1,00	1,00	7,200	6,700	8,700	1,29867	0,501	8,83	0,004	0,136
9	-	10	1	95	0,950	0,930	0,090	4,166	51,864	0,832	1,65	2,00	1,00	1,00	8,200	7,700	9,700	1,15974	0,501	9,25	0,004	0,139
10	-	11	1	105	0,950	0,930	0,091	4,276	49,050	0,79	1,58	2,00	1,00	1,00	9,200	8,700	10,200	1,02985	0,501	10,39	0,003	0,143
11	-	12	1	115	0,950	0,930	0,090	4,343	46,456	0,771	1,54	2,00	1,00	1,00	10,200	9,700	11,700	1,06666	0,501	11,41	0,003	0,146
12	-	13	1	125	0,950	0,930	0,091	4,374	40,068	0,749	1,48	2,00	1,00	1,00	11,200	10,700	12,700	1,08915	0,501	12,59	0,003	0,148
13	-	14	1	135	0,950	0,930	0,090	4,376	41,870	0,727	1,49	2,00	1,00	1,00	12,200	11,700	13,700	1,11094	0,501	13,54	0,002	0,151

q=3,6t/m²

संकेतानुसार																							
विद्युतावधि		T ₀	L	e	C _c	C _s	d ₁	d ₂	d ₃	2d ₅	y _{ext}	y	y _H	y _{*H}	k _{um}	d ₀	σ _c	OCR	N ₀ CCSI	Δ _{ext}	Σ _c	Σ _{SC}	
(m)	(m)	(m)	(m)	(m)	(m)	(m)	(m)	(m)	(m)	(m)	(m)	(m)	(m)	(m)	(m)	(m)	(m)	(m)	(m)	(m)	(m)	(m)	
0	-	1	1	0.5	2.380	0.270	0.180	0.357	0.654	1.800	3.600	1.600	0.600	0.600	0.600	0.300	2.300	1.566667	0.0301	3.900	0.13	0.13	
1	-	2	1	1.5	2.380	0.270	0.180	1.744	0.233	1.799	3.598	1.600	0.600	0.600	0.600	1.200	0.900	2.900	3.222222	0.0301	4.498	0.02	0.35
2	-	3	1	2.5	2.380	0.270	0.180	2.847	7.826	1.795	3.591	1.600	0.600	0.600	1.800	1.500	3.300	2.333333	0.0301	5.951	0.06	0.26	
3	-	4	1	3.5	2.380	0.270	0.180	3.888	7.367	1.789	3.577	1.600	0.600	0.600	2.400	2.000	4.100	1.92380	0.0301	5.577	0.05	0.37	
4	-	5	1	4.5	1.250	0.391	0.100	4.794	6.610	1.777	3.554	1.900	0.900	0.900	3.301	2.850	4.851	1.70754	0.0301	6.404	0.03	0.30	
5	-	6	1	5.5	1.250	0.391	0.100	5.583	6.555	1.761	3.521	1.900	0.900	0.900	4.200	3.750	5.751	1.533333	0.0301	7.271	0.03	0.38	
6	-	7	1	6.5	0.950	0.391	0.100	6.259	6.176	1.739	3.478	2.000	1.000	1.000	5.200	4.700	6.700	1.42552	0.0301	8.178	0.03	0.41	
7	-	8	1	7.5	0.950	0.391	0.100	6.814	5.828	1.713	3.425	2.000	1.000	1.000	6.200	5.700	7.700	1.35007	0.0301	9.125	0.09	0.40	
8	-	9	1	8.5	0.950	0.391	0.100	7.255	5.493	1.682	3.355	2.000	1.000	1.000	7.200	6.700	8.700	1.28807	0.0301	10.065	0.07	0.47	
9	-	10	1	9.5	0.950	0.391	0.100	7.593	5.184	1.659	3.297	2.000	1.000	1.000	8.201	7.700	9.700	1.25974	0.0301	11.997	0.04	0.45	
10	-	11	1	10.5	0.950	0.391	0.100	7.839	4.950	1.632	3.224	2.000	1.000	1.000	9.200	8.700	10.700	1.22985	0.0301	11.974	0.03	0.46	
11	-	12	1	11.5	0.950	0.391	0.100	8.06	4.655	1.574	3.147	2.000	1.000	1.000	10.200	9.700	11.700	1.19636	0.0301	12.847	0.01	0.45	
12	-	13	1	12.5	0.950	0.391	0.100	8.106	4.154	3.088	2.000	1.000	1.000	1.000	11.200	10.700	12.700	1.16905	0.0301	13.738	0.00	0.48	
13	-	14	1	13.5	0.950	0.391	0.100	8.150	4.180	1.493	2.987	2.000	1.000	1.000	12.200	11.700	13.700	1.17094	0.0301	14.587	0.00	0.49	

q=5,4 t/m²

கால்களைப் படித்தும் வருமானம்															
கால்களைப் படித்தும் வருமானம்		T _{0.5}	T ₁	T ₂	T ₃	T ₄	T ₅	T ₆	T ₇	T ₈	T ₉	T ₁₀	T ₁₁	T ₁₂	T ₁₃
(ம)	(ம)	(ம)	(ம)	(ம)	(ம)	(ம)	(ம)	(ம)	(ம)	(ம)	(ம)	(ம)	(ம)	(ம)	(ம)
0	-	0	0	0	0	0	0	0	0	0	0	0	0	0	0
0	-	1	1	0.5	2.380	0.970	0.380	0.174	87.64	2.700	5.400	16.00	0.600	0.500	0.300
1	-	2	1	1.5	2.380	0.970	0.380	0.174	2.39	0.933	2.69	5.38	1.600	0.600	0.300
2	-	3	1	2.5	2.380	0.970	0.380	0.174	3.80	78.326	2.695	5.39	1.600	0.600	0.300
3	-	4	1	3.5	2.380	0.970	0.380	0.174	5.189	73.867	2.686	5.371	1.600	0.600	0.300
4	-	5	1	4.5	2.380	0.970	0.380	0.174	6.488	69.600	2.671	5.34	1.600	0.600	0.300
5	-	6	1	5.5	2.380	0.970	0.380	0.174	7.542	65.556	2.649	5.28	1.600	0.600	0.300
6	-	7	1	6.5	0.950	0.350	0.300	0.340	8.756	2.621	5.242	2.000	1.000	5.200	4.700
7	-	8	1	7.5	0.950	0.350	0.300	0.340	9.235	38.208	2.597	5.173	2.000	1.000	6.200
8	-	9	1	8.5	0.950	0.350	0.300	0.340	9.932	54.913	2.546	5.092	2.000	1.000	7.200
9	-	10	1	9.5	0.950	0.350	0.300	0.340	10.443	51.864	2.501	5.02	2.000	1.000	8.200
10	-	11	1	10.5	0.950	0.350	0.300	0.340	10.832	49.050	2.452	4.94	2.000	1.000	9.200
11	-	12	1	11.5	0.950	0.350	0.300	0.340	11.13	46.455	2.39	4.79	2.000	1.000	10.200
12	-	13	1	12.5	0.950	0.350	0.300	0.340	44.668	2.345	4.69	2.000	1.000	11.200	10.700
13	-	14	1	13.5	0.950	0.350	0.300	0.340	11.43	41.870	2.29	4.58	2.000	1.000	12.200

$q=7,2 \text{ t/m}^2$

Kedalaman H [m]		Skemata inti lumen																				
		Tetapan	z	e	C	G	w1	w2	Δw	γsat	γ	γ*H	γ*Hcum	σV	OCR	NcCcCc	Δσv	Σ				
(m)	(m)	(m)					*	*	t/m ²	t/m ³	t/m ³	t/m ²	(m)	(m)								
0	-	1	1	0,5	2,80	0,90	0,100	0,044	87,54	3,600	7,200	1,600	0,600	0,600	0,300	2,30	17,66677	OCSoil	7,300	0,94	0,94	
1	-	2	1	1,5	2,80	0,90	0,100	0,044	87,54	3,600	7,200	1,600	0,600	0,600	0,300	2,90	3,22222	OCSoil	8,97	0,55	0,49	
2	-	3	1	2,5	2,80	0,90	0,100	4,584	78,326	3,599	7,397	1,600	0,600	0,600	1,800	1,50	3,33333	OCSoil	8,87	0,33	0,82	
3	-	4	1	3,5	2,80	0,90	0,100	6,255	73,667	3,583	7,157	1,600	0,600	0,600	2,400	2,10	4,100	15,7381	OCSoil	9,37	0,17	0,99
4	-	5	1	4,5	1,50	0,40	0,100	7,781	69,600	3,566	7,322	1,900	0,900	0,900	3,300	2,80	4,800	17,0754	OCSoil	9,92	0,070	0,70
5	-	6	1	5,5	1,50	0,40	0,100	9,44	65,556	3,541	7,082	1,900	0,900	0,900	4,200	3,750	5,750	15,33333	OCSoil	10,832	0,061	0,73
6	-	7	1	6,5	1,50	0,30	0,090	10,724	67,756	3,518	7,016	2,000	1,000	1,000	5,200	4,700	6,700	14,5332	OCSoil	11,75	0,051	0,78
7	-	8	1	7,5	0,90	0,30	0,090	11,330	58,208	3,467	6,934	2,000	1,000	1,000	6,200	5,700	7,700	13,9807	OCSoil	12,64	0,045	0,66
8	-	9	1	8,5	0,90	0,30	0,090	12,064	54,933	3,419	6,838	2,000	1,000	1,000	7,200	6,700	8,700	12,9507	OCSoil	13,58	0,040	0,65
9	-	10	1	9,5	0,90	0,30	0,090	12,839	51,864	3,355	6,730	2,000	1,000	1,000	8,200	7,700	9,700	12,974	OCSoil	14,430	0,036	0,60
10	-	11	1	10,5	0,90	0,30	0,090	13,638	49,050	3,316	6,611	2,000	1,000	1,000	9,200	8,700	10,700	12,9885	OCSoil	15,311	0,032	0,53
11	-	12	1	11,5	0,90	0,30	0,090	13,438	46,456	3,242	6,484	2,000	1,000	1,000	10,200	9,700	11,700	12,9836	OCSoil	16,34	0,029	0,42
12	-	13	1	12,5	0,90	0,30	0,090	14,054	44,068	3,175	6,350	2,000	1,000	1,000	11,200	10,700	12,700	13,8936	OCSoil	17,50	0,026	0,39
13	-	14	1	13,5	0,90	0,30	0,090	14,643	41,870	3,106	6,212	2,000	1,000	1,000	12,200	11,700	13,700	11,794	OCSoil	17,92	0,024	1,03

$$q=9t/m^2$$

Geometri H		Tebal	I	e	C	G	a1	a2	Ar	25	y _{ek}	y	y [*] H	y [*] Hukm	d0	dc	OCR	Nc/OCn	Wc/0	S	Sx	
(m)		(m)	(m)				*	*	t/m ²	t/m ³	t/m ³	t/m ³	t/m ²	t/m ²	t/m ²	t/m ²	t/m ²	t/m ²	t/m ²	t/m ²		
0	-	1	1	0.5	2.80	0.970	0.380	1.070	8.754	4.500	9.000	1.600	0.600	0.600	0.600	0.300	2.300	7.66667	0.501	9.300	0.221	0.221
1	-	2	1	1.5	2.80	0.970	0.380	3.184	82.933	4.988	8.997	1.600	0.600	0.600	1.200	0.900	2.300	32.22222	0.501	9.897	0.380	0.401
2	-	3	1	2.5	2.80	0.970	0.380	5.220	78.256	4.943	8.986	1.600	0.600	0.600	1.800	1.500	3.300	23.33333	0.501	10.466	0.156	0.538
3	-	4	1	3.5	2.80	0.970	0.380	7.134	73.567	4.882	8.963	1.600	0.600	0.600	2.400	2.100	4.000	19.9381	0.501	11.063	0.139	0.597
4	-	5	1	4.5	2.80	0.970	0.380	8.891	69.800	4.842	8.935	1.600	0.600	0.600	3.000	2.850	4.500	17.0754	0.501	11.775	0.084	0.781
5	-	6	1	5.5	2.80	0.970	0.380	10.469	65.355	4.755	8.889	1.900	0.900	0.900	4.000	3.750	5.750	15.33333	0.501	12.659	0.073	0.854
6	-	7	1	6.5	0.90	0.150	0.050	11.855	61.755	4.398	8.795	2.000	1.000	1.000	5.000	4.700	6.700	14.2552	0.501	13.495	0.062	0.916
7	-	8	1	7.5	0.90	0.150	0.050	13.047	58.208	4.532	8.704	2.000	1.000	1.000	6.000	5.700	7.700	13.3807	0.501	14.444	0.055	0.971
8	-	9	1	8.5	0.90	0.150	0.050	14.050	54.935	4.293	8.596	2.000	1.000	1.000	7.000	6.700	8.700	12.9807	0.501	15.326	0.049	1.020
9	-	10	1	9.5	0.90	0.150	0.050	14.875	51.864	4.237	8.474	2.000	1.000	1.000	8.200	7.700	9.700	13.974	0.501	16.174	0.044	1.064
10	-	11	1	10.5	0.90	0.150	0.050	15.537	49.550	4.169	8.339	2.000	1.000	1.000	9.200	8.700	10.700	12.9805	0.501	17.039	0.040	1.105
11	-	12	1	11.5	0.90	0.150	0.050	16.053	46.555	4.057	8.193	2.000	1.000	1.000	10.200	9.700	11.700	12.6635	0.501	17.893	0.037	1.142
12	-	13	1	12.5	0.90	0.150	0.050	16.459	44.188	4.020	8.040	2.000	1.000	1.000	11.200	10.700	12.700	11.98915	0.501	18.740	0.034	1.175
13	-	14	1	13.5	0.90	0.150	0.050	16.711	41.200	3.940	7.880	2.000	1.000	1.000	12.200	11.700	13.700	11.7094	0.501	19.580	0.031	1.206

q=10,8t/m²

விரைவுப்படிகள்																						
கெட்டமாறி		T _{eta}	I	e	C	G	0.1	0.2	0.5	1.0	y _{stat}	y'	y [*] H	y [*] H _{cut}	d0	dr	O _{CR}	MC _{CCall}	நோடு	Sc	Σ _{Sc}	
(m)		(m)	(m)	(m)	(m)	(m)	(m)	(m)	(m)	(m)	(m)	(m)	(m)	(m)	(m)	(m)	(m)	(m)	(m)	(m)	(m)	
0	-	1	1	0.5	2380	0.970	0.180	1.178	8754	5.407	10300	1600	6000	1600	6000	1300	2300	766667	0.561	1100	0.43	0.43
1	-	2	1	1.5	2380	0.970	0.180	3505	8233	5.389	10797	1600	6000	1600	6000	1200	1900	230222	0.561	1187	0.201	0.44
2	-	3	1	2.5	2380	0.970	0.180	5751	7835	5.393	10785	1600	6000	1600	6000	1300	1500	333333	0.561	12285	0.176	0.620
3	-	4	1	3.5	2380	0.970	0.180	7380	7387	5.380	10761	1600	6000	6000	2400	2100	4300	195228	0.561	12861	0.158	0.778
4	-	5	1	4.5	1250	0.930	0.100	9324	69300	5.360	10779	1900	9000	9000	3300	2850	4580	170754	0.561	13369	0.095	0.874
5	-	6	1	5.5	1250	0.930	0.100	11588	65356	5.330	10760	1900	9000	9000	4200	3750	5750	1533333	0.561	14401	0.085	0.958
6	-	7	1	6.5	0.950	0.930	0.090	13450	61356	5.290	10750	2000	10000	5200	4700	6300	1495532	0.561	15280	0.071	1.030	
7	-	8	1	7.5	0.950	0.930	0.090	14556	58308	5240	10481	2000	10000	6200	5700	7300	133677	0.561	16381	0.064	1.094	
8	-	9	1	8.5	0.950	0.930	0.090	15660	54933	5322	10364	2000	10000	7200	6700	8300	128607	0.561	17064	0.058	1.151	
9	-	10	1	9.5	0.950	0.930	0.090	16522	51364	5315	10230	2000	10000	8200	7700	9300	12594	0.561	17393	0.053	1.204	
10	-	11	1	10.5	0.950	0.930	0.090	17448	49150	5349	10181	2000	10000	9200	8700	10700	122985	0.561	18781	0.048	1.252	
11	-	12	1	11.5	0.950	0.930	0.090	18394	46565	4860	9291	2000	10000	10200	9300	11700	120656	0.561	19621	0.044	1.296	
12	-	13	1	12.5	0.950	0.930	0.090	18517	44088	4875	9751	2000	10000	11200	10700	12700	118696	0.561	20451	0.041	1.337	
13	-	14	1	13.5	0.950	0.930	0.090	18874	41370	4787	9573	2000	10000	12200	11700	13700	11704	0.561	21273	0.037	1.374	

q=12,6t/m²

Kedalaman H (m)	Total lepasan	z	e	C	Cs	a1	a2	Δσ	Δε	γ _{sat}	γ'	γ ^{*H}	γ ^{*Hicum}	σ0	σ _c	OCR	N/C/C soll	aktivitas tanah				
																		σ _{c0}	ΣΣ			
0	-	1	1	0,5	2,80	0,90	0,180	1,69	87,54	6,300	12,600	1,600	0,600	0,300	0,300	2,300	7,666667	0,501	12,900	0,562	0,562	
1	-	2	1	1,5	2,80	0,90	0,180	3,77	82,93	6,28	12,597	1,600	0,600	0,300	1,200	0,900	2,900	3,222222	0,501	13,497	0,219	0,881
2	-	3	1	2,5	2,80	0,90	0,180	6,02	78,36	6,292	12,594	1,600	0,600	0,300	1,800	1,500	3,500	2,333333	0,501	14,084	0,193	0,714
3	-	4	1	3,5	2,80	0,90	0,180	8,95	73,87	6,279	12,559	1,600	0,600	0,300	2,400	2,100	4,100	1,953331	0,501	14,659	0,174	0,948
4	-	5	1	4,5	1,50	0,90	0,100	10,58	69,600	6,258	12,555	1,900	0,900	0,300	3,300	2,850	4,850	1,70754	0,501	15,355	0,106	0,354
5	-	6	1	5,5	1,20	0,90	0,100	12,94	65,556	6,226	12,552	1,900	0,900	0,300	4,200	3,750	5,750	1,533333	0,501	16,202	0,094	1,028
6	-	7	1	6,5	0,90	0,90	0,090	14,50	61,756	6,194	12,583	2,000	1,000	5,000	4,700	6,700	14,6532	0,501	17,688	0,080	1,123	
7	-	8	1	7,5	0,90	0,90	0,090	15,70	58,208	6,134	12,582	2,000	1,000	6,200	5,700	7,700	13,9877	0,501	17,952	0,072	1,000	
8	-	9	1	8,5	0,90	0,90	0,090	17,98	54,93	6,069	12,537	2,000	1,000	7,200	6,700	8,700	12,98507	0,501	18,837	0,065	1,366	
9	-	10	1	9,5	0,90	0,90	0,090	18,36	51,864	5,997	11,994	2,000	1,000	8,200	7,700	9,700	12,9974	0,501	19,594	0,060	1,326	
10	-	11	1	10,5	0,90	0,90	0,090	19,35	49,050	5,918	11,835	2,000	1,000	9,200	8,700	10,700	12,99885	0,501	20,535	0,055	1,381	
11	-	12	1	11,5	0,90	0,90	0,090	19,75	46,456	5,831	11,662	2,000	1,000	10,200	9,700	11,700	12,9836	0,501	21,562	0,051	1,431	
12	-	13	1	12,5	0,90	0,90	0,090	20,94	44,068	5,739	11,473	2,000	1,000	11,200	10,700	12,700	13,88946	0,501	22,178	0,047	1,478	
13	-	14	1	13,5	0,90	0,90	0,090	21,700	41,870	5,643	11,285	2,000	1,000	12,200	11,700	13,700	11,1794	0,501	22,985	0,043	1,522	

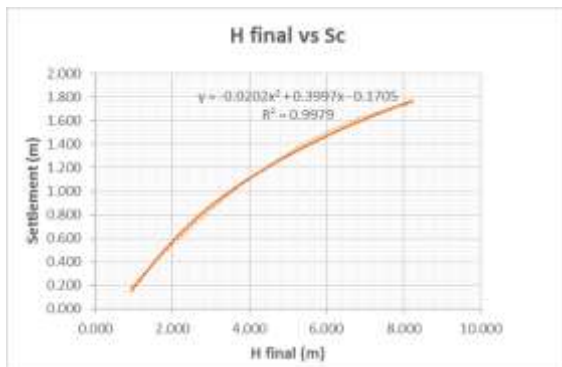
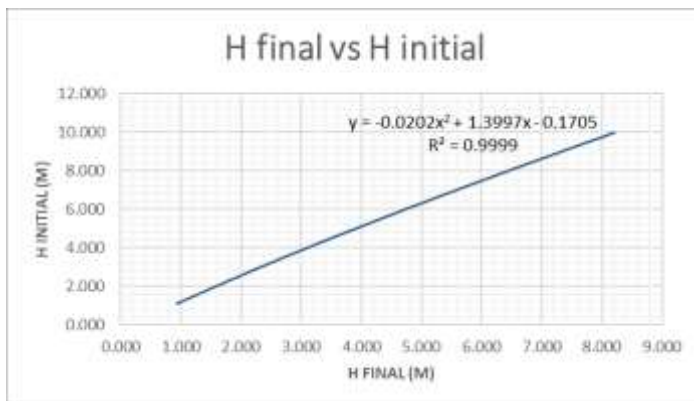
$q=14,4 \text{ t/m}^2$

Kebijakan H	Petal	L	e	G	G	akibat timbunan																
						a1	a2	a5	2a5	γ_{sat}	γ'	γ'^*_H	γ'^*_H umur	σ_0	σ'_c	OCR	M _{OCR, soil}	L _{OCR}	S	ΣS		
(m)	(m)	(m)	(m)	(m)	(m)	(m)	(m)	(m)	(m)	(m)	(m)	(m)	(m)	(m)	(m)	(m)	(m)	(m)	(m)			
0	0	0	0	0	0	0	0	0	0	0	0	0	0	0	0	0	0	0	0			
0	-	1	1	0.5	2.300	0.90	0.180	1.69	87.654	6.301	12.601	16.0	0.600	0.601	0.601	0.301	2.30	7.66667	0.5Soil	12.901	0.252	
1	-	2	1	1.5	2.300	0.90	0.180	3.77	82.933	6.298	12.597	16.0	0.600	0.600	0.600	1.200	0.90	2.90	3.22222	0.5Soil	13.497	0.219
2	-	3	1	2.5	2.300	0.90	0.180	6.002	78.356	6.292	12.594	16.0	0.600	0.600	0.600	1.800	1.50	3.50	2.33333	0.5Soil	14.084	0.193
3	-	4	1	3.5	2.300	0.90	0.180	8.95	73.867	6.279	12.593	16.0	0.600	0.600	0.600	2.400	2.00	4.100	1.95331	0.5Soil	14.659	0.174
4	-	5	1	4.5	1.250	0.450	0.100	10.03	68.600	6.258	12.515	19.0	0.900	0.901	0.901	3.300	2.850	4.850	1.70754	0.5Soil	15.365	0.106
5	-	6	1	5.5	1.250	0.450	0.100	12.54	65.556	6.226	12.542	19.0	0.900	0.900	0.900	4.200	3.750	5.750	1.53333	0.5Soil	16.202	0.094
6	-	7	1	6.5	0.950	0.350	0.090	14.001	61.756	6.184	12.538	20.0	1.000	1.000	1.000	5.200	4.700	6.700	1.42532	0.5Soil	17.088	0.080
7	-	8	1	7.5	0.950	0.350	0.090	15.761	58.208	6.131	12.562	20.0	1.000	1.001	1.001	6.200	5.700	7.700	1.35887	0.5Soil	17.982	0.072
8	-	9	1	8.5	0.950	0.350	0.090	17.493	54.913	6.069	12.537	20.0	1.000	1.000	1.000	7.200	6.700	8.700	1.29537	0.5Soil	18.837	0.065
9	-	10	1	9.5	0.950	0.350	0.090	18.356	51.864	5.997	11.94	20.0	1.000	1.000	1.000	8.200	7.700	9.700	1.25974	0.5Soil	19.84	0.060
10	-	11	1	10.5	0.950	0.350	0.090	19.135	49.050	5.918	11.835	20.0	1.000	1.001	1.001	9.200	8.700	10.700	1.22985	0.5Soil	20.535	0.055
11	-	12	1	11.5	0.950	0.350	0.090	19.915	46.455	5.831	11.662	20.0	1.000	1.001	1.001	10.200	9.700	11.700	1.20536	0.5Soil	21.562	0.051
12	-	13	1	12.5	0.950	0.350	0.090	20.704	44.068	5.739	11.478	20.0	1.000	1.000	1.000	11.200	10.700	12.700	1.18896	0.5Soil	22.178	0.047
13	-	14	1	13.5	0.950	0.350	0.090	21.500	41.870	5.643	11.385	20.0	1.000	1.000	1.000	12.200	11.700	13.700	1.17794	0.5Soil	22.985	0.043
14	-	15	1	14.5	0.950	0.350	0.090	22.300	40.870	5.547	11.285	20.0	1.000	1.000	1.000	13.200	12.700	14.700	1.16794	0.5Soil	23.895	0.040

$q=16, 2t/m^2$

ผลลัพธ์การคำนวณ																								
กำหนดการคำนวณ		ผลลัพธ์คำนวณ																						
Ketimbangan H apon	Tabel apon	Z		e		C		Cs		0.1	0.2	0.5	2.05	γ_{sat}	γ'	γ'^*H	γ'^*H_{kum}	σ_0	δC	OCR	N_q/C_{301}	$\Delta\sigma_{50}$	S	ΣS
		(m)	(m)	(m)	(m)	(m)	(m)	(m)	(m)	*	*	t/m2	t/m3	t/m3	t/m3	t/m2	t/m2	t/m2	t/m2	t/m2	t/m2	N/q/C301	Δσ50	S
0	-	1	1	0.5	2.300	0.90	0.90	0.30	1.45	8.754	8.00	16.200	1.600	0.600	0.600	0.300	2.300	7.66667	0.501	16.500	0.233	1.233		
1	-	2	1	1.5	2.300	0.90	0.80	4.24	8.233	8.00	16.196	1.600	0.600	0.600	1.200	0.900	2.900	3.22222	0.501	17.006	0.438	0.541		
2	-	3	1	2.5	2.300	0.90	0.80	9.05	7.826	8.00	16.183	1.600	0.600	0.600	1.800	1.500	3.500	2.33333	0.501	17.583	0.211	0.742		
3	-	4	1	3.5	2.300	0.90	0.80	9.50	7.867	8.00	16.156	1.600	0.600	0.600	2.400	2.100	4.100	1.95380	0.501	18.355	0.022	0.964		
4	-	5	1	4.5	1.250	0.40	0.00	11.897	6.600	8.05	16.109	1.900	0.900	0.900	3.300	2.850	4.850	1.07594	0.501	18.59	0.123	1.087		
5	-	6	1	5.5	1.250	0.40	0.00	14.089	6.556	8.00	16.04	1.900	0.900	0.900	4.200	3.750	5.750	1.53333	0.501	19.791	0.111	1.198		
6	-	7	1	6.5	0.950	0.30	0.00	16.059	6.175	7.95	15.950	2.000	1.000	1.000	5.200	4.700	6.700	1.42532	0.501	20.650	0.095	1.233		
7	-	8	1	7.5	0.950	0.30	0.00	17.801	5.828	7.938	15.835	2.000	1.000	1.000	5.700	7.700	13.50077	0.501	21.555	0.066	1.379			
8	-	9	1	8.5	0.950	0.30	0.00	19.318	5.493	7.850	15.699	2.000	1.000	1.000	7.200	6.000	8.700	1.29800	0.501	22.399	0.079	1.438		
9	-	10	1	9.5	0.950	0.30	0.00	20.620	5.184	7.771	15.542	2.000	1.000	1.000	8.200	7.700	9.700	1.25974	0.501	23.242	0.073	1.531		
10	-	11	1	10.5	0.950	0.30	0.00	21.720	4.950	7.682	15.357	2.000	1.000	1.000	9.200	8.700	10.700	1.22986	0.501	24.067	0.067	1.598		
11	-	12	1	11.5	0.950	0.30	0.00	22.64	4.655	7.597	15.175	2.000	1.000	1.000	10.200	9.700	11.700	1.16538	0.501	24.875	0.063	1.661		
12	-	13	1	12.5	0.950	0.30	0.00	23.379	4.408	7.485	14.969	2.000	1.000	1.000	11.200	10.700	12.700	1.18936	0.501	25.669	0.058	1.719		
13	-	14	1	13.5	0.950	0.30	0.00	23.94	4.180	7.376	14.733	2.000	1.000	1.000	12.200	11.700	13.700	1.17094	0.501	26.453	0.054	1.774		

q timb	Sc akibat q timb	H initial	H final
t/m ²	(m)	(m)	(m)
Direncanakan	Perhitungan	(A+B*γw)/γt	(A-B*γ')/γt
A	B	C	G
1.8	0.151	1.084	0.933
3.6	0.493	2.274	1.781
5.4	0.782	3.434	2.653
7.2	1.013	4.563	3.550
9	1.206	5.670	4.464
10.8	1.374	6.763	5.389
12.6	1.522	7.845	6.324
14.4	1.654	8.919	7.265
16.2	1.774	9.985	8.212



Zona 3 h rencana 4m, h initial = 5,1 m

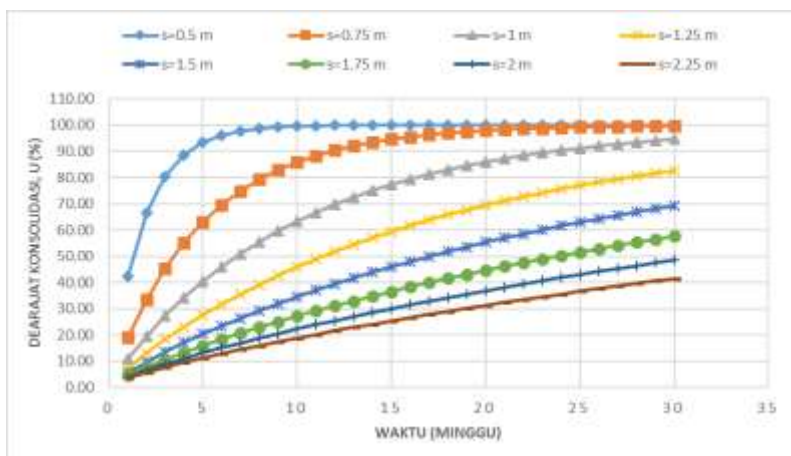
Kedalaman H (m)		Aktivitas hidrologi																				
		(m)	(m)	(m)	e	Cc	G	a1	a2	Δσ	Δε	γ' sat	γ'	γ'*H	γ''Hukum	σD	σC	OCR	Nc/Ds _{soil}	Δσ-σD	S	L _S
0	-	1	1	0,5	2,30	0,90	0,30	1,02	87,64	4,50	9,30	1,60	0,60	0,60	0,60	0,30	2,30	7,666657	0,CS01	9,480	0,224	0,24
1	-	2	1	1,5	2,30	0,90	0,30	3,219	82,933	4,588	9,37	1,60	0,60	0,60	0,60	0,30	2,30	3,222222	0,CS01	10,077	0,182	0,065
2	-	3	1	2,5	2,30	0,90	0,30	3,277	78,305	4,583	9,356	1,60	0,60	0,60	0,60	1,50	3,30	2,333333	0,CS01	10,666	0,158	0,564
3	-	4	1	3,5	2,30	0,90	0,30	7,123	73,867	4,571	9,443	1,60	0,60	0,60	2,40	2,10	4,00	1,923333	0,CS01	11,243	0,141	0,065
4	-	5	1	4,5	1,20	0,90	0,30	8,991	69,600	4,552	9,304	1,90	0,90	0,90	3,300	2,80	4,50	1,07354	0,CS01	11,954	0,085	0,791
5	-	6	1	5,5	1,20	0,90	0,30	10,539	65,555	4,524	9,048	1,90	0,90	0,90	4,00	3,750	5,750	1,533333	0,CS01	12,738	0,075	0,855
6	-	7	1	6,5	0,90	0,30	0,90	11,994	61,756	4,487	8,974	2,00	1,00	1,00	5,00	4,700	6,000	1,425332	0,CS01	13,574	0,063	0,928
7	-	8	1	7,5	0,90	0,30	0,90	13,303	58,208	4,441	8,882	2,00	1,00	1,00	6,00	5,700	7,700	1,350977	0,CS01	14,582	0,056	0,984
8	-	9	1	8,5	0,90	0,30	0,90	14,222	54,93	4,396	8,773	2,00	1,00	1,00	7,00	6,700	8,700	1,288397	0,CS01	15,473	0,050	1,034
9	-	10	1	9,5	0,90	0,30	0,90	15,602	51,364	4,324	8,649	2,00	1,00	1,00	8,00	7,700	9,700	1,25974	0,CS01	16,349	0,045	1,079
10	-	11	1	10,5	0,90	0,30	0,90	15,737	49,550	4,256	8,512	2,00	1,00	1,00	9,00	8,700	10,700	1,229385	0,CS01	17,222	0,041	1,121
11	-	12	1	11,5	0,90	0,30	0,90	16,164	46,456	4,183	8,355	2,00	1,00	1,00	10,00	9,700	11,700	1,206385	0,CS01	18,065	0,038	1,159
12	-	13	1	12,5	0,90	0,30	0,90	16,659	44,088	4,105	8,210	2,00	1,00	1,00	11,00	10,700	12,700	1,186385	0,CS01	18,910	0,034	1,193
13	-	14	1	13,5	0,90	0,30	0,90	16,340	41,870	4,024	8,048	2,00	1,00	1,00	12,00	11,700	13,700	1,17094	0,CS01	19,746	0,032	1,224

Kedalaman (m)	Tebal Lapisan	Cv (cm ² /det)	v C v	H/VC v	Cv gab (cm ² /det)
1	1	0.00020	0	70.71	0.0005016
2	1	0.00020	0	70.71	
3	1	0.00020	0	70.71	
4	1	0.00020	0	70.71	
5	1	0.00070	0	37.8	
6	1	0.00070	0	37.8	
7	1	0.00090	0	33.33	
8	1	0.00090	0	33.33	
9	1	0.00090	0	33.33	
10	1	0.00090	0	33.33	
11	1	0.00090	0	33.33	
12	1	0.00090	0	33.33	
13	1	0.00090	0	33.33	
14	1	0.00090	0	33.33	

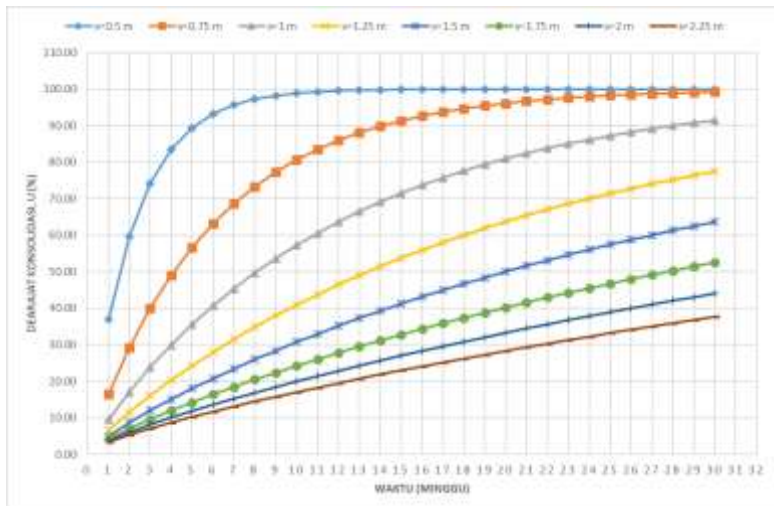
Derajat Konsolidasi U(%)	Hdr (cm)	Cv (cm ² /detik)	T	t (detik)	t tahun
0	1400	0.000501596	0	0	0
5			0.002	7672414.320	0.243
10			0.008	30689657.280	0.973
15			0.018	69051728.881	2.190
20			0.031	122758629.122	3.893
25			0.049	191810358.003	6.082
30			0.071	276206915.524	8.758
35			0.096	375948301.686	11.921
40			0.126	491034516.488	15.571
45			0.159	621465559.930	19.707
50			0.196	767241432.012	24.329
55			0.238	928362132.735	29.438
60			0.283	1104827662.097	35.034
65			0.340	1330062200.823	42.176
70			0.403	1574131726.209	49.915
75			0.477	1862804704.390	59.069
80			0.567	2216111875.811	70.272
85			0.684	2671604040.776	84.716
90			0.848	3313584190.377	105.073
95			1.129	4411056504.944	139.874
100					

Kedalam an (m)	Sc akibat PVD (m)	sc n tahun kemudian (m)	rate of settlement (cm per tahun)
0	0	0.215	7.17
1	0.224	0.176	5.86
2	0.406	0.144	4.79
3	0.564	0.116	3.86
4	0.706	0.091	3.04
5	0.791	0.076	2.54
6	0.865	0.063	2.10
7	0.928	0.052	1.73
8	0.984	0.042	1.41
9	1.034	0.033	1.11
10	1.079	0.025	0.85
11	1.121	0.018	0.61
12	1.158	0.012	0.39
13	1.193	0.006	0.19
14	1.224	0.000	0.00

Kedalam an (m)	Tebal Lapisan	Cv (cm ² /det)	vCv	H/vCv	Cv gab (cm ² /det)	Cv gab (cm ² /tahun)
1	1	0.000200	0.014142	70.71068	0.00031925	10067.98785
2	1	0.000200	0.014142	70.71068		
3	1	0.000200	0.014142	70.71068		
4	1	0.000200	0.014142	70.71068		
5	1	0.000700	0.026458	37.79645		
6	1	0.000700	0.026458	37.79645		
7	1	0.000900	0.03	33.33333		



Pola segitiga



Pola segiempat

$\Sigma \sigma_p'$ kg/cm ²	Kedalaman			PI %	Cu lama kg/cm ²	ek tanah asli dengan rumus (Ardana & Mochtar)		Cu tanah asli pakai (Ardana & Mochtar)	Cu baru kg/cm ²
	(m)	(m)	(m)			kg/cm ²	kg/cm ²		
0.948	0	-	1	40.000	0.050	0.077	0.077	0.193	
1.008	1	-	2	40.000	0.050	0.085	0.085	0.200	
1.067	2	-	3	40.000	0.050	0.093	0.093	0.208	
1.124	3	-	4	40.000	0.050	0.100	0.100	0.215	
1.195	4	-	5	40.000	0.200	0.109	0.200	0.224	
1.280	5	-	6	40.000	0.200	0.121	0.200	0.234	
1.367	6	-	7	40.000	0.400	0.133	0.400	0.245	

No	SF geostudi	Hasil geostudio					Perhitungan		
		MR (kN.m)	MD (kN.m)	titik pusat		R m	SF	MR	Δ MR
				X	Y		rencana	rencana	(kN.m)
1	1.03	2430.7	2356.3	16.9	4.4	8.3	1.25	2945.375	514.675
2	1.02	2551.9	2505	16.7	4.4	8.5	1.25	3131.25	579.35
3	1.12	4767	4276.9	17.1	7.4	11.6	1.25	5346.125	579.125
4	1.23	9801.9	7999.6	17.5	14.6	18.6	1.25	9999.5	197.6
5	1.03	2572.8	2490.4	15.9	4.4	8.4	1.25	3113	540.2

SF no 1

H (m)	Ti (m)	Jumlah rangkap	Δ MR (kNm)	Δ MR kum (kNm)	M tahan (kNm)	SF	jumlah	
							lapis	
0.00	4.4	1	76.26667	76.26667	2506.97	1.064		1
0.30	4.1	1	71.06667	147.3333	2578.03	1.094		2
0.60	3.8	1	65.86667	213.2	2643.90	1.122		3
0.90	3.5	1	60.66667	273.8667	2704.57	1.148		4
1.20	3.2	1	55.46667	329.3333	2760.03	1.171		5
1.50	2.9	1	50.26667	379.6	2810.30	1.193		6
1.80	2.6	1	45.06667	424.6667	2855.37	1.212		7
2.10	2.3	1	39.86667	464.5333	2895.23	1.229		8
2.40	2	1	34.66667	499.2	2929.90	1.243		9
2.70	1.7	1	29.46667	528.6667	2959.37	1.256		10

SF no 2

H (m)	Ti (m)	Jumlah rangkap	ΔMR (kNm)	ΔMR kum (kNm)	Mtahan (kNm)	SF	jumlah
							lapis
0.00	4.4	1	76.26667	76.26667	2628.17	1.049	1
0.30	4.1	1	71.06667	147.3333	2699.23	1.078	2
0.60	3.8	1	65.86667	213.2	2765.10	1.104	3
0.90	3.5	1	60.66667	273.8667	2825.77	1.128	4
1.20	3.2	1	55.46667	329.3333	2881.23	1.150	5
1.50	2.9	1	50.26667	379.6	2931.50	1.170	6
1.80	2.6	1	45.06667	424.6667	2976.57	1.188	7
2.10	2.3	1	39.86667	464.5333	3016.43	1.204	8
2.40	2	1	34.66667	499.2	3051.10	1.218	9
2.70	1.7	1	29.46667	528.6667	3080.57	1.230	10
3.00	1.4	1	24.26667	552.9333	3104.83	1.239	11
3.30	1.1	1	19.06667	572	3123.90	1.247	12
3.60	0.8	1	13.86667	585.8667	3137.77	1.253	13

SF no 3

H (m)	Ti (m)	Jumlah rangkap	ΔMR (kNm)	ΔMR kum (kNm)	Mtahan (kNm)	SF	jumlah
							lapis
0.00	7.4	1	128.2667	128.2667	4895.27	1.145	1
0.30	7.1	1	123.0667	251.3333	5018.33	1.173	2
0.60	6.8	1	117.8667	369.2	5136.20	1.201	3
0.90	6.5	1	112.6667	481.8667	5248.87	1.227	4
1.20	6.2	1	107.4667	589.3333	5356.33	1.252	5

SF no 4

H (m)	Ti (m)	Jumlah rangkap	ΔMR (kNm)	ΔMR kum (kNm)	Mtahan (kNm)	SF	jumlah
							lapis
0.00	14.6	1	253.0667	253.0667	10054.97	1.257	1
0.30	14.3	1	247.8667	500.9333	10302.83	1.288	2

SF no 5

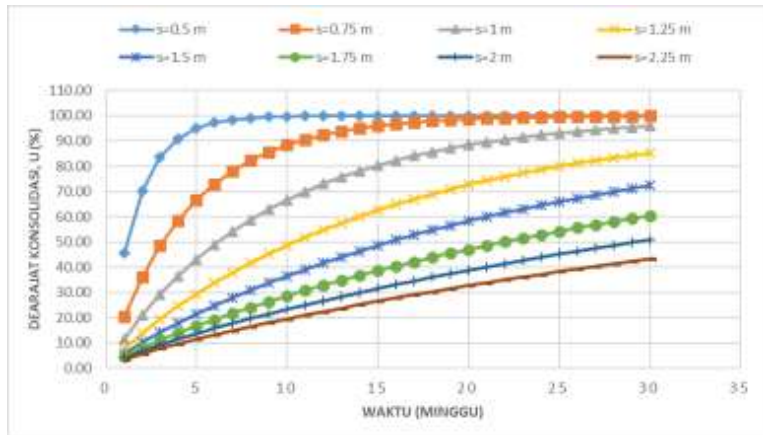
H (m)	Ti (m)	Jumlah rangkap	ΔMR (kNm)	ΔMR kum (kNm)	M tahan (kNm)	SF	jumlah
							lapis
0.00	4.4	1	76.26667	76.26667	2649.07	1.064	1
0.30	4.1	1	71.06667	147.3333	2720.13	1.092	2
0.60	3.8	1	65.86667	213.2	2786.00	1.119	3
0.90	3.5	1	60.66667	273.8667	2846.67	1.143	4
1.20	3.2	1	55.46667	329.3333	2902.13	1.165	5
1.50	2.9	1	50.26667	379.6	2952.40	1.186	6
1.80	2.6	1	45.06667	424.6667	2997.47	1.204	7
2.10	2.3	1	39.86667	464.5333	3037.33	1.220	8
2.40	2	1	34.66667	499.2	3072.00	1.234	9
2.70	1.7	1	29.46667	528.6667	3101.47	1.245	10
3.00	1.4	1	24.26667	552.9333	3125.73	1.255	11

Zona 3 h rencana= 5m, h initial = 6,3m

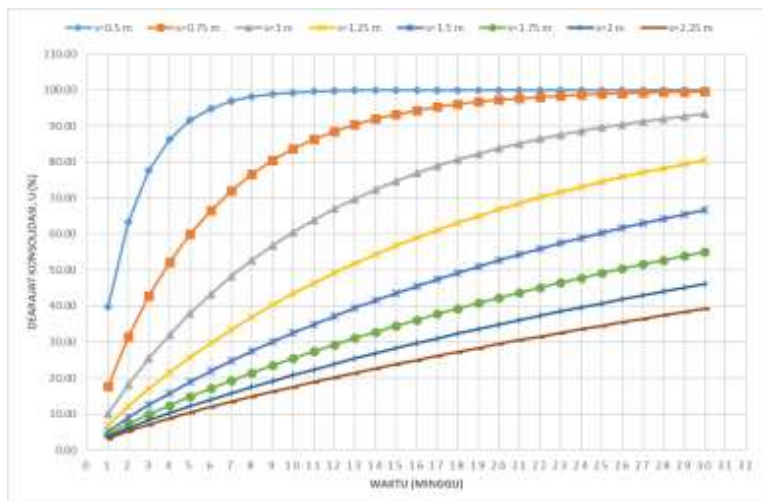
Kedalaman H dalam [m]	Tebal [m]	akaratifitilungan																				
		z	e	C	C _S	a1	a2	λS	λ _{AS}	γ'	γ' _H	γ' _{Hum}	σ ₀	σ _{c'}	OCR	N _{COSSoil}	A _{actf0}	Σ	ΣΣ			
(m)	(m)									t/m2	t/m3	t/m3	t/m3	t/m2	t/m2	t/m2	t/m2	(m)	(m)			
0	-	1	1	0,5	2,380	0,970	0,180	1,077	87,634	5,570	11,340	1,600	0,600	0,600	0,300	2,300	7,66667	0,5Soil	11,60	0,749	0,9	
1	-	2	1	1,5	2,380	0,970	0,180	1,077	87,634	5,570	11,340	1,600	0,600	0,600	0,300	2,300	7,66667	0,5Soil	12,237	0,207	0,55	
2	-	3	1	2,5	2,380	0,970	0,180	5,894	78,326	5,662	11,325	1,600	0,600	0,600	1,800	1,500	3,500	23,33333	0,5Soil	12,825	0,181	0,33
3	-	4	1	3,5	2,380	0,970	0,180	8,668	73,867	5,560	11,300	1,600	0,600	0,600	2,400	2,100	4,100	19,53331	0,5Soil	13,400	0,163	0,20
4	-	5	1	4,5	1,290	0,930	0,100	10,775	69,600	5,629	11,280	1,900	0,900	0,900	3,300	2,850	4,850	17,0754	0,5Soil	14,038	0,099	0,09
5	-	6	1	5,5	1,290	0,930	0,100	11,921	65,556	5,599	11,257	1,900	0,900	0,900	4,200	3,750	5,750	15,33333	0,5Soil	14,497	0,088	0,07
6	-	7	1	6,5	1,050	0,930	0,090	13,104	61,756	5,558	11,156	2,000	1,000	1,000	5,200	4,700	6,700	14,25532	0,5Soil	15,816	0,074	0,06
7	-	8	1	7,5	0,950	0,930	0,090	14,304	58,208	5,507	11,055	2,000	1,000	1,000	6,200	5,700	7,700	13,93877	0,5Soil	16,715	0,066	0,127
8	-	9	1	8,5	0,950	0,930	0,090	16,597	54,933	5,448	10,955	2,000	1,000	1,000	7,200	6,700	8,700	12,98507	0,5Soil	17,595	0,060	0,137
9	-	10	1	9,5	0,950	0,930	0,090	17,999	51,864	5,379	10,753	2,000	1,000	1,000	8,200	7,700	9,700	12,5974	0,5Soil	18,558	0,055	0,142
10	-	11	1	10,5	0,950	0,930	0,090	17,210	49,050	5,313	10,666	2,000	1,000	1,000	9,200	8,700	10,700	12,28885	0,5Soil	19,306	0,050	0,142
11	-	12	1	11,5	0,950	0,930	0,090	18,378	46,456	5,221	10,442	2,000	1,000	1,000	10,200	9,700	11,700	12,06366	0,5Soil	20,142	0,046	0,133
12	-	13	1	12,5	0,950	0,930	0,090	19,389	44,068	5,134	10,238	2,000	1,000	1,000	11,200	10,700	12,700	11,88936	0,5Soil	20,98	0,043	0,131
13	-	14	1	13,5	0,950	0,930	0,090	19,471	41,870	5,042	10,085	2,000	1,000	1,000	12,200	11,700	13,700	11,794	0,5Soil	21,785	0,039	0,120

Kedalam an (m)	Sc akibat PVD (m)	sc n tahun kemudian (m)	rate of settlement (cm per tahun)
0	0	0.249	8.31
1	0.249	0.206	6.85
2	0.456	0.169	5.64
3	0.637	0.137	4.58
4	0.800	0.109	3.63
5	0.899	0.091	3.05
6	0.987	0.076	2.54
7	1.061	0.063	2.10
8	1.127	0.051	1.71
9	1.187	0.041	1.36
10	1.242	0.031	1.04
11	1.292	0.022	0.75
12	1.338	0.014	0.48
13	1.381	0.007	0.23
14	1.420	0.000	0.00

Kedalam an (m)	Tebal Lapisan	Cv (cm ² /det)	vCv	H/vCv	Cv gab (cm ² /det)	Cv gab (cm ² /tahun)
1	1	0.000200	0.014142	70.71068	0.00035415	11168.62541
2	1	0.000200	0.014142	70.71068		
3	1	0.000200	0.014142	70.71068		
4	1	0.000200	0.014142	70.71068		
5	1	0.000700	0.026458	37.79645		
6	1	0.000700	0.026458	37.79645		
7	1	0.000900	0.03	33.33333		
8	1	0.000900	0.03	33.33333		



Pola segitiga



Pola segiempat

$\Sigma\sigma_p'$	Kedalaman			PI	Cu lama	ek tanah asli dengan rumus		Cu tanah asli pakai (Ardana & Mochtar)	Cu baru (Ardana & Mochtar)
	kg/cm ²	(m)	%			kg/cm ²	kg/cm ²		
1.164	0	-	1	40.000	0.050	0.077	0.077	0.220	
1.224	1	-	2	40.000	0.050	0.085	0.085	0.227	
1.282	2	-	3	40.000	0.050	0.093	0.093	0.235	
1.340	3	-	4	40.000	0.050	0.100	0.100	0.242	
1.411	4	-	5	40.000	0.200	0.109	0.200	0.251	
1.495	5	-	6	40.000	0.200	0.121	0.200	0.261	
1.582	6	-	7	40.000	0.400	0.133	0.400	0.272	
1.671	7	-	8	40.000	0.400	0.145	0.400	0.283	

No	SF geostudi	Hasil geostudio					Perhitungan		
		MR (kN.m)	MD (kN.m)	titik pusat		R m	SF rencana	MR rencana	Δ MR (kN.m)
1	1	3569.4	3565.6	18.2	5.5	9.5	1.25	4457	887.6
2	1.02	3446	3375.1	18.4	5.5	9.4	1.25	4218.875	772.875
3	1.08	6653.1	6167.7	18.4	8.8	13	1.25	7709.625	1056.525
4	1.22	14298	11741	18.7	16.9	20.9	1.25	14676.25	378.25
5	1	3788	3794.7	17.1	5.5	9.6	1.25	4743.375	955.375

SF no 1

H (m)	Ti (m)	Jumlah rangkap	Δ MR (kNm)	Δ MR kum (kNm)	M tahan (kNm)	SF	jumlah	
							lapis	
0.00	6.63	1	114.92	114.92	3684.32	1.033		1
0.30	6.33	1	109.72	224.64	3794.04	1.064		2
0.60	6.03	1	104.52	329.16	3898.56	1.093		3
0.90	5.73	1	99.32	428.48	3997.88	1.121		4
1.20	5.43	1	94.12	522.6	4092.00	1.148		5
1.50	5.13	1	88.92	611.52	4180.92	1.173		6
1.80	4.83	1	83.72	695.24	4264.64	1.196		7
2.10	4.53	1	78.52	773.76	4343.16	1.218		8
2.40	4.23	1	73.32	847.08	4416.48	1.239		9
2.70	3.93	1	68.12	915.2	4484.60	1.258		10

SF no 2

H (m)	Ti (m)	Jumlah rangkap	ΔMR (kNm)	ΔMR kum (kNm)	M tahan (kNm)	SF	jumlah
							lapis
0.00	6.63	1	114.92	114.92	3560.92	1.055	1
0.30	6.33	1	109.72	224.64	3670.64	1.088	2
0.60	6.03	1	104.52	329.16	3775.16	1.119	3
0.90	5.73	1	99.32	428.48	3874.48	1.148	4
1.20	5.43	1	94.12	522.6	3968.60	1.176	5
1.50	5.13	1	88.92	611.52	4057.52	1.202	6
1.80	4.83	1	83.72	695.24	4141.24	1.227	7
2.10	4.53	1	78.52	773.76	4219.76	1.250	8

SF no 3

H (m)	Ti (m)	Jumlah rangkap	ΔMR (kNm)	ΔMR kum (kNm)	M tahan (kNm)	SF	jumlah
							lapis
0.00	9.93	1	172.12	172.12	6825.22	1.107	1
0.30	9.63	1	166.92	339.04	6992.14	1.134	2
0.60	9.33	1	161.72	500.76	7153.86	1.160	3
0.90	9.03	1	156.52	657.28	7310.38	1.185	4
1.20	8.73	1	151.32	808.6	7461.70	1.210	5
1.50	8.43	1	146.12	954.72	7607.82	1.233	6
1.80	8.13	1	140.92	1095.64	7748.74	1.256	7

SF no 4

H (m)	Ti (m)	Jumlah rangkap	ΔMR (kNm)	ΔMR kum (kNm)	M tahan (kNm)	SF	jumlah
							lapis
0.00	18.03	1	312.52	312.52	14610.52	1.244	1
0.30	17.73	1	307.32	619.84	14917.84	1.271	2

SF no 5

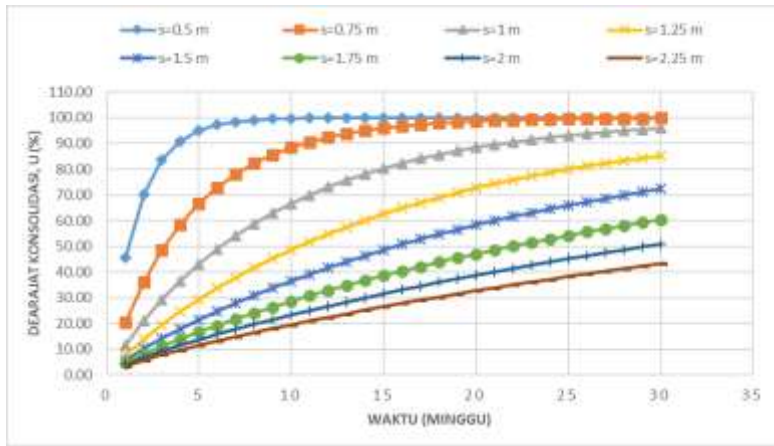
H (m)	Ti (m)	Jumlah rangkap	ΔMR (kNm)	ΔMR kum (kNm)	M tahan (kNm)	SF	jumlah
							lapis
0.00	6.63	1	114.92	114.92	3902.92	1.029	1
0.30	6.33	1	109.72	224.64	4012.64	1.057	2
0.60	6.03	1	104.52	329.16	4117.16	1.085	3
0.90	5.73	1	99.32	428.48	4216.48	1.111	4
1.20	5.43	1	94.12	522.6	4310.60	1.136	5
1.50	5.13	1	88.92	611.52	4399.52	1.159	6
1.80	4.83	1	83.72	695.24	4483.24	1.181	7
2.10	4.53	1	78.52	773.76	4561.76	1.202	8
2.40	4.23	1	73.32	847.08	4635.08	1.221	9
2.70	3.93	1	68.12	915.2	4703.20	1.239	10
3.00	3.63	1	62.92	978.12	4766.12	1.256	11

Zona 3 h rencana= 6m, h initial = 7,5m

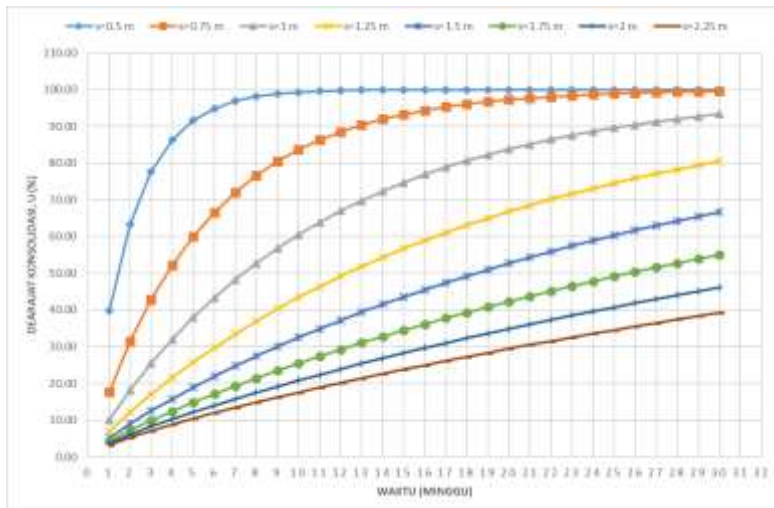
Kedalaman H meter	Tebal lapisan (m)	L	e	Cc	Cs	d1	d2	d5	d6	γ sat	γ'	γ*H	γ*H/kum	σ0	σt	OCR	Wc/OCR	Δσt/σ0	Sc	LSc	aktivitas timbulan			
																					(m)	(m)		
0	-	1	1	0,5	2,80	0,90	0,80	1,19	8,64	6,75	13,50	1,60	0,60	0,60	0,30	2,30	7,66667	0,501	13,800	0,270	0,270			
1	-	2	1	1,5	2,30	0,90	0,80	3,89	8,93	6,78	13,49	1,60	0,60	0,60	1,00	0,90	2,00	3,22222	0,501	14,397	0,277	0,297		
2	-	3	1	2,5	2,30	0,90	0,80	6,63	78,35	6,72	13,48	1,60	0,60	0,60	1,80	1,50	3,00	2,33333	0,501	14,984	0,201	0,598		
3	-	4	1	3,5	2,30	0,90	0,80	8,74	73,67	6,72	13,48	1,60	0,60	0,60	2,00	4,00	1,92333	0,501	15,559	0,132	0,880			
4	-	5	1	4,5	1,50	0,90	0,100	10,72	69,60	6,70	13,43	1,90	0,90	0,90	3,00	2,80	4,50	1,70754	0,501	16,683	0,111	0,930		
5	-	6	1	5,5	1,50	0,430	0,100	12,01	65,55	6,67	13,49	1,90	0,90	0,90	4,00	3,70	5,75	1,53333	0,501	17,099	0,099	1,088		
6	-	7	1	6,5	0,90	0,350	0,350	14,75	61,75	6,62	13,42	2,00	1,00	1,00	5,00	4,70	6,00	1,42532	0,501	17,962	0,084	1,173		
7	-	8	1	7,5	0,90	0,350	0,350	16,22	58,208	6,57	13,35	2,00	1,00	1,00	6,00	5,70	7,00	1,35037	0,501	18,655	0,076	1,249		
8	-	9	1	8,5	0,90	0,350	0,350	17,73	54,93	6,53	13,05	2,00	1,00	1,00	7,00	6,70	8,00	1,28937	0,501	19,725	0,069	1,338		
9	-	10	1	9,5	0,90	0,350	0,350	18,38	51,84	6,40	12,59	2,00	1,00	1,00	7,70	9,00	1,2574	0,501	20,579	0,063	1,381			
10	-	11	1	10,5	0,90	0,350	0,350	19,71	49,150	6,38	12,75	2,00	1,00	1,00	8,70	10,70	1,22938	0,501	21,415	0,058	1,439			
11	-	12	1	11,5	0,90	0,350	0,350	20,49	46,455	6,29	12,57	2,00	1,00	1,00	9,70	11,70	1,20636	0,501	22,237	0,054	1,493			
12	-	13	1	12,5	0,90	0,350	0,350	21,70	44,08	6,14	12,97	2,00	1,00	1,00	10,70	12,70	1,18695	0,501	23,047	0,050	1,543			
13	-	14	1	13,5	0,90	0,350	0,350	21,60	41,870	6,074	12,48	2,00	1,00	1,00	12,00	13,70	1,17094	0,501	23,848	0,046	1,590			

Kedalam an (m)	Sc akibat PVD (m)	sc n tahun kemudian (m)	rate of settlement (cm per tahun)
0	0	0.279	9.30
1	0.270	0.232	7.72
2	0.497	0.192	6.39
3	0.698	0.157	5.22
4	0.880	0.125	4.15
5	0.990	0.105	3.51
6	1.089	0.088	2.93
7	1.173	0.073	2.44
8	1.249	0.060	1.99
9	1.318	0.048	1.59
10	1.381	0.037	1.22
11	1.439	0.026	0.88
12	1.493	0.017	0.56
13	1.543	0.008	0.27
14	1.590	0.000	0.00

Kedalam an (m)	Tebal Lapisan	Cv (cm ² /det)	vCv	H/vCv	Cv gab (cm ² /det)	Cv gab (cm ² /tahun)
1	1	0.000200	0.014142	70.71068	0.00035415	11168.62541
2	1	0.000200	0.014142	70.71068		
3	1	0.000200	0.014142	70.71068		
4	1	0.000200	0.014142	70.71068		
5	1	0.000700	0.026458	37.79645		
6	1	0.000700	0.026458	37.79645		
7	1	0.000900	0.03	33.33333		
8	1	0.000900	0.03	33.33333		



Pola segitiga



Pola segiempat

$\Sigma\sigma_p'$ kg/cm ²	Kedalaman			PI %	Cu lama kg/cm ²	ek tanah asli dengan rumu (Ardana & Mochtar)		Cu tanah asli pakai (Ardana & Mod) kg/cm ²	Cu baru kg/cm ²				
	(m)					kg/cm ²							
	0	-	1			0.050	0.077						
1.380	0	-	1	40.000	0.050	0.077	0.077	0.247					
1.440	1	-	2	40.000	0.050	0.085	0.085	0.254					
1.498	2	-	3	40.000	0.050	0.093	0.093	0.262					
1.556	3	-	4	40.000	0.050	0.100	0.100	0.269					
1.626	4	-	5	40.000	0.200	0.109	0.200	0.278					
1.710	5	-	6	40.000	0.200	0.121	0.200	0.288					
1.796	6	-	7	40.000	0.400	0.133	0.400	0.299					
1.885	7	-	8	40.000	0.400	0.145	0.400	0.310					

No	SF geostudi	Hasil geostudio					Perhitungan		
		MR (kN.m)	MD (kN.m)	titik pusat		R m	SF rencana	MR rencana	Δ MR (kN.m)
				X	Y				
1	1.09	5294.7	4839	19.5	6.5	10.5	1.25	6048.75	754.05
2	1.13	8549.6	7552.5	20.2	6.6	12.7	1.25	9440.625	891.025
3	1.13	14420	12750	20	11	17	1.25	15937.5	1517.5
4	1.32	26439	20040	20.9	20.4	25.4	1.25	25050	-1389
5	1.1	9037.3	8219	20	10.2	14.3	1.25	10273.75	1236.45

SF no 1

H (m)	Ti (m)	Jumlah rangkap	Δ MR (kNm)	Δ MR kum (kNm)	M tahan (kNm)	SF	jumlah	
							lapis	
0.00	7.75	1	134.3333	134.3333	5429.03	1.122		1
0.30	7.45	1	129.1333	263.4667	5558.17	1.149		2
0.60	7.15	1	123.9333	387.4	5682.10	1.174		3
0.90	6.85	1	118.7333	506.1333	5800.83	1.199		4
1.20	6.55	1	113.5333	619.6667	5914.37	1.222		5
1.50	6.25	1	108.3333	728	6022.70	1.245		6
1.80	5.95	1	103.1333	831.1333	6125.83	1.266		7

SF no 2

H (m)	Ti (m)	Jumlah rangkap	Δ MR (kNm)	Δ MR kum (kNm)	M tahan (kNm)	SF	jumlah
							lapis
0.00	7.85	1	136.0667	136.0667	8685.67	1.150	1
0.30	7.55	1	130.8667	266.9333	8816.53	1.167	2
0.60	7.25	1	125.6667	392.6	8942.20	1.184	3
0.90	6.95	1	120.4667	513.0667	9062.67	1.200	4
1.20	6.65	1	115.2667	628.3333	9177.93	1.215	5
1.50	6.35	1	110.0667	738.4	9288.00	1.230	6
1.80	6.05	1	104.8667	843.2667	9392.87	1.244	7
2.10	5.75	1	99.66667	942.9333	9492.53	1.257	8

SF no 3

H (m)	Ti (m)	Jumlah rangkap	Δ MR (kNm)	Δ MR kum (kNm)	M tahan (kNm)	SF	jumlah
							lapis
0.00	12.25	1	212.3333	212.3333	14632.33	1.148	1
0.30	11.95	1	207.1333	419.4667	14839.47	1.164	2
0.60	11.65	1	201.9333	621.4	15041.40	1.180	3
0.90	11.35	1	196.7333	818.1333	15238.13	1.195	4
1.20	11.05	1	191.5333	1009.667	15429.67	1.210	5
1.50	10.75	1	186.3333	1196	15616.00	1.225	6
1.80	10.45	1	181.1333	1377.133	15797.13	1.239	7
2.10	10.15	1	175.9333	1553.067	15973.07	1.253	8

SF no 4

H (m)	Ti (m)	Jumlah rangkap	Δ MR (kNm)	Δ MR kum (kNm)	M tahan (kNm)	SF	jumlah
							lapis
0.00	21.65	1	375.2667	375.2667	26814.27	1.338	1
0.30	21.35	1	370.0667	745.3333	27184.33	1.357	2

SF no 5

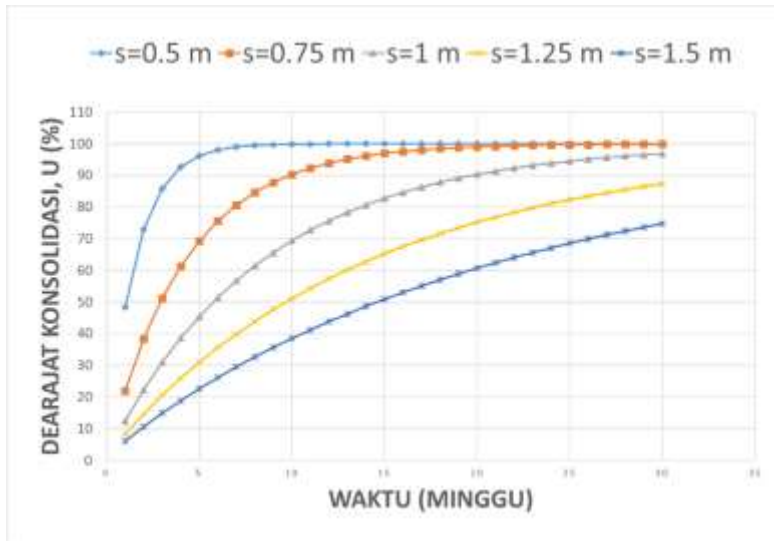
H (m)	Ti (m)	Jumlah rangkap	ΔMR (kNm)	ΔMR kum (kNm)	M tahan (kNm)	SF	jumlah	
							lapis	
0.00	11.45	1	198.4667	198.4667	9235.77	1.124		1
0.30	11.15	1	193.2667	391.7333	9429.03	1.147		2
0.60	10.85	1	188.0667	579.8	9617.10	1.170		3
0.90	10.55	1	182.8667	762.6667	9799.97	1.192		4
1.20	10.25	1	177.6667	940.3333	9977.63	1.214		5
1.50	9.95	1	172.4667	1112.8	10150.10	1.235		6
1.80	9.65	1	167.2667	1280.067	10317.37	1.255		7

Zona 3 h rencana= 7,3m, h initial = 9m

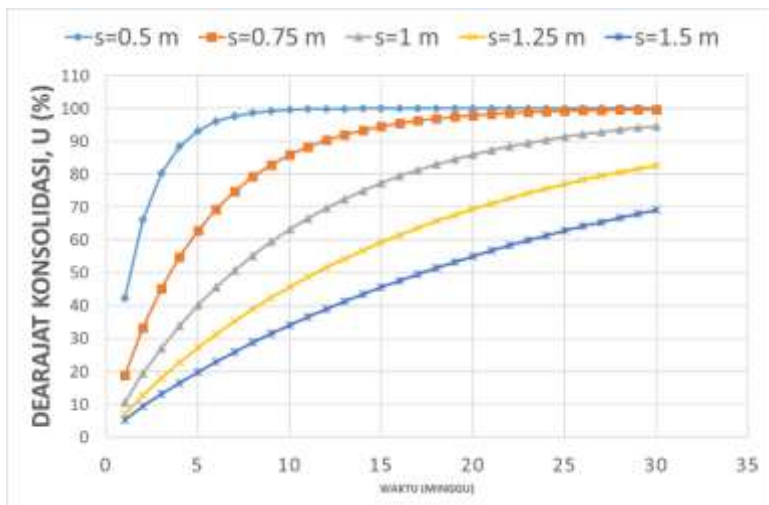
Kedalaman H (m)	Tebal lapisan (m)	akibat timbunan																		
		z	e	Cc	Cs	a1	a2	$\Delta\sigma$	$2\Delta\sigma$	γ_{sat}	γ'	γ'^*H	γ'^*H_{kum}	$\sigma'0$	$\sigma'c$	OCR	NC/OC soil	$\Delta\sigma_{n=0}$	Sc	ΣSc
								t/m2	t/m3	t/m3	t/m3	t/m2	t/m2	t/m2	t/m2	t/m2	t/m2	t/m2	t/m2	t/m2
0 - 1	0	0	0	0	0	0	0	0	0	0	0	0	0	0	0	0	0	0	0	0
0 - 1	0.5	2.380	0.970	0.180	1.415	8.764	8.00	16.200	1.600	0.600	0.600	0.600	0.300	2.300	7.67	0CSoil	16.500	0.293	0.293	
1 - 2	1	1.5	2.380	0.970	0.180	4.214	8.098	16.196	1.600	0.600	0.600	0.600	1.200	0.900	2.900	3.22	0CSoil	17.056	0.248	0.541
2 - 3	1	2.5	2.380	0.970	0.180	6.926	7.826	8.092	16.183	1.600	0.600	0.600	1.800	1.500	3.500	2.33	0CSoil	17.683	0.221	0.762
3 - 4	1	3.5	2.380	0.970	0.180	9.500	7.367	8.078	16.155	1.600	0.600	0.600	2.400	2.100	4.100	1.95	0CSoil	18.256	0.202	0.964
4 - 5	1	4.5	1.250	0.430	0.100	11.897	69.600	8.055	16.109	1.900	0.900	0.900	3.300	2.850	4.850	1.7	0CSoil	18.959	0.123	1.087
5 - 6	1	5.5	1.250	0.430	0.100	14.089	65.556	8.020	16.041	1.900	0.900	0.900	4.200	3.750	5.750	1.53	0CSoil	19.791	0.111	1.198
6 - 7	1	6.5	0.950	0.350	0.090	16.059	61.756	7.975	15.950	2.000	1.000	1.000	5.200	4.700	6.700	1.43	0CSoil	20.650	0.095	1.293
7 - 8	1	7.5	0.950	0.350	0.090	17.801	58.048	7.918	15.835	2.000	1.000	1.000	6.200	5.700	7.700	1.35	0CSoil	21.535	0.086	1.379
8 - 9	1	8.5	0.950	0.350	0.090	19.318	54.913	7.850	15.699	2.000	1.000	1.000	7.200	6.700	8.700	1.3	0CSoil	22.399	0.079	1.458
9 - 10	1	9.5	0.950	0.350	0.090	20.620	51.864	7.771	15.542	2.000	1.000	1.000	8.200	7.700	9.700	1.26	0CSoil	23.242	0.073	1.531
10 - 11	1	10.5	0.950	0.350	0.090	21.720	49.050	7.683	15.367	2.000	1.000	1.000	9.200	8.700	10.700	1.23	0CSoil	24.067	0.067	1.598
11 - 12	1	11.5	0.950	0.350	0.090	22.634	46.456	7.587	15.175	2.000	1.000	1.000	10.200	9.700	11.700	1.21	0CSoil	24.875	0.063	1.661
12 - 13	1	12.5	0.950	0.350	0.090	23.379	44.068	7.485	14.969	2.000	1.000	1.000	11.200	10.700	12.700	1.19	0CSoil	25.669	0.058	1.719
13 - 14	1	13.5	0.950	0.350	0.090	23.974	41.870	7.376	14.753	2.000	1.000	1.000	12.200	11.700	13.700	1.17	0CSoil	26.453	0.054	1.774

Kedalaman PVD yang ditanam(m)	Sc akibat PVD (m)	sc n tahun kemudian (sc yang tidak dicapai PVD) (m)	rate of settlement (cm per tahun)
0	0	0.311	10.38
1	0.293	0.260	8.67
2	0.541	0.216	7.21
3	0.762	0.178	5.92
4	0.964	0.142	4.74
5	1.087	0.120	4.02
6	1.198	0.101	3.37
7	1.293	0.084	2.81
8	1.379	0.069	2.31
9	1.458	0.055	1.85
10	1.531	0.043	1.42
11	1.598	0.031	1.03
12	1.661	0.020	0.66
13	1.719	0.010	0.32
14	1.774	0.000	0.00

Kedalam an (m)	Tebal Lapisan	Cv (cm ² /det)	vCv	H/vCv	Cv gab (cm ² /det)	Cv gab (cm ² /tahun)
1	1	0.00020	0.014142	70.71	0.00038541	12154.4
2	1	0.00020	0.014142	70.71		
3	1	0.00020	0.014142	70.71		
4	1	0.00020	0.014142	70.71		
5	1	0.00070	0.026458	37.80		
6	1	0.00070	0.026458	37.80		
7	1	0.00090	0.03	33.33		
8	1	0.00090	0.03	33.33		
9	1	0.00090	0.03	33.33		



Pola segitiga



pola segiempat

$\Sigma \sigma_p'$ kg/cm ²	Kedalaman (m)			PI	Cu lama %	Tek tanah asli (rumus) (Ardana & Mochtar)	Cu tanah asli pakai	Cu baru
	0	-	1				kg/cm ²	kg/cm ²
1.650	0	-	1	40	0.050	0.077	0.077	0.281
1.710	1	-	2	40	0.050	0.085	0.085	0.288
1.768	2	-	3	40	0.050	0.093	0.093	0.296
1.826	3	-	4	40	0.050	0.100	0.100	0.303
1.896	4	-	5	40	0.200	0.109	0.200	0.312
1.979	5	-	6	40	0.200	0.121	0.200	0.322
2.065	6	-	7	40	0.400	0.133	0.400	0.333
2.154	7	-	8	40	0.400	0.145	0.400	0.344
2.240	8	-	9	40	0.400	0.158	0.400	0.355

No	SF geostudio	Hasil geostudio						Perhitungan		
		MR (kN.m)	MD (kN.m)	titik pusat		R m	SF rencana	MR rencana	Δ MR (kN.m)	
				X	Y					
1	1.01	7200.4	7166.2	20.9	7.9	12	1.25	8957.75	1757.35	
2	1.04	11282	10808	19.8	8	13.8	1.25	13510	2228	
3	1.08	19170	17798	20.9	12.8	18.7	1.25	22247.5	3077.5	
4	1.2	23081	19284	21.6	13	19.4	1.25	24105	1024	
5	1.03	7511.5	7325.4	20.8	7.9	12.1	1.25	9156.75	1645.25	

SF no 1

H (m)	Ti (m)	Jumlah rangkap	Δ MR (kNm)	Δ MR kum (kNm)	M tahan (kNm)	SF	jumlah	
							lapis	
0.00	9.36	1	162.24	162.24	7362.64	1.027		1
0.30	9.06	1	157.04	319.28	7519.68	1.049		2
0.60	8.76	1	151.84	471.12	7671.52	1.071		3
0.90	8.46	1	146.64	617.76	7818.16	1.091		4
1.20	8.16	1	141.44	759.2	7959.60	1.111		5
1.50	7.86	1	136.24	895.44	8095.84	1.130		6
1.80	7.56	1	131.04	1026.48	8226.88	1.148		7
2.10	7.26	1	125.84	1152.32	8352.72	1.166		8
2.40	6.96	1	120.64	1272.96	8473.36	1.182		9
2.70	6.66	1	115.44	1388.4	8588.80	1.199		10
3.00	6.36	1	110.24	1498.64	8699.04	1.214		11
3.30	6.06	1	105.04	1603.68	8804.08	1.229		12
3.60	5.76	1	99.84	1703.52	8903.92	1.242		13
3.90	5.46	1	94.64	1798.16	8998.56	1.256		14

SF no 2

H (m)	Ti (m)	Jumlah rangkap	ΔMR (kNm)	ΔMR kum (kNm)	M tahan (kNm)	SF	jumlah	
							lapis	
0.00	9.46	1	163.9733	163.9733	11445.97	1.059		1
0.30	9.16	1	158.7733	322.7467	11604.75	1.074		2
0.60	8.86	1	153.5733	476.32	11758.32	1.088		3
0.90	8.56	1	148.3733	624.6933	11906.69	1.102		4
1.20	8.26	1	143.1733	767.8667	12049.87	1.115		5
1.50	7.96	1	137.9733	905.84	12187.84	1.128		6
1.80	7.66	1	132.7733	1038.613	12320.61	1.140		7
2.10	7.36	1	127.5733	1166.187	12448.19	1.152		8
2.40	7.06	1	122.3733	1288.56	12570.56	1.163		9
2.70	6.76	1	117.1733	1405.733	12687.73	1.174		10
3.00	6.46	1	111.9733	1517.707	12799.71	1.184		11
3.30	6.16	1	106.7733	1624.48	12906.48	1.194		12
3.60	5.86	1	101.5733	1726.053	13008.05	1.204		13
3.90	5.56	1	96.37333	1822.427	13104.43	1.212		14
4.20	5.26	1	91.17333	1913.6	13195.60	1.221		15
4.50	4.96	1	85.97333	1999.573	13281.57	1.229		16
4.80	4.66	1	80.77333	2080.347	13362.35	1.236		17
5.10	4.36	1	75.57333	2155.92	13437.92	1.243		18
5.40	4.06	1	70.37333	2226.293	13508.29	1.250		19

SF no 3

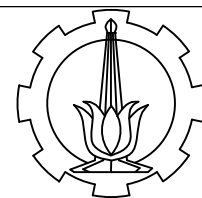
H (m)	Ti (m)	Jumlah rangkap	ΔMR (kNm)	ΔMR kum (kNm)	M tahan (kNm)	SF	jumlah	
							lapis	
0.00	14.26	1	247.1733	247.1733	19417.17	1.091		1
0.30	13.96	1	241.9733	489.1467	19659.15	1.105		2
0.60	13.66	1	236.7733	725.92	19895.92	1.118		3
0.90	13.36	1	231.5733	957.4933	20127.49	1.131		4
1.20	13.06	1	226.3733	1183.867	20353.87	1.144		5
1.50	12.76	1	221.1733	1405.04	20575.04	1.156		6
1.80	12.46	1	215.9733	1621.013	20791.01	1.168		7
2.10	12.16	1	210.7733	1831.787	21001.79	1.180		8
2.40	11.86	1	205.5733	2037.36	21207.36	1.192		9
2.70	11.56	1	200.3733	2237.733	21407.73	1.203		10
3.00	11.26	1	195.1733	2432.907	21602.91	1.214		11
3.30	10.96	1	189.9733	2622.88	21792.88	1.224		12
3.60	10.66	1	184.7733	2807.653	21977.65	1.235		13
3.90	10.36	1	179.5733	2987.227	22157.23	1.245		14
4.20	10.06	1	174.3733	3161.6	22331.60	1.255		15

SF no 4

H (m)	Ti (m)	Jumlah rangkap	ΔMR (kNm)	ΔMR kum (kNm)	M tahan (kNm)	SF	jumlah
							lapis
0.00	14.46	1	250.64	250.64	23331.64	1.210	1
0.30	14.16	1	245.44	496.08	23577.08	1.223	2
0.60	13.86	1	240.24	736.32	23817.32	1.235	3
0.90	13.56	1	235.04	971.36	24052.36	1.247	4

SF no 5

H (m)	Ti (m)	Jumlah rangkap	ΔMR (kNm)	ΔMR kum (kNm)	M tahan (kNm)	SF	jumlah
							lapis
0.00	9.36	1	162.24	162.24	7673.74	1.048	1
0.30	9.06	1	157.04	319.28	7830.78	1.069	2
0.60	8.76	1	151.84	471.12	7982.62	1.090	3
0.90	8.46	1	146.64	617.76	8129.26	1.110	4
1.20	8.16	1	141.44	759.2	8270.70	1.129	5
1.50	7.86	1	136.24	895.44	8406.94	1.148	6
1.80	7.56	1	131.04	1026.48	8537.98	1.166	7
2.10	7.26	1	125.84	1152.32	8663.82	1.183	8
2.40	6.96	1	120.64	1272.96	8784.46	1.199	9
2.70	6.66	1	115.44	1388.4	8899.90	1.215	10
3.00	6.36	1	110.24	1498.64	9010.14	1.230	11
3.30	6.06	1	105.04	1603.68	9115.18	1.244	12
3.60	5.76	1	99.84	1703.52	9215.02	1.258	13



DEPARTEMEN TEKNIK SIPIL
FTSLK-ITS

JUDUL TUGAS AKHIR

PERENCANAAN TIMBUNAN PADA
JALAN TOL NGAWI-KERTOSONO
PAKET 2 STA II0+250 - II8+700

DOSEN PEMBIMBING

IR. SUWARNO, M.ENG.
PROF. IR. INDRASURYA B. MOCHtar, MSC., PH.D.

MAHASISWA

FAUZAN UMAR FARUQ
031 II24 0000 I05

JUDUL GAMBAR

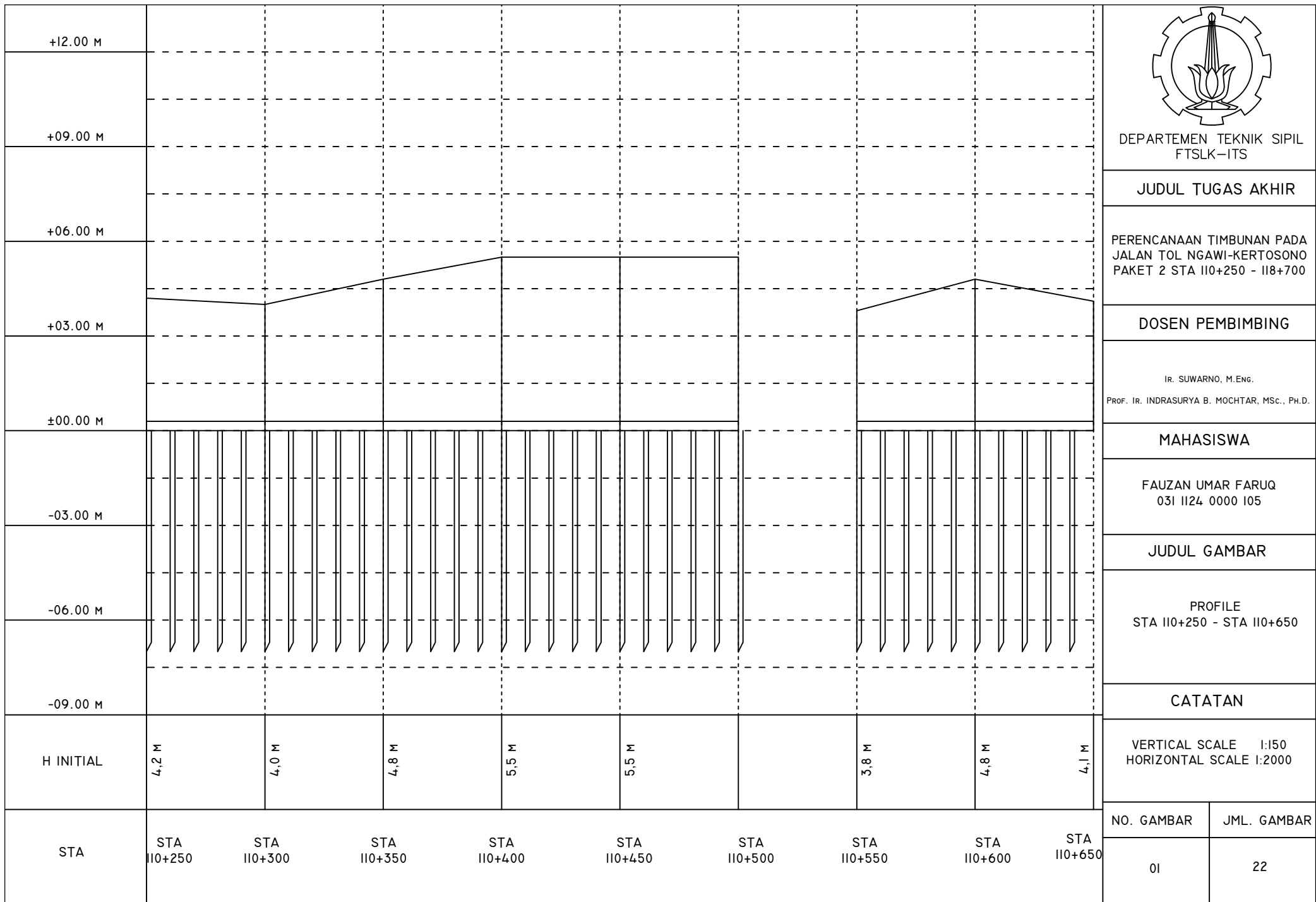
PROFILE
STA II0+250 - STA II0+650

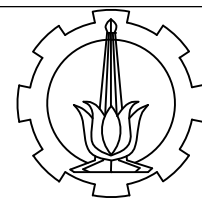
CATATAN

VERTICAL SCALE 1:150
HORIZONTAL SCALE 1:2000

NO. GAMBAR JML. GAMBAR

01 22





DEPARTEMEN TEKNIK SIPIL
FTSLK-ITS

JUDUL TUGAS AKHIR

PERENCANAAN TIMBUNAN PADA
JALAN TOL NGAWI-KERTOSONO
PAKET 2 STA II0+250 - II8+700

DOSEN PEMBIMBING

IR. SUWARNO, M.ENG.
PROF. IR. INDRASURYA B. MOCHTAR, MSC., PH.D.

MAHASISWA

FAUZAN UMAR FARUQ
031 II24 0000 105

JUDUL GAMBAR

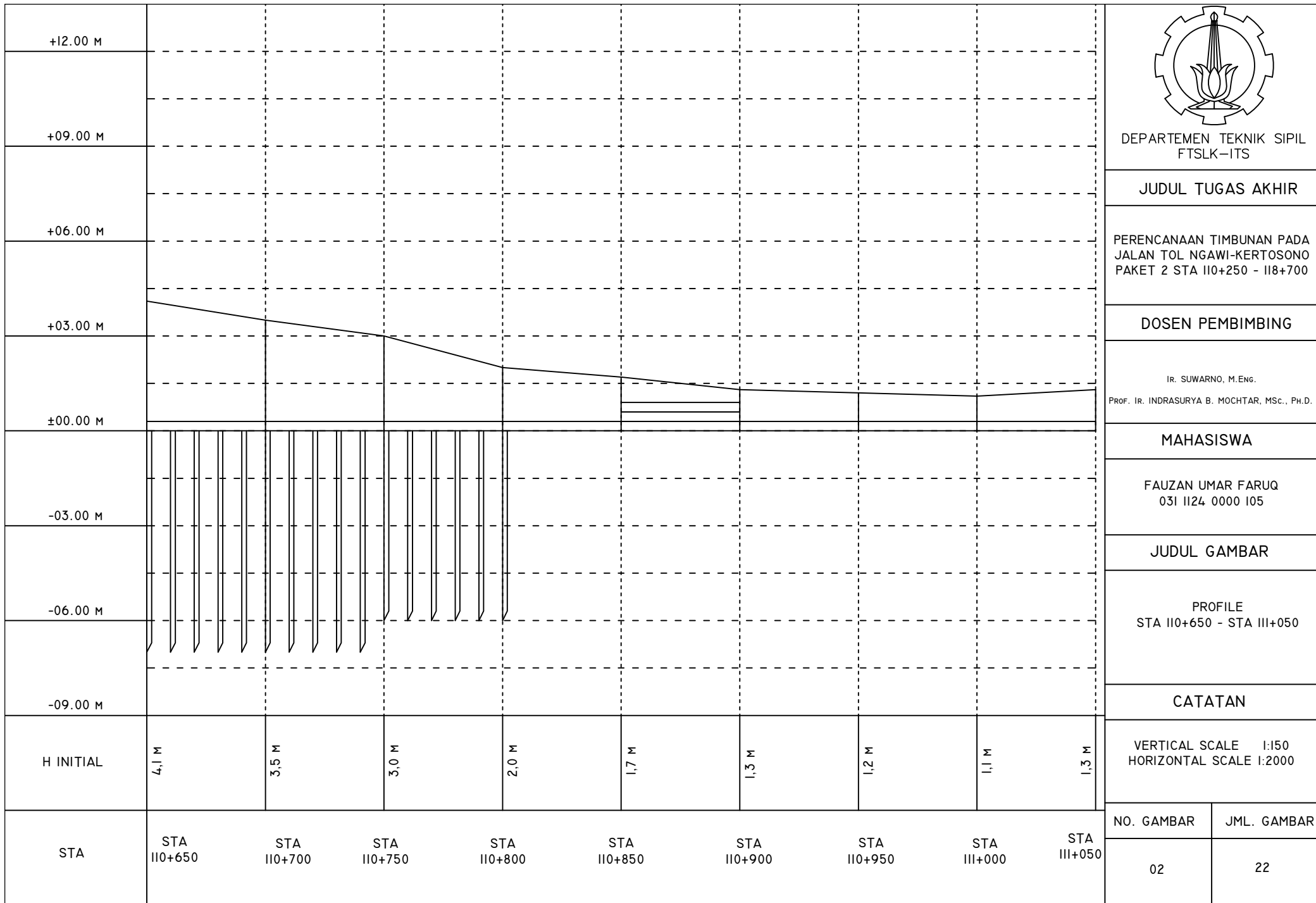
PROFILE
STA II0+650 - STA III+050

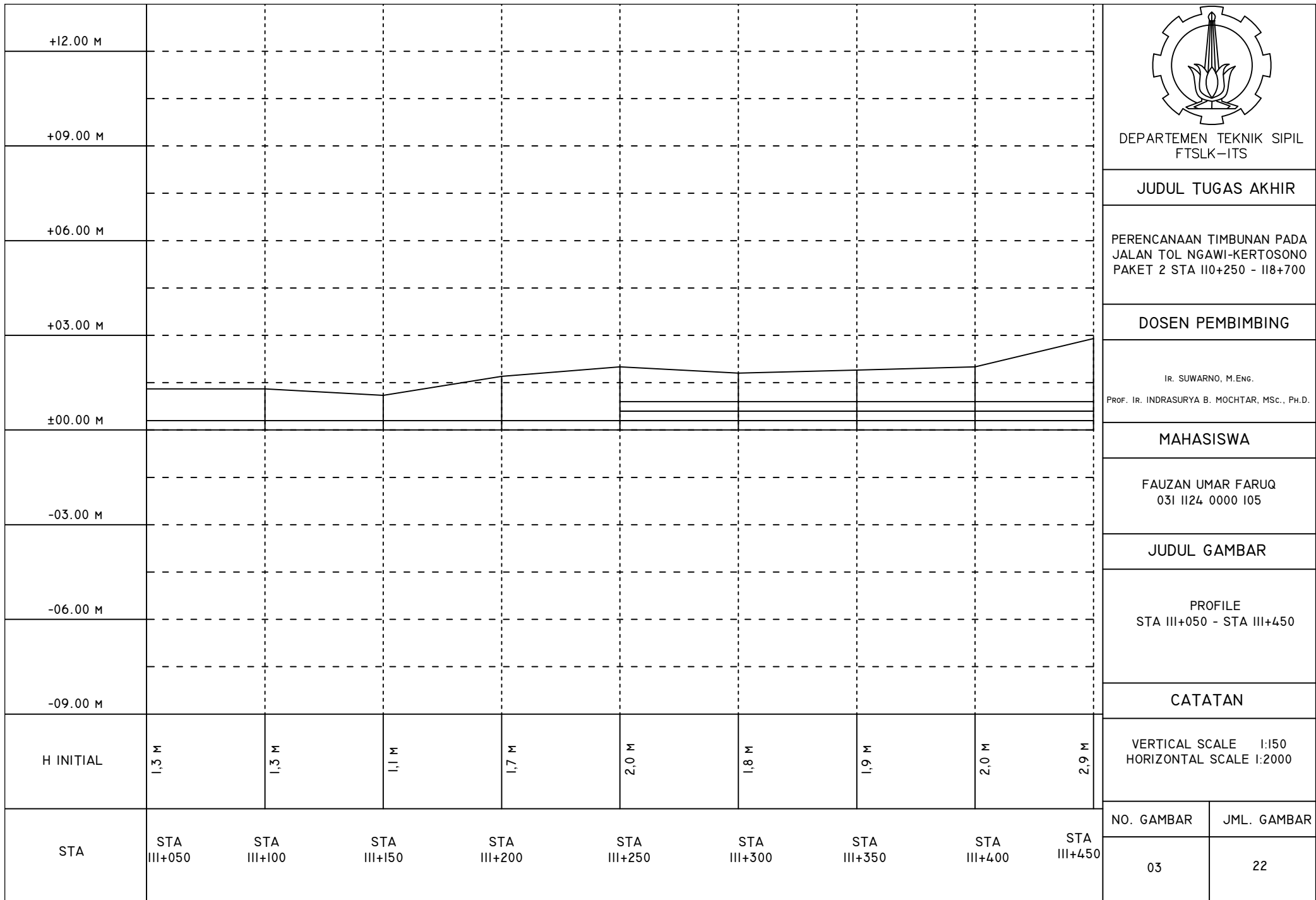
CATATAN

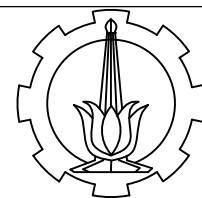
VERTICAL SCALE 1:150
HORIZONTAL SCALE 1:2000

NO. GAMBAR JML. GAMBAR

02 22







DEPARTEMEN TEKNIK SIPIL
FTSLK-ITS

JUDUL TUGAS AKHIR

PERENCANAAN TIMBUNAN PADA
JALAN TOL NGAWI-KERTOSONO
PAKET 2 STA II0+250 - II8+700

DOSEN PEMBIMBING

IR. SUWARNO, M.ENG.
PROF. IR. INDRASURYA B. MOCHTAR, MSC., PH.D.

MAHASISWA

FAUZAN UMAR FARUQ
031 II24 0000 I05

JUDUL GAMBAR

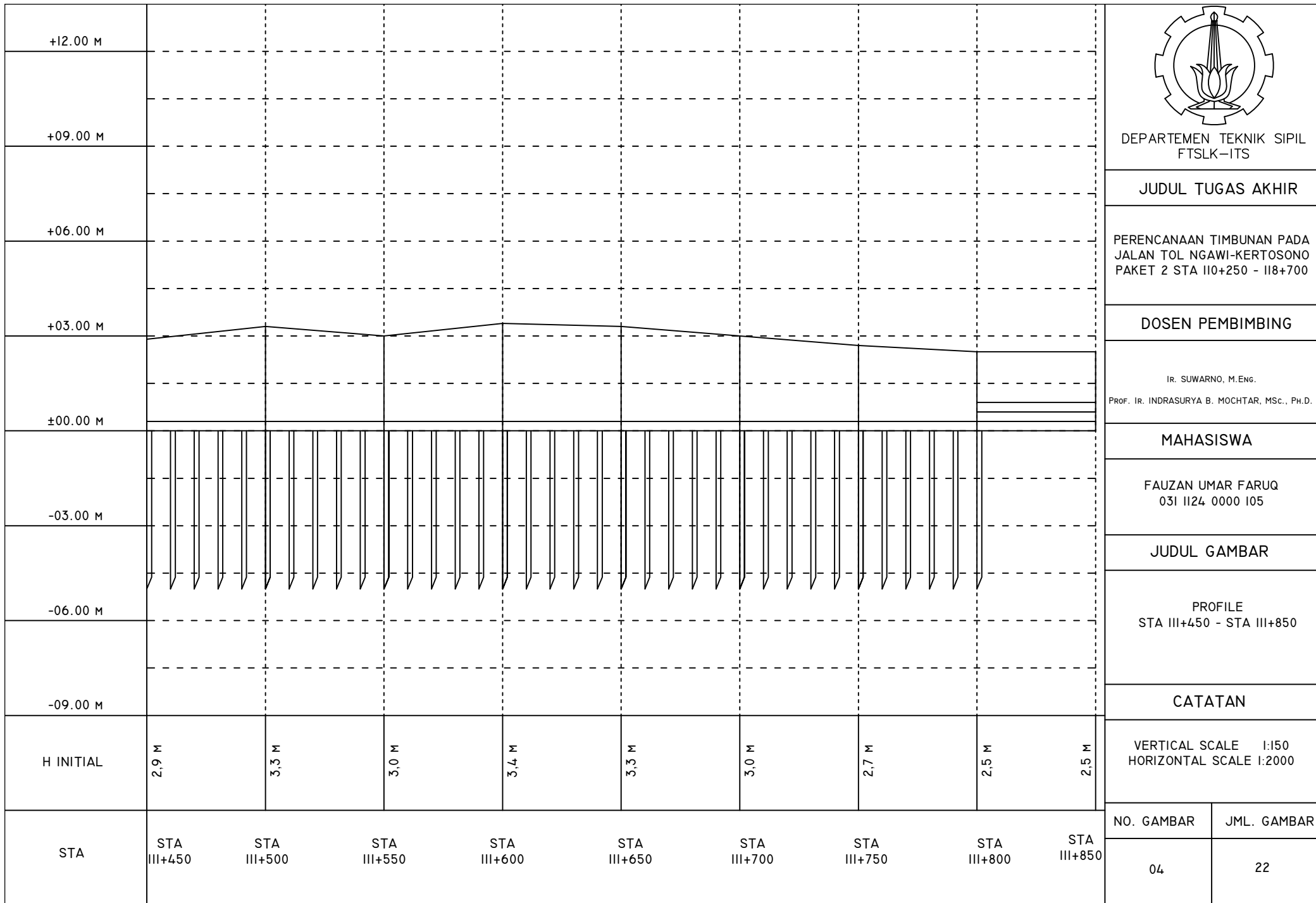
PROFILE
STA III+450 - STA III+850

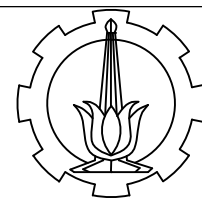
CATATAN

VERTICAL SCALE 1:150
HORIZONTAL SCALE 1:2000

NO. GAMBAR JML. GAMBAR

04 22





DEPARTEMEN TEKNIK SIPIL
FTSLK-ITS

JUDUL TUGAS AKHIR

PERENCANAAN TIMBUNAN PADA
JALAN TOL NGAWI-KERTOSONO
PAKET 2 STA II0+250 - II8+700

DOSEN PEMBIMBING

IR. SUWARNO, M.ENG.
PROF. IR. INDRASURYA B. MOCHTAR, MSC., PH.D.

MAHASISWA

FAUZAN UMAR FARUQ
031 II24 0000 I05

JUDUL GAMBAR

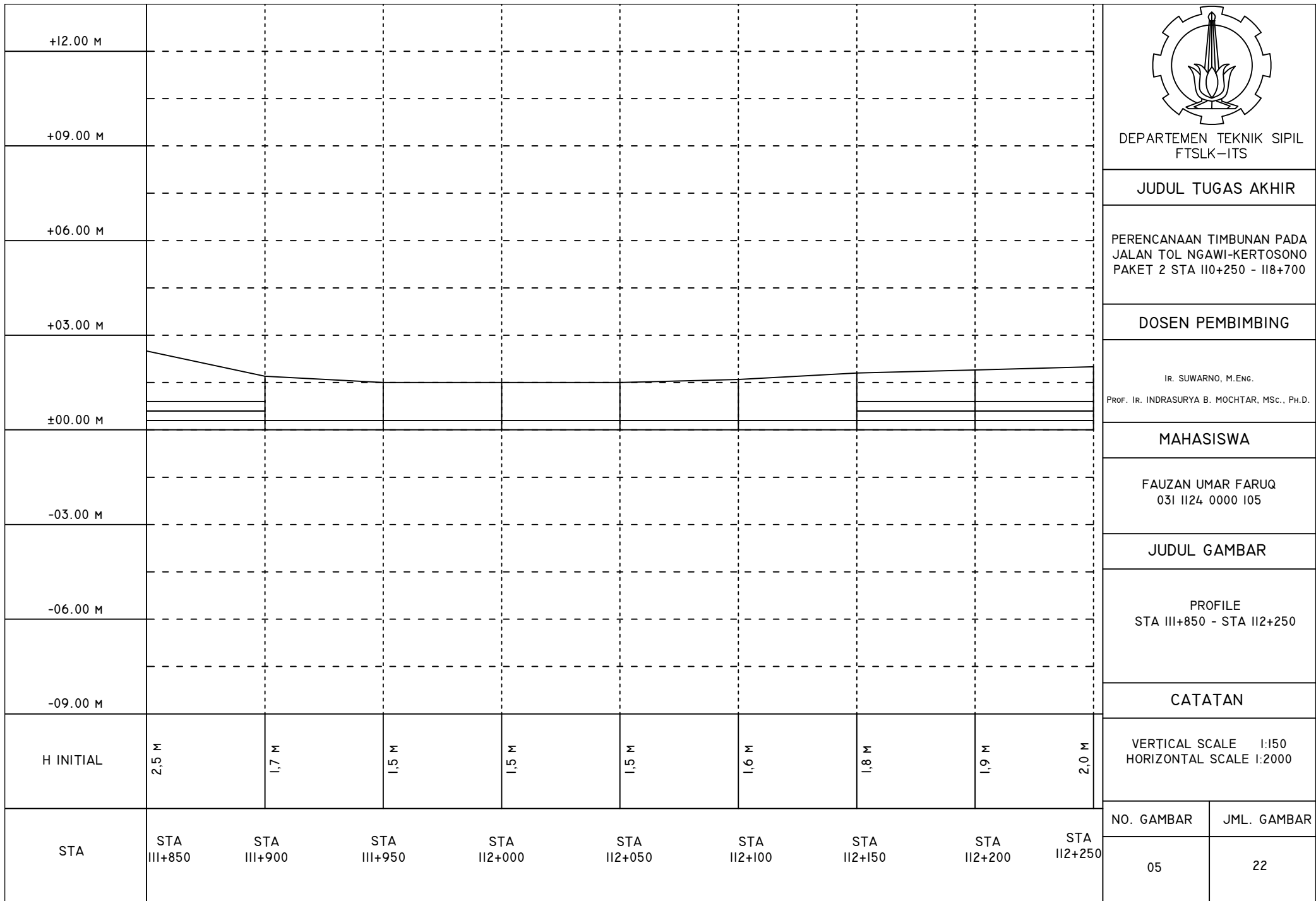
PROFILE
STA III+850 - STA II2+250

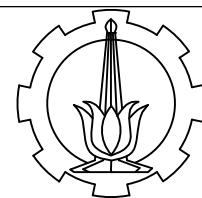
CATATAN

VERTICAL SCALE 1:150
HORIZONTAL SCALE 1:2000

NO. GAMBAR JML. GAMBAR

05 22





DEPARTEMEN TEKNIK SIPIL
FTSLK-ITS

JUDUL TUGAS AKHIR

PERENCANAAN TIMBUNAN PADA
JALAN TOL NGAWI-KERTOSONO
PAKET 2 STA II0+250 - II8+700

DOSEN PEMBIMBING

IR. SUWARNO, M.ENG.
PROF. IR. INDRASURYA B. MOCHTAR, MSC., PH.D.

MAHASISWA

FAUZAN UMAR FARUQ
031 II24 0000 I05

JUDUL GAMBAR

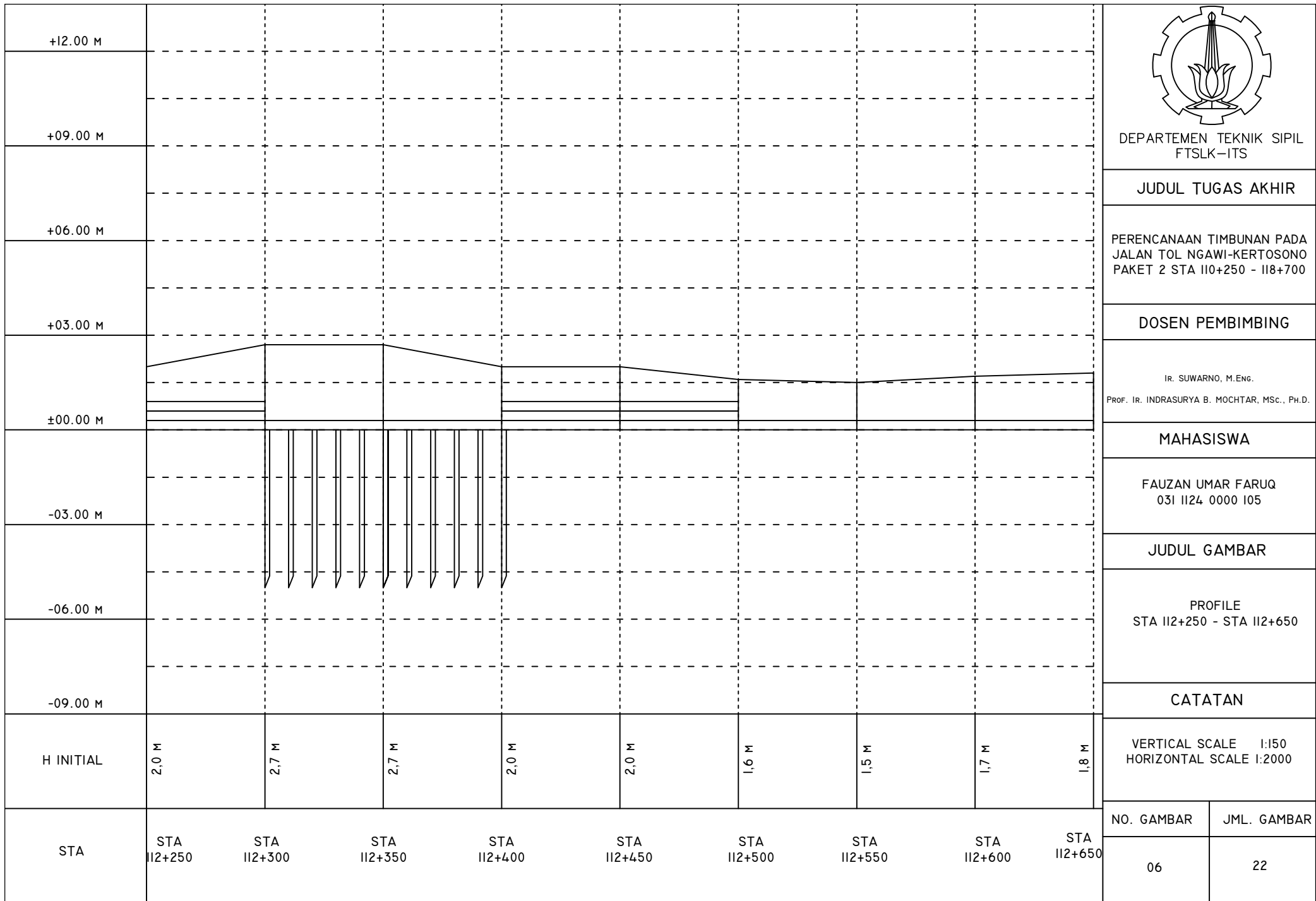
PROFILE
STA II2+250 - STA II2+650

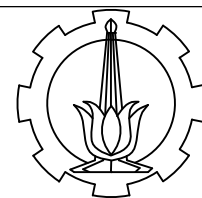
CATATAN

VERTICAL SCALE 1:150
HORIZONTAL SCALE 1:2000

NO. GAMBAR JML. GAMBAR

06 22





DEPARTEMEN TEKNIK SIPIL
FTSLK-ITS

JUDUL TUGAS AKHIR

PERENCANAAN TIMBUNAN PADA
JALAN TOL NGAWI-KERTOSONO
PAKET 2 STA II0+250 - II8+700

DOSEN PEMBIMBING

IR. SUWARNO, M.ENG.
PROF. IR. INDRASURYA B. MOCHTAR, MSC., PH.D.

MAHASISWA

FAUZAN UMAR FARUQ
031 II24 0000 I05

JUDUL GAMBAR

PROFILE
STA II2+650 - STA II3+050

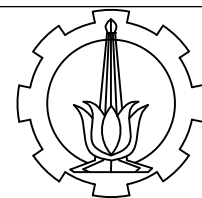
CATATAN

VERTICAL SCALE 1:150
HORIZONTAL SCALE 1:2000

NO. GAMBAR JML. GAMBAR

07 22

+12.00 M									
+09.00 M									
+06.00 M									
+03.00 M									
±00.00 M									
-03.00 M									
-06.00 M									
-09.00 M									
H INITIAL	1,8 m	1,8 m	1,9 m	2,0 m	2,0 m	1,7 m	1,7 m	1,7 m	1,2 m
STA	STA II2+650	STA II2+700	STA II2+750	STA II2+800	STA II2+850	STA II2+900	STA II2+950	STA II3+000	STA II3+050



DEPARTEMEN TEKNIK SIPIL
FTSLK-ITS

JUDUL TUGAS AKHIR

PERENCANAAN TIMBUNAN PADA
JALAN TOL NGAWI-KERTOSONO
PAKET 2 STA II0+250 - II8+700

DOSEN PEMBIMBING

IR. SUWARNO, M.ENG.
PROF. IR. INDRASURYA B. MOCHTAR, MSC., PH.D.

MAHASISWA

FAUZAN UMAR FARUQ
031 II24 0000 I05

JUDUL GAMBAR

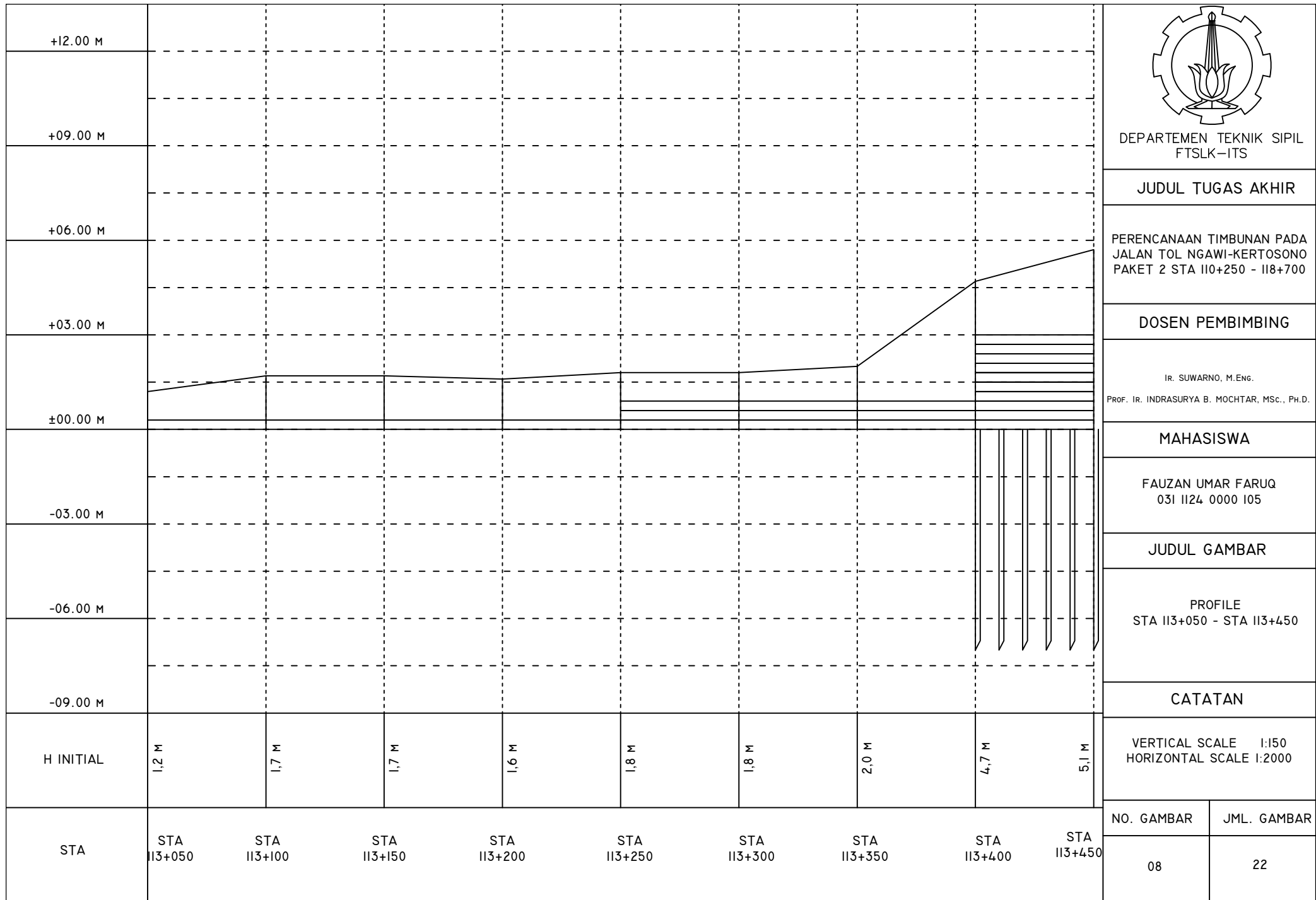
PROFILE
STA II3+050 - STA II3+450

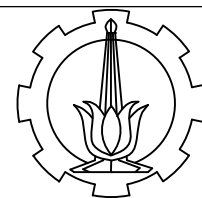
CATATAN

VERTICAL SCALE 1:150
HORIZONTAL SCALE 1:2000

NO. GAMBAR JML. GAMBAR

08 22





DEPARTEMEN TEKNIK SIPIL
FTSLK-ITS

JUDUL TUGAS AKHIR

PERENCANAAN TIMBUNAN PADA
JALAN TOL NGAWI-KERTOSONO
PAKET 2 STA II0+250 - II8+700

DOSEN PEMBIMBING

IR. SUWARNO, M.ENG.
PROF. IR. INDRASURYA B. MOCHTAR, MSC., PH.D.

MAHASISWA

FAUZAN UMAR FARUQ
031 II24 0000 I05

JUDUL GAMBAR

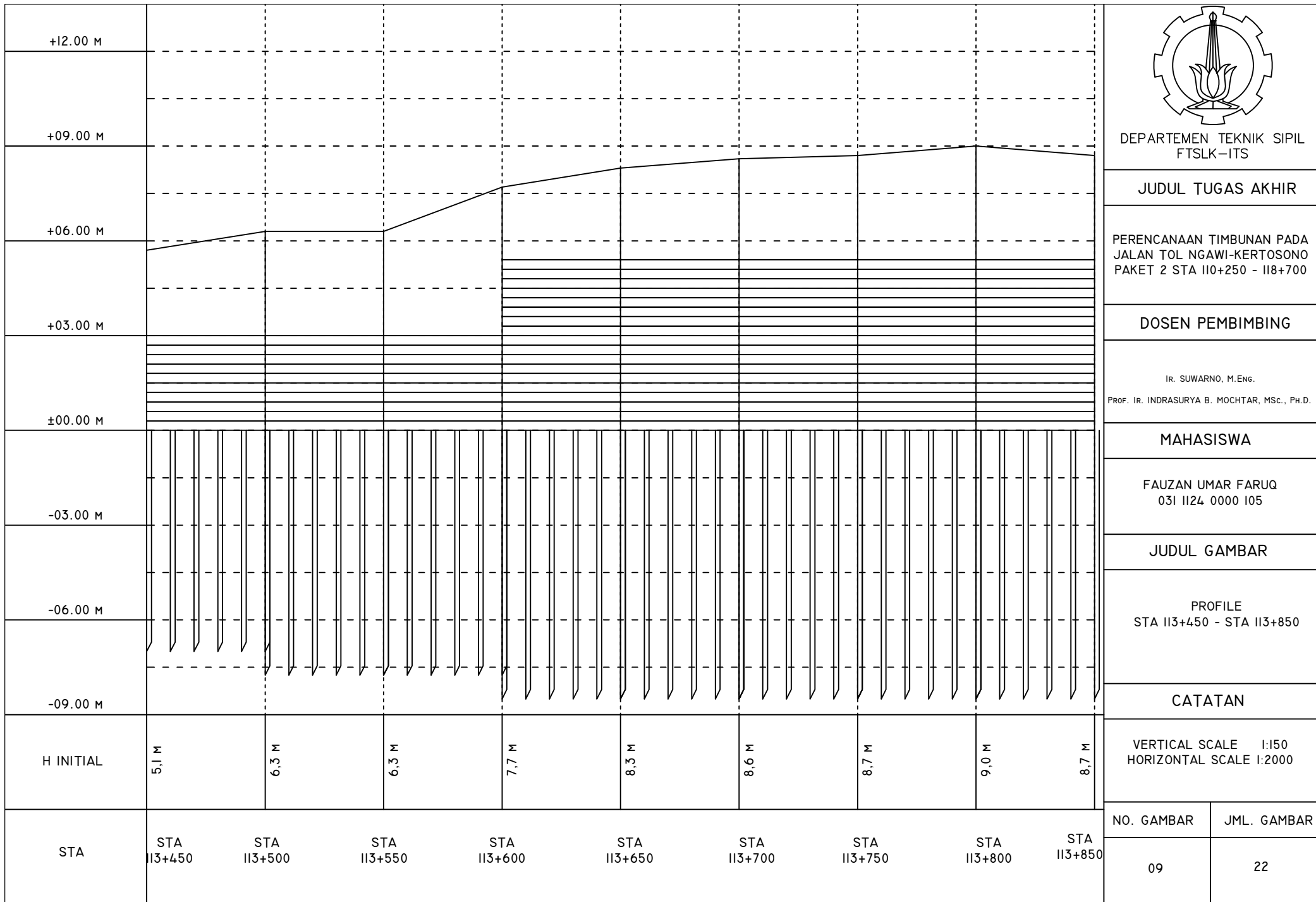
PROFILE
STA II3+450 - STA II3+850

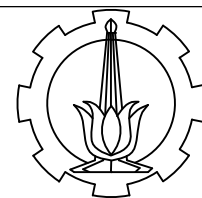
CATATAN

VERTICAL SCALE 1:150
HORIZONTAL SCALE 1:2000

NO. GAMBAR JML. GAMBAR

09 22





DEPARTEMEN TEKNIK SIPIL
FTSLK-ITS

JUDUL TUGAS AKHIR

PERENCANAAN TIMBUNAN PADA
JALAN TOL NGAWI-KERTOSONO
PAKET 2 STA II0+250 - II8+700

DOSEN PEMBIMBING

IR. SUWARNO, M.Eng.
PROF. IR. INDRASURYA B. MOCHTAR, MSC., PH.D.

MAHASISWA

FAUZAN UMAR FARUQ
031 II24 0000 I05

JUDUL GAMBAR

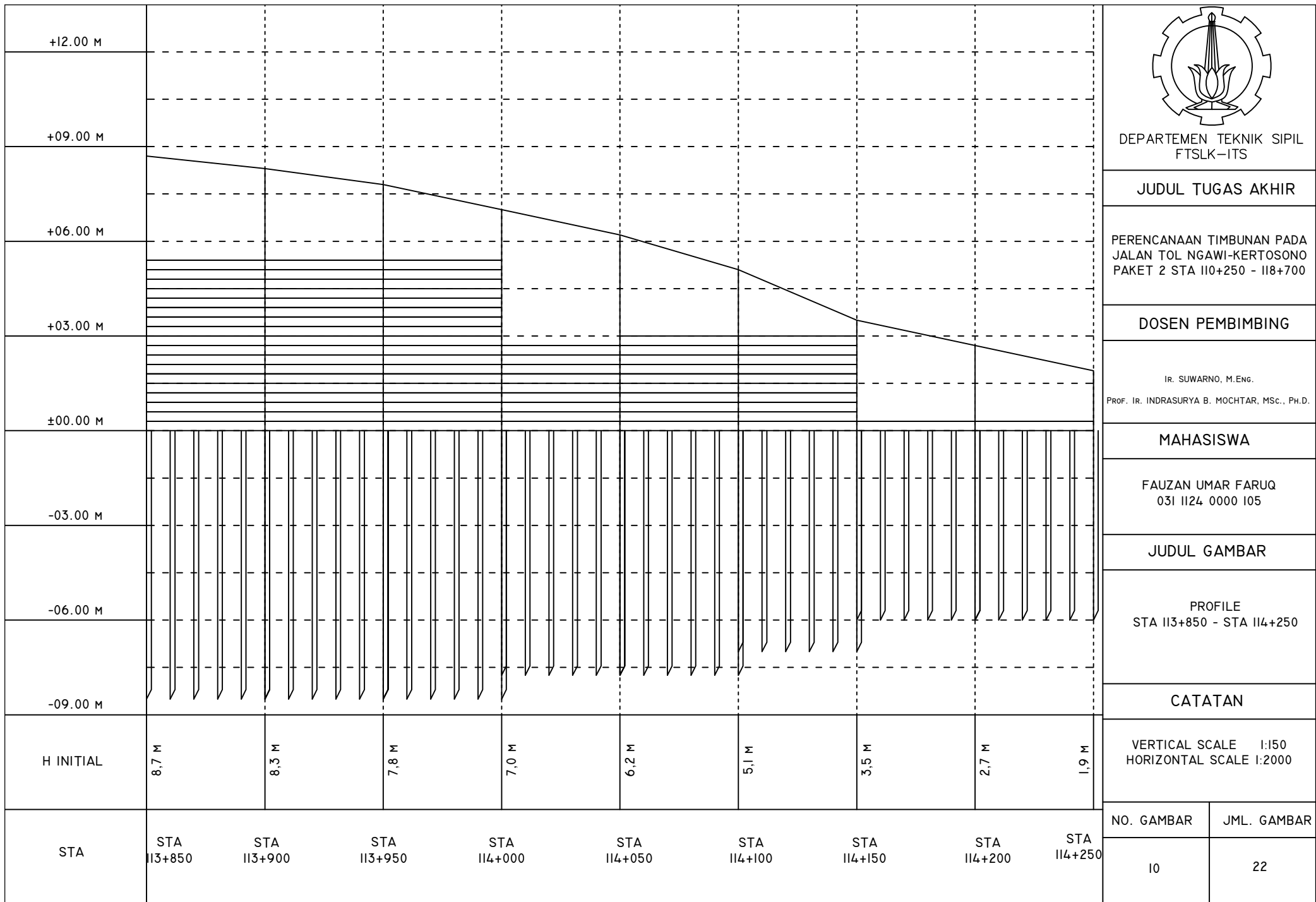
PROFILE
STA II3+850 - STA II4+250

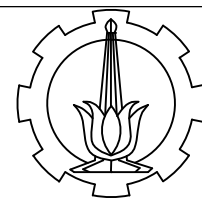
CATATAN

VERTICAL SCALE 1:150
HORIZONTAL SCALE 1:2000

NO. GAMBAR JML. GAMBAR

10 22





DEPARTEMEN TEKNIK SIPIL
FTSLK-ITS

JUDUL TUGAS AKHIR

PERENCANAAN TIMBUNAN PADA
JALAN TOL NGAWI-KERTOSONO
PAKET 2 STA II0+250 - II8+700

DOSEN PEMBIMBING

IR. SUWARNO, M.ENG.
PROF. IR. INDRASURYA B. MOCHTAR, MSC., PH.D.

MAHASISWA

FAUZAN UMAR FARUQ
031 II24 0000 I05

JUDUL GAMBAR

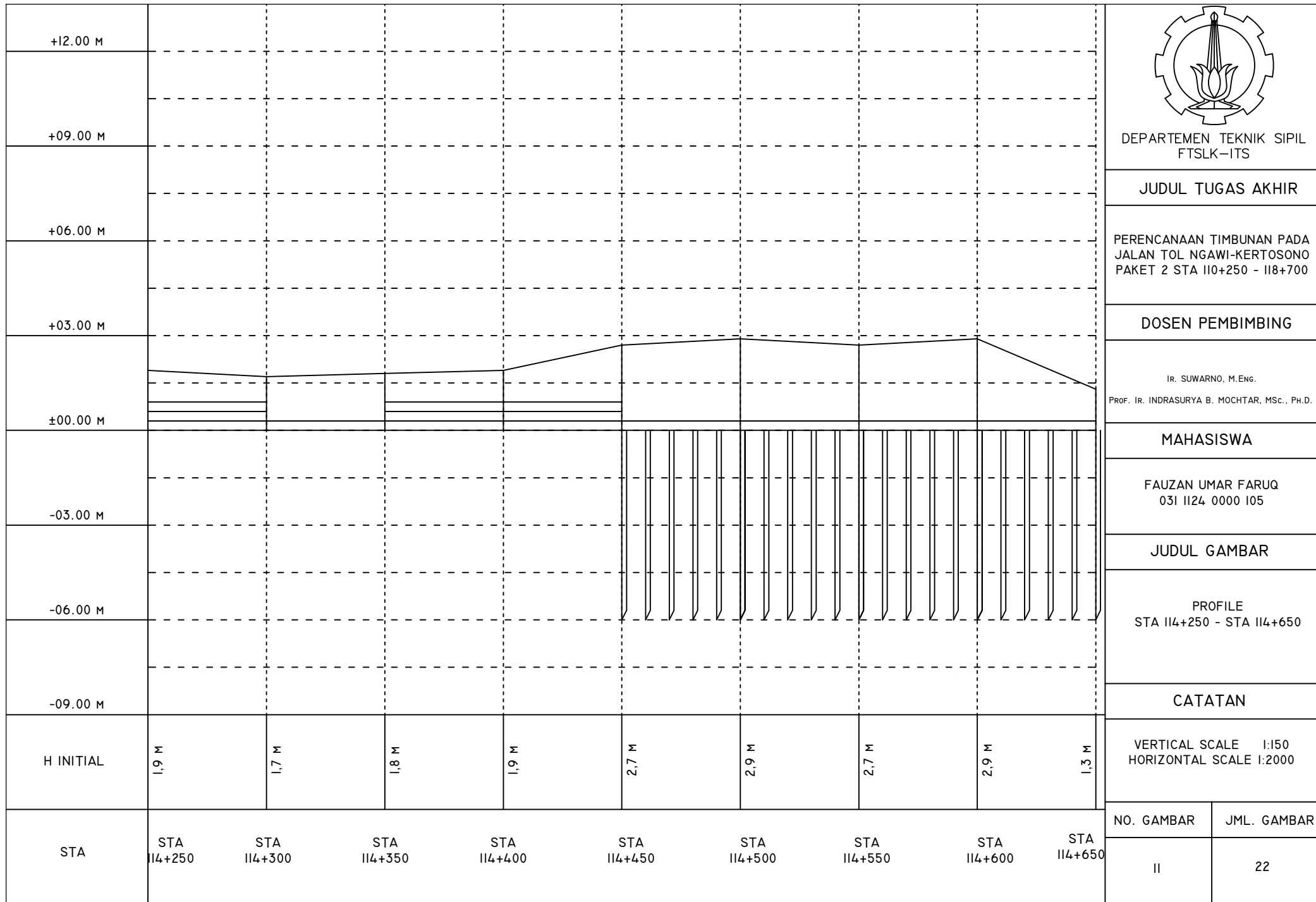
PROFILE
STA II4+250 - STA II4+650

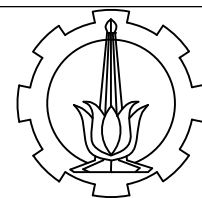
CATATAN

VERTICAL SCALE 1:150
HORIZONTAL SCALE 1:2000

NO. GAMBAR JML. GAMBAR

II 22





DEPARTEMEN TEKNIK SIPIL
FTSLK-ITS

JUDUL TUGAS AKHIR

PERENCANAAN TIMBUNAN PADA
JALAN TOL NGAWI-KERTOSONO
PAKET 2 STA II0+250 - II8+700

DOSEN PEMBIMBING

IR. SUWARNO, M.ENG.
PROF. IR. INDRASURYA B. MOCHTAR, MSC., PH.D.

MAHASISWA

FAUZAN UMAR FARUQ
031 II24 0000 I05

JUDUL GAMBAR

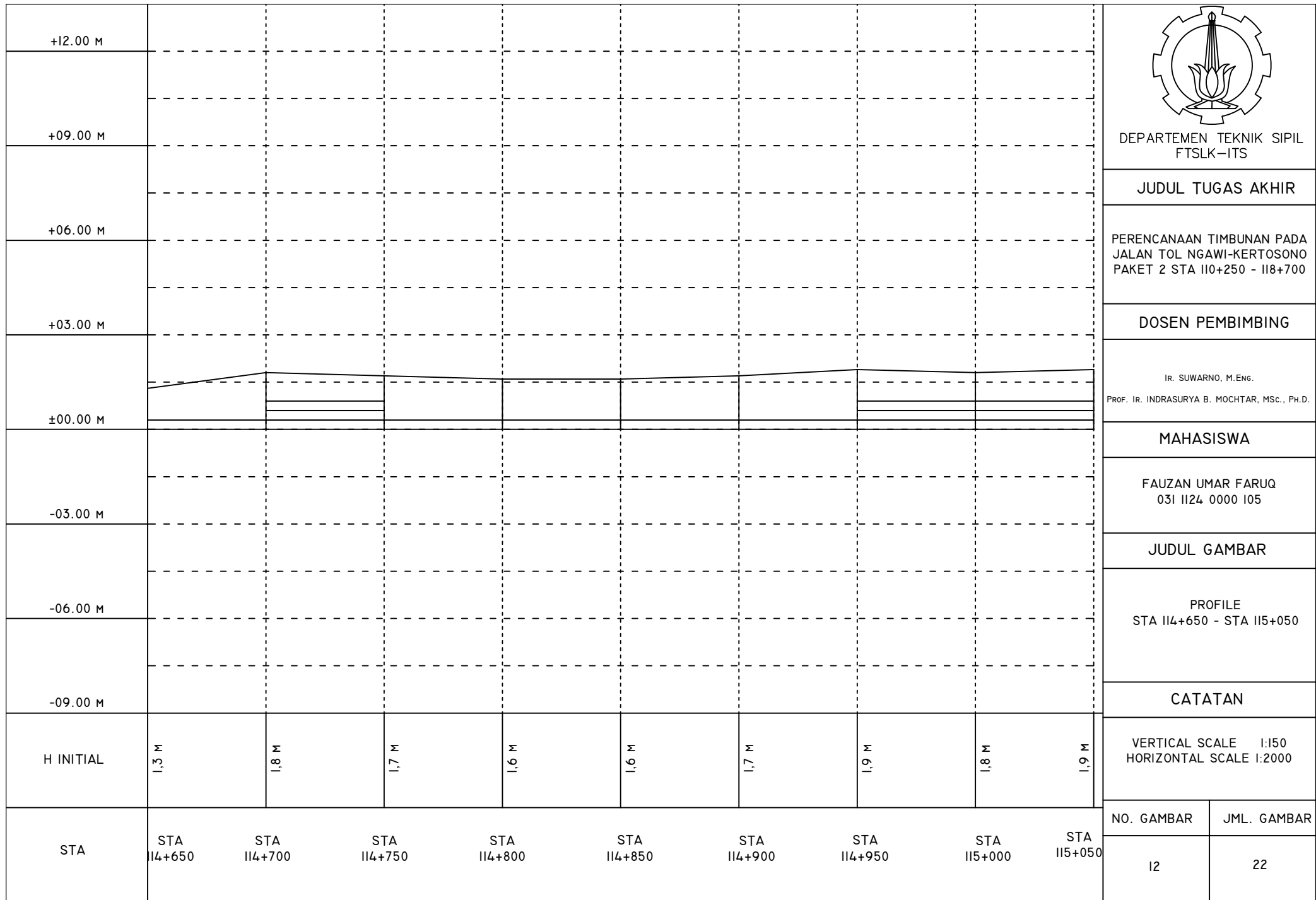
PROFILE
STA II4+650 - STA II5+050

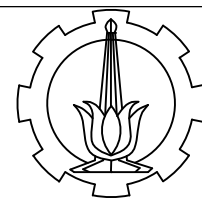
CATATAN

VERTICAL SCALE 1:150
HORIZONTAL SCALE 1:2000

NO. GAMBAR JML. GAMBAR

I2 22





DEPARTEMEN TEKNIK SIPIL
FTSLK-ITS

JUDUL TUGAS AKHIR

PERENCANAAN TIMBUNAN PADA
JALAN TOL NGAWI-KERTOSONO
PAKET 2 STA II0+250 - II8+700

DOSEN PEMBIMBING

IR. SUWARNO, M.ENG.
PROF. IR. INDRASURYA B. MOCHTAR, MSC., PH.D.

MAHASISWA

FAUZAN UMAR FARUQ
031 II24 0000 I05

JUDUL GAMBAR

PROFILE
STA II5+050 - STA II5+450

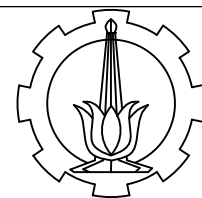
CATATAN

VERTICAL SCALE 1:150
HORIZONTAL SCALE 1:2000

NO. GAMBAR JML. GAMBAR

13 22

+12.00 M										
+09.00 M										
+06.00 M										
+03.00 M										
±00.00 M										
-03.00 M										
-06.00 M										
-09.00 M										
H INITIAL	1,6 m	2,0 m	1,6 m	1,6 m	1,6 m	1,8 m				
STA	STA II5+050	STA II5+100	STA II5+150	STA II5+200	STA II5+250	STA II5+300	STA II5+350	STA II5+400	STA II5+450	



DEPARTEMEN TEKNIK SIPIL
FTSLK-ITS

JUDUL TUGAS AKHIR

PERENCANAAN TIMBUNAN PADA
JALAN TOL NGAWI-KERTOSONO
PAKET 2 STA II0+250 - II8+700

DOSEN PEMBIMBING

IR. SUWARNO, M.ENG.
PROF. IR. INDRASURYA B. MOCHTAR, MSC., PH.D.

MAHASISWA

FAUZAN UMAR FARUQ
031 II24 0000 I05

JUDUL GAMBAR

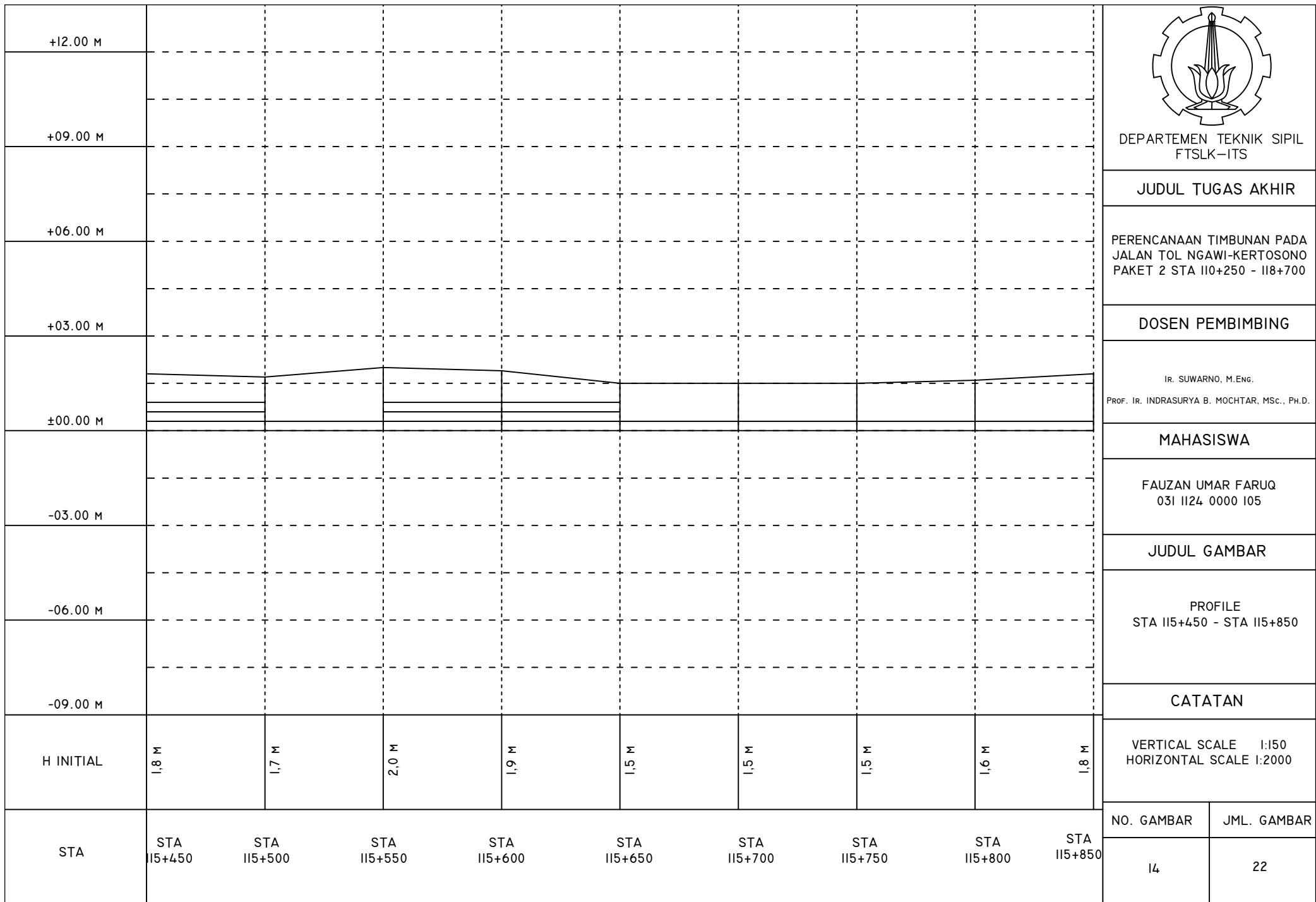
PROFILE
STA II5+450 - STA II5+850

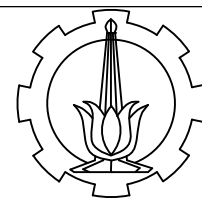
CATATAN

VERTICAL SCALE 1:150
HORIZONTAL SCALE 1:2000

NO. GAMBAR JML. GAMBAR

14 22





DEPARTEMEN TEKNIK SIPIL
FTSLK-ITS

JUDUL TUGAS AKHIR

PERENCANAAN TIMBUNAN PADA
JALAN TOL NGAWI-KERTOSONO
PAKET 2 STA II0+250 - II8+700

DOSEN PEMBIMBING

IR. SUWARNO, M.ENG.
PROF. IR. INDRASURYA B. MOCHTAR, MSC., PH.D.

MAHASISWA

FAUZAN UMAR FARUQ
031 II24 0000 I05

JUDUL GAMBAR

PROFILE
STA II5+850 - STA II6+250

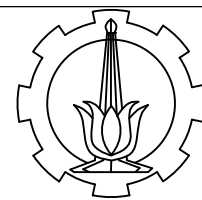
CATATAN

VERTICAL SCALE 1:150
HORIZONTAL SCALE 1:2000

NO. GAMBAR JML. GAMBAR

15 22

+12.00 M										
+09.00 M										
+06.00 M										
+03.00 M										
±00.00 M										
-03.00 M										
-06.00 M										
-09.00 M										
H INITIAL	1.8'	1.8'	1.9'	1.9'	1.9'	1.7'	1.7'	1.6'	1.6'	1.6'
STA	STA II5+850	STA II5+900	STA II5+950	STA II6+000	STA II6+050	STA II6+100	STA II6+150	STA II6+200	STA II6+250	



DEPARTEMEN TEKNIK SIPIL
FTSLK-ITS

JUDUL TUGAS AKHIR

PERENCANAAN TIMBUNAN PADA
JALAN TOL NGAWI-KERTOSONO
PAKET 2 STA II0+250 - II8+700

DOSEN PEMBIMBING

IR. SUWARNO, M.Eng.
PROF. IR. INDRASURYA B. MOCHTAR, MSC., PH.D.

MAHASISWA

FAUZAN UMAR FARUQ
031 II24 0000 I05

JUDUL GAMBAR

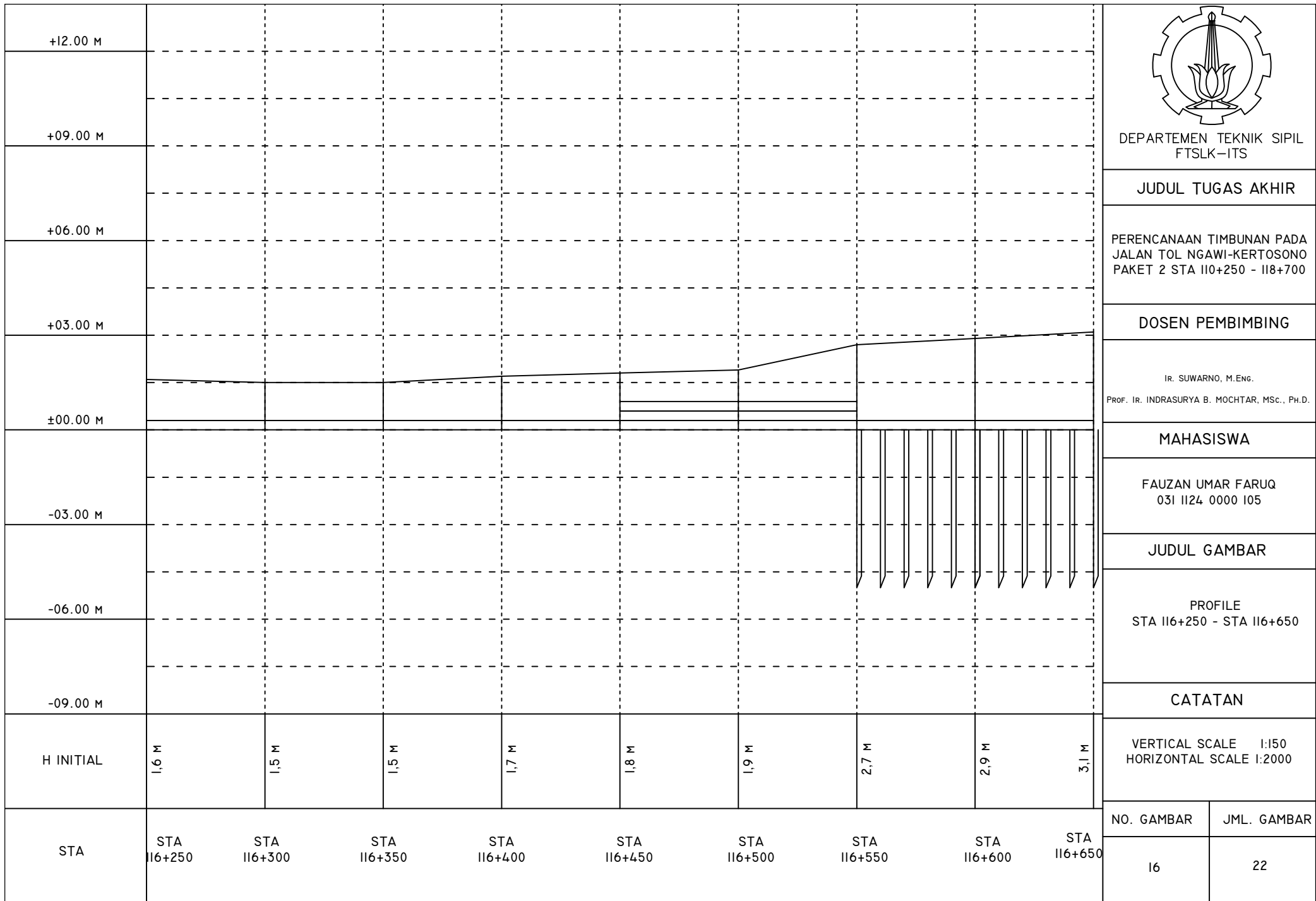
PROFILE
STA II6+250 - STA II6+650

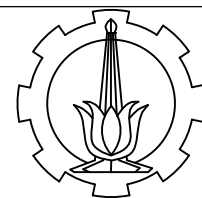
CATATAN

VERTICAL SCALE 1:150
HORIZONTAL SCALE 1:2000

NO. GAMBAR JML. GAMBAR

16 22





DEPARTEMEN TEKNIK SIPIL
FTSLK-ITS

JUDUL TUGAS AKHIR

PERENCANAAN TIMBUNAN PADA
JALAN TOL NGAWI-KERTOSONO
PAKET 2 STA II0+250 - II8+700

DOSEN PEMBIMBING

IR. SUWARNO, M.ENG.
PROF. IR. INDRASURYA B. MOCHTAR, MSC., PH.D.

MAHASISWA

FAUZAN UMAR FARUQ
031 II24 0000 I05

JUDUL GAMBAR

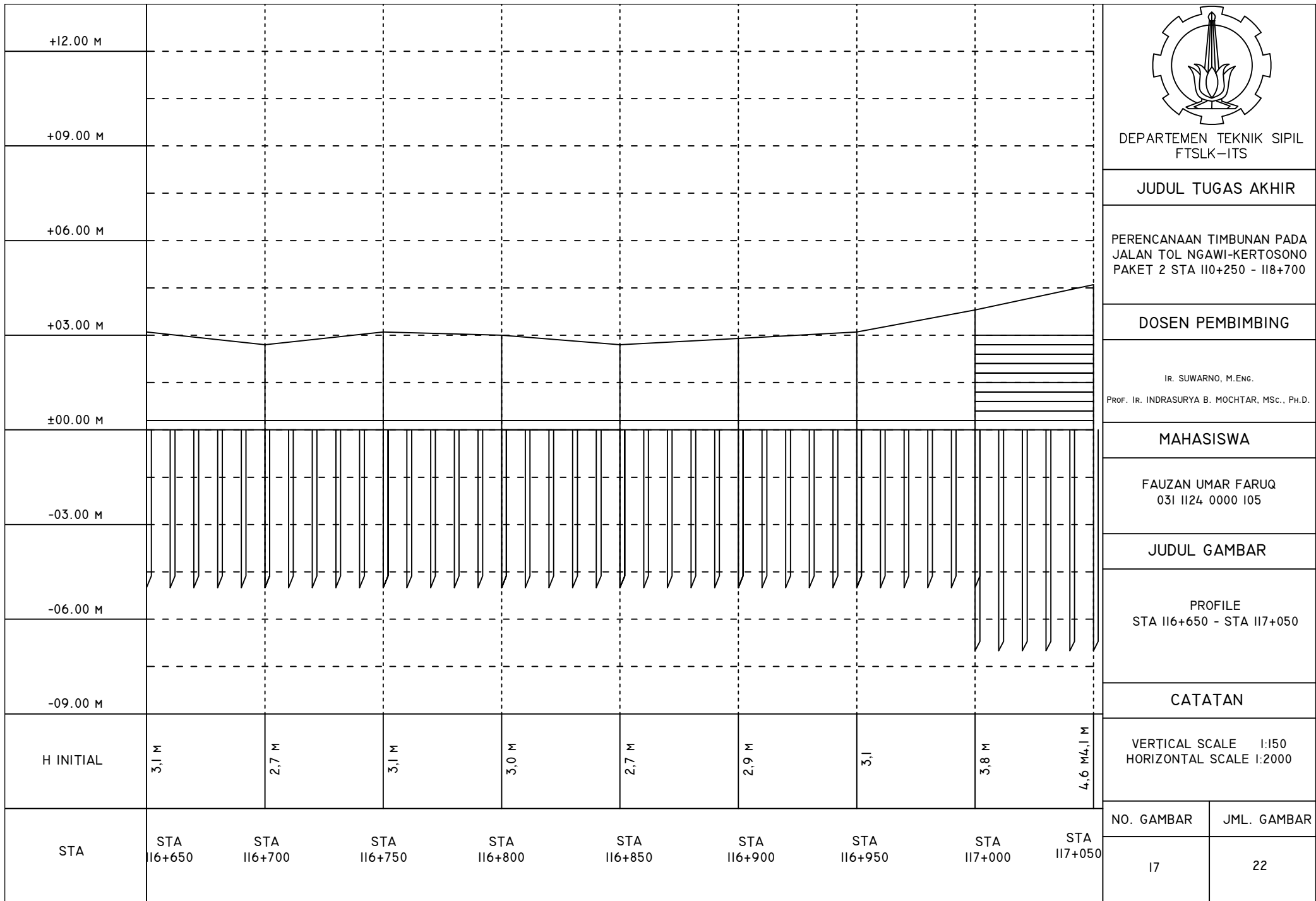
PROFILE
STA II6+650 - STA II7+050

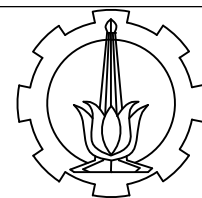
CATATAN

VERTICAL SCALE 1:150
HORIZONTAL SCALE 1:2000

NO. GAMBAR JML. GAMBAR

I7 22





DEPARTEMEN TEKNIK SIPIL
FTSLK-ITS

JUDUL TUGAS AKHIR

PERENCANAAN TIMBUNAN PADA
JALAN TOL NGAWI-KERTOSONO
PAKET 2 STA II0+250 - II8+700

DOSEN PEMBIMBING

IR. SUWARNO, M.ENG.
PROF. IR. INDRASURYA B. MOCHTAR, MSC., PH.D.

MAHASISWA

FAUZAN UMAR FARUQ
031 II24 0000 I05

JUDUL GAMBAR

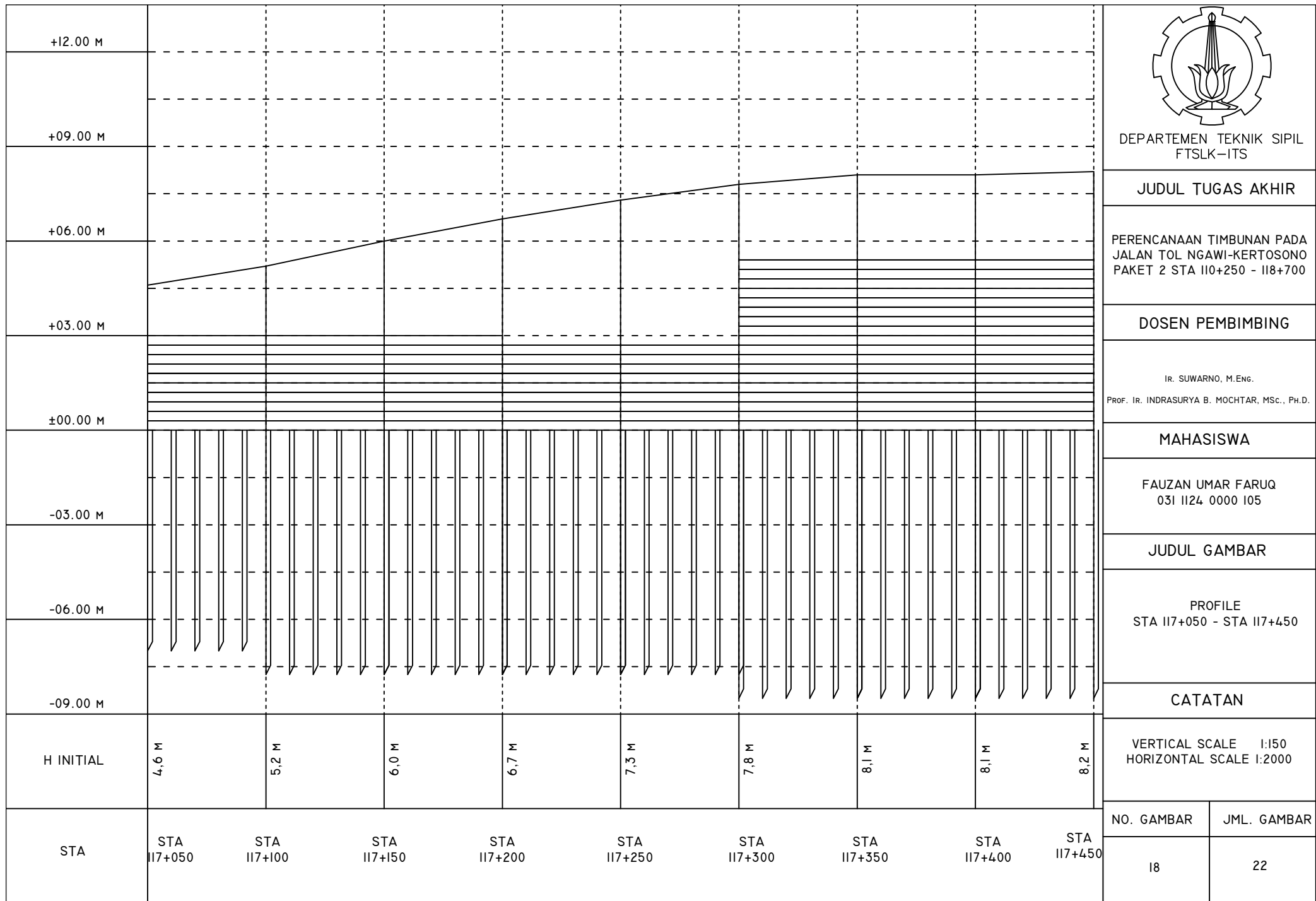
PROFILE
STA II7+050 - STA II7+450

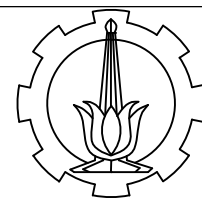
CATATAN

VERTICAL SCALE 1:150
HORIZONTAL SCALE 1:2000

NO. GAMBAR JML. GAMBAR

18 22





DEPARTEMEN TEKNIK SIPIL
FTSLK-ITS

JUDUL TUGAS AKHIR

PERENCANAAN TIMBUNAN PADA
JALAN TOL NGAWI-KERTOSONO
PAKET 2 STA II0+250 - II8+700

DOSEN PEMBIMBING

IR. SUWARNO, M.ENG.
PROF. IR. INDRASURYA B. MOCHtar, MSC., PH.D.

MAHASISWA

FAUZAN UMAR FARUQ
031 II24 0000 I05

JUDUL GAMBAR

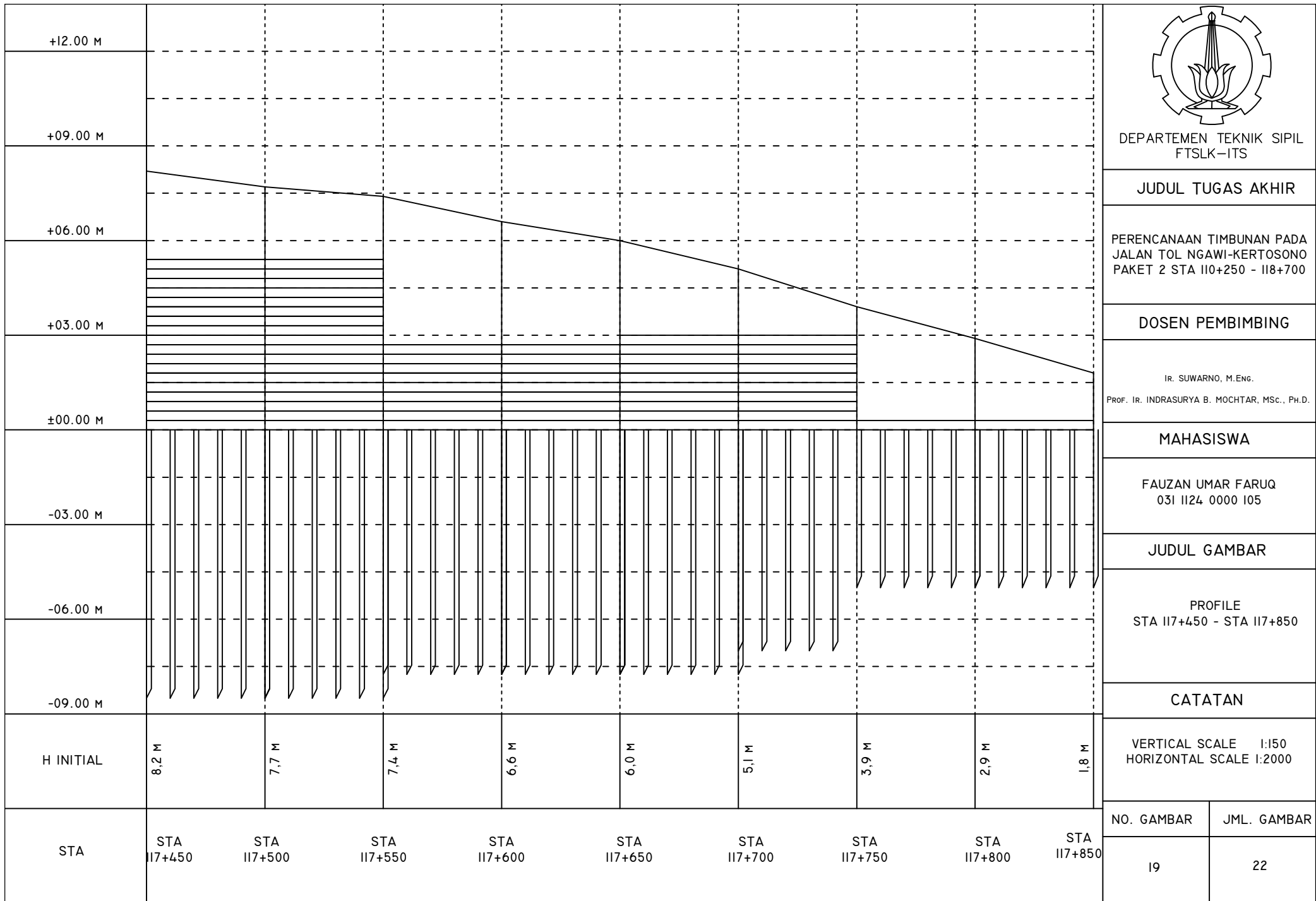
PROFILE
STA II7+450 - STA II7+850

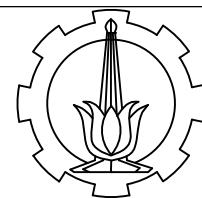
CATATAN

VERTICAL SCALE 1:150
HORIZONTAL SCALE 1:2000

NO. GAMBAR JML. GAMBAR

19 22





DEPARTEMEN TEKNIK SIPIL
FTSLK-ITS

JUDUL TUGAS AKHIR

PERENCANAAN TIMBUNAN PADA
JALAN TOL NGAWI-KERTOSONO
PAKET 2 STA II0+250 - II8+700

DOSEN PEMBIMBING

IR. SUWARNO, M.ENG.
PROF. IR. INDRASURYA B. MOCHTAR, MSC., PH.D.

MAHASISWA

FAUZAN UMAR FARUQ
031 II24 0000 I05

JUDUL GAMBAR

PROFILE
STA II7+250 - STA II8+250

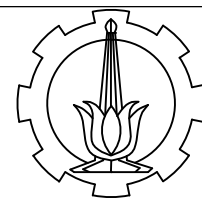
CATATAN

VERTICAL SCALE 1:150
HORIZONTAL SCALE 1:2000

NO. GAMBAR JML. GAMBAR

20 22

+12.00 M									
+09.00 M									
+06.00 M									
+03.00 M									
±00.00 M									
-03.00 M									
-06.00 M									
-09.00 M									
H INITIAL	1,8 M	1,8 M	1,8 M	1,9 M	1,9 M	2,0 M	2,0 M	2,0 M	2,0 M
STA	STA II7+850	STA II7+900	STA II7+950	STA II8+000	STA II8+050	STA II8+100	STA II8+150	STA II8+200	STA II8+250



DEPARTEMEN TEKNIK SIPIL
FTSLK-ITS

JUDUL TUGAS AKHIR

PERENCANAAN TIMBUNAN PADA
JALAN TOL NGAWI-KERTOSONO
PAKET 2 STA II0+250 - II8+700

DOSEN PEMBIMBING

IR. SUWARNO, M.ENG.
PROF. IR. INDRASURYA B. MOCHTAR, MSC., PH.D.

MAHASISWA

FAUZAN UMAR FARUQ
031 II24 0000 I05

JUDUL GAMBAR

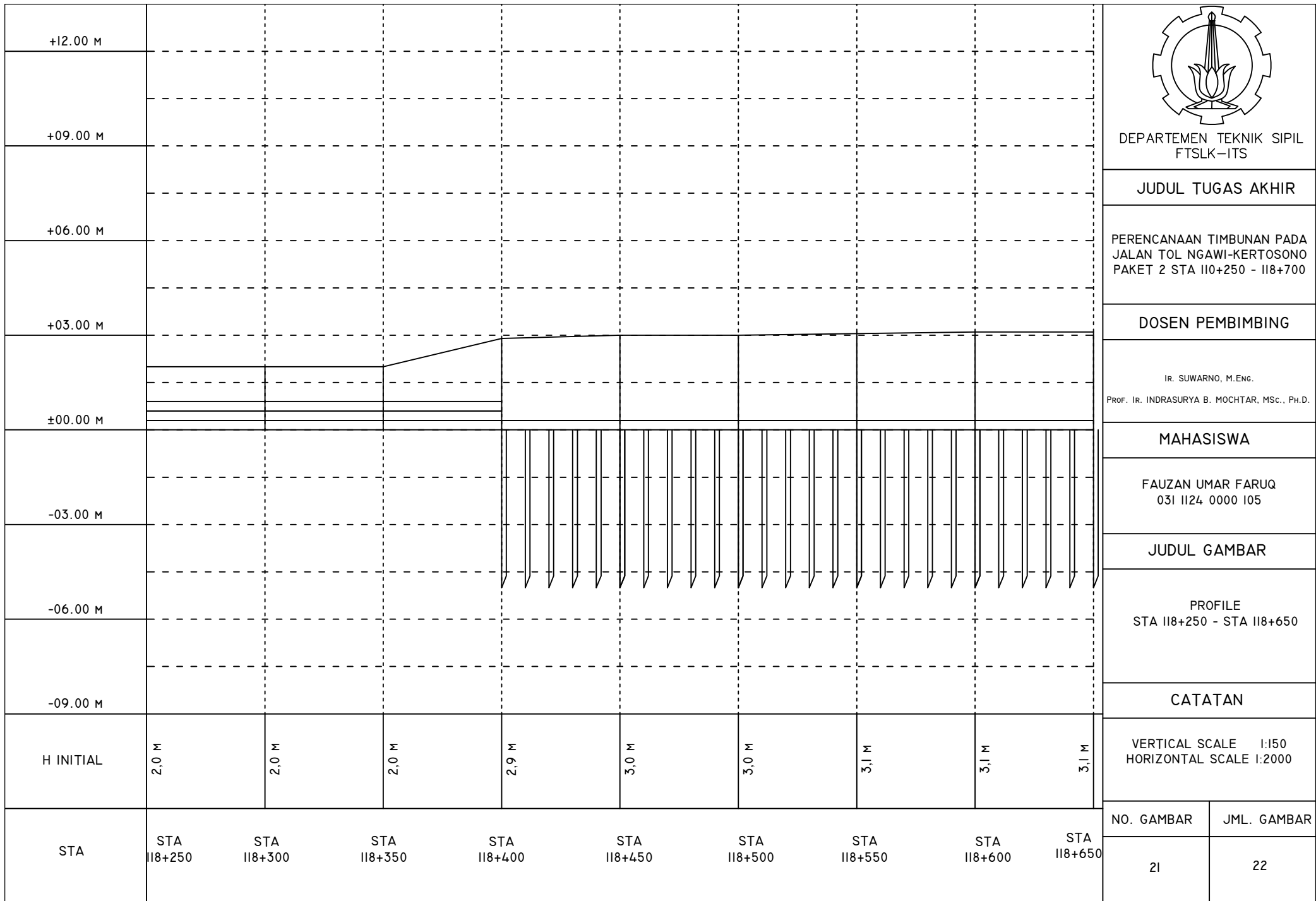
PROFILE
STA II8+250 - STA II8+650

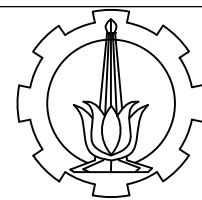
CATATAN

VERTICAL SCALE 1:150
HORIZONTAL SCALE 1:2000

NO. GAMBAR JML. GAMBAR

21 22





DEPARTEMEN TEKNIK SIPIL
FTSLK-ITS

JUDUL TUGAS AKHIR

PERENCANAAN TIMBUNAN PADA
JALAN TOL NGAWI-KERTOSONO
PAKET 2 STA II0+250 - II8+700

DOSEN PEMBIMBING

IR. SUWARNO, M.Eng.
PROF. IR. INDRASURYA B. MOCHTAR, MSC., PH.D.

MAHASISWA

FAUZAN UMAR FARUQ
031 II24 0000 I05

JUDUL GAMBAR

PROFILE
STA II9+650 - STA II8+700

CATATAN

VERTICAL SCALE 1:150
HORIZONTAL SCALE 1:2000

NO. GAMBAR JML. GAMBAR

22 22

